

Akoestisch onderzoek wegverkeerslawai

## **Tatelaarweg 32, Didam**

De **Milieu**adviseur  
Datum: 6 juli 2021  
Projectnummer: 21062

## Colofon



De **Milieu**adviseur  
Amsterdamseweg 86  
6814 GG Arnhem  
06 - 29 33 43 53  
info@milieuadviseur.nl

Project:  
Gemeente:  
Projectnummer:  
Datum

Akoestisch onderzoek wegverkeerslawaai  
Tatelaarweg 32, Didam  
Montferland  
21062  
6 juli 2021

Opdrachtgever

T.C. Egging-Bosman

# Inhoud

|     |  |    |
|-----|--|----|
| 1   | Inleiding  | 3  |
| 1.1 | Aanleiding                                       | 3  |
| 1.2 | Doel van het onderzoek                           | 3  |
| 2   | Wettelijk kader                                  | 4  |
| 2.1 | Wet geluidhinder (Wgh)                           | 4  |
| 2.2 | Gemeentelijk geluidbeleid                        | 4  |
| 2.3 | Bouwbesluit 2012                                 | 5  |
| 2.4 | Zones  | 5  |
| 2.5 | Rekenmethodiek                                   | 6  |
| 3   | Uitgangspunten                                   | 7  |
| 3.1 | Selectie van geluidsbronnen                      | 7  |
| 3.2 | Uitgangspunten en verkeersgegevens               | 8  |
| 4   | Resultaten                                       | 10 |
| 4.1 | Onderzoeksopzet                                  | 10 |
| 4.2 | Geluidsbelastingen                               | 10 |
| 4.3 | Onderzoeken naar geluidsreducerende maatregelen  | 12 |
| 4.4 | Berekening van de cumulatieve geluidsbelastingen | 14 |
| 5   | Conclusie  | 15 |
| 5.1 | Toetsing aan de Wet geluidhinder                 | 15 |
| 5.2 | Toetsing aan het Bouwbesluit 2012                | 16 |

## Bijlagen

Bijlage A: Geluidsbelastingen, in tabelvorm

Bijlage B, Overzichtstekening 1: Grafische weergave van het model

Bijlage C: Invoergegevens van het model



# 1 Inleiding

## 1.1 Aanleiding

Op het perceel Tatelaarweg 32 in Didam ligt een voormalige agrarisch bedrijf. De agrarische bedrijfsgebouwen op dit perceel worden gesloopt. In plaats van de agrarische bedrijfsgebouwen worden twee nieuwe woningen gerealiseerd.

In de onderstaande luchtfoto is de globale ligging van de twee woningen weergegeven:



*Figuur 1: Globale ligging van de nieuwe woningen*

## 1.2 Doel van het onderzoek

De nieuwe woningen kunnen op basis van het huidige bestemmingsplan niet worden gerealiseerd. Om de bouw van de nieuwe woningen mogelijk te maken wordt een nieuw bestemmingsplan opgesteld. In het kader van het nieuwe bestemmingsplan moet akoestisch onderzoek de akoestische haalbaarheid van de woningen aantonen ten opzichte van de omliggende geluidsbronnen (wegen, spoorwegen en gezoneerde industrieterreinen). Dit onderzoek heeft tot doel inzicht te geven in het akoestisch klimaat van de nieuwe geluidsgevoelige bestemmingen ten gevolge van wegverkeerslawaai.

## 2 Wettelijk kader

In het akoestisch onderzoek wordt getoetst op basis van verschillende toetsingskaders, te weten:

- Wet geluidhinder (Wgh)
- Gemeentelijk geluidbeleid
- Bouwbesluit 2012

De Wet geluidhinder (Wgh) en het Bouwbesluit 2012 zijn landelijke wetgeving. Gemeentelijk geluidbeleid is beleid dat gemeenten kunnen opstellen voor het vaststellen van hogere grenswaarden.

In onderstaande paragrafen staat een beknopte samenvatting weergegeven van de drie toetsingskaders.

### 2.1 Wet geluidhinder (Wgh)

De Wet geluidhinder (Wgh) heeft als doel het beschermen van de mens tegen geluidhinder. In de Wgh worden twee soorten grenswaarden genoemd:

- Voorkeursgrenswaarde<sup>1</sup>: Deze waarde garandeert een goed woon- en leefklimaat. Voor woningen waarbij de voorkeursgrenswaarde niet wordt overschreden zijn op basis van de Wgh geen aanvullende maatregelen noodzakelijk, zoals de verlening van hogere grenswaarden.
- Hoogste toelaatbare geluidsbelasting: Deze waarde geeft de hoogste gevelbelasting weer waarvoor op basis van de Wgh een hogere waarde kan worden vastgesteld.

De hoogte van de grenswaarden varieert, afhankelijk van het type geluidsbron, de ligging van de geluidsgevoelige bestemming (binnen of buiten de bebouwde kom) en het soort geluidsgevoelige bestemming. In onderstaande tabel staan de voorkeursgrenswaarde en de hoogste toelaatbare geluidsbelasting voor de nieuwe woningen in de ontwikkeling weergegeven. De nieuwe woningen liggen in buiten stedelijk gebied (buitengebied van Didam).

| Overzicht van de normen uit de Wgh     |                           |                            |                        |
|--|---------------------------|----------------------------|------------------------|
|  | Wegverkeer                | Railverkeer                | Industrie              |
| Voorkeursgrenswaarde                   | 48 dB (art. 82 Wgh)       | 55 dB (art. 4.9 lid 1 Bgh) | 50 dB(A) (art. 44 Wgh) |
| Hoogste toelaatbare geluidsbelastingen | 58 dB (art. 83 lid 7 Wgh) | 68 dB (art. 4.10 Bgh)      | 65 dB(A) (art. 61 Wgh) |

Tabel 1: Overzicht van de grenswaarden

### 2.2 Gemeentelijk geluidbeleid

Eventuele verlening van hogere grenswaarden bij de realisatie van nieuwe woningen vindt plaats door de gemeente. Door middel van gemeentelijk geluidbeleid kan de gemeente aanvullende eisen vastleggen voor de verlening van hogere grenswaarden.

De gemeente Montferland heeft geen gemeentelijk geluidbeleid vastgesteld in het kader van de verlening van hogere grenswaarden. Door het ontbreken van gemeentelijk geluidbeleid wordt bij de verlening van hogere waarden alleen getoetst aan de normen uit de Wgh.

De gemeente Montferland is voornemens om het VAB-beleid (Vrijkomende Agrarische Bebouwing-beleid) aan te passen. Op basis van dit aangepaste beleid voor nieuwe woningen die in de plaats komen van agrarische bebouwing om hogere waarden te verlenen. In dit onderzoek is geanticipeerd op de aangepaste beleidsnotitie "Herijking Ruimte voor Vernieuwing in het Buitengebied".

<sup>1</sup> Formele term in de Wgh: ten hoogst toelaatbare geluidsbelasting

## 2.3 Bouwbesluit 2012

Bij een overschrijding van de voorkeursgrenswaarde uit de Wgh dreigt ook een overschrijding van de binnenwaarde uit het Bouwbesluit 2012. Bij verlening van een omgevingsvergunning voor bouwen (voorheen: bouwvergunning) wordt de binnenwaarde getoetst aan het Bouwbesluit 2012. Bij weg- en railverkeerslawaai mag de binnenwaarde 33 dB bedragen. Bij industrielawaai bedraagt de binnenwaarde 35 dB(A). Wanneer de nieuwe woningen worden gerealiseerd nabij diverse geluidsbronnen, dient de geluidsbelasting van de verschillende geluidsbronnen bij elkaar te worden opgeteld (gecumuleerd). Bij de bepaling van de cumulatieve geluidsbelasting mag geen gebruik worden gemaakt van de aftrek op grond van artikel 110g van de Wgh (aftrek van 2 of 5 dB).

Bij woningen waarvoor hogere waarden in het kader van de Wet geluidhinder zijn toegestaan, is aanvullend bouwakoestisch onderzoek noodzakelijk voor de bepaling van eventueel noodzakelijke geluisolatie, zodat de binnenwaarde uit het Bouwbesluit 2012 wordt behaald.

Wegen met een 30 km-regime hebben op basis van de Wgh geen onderzoekspllicht. Voor deze wegen kunnen op basis van de Wgh ook geen hogere waarden worden verleend. Doordat er geen hogere waarde wordt vastgesteld is een formele toetsing aan de binnenwaarde uit het Bouwbesluit 2012 niet noodzakelijk. Echter om een goed woon- en leefklimaat bij nieuwe woningen te garanderen is een toetsing aan de binnenwaarde uit Bouwbesluit 2012 ook bij 30 km-wegen wenselijk.

## 2.4 Zones

Langs wegen en spoorlijnen en rondom gezoneerde industrieterreinen liggen zogenoemde zones. Wanneer een nieuwe woning wordt gerealiseerd in de zone, is akoestisch onderzoek noodzakelijk.

### 2.4.1 Wegverkeer

De zone van een weg bevindt zich aan beide zijden van de weg en is afhankelijk van het aantal rijbanen en de ligging van de weg. Er wordt gemeten vanuit de rand van de weg. De grootte van de zones staat beschreven in artikel 74 van de Wgh. In onderstaande tabel staan de zones weergegeven:

| Zones langs wegen |                  |                        |
|-------------------|------------------|------------------------|
| Aantal rijstroken | Stedelijk gebied | Buitenstedelijk gebied |
| 1 en 2            | 200 meter        | 250 meter              |
| 3 en 4            | 350 meter        | 400 meter              |
| 5 en meer         | 350 meter        | 600 meter              |

Tabel 2: Overzicht van zones langs wegen

Uit artikel 74 lid 2 van de Wgh blijkt dat 30 km-wegen en woonerven geen zone kennen. Daarom hoeven ze niet te worden onderzocht op basis van de Wgh. Echter ten behoeve van een goede ruimtelijke ordening wordt voor drukkeren 30 km-wegen wel akoestisch onderzoek uitgevoerd.

## 2.4.2 Railverkeer

Langs landelijke spoorwegen liggen referentiepunten, waarvoor is vastgelegd hoeveel geluid de spoorlijn mag produceren, zogenaamde geluidsproductieplafonds (GPP's). De hoogte van de geluidsproductieplafonds is vastgelegd in het geluidsregister. De grootte van de zone van een spoorweg is afhankelijk van het geluidsproductieplafond en is vastgelegd in artikel 1.4a uit het Besluit geluidhinder (Bgh). De zone van een spoorweg ligt aan beide zijden van de spoorweg en wordt gemeten van de buitenste spoorstaaf. De wettelijke zone van een spoorweg is afhankelijk van de toegestane geluidsbelasting op het referentiepunt uit het geluidsregister.

De zones van spoorlijnen zijn weergegeven in onderstaande tabel:

| Zones langs spoorwegen  |             |
|-------------------------|-------------|
| Geluidsproductieplafond | Zone        |
| Kleiner dan 56 dB       | 100 meter   |
| Tussen de 56 en 61 dB   | 200 meter   |
| Tussen de 61 en 66 dB   | 300 meter   |
| Tussen 66 en 71 dB      | 600 meter   |
| Tussen 71 en 74 dB      | 900 meter   |
| Groter dan 74 dB        | 1.200 meter |

Tabel 3: Overzicht van zones langs spoorwegen

Naast de landelijke spoorlijnen zijn er in Nederland ook niet-landelijke spoorlijnen, zoals RandstadRail en de sneltram in Utrecht. De zones van deze spoorlijnen zijn vastgelegd in de 'Regeling zonekaart spoorwegen geluidhinder'.

## 2.4.3 Industrielawaai

Rondom een bedrijventerrein waar 'grote' lawaaimakers zijn toegestaan, ligt een geluidszone. De grootte van de geluidszone is vastgelegd in het zonebeheersplan van het gezoneerde bedrijventerrein en in het bestemmingsplan rondom het gezoneerde bedrijventerrein.

## 2.5 Rekenmethodiek

Met behulp van het 'Reken- en meetvoorschrift geluid 2012' (RMG 2012) zijn de geluidsbelastingen berekend voor weg- en railverkeer en de cumulatieve geluidsbelastingen.

De geluidsbelasting voor weg- en railverkeer is berekend met Standaardrekenmethode 2, met behulp van het computerprogramma GeoMilieu, versie 2021.0.

De cumulatieve geluidsbelasting is berekend op basis van Bijlage I, hoofdstuk 2: 'Rekenmethode cumulatieve geluidsbelasting' uit het RMG 2012. Hierbij wordt de gezamenlijke geluidsbelasting van de relevante geluidsbronnen (wegen, spoorwegen en industrielawaai) bepaald.



### 3 Uitgangspunten

De nieuwe woningen staan nabij diverse geluidsbronnen. Aan de hand van de zones rondom de diverse wegen, spoorwegen en gezoneerde bedrijventerreinen kan worden bepaald voor welke geluidsbronnen akoestisch onderzoek moet worden uitgevoerd.

#### 3.1 Selectie van geluidsbronnen

In de omgeving van de nieuwe woningen liggen geen spoorlijnen zijn in de nabijheid van de nieuwe woningen niet aanwezig. Het plangebied ligt dan ook niet in de zones van spoorlijnen. Akoestisch onderzoek naar spoorlijnen is dan ook niet nodig.

Ten zuiden van het plangebied ligt de A12. Deze snelweg heeft op dit moment 2 keer 2 rijstroken. In de toekomst wordt de A12 verbreedt naar 2 keer 3 rijstroken. Hiervoor is het tracébesluit A12/A15 Ressen-Oudbroeken (ViaA15) op 8 maart 2017 vastgesteld. Op grond van de toekomstige (verbreedde) situatie heeft de A12 een zone van 600 meter. De nieuwe woningen liggen dan ook in de zone van de verbreedde A12. Uit het tracébesluit blijkt dat door de verbreding van de A12 de geluidsbelasting afkomstig van de A12 toeneemt. In het akoestisch onderzoek is dan ook uitgegaan van situatie waarin de A12 is verbreedt.

Het perceel grenst aan de Tatelaarweg. Deze weg vormt nu de ontsluiting van Didam naar de afrit Zevenaar. In het kader van de verbreding van de A12 verdwijnt de afrit Zevenaar. Hierdoor neemt de verkeersintensiteit op de Tatelaarweg af van 10.760 mvt/e af naar 4.912 mvt/e. Tevens is het de verwachting dat bij de afwaardering van de Tatelaarweg de snelheid worden verlaagd van 80 naar 60 km/uur.

Aangezien het nog niet bekend is wanneer de afrit Zevenaar verdwijnt en de Tatelaarweg wordt afgewaardeerd is in het akoestisch onderzoek gerekend met de huidige situatie van de Tatelaarweg, dus met hoge verkeersintensiteit en 80 km/uur. Hierdoor zijn de berekende geluidsbelastingen op de nieuwe woningen na de verbreding van de A12 en dus de verwijdering van de afrit A12 dus lager dan nu zijn berekend.

Akoestisch onderzoek is noodzakelijk naar de geluidhinder afkomstig van de verbrede A12 en Tatelaarweg.

## 3.2 Uitgangspunten en verkeersgegevens

### 3.2.1 Harde en zachte bodem

In het rekenmodel is als stand bodemfactor gerekend met een harde bodem (Bf=0). De zachte bodemgebieden zoals tuinen en groen zijn gemodelleerd. Bij tuinen en het 2laags ZOAB op de A12 is een bodemfactor (Bf) van 0,5 (half hard en half zacht) aangehouden. Bij de weilanden en de groene bermen is een bodemfactor (Bf) van 0,8 aangehouden.

### 3.2.2 Waarneemhoogten

De nieuwe woningen krijgen 2 lagen met geluidsgevoelige ruimten krijgen. In onderstaande tabel worden vloerhoogten en waarneemhoogten weergegeven:

| Overzicht van waarneemhoogten |                       |                          |
|-------------------------------|-----------------------|--------------------------|
|                               | Vloerhoogte in meters | Waarneemhoogte in meters |
| Begane grond                  | 0,0                   | 1,5                      |
| Eerste verdieping             | 3,0                   | 4,5                      |

Tabel 4: Overzicht van de waarneemhoogten

### 3.2.3 Verkeersgegevens

De verkeersgegevens van de snelweg A18 zijn afkomstig uit het geluidsregister<sup>2</sup> van Rijkswaterstaat. Het geluidsregister gaat uit dat de A12 is verbreed naar 2 keer 3 rijstroken. Bij de berekening is rekening gehouden met de plafondcorrectie (werkruimte uit het geluidsregister).

De verkeersgegevens van de Tatelaarweg (N813) zijn afkomstig uit het verkeersmodel van de gemeente Montferland voor het prognosejaar 2016. In deze situatie is uitgegaan van de huidige situatie, dus met afrit Zevenaar en 80 km/uur op de Tatelaarweg. De verkeersintensiteit voor het maatgevende jaar 2031 is berekend met een autonome groei van 1,0 % per jaar.

In onderstaande tabel zijn de etmaalintensiteiten voor het prognosejaar 2016 en het maatgevende jaar 2030 weergegeven:

| Overzicht van de verkeersintensiteiten in mvt/e |                        |                           |                 |
|---|------------------------|---------------------------|-----------------|
|   | 2016<br>(prognosejaar) | 2031<br>(maatgevend jaar) | Geluidsregister |
| A12 (Noordelijke rijbaan)                       | --                     | --                        | 50.112          |
| A12 (Zuidelijke rijbaan)                        | --                     | --                        | 50.768          |
| Tatelaarweg (N813)                              | 10.760                 | 12.492                    | --              |

Tabel 5: Overzicht van de etmaalintensiteiten

<sup>2</sup> <http://www.rws.nl/geotool/geluidsregister.aspx?cookieLoad=true>, gedownload op 4 mei 2018

In onderstaande tabel zijn de periode- en voertuigverdelingen weergegeven:

| Periode- en voertuigverdelingen |                                 |          |           |          |                                   |          |           |          |                                   |          |           |          |
|---------------------------------|---------------------------------|----------|-----------|----------|-----------------------------------|----------|-----------|----------|-----------------------------------|----------|-----------|----------|
|                                 | Dagperiode<br>(07:00 t/m 19:00) |          |           |          | Avondperiode<br>(19:00 t/m 23:00) |          |           |          | Nachtperiode<br>(23:00 t/m 07:00) |          |           |          |
|                                 | %/uur                           | %<br>LMV | %<br>MZMV | %<br>ZMV | %/uur                             | %<br>LMV | %<br>MZMV | %<br>ZMV | %/uur                             | %<br>LMV | %<br>MZMV | %<br>ZMV |
| A12 (Noordelijke rijbaan)       | 6,8                             | 88,8     | 5,3       | 5,9      | 3,22                              | 90,6     | 3,7       | 5,7      | 0,69                              | 74,8     | 8,8       | 16,4     |
| A12 (Zuidelijke rijbaan)        | 6,65                            | 89,6     | 4,9       | 5,5      | 3,27                              | 91,4     | 3,3       | 5,3      | 0,89                              | 82       | 6,2       | 11,8     |
| Tatelaarweg (N813)              | 6,60                            | 91,91    | 5,86      | 2,23     | 3,340                             | 91,82    | 5,16      | 3,01     | 0,90                              | 91,64    | 4,06      | 4,30     |

Tabel 6: Periode- en voertuigverdelingen

De overige uitgangspunten, zoals snelheid, verkeersdrempels, wegdek en toegepaste aftrek op grond van artikel 110g Wgh, van de onderzochte wegen zijn weergegeven in onderstaande tabel:

| Overzicht van de overige uitgangspunten |   |                  |                             |   |
|---|---|------------------|-----------------------------|---|
|   | Wegdek                                  | Verkeersdrempels | Maximum snelheid<br>in km/u | Aftrek op grond<br>van artikel 110g<br>Wgh<br>in dB |
| A12                                     | 2-laags ZOAB                            | Nee              | 120 <sup>3</sup>            | 2 <sup>4</sup>                                      |
| Tatelaarweg (N813)                      | Dicht asfaltbeton<br>(referentiewegdek) | Nee              | 80                          | 2   |

Tabel 7: Overzicht van de overige uitgangspunten

<sup>3</sup> Conform het geluidsregister is voor de lichte motorvoertuigen 121 km/uur, middelzware voertuigen 100 km/uur en voor de zware voertuigen 90 km/uur aangehouden.

<sup>4</sup> Wanneer de geluidsbelasting na afronding 56 of 57 (exclusief aftrek op grond van artikel 110g Wgh) bedraagt, dan is de aftrek op grond van artikel 110g Wgh geen 2 dB, maar 3 respectievelijk 4 dB.

## 4 Resultaten

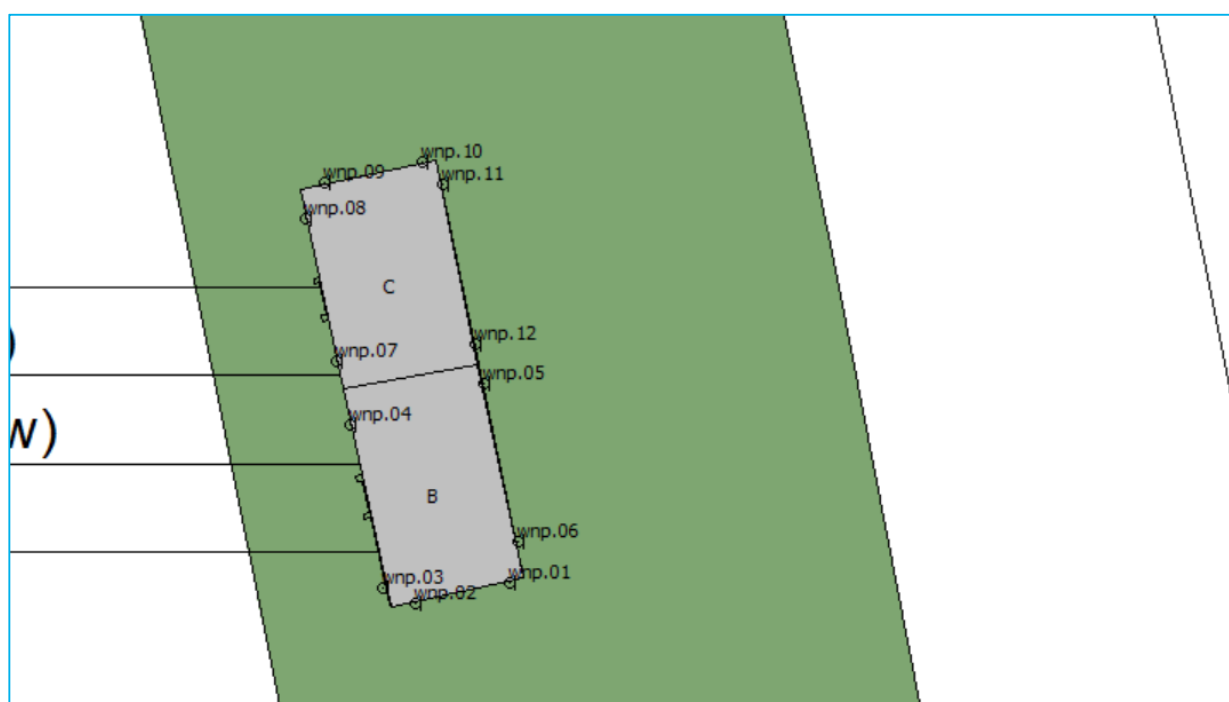
### 4.1 Onderzoekopzet

Voor de nieuwe woningen zijn de geluidsbelastingen afkomstig van de omliggende wegen berekend. De geluidsbelastingen zijn getoetst aan de normen uit de Wgh.

### 4.2 Geluidsbelastingen

De geluidsbelastingen afkomstig van de onderzochte wegen zijn bepaald met behulp van standaardrekenmethode 2-berekening. De gebruikte rekenmethode voor wegverkeer is beschreven in het RMG 2012, bijlage III, behorend bij hoofdstuk 3: Weg.

Alle berekende geluidsbelastingen zijn weergegeven in bijlage A in tabelvorm. In de onderstaande figuur staat de nummering van de waarneempunten die is gebruikt in het model:



Figuur 2: Nummering van de waarneempunten

De grafische weergave van het model is weergegeven in overzichtstekening 1, bijlage B. In deze tekening is onder meer de ligging van de verschillende waarneempunten te zien. In bijlage C zijn de invoergegevens van het model weergegeven. Mocht het bevoegd gezag voor de beoordeling van het akoestisch onderzoek het rekenmodel digitaal willen ontvangen, dan kan hiervoor contact worden opgenomen met Johan van der Burg van De **Milieu**adviseur.

#### 4.2.1 Snelweg A12

De hoogste geluidsbelastingen afkomstig van de A12 staan in de onderstaande tabel:

| Geluidsbelastingen afkomstig van de A12         |   |
|---|---|
|   | Hoogste geluidsbelastingen in dB<br>(incl. aftrek op grond van artikel 110g Wgh van 5 dB) |
| Woning B  | 51  |
| Woning C  | 50  |
| Toetsingskader                                  |   |
| Voorkeursgrenswaarde uit de Wgh                 | 48  |
| Hoogste toelaatbare geluidsbelasting uit de Wgh | 53  |

Tabel 8: Geluidsbelastingen afkomstig van de A12

#### **Conclusie**

De hoogste geluidsbelasting afkomstig van de A12 bedraagt 51 dB, inclusief aftrek op grond van artikel 110g Wgh.

Bij de nieuwe woningen wordt de voorkeursgrenswaarde van 48 dB uit de Wgh overschreden, maar wordt voldaan aan de hoogste toelaatbare geluidsbelasting van 53 dB uit de Wgh.

#### 4.2.2 Tatelaarweg (N813)

De hoogste geluidsbelastingen afkomstig van de Tatelaarweg (N813) staan in de onderstaande tabel:

| Geluidsbelastingen afkomstig van de Tatelaarweg (N813) |   |
|--|---|
|  | Hoogste geluidsbelastingen in dB<br>(incl. aftrek op grond van artikel 110g Wgh van 5 dB) |
| Woning B   | 53  |
| Woning C   | 51  |
| Toetsingskader   |   |
| Voorkeursgrenswaarde uit de Wgh                        | 48  |
| Hoogste toelaatbare geluidsbelasting uit de Wgh        | 53  |

Tabel 9: Geluidsbelastingen afkomstig van de Tatelaarweg (N813)

#### **Conclusie**

De hoogste geluidsbelasting afkomstig van de Tatelaarweg bedraagt 53 dB, inclusief aftrek op grond van artikel 110g Wgh.

Bij de nieuwe woningen wordt de voorkeursgrenswaarde van 48 dB uit de Wgh overschreden, maar wordt voldaan aan de hoogste toelaatbare geluidsbelasting van 53 dB uit de Wgh.

## 4.3 Onderzoeken naar geluidsreducerende maatregelen

Het doel van de Wgh is om geluidhinder te voorkomen en te beperken. Een geluidsbelasting tot met de voorkeursgrenswaarde garandeert een goed woon-/leefklimaat op basis van de Wgh.

De A12 en de Tatelaarweg (N813) zorgen voor een overschrijding van de voorkeursgrenswaarde, daarom is onderzoek noodzakelijk naar doeltreffende geluidsreducerende maatregelen. Wanneer de geluidsbelasting niet terug te brengen is tot de voorkeursgrenswaarde, dan kan een hogere waarde ten gevolge van de A12 en de Tatelaarweg (N813) worden verleend door de gemeente.

De ontwikkeling bestaat uit de ontwikkeling van twee nieuwe woningen, hierdoor heeft de ontwikkeling beperkte omvang. Door deze beperkte omvang is de financiële ruimte om geluidsreducerende maatregelen te nemen in het bron- en overdrachtsgebied beperkt.

Bij het treffen van maatregelen geldt een voorkeursvolgorde: bron, overdracht en ontvanger.

### 4.3.1 Bronmaatregelen

De A12 wordt verbreedt in het kader van de wegverbreding is een Tracébesluit genomen. In het kader van het Tracébesluit is een akoestisch onderzoek uitgevoerd. In dit akoestisch onderzoek is ondermeer onderzocht of de geluidshinder naar de omgeving verminderd kan worden. Uit dit akoestisch onderzoek bleek dat de voorgenomen verbreding van de A12 de stilst mogelijke uitvoering is. Het nemen van aanvullende geluidsreducerende maatregelen, zoals bron- als overdrachtsmaatregelen, is dan ook niet mogelijk.

De Tatelaarweg (N813) wordt bij het verbreding van de A12 afgewaardeerd. Doordat de afrit Zevenaar verdwijnt neemt de verkeersintensiteit op de Tatelaarweg af naar 5.163 mvt/e<sup>5</sup>. Tevens zal naar verwachting de maximum snelheid worden verlaagd van 80 km/uur naar 60 km/uur.

De hoogste geluidsbelastingen afkomstig van de Tatelaarweg (N813) na afwaardering van de weg staan in de onderstaande tabel:

| Geluidsbelastingen afkomstig van de Tatelaarweg (N813), na afwaardering |   |
|---|---|
|   | Hoogste geluidsbelastingen in dB<br>(incl. aftrek op grond van artikel 110g Wgh van 5 dB) |
| Woning B  | 47  |
| Woning C  | 43  |
| Toetsingskader  |   |
| Voorkeursgrenswaarde uit de Wgh   | 48  |
| Hoogste toelaatbare geluidsbelasting uit de Wgh                         | 53  |

Tabel 10: Geluidsbelastingen afkomstig van de Tatelaarweg (N813), na afwaardering

<sup>5</sup> Uit het verkeersmodel van de gemeente Montferland blijkt dat de verkeersintensiteit 4.912 mvt/e bedraagt in 2026. Dit komt neer op 5.163 mvt/e in het maatgevende jaar 2031.

### 4.3.2 Overdrachtsmaatregelen

Uit het Tracébesluit van de verbreding van de A12 blijkt dat het plaatsen van geluidsschermen langs de A12 geen kostenefficiënte maatregel is. Voor deze kleinschalige ontwikkeling is het plaatsen van geluidsschermen ook niet kostenefficiënt.

Het plaatsen van een effectief geluidsscherm langs de Tatelaarweg (N813) is niet gewenst vanuit stedenbouwkundig en landschappelijk oogpunt.

Tevens zullen de kosten voor het plaatsen van een scherm dusdanig hoog zijn dat dit vanuit financieel oogpunt niet rendabel is voor het plan. Het aanleggen van een geluidswal is niet gewenst gezien het ruimtebeslag hiervan.

### 4.3.3 Maatregelen bij de ontvanger

De maatregelen die kunnen worden genomen bij de ontvanger (woningen) zijn erop gericht om te voldoen aan de binnenwaarde van 33 dB. Mogelijk moeten voor de woningen met een hogere geluidsbelasting dan de voorkeursgrenswaarde aanvullende isolerende voorzieningen worden getroffen om de akoestische binnenwaarde te halen. De benodigde gevelwering is berekend in hoofdstuk 4.4.

#### **Conclusie**

Gezien de beperkte schaal van dit plan is het niet mogelijk of wenselijk om effectieve maatregelen te treffen die de geluidsbelastingen terugbrengen tot waarden die lager zijn dan de voorkeursgrenswaarde van 48 dB als gevolg van de A12.

De geluidsbelasting afkomstig van de Tatelaarweg (N813) kan bij de nieuwe woningen worden terug gebracht naar minder dan 48 dB wanneer de A12 is verbreedt (en de afrit Zevenaar is verdwenen) en de maximum snelheid op de Tatelaarweg is verlaagd van 80 km/uur naar 60 km/uur. Op deze maatregelen kan echter in het kader van deze procedure nog niet op worden geanticipeerd omdat de formele besluitvorming over de afwaardering van de Tatelaarweg nog niet heeft plaatsgevonden.

Om de binnenwaarde van 33 dB uit het 'Bouwbesluit 2012' te kunnen garanderen kan extra geluidsisolatie noodzakelijk. Bij de aanvraag van een 'Omgevingsvergunning bouwen' (voormalige bouwvergunning) kan door middel van een aanvullend bouwakoestisch onderzoek worden aangetoond dat de binnenwaarde van 33 dB wordt gehaald.

#### 4.4 Berekening van de cumulatieve geluidsbelastingen

De nieuwe woningen liggen nabij diverse wegen. De optellingen van de geluidsbelastingen van de verschillende geluidbronnen resulteert in de cumulatieve geluidsbelasting. Bij de berekening van de cumulatieve geluidsbronnen zijn alle relevante geluidsbronnen [A12 en Tatelaarweg (N813)] gebruikt bij de berekening van de cumulatieve geluidsbelastingen.

De cumulatieve geluidsbelastingen zijn berekend volgens het RMG 2012, bijlage I, hoofdstuk 2: 'Rekenmethode cumulatieve geluidsbelasting'. Aangezien alleen wegen maatgevende geluidsbronnen zijn nabij de ontwikkeling is de cumulatieve geluidsbelasting bepaald op basis van het wegverkeerspectrum.

Het overzicht met de cumulatieve geluidsbelastingen is weergegeven in bijlage 1.

De cumulatieve geluidsbelasting is van belang voor de berekening van de vereiste gevelisolatie. Volgens het Bouwbesluit 2012 moet een akoestische binnenwaarde van 33 dB bij wegverkeerslawaai worden gegarandeerd. Bij de toetsing aan het Bouwbesluit 2012 mag geen rekening worden gehouden met stiller worden van het verkeer in de toekomst (aftrek op grond van artikel 110g Wgh). Deze cumulatieve geluidsbelasting wordt aangeduid met  $L_{CUM}$ .

De hoogste cumulatieve geluidsbelastingen en de minimaal benodigde gevelwering per gevel zijn weergegeven in de onderstaande tabel:

| Cumulatieve geluidsbelastingen ( $L_{CUM}$ ) en de minimaal benodigde gevelwering |  |   |
|---|--|---|
|   | Cumulatieve geluidsbelasting in dB<br>(excl. aftrek op grond van artikel 110g Wgh) | Minimaal benodigde gevelwering<br>in dB |
| Woning B<br>Woning C  | 58<br>56   | 25<br>23                                |
| Minimale gevelwering<br>o.b.v. Bouwbesluit 2012                                   |  | 20                                      |

Tabel 11: Cumulatieve geluidsbelastingen ( $L_{CUM}$ ) en de minimaal benodigde gevelwering

Na de verbreding van de A12 en het daarbij behorende weghalen van de afrit Zevenaar wordt de Tatelaarweg rustiger. De verwachting is de Tatelaarweg wordt afgewaardeerd naar een 60 km/uur. In deze situatie bedraagt de cumulatieve geluidsbelasting minder dan weergegeven in tabel 11. In de onderstaande tabel staan hoogste cumulatieve geluidsbelastingen en de minimaal benodigde gevelwering per gevel zijn weergegeven in de situatie met de afgewaardeerde Tatelaarweg (lagere verkeersintensiteit en 60 km/uur):

| Cumulatieve geluidsbelastingen ( $L_{CUM}$ ) en de minimaal benodigde gevelwering |  |   |
|---|--|---|
|   | Cumulatieve geluidsbelasting in dB<br>(excl. aftrek op grond van artikel 110g Wgh) | Minimaal benodigde gevelwering<br>in dB |
| Woning B<br>Woning C  | 55<br>54   | 22<br>21                                |
| Minimale gevelwering<br>o.b.v. Bouwbesluit 2012                                   |  | 20                                      |

Tabel 12: Cumulatieve geluidsbelastingen ( $L_{CUM}$ ) met afgewaardeerde Taterlaarweg en de benodigde gevelwering



## 5 Conclusie

Op het perceel Tatelaarweg 32 in Didam ligt een voormalige agrarisch bedrijf. De agrarische bedrijfsgebouwen op dit perceel worden gesloopt. In plaats van de agrarische bedrijfsgebouwen worden twee nieuwe woningen gerealiseerd.

Door de nieuwe ontwikkeling worden woningen (geluidsgevoelige bestemmingen) gerealiseerd. Voor de realisatie van deze nieuwe woningen is akoestisch onderzoek verricht. De geluidsbelasting van de nieuwe woningen wordt getoetst aan de normen uit de Wet geluidhinder (Wgh).

### 5.1 Toetsing aan de Wet geluidhinder

#### *Snelweg A12*

De hoogste geluidsbelasting afkomstig van de A12 bedraagt 51 dB, inclusief aftrek op grond van artikel 110g Wgh.

Bij de nieuwe woningen wordt de voorkeursgrenswaarde van 48 dB uit de Wgh overschreden, maar wordt voldaan aan de hoogste toelaatbare geluidsbelasting van 53 dB uit de Wgh.

#### *Tatelaarweg (N813)*

Het perceel grenst aan de Tatelaarweg. Deze weg vormt nu de ontsluiting van Didam naar de afrit Zevenaar. In het kader van de verbreding van de A12 verdwijnt de afrit Zevenaar. Hierdoor neemt de verkeersintensiteit op de Tatelaarweg af van 10.760 mvt/e af naar 4.912 mvt/e. Tevens is het de verwachting dat bij de afwaardering van de Tatelaarweg de snelheid worden verlaagd van 80 naar 60 km/uur.

Aangezien het nog niet bekend is wanneer de afrit Zevenaar verdwijnt en de Tatelaarweg wordt afgewaardeerd is in het akoestisch onderzoek gerekend met de huidige situatie van de Tatelaarweg, dus met hoge verkeersintensiteit en 80 km/uur. Hierdoor zijn de berekende geluidsbelastingen op de nieuwe woningen na de verbreding van de A12 en dus de verwijdering van de afrit A12 dus lager dan nu zijn berekend.

De hoogste geluidsbelasting afkomstig van de Tatelaarweg bedraagt 53 dB, inclusief aftrek op grond van artikel 110g Wgh.

Bij de nieuwe woningen wordt de voorkeursgrenswaarde van 48 dB uit de Wgh overschreden, maar wordt voldaan aan de hoogste toelaatbare geluidsbelasting van 53 dB uit de Wgh.

#### 5.1.1 Verlening hogere grenswaarde

Het doel van de Wgh is geluidhinder te voorkomen. Maatregelen om de voorkeursgrenswaarde te bereiken zijn bijvoorbeeld het toepassen van stil wegdek op de A12 en de Tatelaarweg (N813), het vergroten van de afstand tussen de woningen en de weg of het toepassen van dove gevels. Gezien de beperkte schaal van dit plan (realisatie van twee woningen) is het niet mogelijk of gewenst om effectieve maatregelen te treffen die de geluidsbelastingen terugbrengen tot de voorkeursgrenswaarde van 48 dB.

Op basis van de Wgh kan de gemeente Montferland een hogere waarde verlenen. De verlening van de hogere waarde vindt plaats in een aparte hogere waarde-procedure gelijktijdig met de ruimtelijke procedure. De te verlenen hogere waarden zijn weergegeven in de onderstaande tabel:

| Te verlenen hogere waarde |                                  |                    |
|---------------------------|----------------------------------|--------------------|
|                           | Te verlenen hogere waarden in dB |                    |
|                           | A12                              | Tatelaarweg (N813) |
| Woning B                  | 51                               | 53                 |
| Woning C                  | 50                               | 51                 |

Tabel 13: Te verlenen hogere waarden

## 5.2 Toetsing aan het Bouwbesluit 2012

Op grond van het Bouwbesluit 2012 dient een akoestische binnenwaarde van 33 dB bij woningen ten gevolge van wegverkeerslawaaï gegarandeerd te worden. Volgens artikel 3.2 van het Bouwbesluit 2012 bezit een standaard gevelconstructie een minimale geluidsisolatie van 20 dB.

De hoogste cumulatieve geluidsbelastingen en de minimaal benodigde gevelwering per gevel zijn weergegeven in de onderstaande tabel:

| Cumulatieve geluidsbelastingen ( $L_{CUM}$ ) en de minimaal benodigde gevelwering |  |   |
|---|--|---|
|   | Cumulatieve geluidsbelasting in dB<br>(excl. aftrek op grond van artikel 110g Wgh) | Minimaal benodigde gevelwering<br>in dB |
| Woning B  | 58   | 25                                      |
| Woning C  | 56   | 23                                      |
| Minimale gevelwering<br>o.b.v. Bouwbesluit 2012                                   |  | 20                                      |

Tabel 14: Cumulatieve geluidsbelastingen ( $L_{CUM}$ ) en de minimaal benodigde gevelwering

Na de verbreding van de A12 en het daarbij behorende weghalen van de afrit Zevenaar wordt de Tatelaarweg rustiger. De verwachting is de Tatelaarweg wordt afgewaardeerd naar een 60 km/uur. In deze situatie bedraagt de cumulatieve geluidsbelasting minder dan weergegeven in tabel 11. In de onderstaande tabel staan hoogste cumulatieve geluidsbelastingen en de minimaal benodigde gevelwering per gevel zijn weergegeven in de situatie met de afgewaardeerde Tatelaarweg (lagere verkeersintensiteit en 60 km/uur):

| Cumulatieve geluidsbelastingen ( $L_{CUM}$ ) en de minimaal benodigde gevelwering |  |   |
|---|--|---|
|   | Cumulatieve geluidsbelasting in dB<br>(excl. aftrek op grond van artikel 110g Wgh) | Minimaal benodigde gevelwering<br>in dB |
| Woning B  | 55   | 22                                      |
| Woning C  | 54   | 21                                      |
| Minimale gevelwering<br>o.b.v. Bouwbesluit 2012                                   |  | 20                                      |

Tabel 15: Cumulatieve geluidsbelastingen ( $L_{CUM}$ ) met afgewaardeerde Taterlaarweg en de benodigde gevelwering

## **Bijlagen**

### **Bijlage A: Geluidsbelastingen, in tabelvorm**



| <b>Geluidsbelastingen in tabelvorm</b> |                         |   |   |                         |                               |  |                         |                               |   |                               |
|--|-------------------------|---|---|-------------------------|-------------------------------|--|-------------------------|-------------------------------|---|-------------------------------|
| Waarneempunt                           | Waarneemhoogte in meter | Ligging van de waarneempunt                         | Geluidsbelastingen afkomstig van de A12 in dB |                         |                               | Geluidsbelastingen afkomstig van de Tatelaarweg (N813) in dB |                         |                               | Cumulatieve geluidsbelastingen in dB              |                               |
|  |                         |   | Excl. aftrek ex art. 110g Wgh                 | Aftrek ex art. 110g Wgh | Incl. aftrek ex art. 110g Wgh | Excl. aftrek ex art. 110g Wgh                                | Aftrek ex art. 110g Wgh | Incl. aftrek ex art. 110g Wgh | L <sub>CUM</sub><br>Excl. aftrek ex art. 110g Wgh | Incl. aftrek ex art. 110g Wgh |
| wnp.01                                 | 1,5                     | woning B  | 51,18   | 2                       | 49,18                         | 54,11  | 2                       | 52,11                         | 55,90   |                               |
| wnp.01                                 | 4,5                     | woning B  | 52,57   | 2                       | 50,57                         | 55,55  | 3                       | 52,55                         | 57,32   |                               |
| wnp.02                                 | 1,5                     | woning B  | 51,60   | 2                       | 49,60                         | 54,50  | 2                       | 52,50                         | 56,30   |                               |
| wnp.02                                 | 4,5                     | woning B  | 52,89   | 2                       | 50,89                         | 55,96  | 3                       | 52,96                         | 57,70   |                               |
| wnp.03                                 | 1,5                     | woning B  | 51,61   | 2                       | 49,61                         | 52,83  | 2                       | 50,83                         | 55,27   |                               |
| wnp.03                                 | 4,5                     | woning B  | 52,91   | 2                       | 50,91                         | 54,15  | 2                       | 52,15                         | 56,58   |                               |
| wnp.04                                 | 1,5                     | woning B  | 51,19   | 2                       | 49,19                         | 51,96  | 2                       | 49,96                         | 54,60   |                               |
| wnp.04                                 | 4,5                     | woning B  | 52,45   | 2                       | 50,45                         | 53,18  | 2                       | 51,18                         | 55,84   |                               |
| wnp.05                                 | 1,5                     | woning B  | 45,27   | 2                       | 43,27                         | 48,04  | 2                       | 46,04                         | 49,88   |                               |
| wnp.05                                 | 4,5                     | woning B  | 47,36   | 2                       | 45,36                         | 49,83  | 2                       | 47,83                         | 51,78   |                               |
| wnp.06                                 | 1,5                     | woning B  | 44,82   | 2                       | 42,82                         | 48,91  | 2                       | 46,91                         | 50,34   |                               |
| wnp.06                                 | 4,5                     | woning B  | 46,69   | 2                       | 44,69                         | 50,74  | 2                       | 48,74                         | 52,18   |                               |
| wnp.07                                 | 1,5                     | woning C  | 51,10   | 2                       | 49,10                         | 51,61  | 2                       | 49,61                         | 54,37   |                               |
| wnp.07                                 | 4,5                     | woning C  | 52,40   | 2                       | 50,40                         | 52,81  | 2                       | 50,81                         | 55,62   |                               |
| wnp.08                                 | 1,5                     | woning C  | 50,84   | 2                       | 48,84                         | 50,68  | 2                       | 48,68                         | 53,77   |                               |
| wnp.08                                 | 4,5                     | woning C  | 52,20   | 2                       | 50,20                         | 51,82  | 2                       | 49,82                         | 55,02   |                               |
| wnp.09                                 | 1,5                     | woning C  | 42,17   | 2                       | 40,17                         | 20,77  | 2                       | 18,77                         | 42,20   |                               |
| wnp.09                                 | 4,5                     | woning C  | 43,47   | 2                       | 41,47                         | 22,13  | 2                       | 20,13                         | 43,50   |                               |
| wnp.10                                 | 1,5                     | woning C  | 42,82   | 2                       | 40,82                         | 20,73  | 2                       | 18,73                         | 42,85   |                               |
| wnp.10                                 | 4,5                     | woning C  | 44,00   | 2                       | 42,00                         | 22,07  | 2                       | 20,07                         | 44,03   |                               |
| wnp.11                                 | 1,5                     | woning C  | 43,37   | 2                       | 41,37                         | 48,34  | 2                       | 46,34                         | 49,54   |                               |
| wnp.11                                 | 4,5                     | woning C  | 46,33   | 2                       | 44,33                         | 49,79  | 2                       | 47,79                         | 51,41   |                               |
| wnp.12                                 | 1,5                     | woning C  | 44,63   | 2                       | 42,63                         | 47,82  | 2                       | 45,82                         | 49,52   |                               |
| wnp.12                                 | 4,5                     | woning C  | 46,77   | 2                       | 44,77                         | 49,55  | 2                       | 47,55                         | 51,39   |                               |
| <b>Hoogste geluidsbelastingen</b>      |                         |   |   |                         |                               |  |                         |                               |   |                               |
|  |                         | woning B  | 53  |                         | 51                            | 56   |                         | 53                            | 58  |                               |
|  |                         | woning C  | 52  |                         | 50                            | 53   |                         | 51                            | 56  |                               |
|  |                         | Hoogste geluidsbelasting                            | 53  |                         | 51                            | 56   |                         | 53                            | 58  |                               |
| <b>Toetsingskader</b>                  |                         |   |   |                         |                               |  |                         |                               |   |                               |
|  |                         | Voorkeursgrenswaarde uit de Wgh                     | -   |                         | 48                            | -  |                         | 48                            | -   |                               |
|  |                         | Ten hoogste toelaatbare geluidsbelasting uit de Wgh | -   |                         | 53                            | -  |                         | 53                            | -   |                               |

**Bijlage B, Overzichtstekening 1: Grafische weergave van het model**





Wonen  
Toesporium  
Bouwingebieden  
Gebouwen  
Schermen

0 m 5 m 10 m

Schaal: 1:1000



## **Bijlage C: Invoergegevens van het model**



## Invoergegevens van het model

---

Rapport: Lijst van model eigenschappen  
Model: Tatelaarweg op basis van 2031 (tracebesluit) met tatelaarweg 80 km/uur

### Model eigenschap

---

|                                   |  |
|-----------------------------------|--|
| Omschrijving                      | Tatelaarweg op basis van 2031 (tracebesluit) met tatelaarweg 80 km/uur |
| Verantwoordelijke                 | Johan  |
| Rekenmethode                      | #2 Wegverkeerslawaai RMG-2012, wegverkeer                              |
| Aangemaakt door                   | Johan op 4-5-2018  |
| Laatst ingezien door              | Johan op 5-7-2021  |
| Model aangemaakt met              | Geomilieu V4.30  |
| Dagperiode                        | 07:00 - 19:00  |
| Avondperiode                      | 19:00 - 23:00  |
| Nachtperiode                      | 23:00 - 07:00  |
| Samengestelde periode             | Lden   |
| Waarde                            | Gem(Dag, Avond + 5, Nacht + 10)  |
| Standaard maaiveldhoogte          | 0  |
| Rekenhoogte contouren             | 4,5  |
| Detailniveau toetspunt resultaten | Groepsresultaten   |
| Detailniveau resultaten grids     | Groepsresultaten   |
| Aandachtsgebied                   | --   |
| Max.refl.afstand                  | --   |
| Standaard bodemfactor             | 0,00   |
| Zichthoek                         | 2  |
| Max.refl.diepte                   | 1  |
| Geometrische uitbreiding          | Volledige 3D analyse   |
| Luchtdemping                      | Conform standaard  |
| Luchtdemping [dB/km]              | 0,00; 0,00; 1,00; 2,00; 4,00; 10,00; 23,00; 58,00                      |
| Meteorologische correctie         | Conform standaard  |
| Waarde voor C0                    | 3,50   |

## Invoergegevens van het model

---

Commentaar

## Invoergegevens van het model

---

Rapport: Groepsreducties

Model: Tatelaarweg op basis van 2031 (tracebesluit) met tatelaarweg 80 km/uur

| Groep        | Reductie |       |       | Sommatie |       |       |
|--------------|----------|-------|-------|----------|-------|-------|
|              | Dag      | Avond | Nacht | Dag      | Avond | Nacht |
| Berm         | 0,00     | 0,00  | 0,00  | 0,00     | 0,00  | 0,00  |
| bgt_pand.gml | 0,00     | 0,00  | 0,00  | 0,00     | 0,00  | 0,00  |
| Gebouw       | 0,00     | 0,00  | 0,00  | 0,00     | 0,00  | 0,00  |
| plangebied   | 0,00     | 0,00  | 0,00  | 0,00     | 0,00  | 0,00  |
| schermen     | 0,00     | 0,00  | 0,00  | 0,00     | 0,00  | 0,00  |
| Tuin         | 0,00     | 0,00  | 0,00  | 0,00     | 0,00  | 0,00  |
| wegen        | 0,00     | 0,00  | 0,00  | 0,00     | 0,00  | 0,00  |
| A12          | 2,00     | 2,00  | 2,00  | 2,00     | 2,00  | 2,00  |
| N813         | 2,00     | 2,00  | 2,00  | 2,00     | 2,00  | 2,00  |
| Weiland      | 0,00     | 0,00  | 0,00  | 0,00     | 0,00  | 0,00  |

## Invoergegevens van het model

Model: Tatelaarweg op basis van 2031 (tracebesluit) met tatelaarweg 80 km/uur  
Tatelaarweg (2021-07) - Tatelaarweg  
Groep: (hoofdgroep)  
Lijst van Wegen, voor rekenmethode Wegverkeerslawaaï - RMG-2012, wegverkeer

| Groep | ItemID | Grp.ID | Datum             | 1e kid | NrKids | Naam   | Omschr.            | Vorm     |
|-------|--------|--------|-------------------|--------|--------|--------|--------------------|----------|
| A12   | 62506  | 7      | 19:50, 9 nov 2018 | -3     | 2      | 147837 | 0 / 0,000 / 0,000  | Polylijn |
| A12   | 62511  | 7      | 19:50, 9 nov 2018 | -7     | 1      | 147843 | 0 / 0,000 / 0,000  | Polylijn |
| A12   | 62699  | 7      | 19:50, 9 nov 2018 | -61    | 1      | 148050 | 0 / 0,000 / 0,000  | Polylijn |
| A12   | 62700  | 7      | 19:50, 9 nov 2018 | -63    | 2      | 148051 | 0 / 0,000 / 0,000  | Polylijn |
| A12   | 69774  | 7      | 19:50, 9 nov 2018 | -29788 | 1      | 147848 | 0 / 0,000 / 0,000  | Polylijn |
| A12   | 69775  | 7      | 19:50, 9 nov 2018 | -29790 | 2      | 147973 | 0 / 0,000 / 0,000  | Polylijn |
| N813  | 69771  | 9      | 18:21, 5 jul 2021 | -29774 | 2      | N813   | Tatelaarweg (N813) | Polylijn |

## Invoergegevens van het model

Model: Tatelaarweg op basis van 2031 (tracebesluit) met tatelaarweg 80 km/uur  
Tatelaarweg (2021-07) - Tatelaarweg  
Groep: (hoofdgroep)  
Lijst van Wegen, voor rekenmethode Wegverkeerslawaaai - RMG-2012, wegverkeer

| Groep | X-1       | Y-1       | X-n       | Y-n       | H-1  | H-n  | M-1  | M-n  | ISO_H |
|-------|-----------|-----------|-----------|-----------|------|------|------|------|-------|
| A12   | 204417,56 | 438321,64 | 202881,08 | 439500,58 | 0,00 | 0,00 | 0,00 | 0,00 | 0,00  |
| A12   | 204415,80 | 438316,51 | 202876,94 | 439497,20 | 0,00 | 0,00 | 0,00 | 0,00 | 0,00  |
| A12   | 204277,59 | 438403,38 | 204389,99 | 438317,14 | 0,00 | 0,00 | 0,00 | 0,00 | 0,00  |
| A12   | 204273,05 | 438399,99 | 204385,61 | 438313,84 | 0,00 | 0,00 | 0,00 | 0,00 | 0,00  |
| A12   | 202872,44 | 439481,42 | 204277,59 | 438403,38 | 0,00 | 0,00 | 0,00 | 0,00 | 0,00  |
| A12   | 202868,42 | 439477,85 | 204273,05 | 438399,99 | 0,00 | 0,00 | 0,00 | 0,00 | 0,00  |
| N813  | 203478,19 | 439162,68 | 204344,68 | 439067,11 | 0,00 | 0,00 | 0,00 | 0,00 | 0,00  |

## Invoergegevens van het model

---

Model: Tatelaarweg op basis van 2031 (tracebesluit) met tatelaarweg 80 km/uur  
Tatelaarweg (2021-07) - Tatelaarweg  
Groep: (hoofdgroep)  
Lijst van Wegen, voor rekenmethode Wegverkeerslawaaai - RMG-2012, wegverkeer

| Groep | Min.RH | Max.RH | Min.AH | Max.AH | ISO M. | Hdef.                          | Vormpunten |
|-------|--------|--------|--------|--------|--------|--------------------------------|------------|
| A12   | 0,00   | 0,00   | 0,00   | 0,00   | 0,00   | Relatief aan onderliggend item | 4          |
| A12   | 0,00   | 0,00   | 0,00   | 0,00   | 0,00   | Relatief aan onderliggend item | 3          |
| A12   | 0,00   | 0,00   | 0,00   | 0,00   | 0,00   | Relatief aan onderliggend item | 2          |
| A12   | 0,00   | 0,00   | 0,00   | 0,00   | 0,00   | Relatief aan onderliggend item | 3          |
| A12   | 0,00   | 0,00   | 0,00   | 0,00   | 0,00   | Relatief aan onderliggend item | 3          |
| A12   | 0,00   | 0,00   | 0,00   | 0,00   | 0,00   | Relatief aan onderliggend item | 4          |
| N813  | 0,00   | 0,00   | 0,00   | 0,00   | 0,00   | Relatief                       | 18         |



## Invoergegevens van het model

---

Model: Tatelaarweg op basis van 2031 (tracebesluit) met tatelaarweg 80 km/uur  
Tatelaarweg (2021-07) - Tatelaarweg  
Groep: (hoofdgroep)  
Lijst van Wegen, voor rekenmethode Wegverkeerslawaaai - RMG-2012, wegverkeer

| Groep | Lengte  | Lengte3D | Min.lengte | Max.lengte | Type        | Cpl   | Cpl_W | Hbron |
|-------|---------|----------|------------|------------|-------------|-------|-------|-------|
| A12   | 1936,66 | 1936,66  | 166,16     | 1010,50    | Intensiteit | True  | 0,0   | 0,75  |
| A12   | 1939,62 | 1939,62  | 169,61     | 1770,00    | Intensiteit | True  | 0,0   | 0,75  |
| A12   | 141,67  | 141,67   | 141,67     | 141,67     | Intensiteit | True  | 0,0   | 0,75  |
| A12   | 141,74  | 141,74   | 42,35      | 99,39      | Intensiteit | True  | 0,0   | 0,75  |
| A12   | 1771,05 | 1771,05  | 71,86      | 1699,19    | Intensiteit | True  | 0,0   | 0,75  |
| A12   | 1770,53 | 1770,53  | 72,88      | 1099,99    | Intensiteit | True  | 0,0   | 0,75  |
| N813  | 910,85  | 910,85   | 15,27      | 193,86     | Verdeling   | False | 1,5   | 0,75  |

## Invoergegevens van het model

---

Model: Tatelaarweg op basis van 2031 (tracebesluit) met tatelaarweg 80 km/uur  
Tatelaarweg (2021-07) - Tatelaarweg  
Groep: (hoofdgroep)  
Lijst van Wegen, voor rekenmethode Wegverkeerslawaaai - RMG-2012, wegverkeer

| Groep | Helling | Wegdek | Wegdek           | V (MR (D)) | V (MR (A)) | V (MR (N)) | V (MR (P4)) | V (LV (D)) | V (LV (A)) | V (LV (N)) |
|-------|---------|--------|------------------|------------|------------|------------|-------------|------------|------------|------------|
| A12   | 0       | W4     | 2L ZOAB          | --         | --         | --         | --          | 121        | 121        | 121        |
| A12   | 0       | W4     | 2L ZOAB          | --         | --         | --         | --          | 121        | 121        | 121        |
| A12   | 0       | W4     | 2L ZOAB          | --         | --         | --         | --          | 121        | 121        | 121        |
| A12   | 0       | W4     | 2L ZOAB          | --         | --         | --         | --          | 121        | 121        | 121        |
| A12   | 0       | W4     | 2L ZOAB          | --         | --         | --         | --          | 121        | 121        | 121        |
| A12   | 0       | W4     | 2L ZOAB          | --         | --         | --         | --          | 121        | 121        | 121        |
| N813  | 0       | W1     | Referentiewegdek | 80         | 80         | 80         | --          | 80         | 80         | 80         |

## Invoergegevens van het model

---

Model: Tatelaarweg op basis van 2031 (tracebesluit) met tatelaarweg 80 km/uur  
Tatelaarweg (2021-07) - Tatelaarweg  
Groep: (hoofdgroep)  
Lijst van Wegen, voor rekenmethode Wegverkeerslawaaai - RMG-2012, wegverkeer

| Groep | V(LV(P4)) | V(MV(D)) | V(MV(A)) | V(MV(N)) | V(MV(P4)) | V(ZV(D)) | V(ZV(A)) | V(ZV(N)) | V(ZV(P4)) | 30 km/uur |
|-------|-----------|----------|----------|----------|-----------|----------|----------|----------|-----------|-----------|
| A12   | --        | 100      | 100      | 100      | --        | 90       | 90       | 90       | --        | False     |
| A12   | --        | 100      | 100      | 100      | --        | 90       | 90       | 90       | --        | False     |
| A12   | --        | 100      | 100      | 100      | --        | 90       | 90       | 90       | --        | False     |
| A12   | --        | 100      | 100      | 100      | --        | 90       | 90       | 90       | --        | False     |
| A12   | --        | 100      | 100      | 100      | --        | 90       | 90       | 90       | --        | False     |
| A12   | --        | 100      | 100      | 100      | --        | 90       | 90       | 90       | --        | False     |
| N813  | --        | 80       | 80       | 80       | --        | 80       | 80       | 80       | --        | False     |

## Invoergegevens van het model

Model: Tatelaarweg op basis van 2031 (tracebesluit) met tatelaarweg 80 km/uur  
Tatelaarweg (2021-07) - Tatelaarweg  
Groep: (hoofdgroep)  
Lijst van Wegen, voor rekenmethode Wegverkeerslawaaï - RMG-2012, wegverkeer

| Groep | Totaal aantal | %Int (D) | %Int (A) | %Int (N) | %Int (P4) | %MR (D) | %MR (A) | %MR (N) | %MR (P4) | %LV (D) | %LV (A) | %LV (N) |
|-------|---------------|----------|----------|----------|-----------|---------|---------|---------|----------|---------|---------|---------|
| A12   | 28378,00      | 6,67     | 3,11     | 0,93     | --        | --      | --      | --      | --       | 79,99   | 82,80   | 67,49   |
| A12   | 22534,00      | 6,72     | 3,25     | 0,79     | --        | --      | --      | --      | --       | 100,00  | 100,00  | 100,00  |
| A12   | 18368,00      | 6,67     | 3,35     | 0,82     | --        | --      | --      | --      | --       | 100,00  | 100,00  | 100,00  |
| A12   | 23260,00      | 6,63     | 3,20     | 0,96     | --        | --      | --      | --      | --       | 79,49   | 82,68   | 67,34   |
| A12   | 22662,00      | 6,67     | 3,34     | 0,82     | --        | --      | --      | --      | --       | 100,00  | 100,00  | 100,00  |
| A12   | 28106,00      | 6,63     | 3,21     | 0,95     | --        | --      | --      | --      | --       | 81,12   | 84,13   | 69,55   |
| N813  | 12492,00      | 6,60     | 3,40     | 0,90     | --        | --      | --      | --      | --       | 91,91   | 91,82   | 91,64   |

## Invoergegevens van het model

---

Model: Tatelaarweg op basis van 2031 (tracebesluit) met tatelaarweg 80 km/uur  
Tatelaarweg (2021-07) - Tatelaarweg

Groep: (hoofdgroep)  
Lijst van Wegen, voor rekenmethode Wegverkeerslawaaï - RMG-2012, wegverkeer

| Groep | %LV (P4) | %MV (D) | %MV (A) | %MV (N) | %MV (P4) | %ZV (D) | %ZV (A) | %ZV (N) | %ZV (P4) | MR (D) | MR (A) | MR (N) | MR (P4) |
|-------|----------|---------|---------|---------|----------|---------|---------|---------|----------|--------|--------|--------|---------|
| A12   | --       | 9,45    | 6,68    | 11,34   | --       | 10,56   | 10,53   | 21,17   | --       | --     | --     | --     | --      |
| A12   | --       | --      | --      | --      | --       | --      | --      | --      | --       | --     | --     | --     | --      |
| A12   | --       | --      | --      | --      | --       | --      | --      | --      | --       | --     | --     | --     | --      |
| A12   | --       | 9,67    | 6,71    | 11,19   | --       | 10,84   | 10,60   | 21,48   | --       | --     | --     | --     | --      |
| A12   | --       | --      | --      | --      | --       | --      | --      | --      | --       | --     | --     | --     | --      |
| A12   | --       | 8,90    | 6,10    | 10,53   | --       | 9,98    | 9,77    | 19,92   | --       | --     | --     | --     | --      |
| N813  | --       | 5,86    | 5,16    | 4,06    | --       | 2,23    | 3,01    | 4,30    | --       | --     | --     | --     | --      |

## Invoergegevens van het model

---

Model: Tatelaarweg op basis van 2031 (tracebesluit) met tatelaarweg 80 km/uur  
Tatelaarweg (2021-07) - Tatelaarweg  
Groep: (hoofdgroep)  
Lijst van Wegen, voor rekenmethode Wegverkeerslawaaai - RMG-2012, wegverkeer

| Groep | LV (D)  | LV (A) | LV (N) | LV (P4) | MV (D) | MV (A) | MV (N) | MV (P4) | ZV (D) | ZV (A) |
|-------|---------|--------|--------|---------|--------|--------|--------|---------|--------|--------|
| A12   | 1515,00 | 731,50 | 178,50 | --      | 179,00 | 59,00  | 30,00  | --      | 200,00 | 93,00  |
| A12   | 1515,00 | 731,50 | 178,50 | --      | --     | --     | --     | --      | --     | --     |
| A12   | 1225,00 | 616,00 | 150,50 | --      | --     | --     | --     | --      | --     | --     |
| A12   | 1225,00 | 616,00 | 150,50 | --      | 149,00 | 50,00  | 25,00  | --      | 167,00 | 79,00  |
| A12   | 1512,50 | 758,00 | 185,00 | --      | --     | --     | --     | --      | --     | --     |
| A12   | 1512,50 | 758,00 | 185,00 | --      | 166,00 | 55,00  | 28,00  | --      | 186,00 | 88,00  |
| N813  | 757,77  | 389,99 | 103,03 | --      | 48,31  | 21,92  | 4,56   | --      | 18,39  | 12,78  |

## Invoergegevens van het model

Model: Tatelaarweg op basis van 2031 (tracebesluit) met tatelaarweg 80 km/uur  
Tatelaarweg (2021-07) - Tatelaarweg  
Groep: (hoofdgroep)  
Lijst van Wegen, voor rekenmethode Wegverkeerslawaaï - RMG-2012, wegverkeer

| Groep | ZV(N) | ZV(P4) | LE (D) 63 | LE (D) 125 | LE (D) 250 | LE (D) 500 | LE (D) 1k | LE (D) 2k | LE (D) 4k | LE (D) 8k |
|-------|-------|--------|-----------|------------|------------|------------|-----------|-----------|-----------|-----------|
| A12   | 56,00 | --     | 90,54     | 101,59     | 105,12     | 108,93     | 114,67    | 108,93    | 103,51    | 94,33     |
| A12   | --    | --     | 83,73     | 98,12      | 101,41     | 105,20     | 113,79    | 107,67    | 102,20    | 93,17     |
| A12   | --    | --     | 82,81     | 97,20      | 100,49     | 104,28     | 112,87    | 106,75    | 101,28    | 92,25     |
| A12   | 48,00 | --     | 89,72     | 100,74     | 104,27     | 108,09     | 113,77    | 108,04    | 102,62    | 93,44     |
| A12   | --    | --     | 83,73     | 98,11      | 101,41     | 105,20     | 113,78    | 107,67    | 102,20    | 93,16     |
| A12   | 53,00 | --     | 90,29     | 101,41     | 104,94     | 108,75     | 114,61    | 108,85    | 103,42    | 94,25     |
| N813  | 4,83  | --     | 82,47     | 92,38      | 97,61      | 104,61     | 111,42    | 107,63    | 100,77    | 89,73     |

## Invoergegevens van het model

---

Model: Tatelaarweg op basis van 2031 (tracebesluit) met tatelaarweg 80 km/uur  
Tatelaarweg (2021-07) - Tatelaarweg  
Groep: (hoofdgroep)  
Lijst van Wegen, voor rekenmethode Wegverkeerslawaaï - RMG-2012, wegverkeer

| Groep | LE (D) | Totaal | LE (A) 63 | LE (A) 125 | LE (A) 250 | LE (A) 500 | LE (A) 1k | LE (A) 2k | LE (A) 4k | LE (A) 8k |
|-------|--------|--------|-----------|------------|------------|------------|-----------|-----------|-----------|-----------|
| A12   |        | 117,18 | 87,04     | 97,97      | 101,55     | 105,45     | 111,40    | 105,60    | 100,17    | 91,02     |
| A12   |        | 115,68 | 80,57     | 94,96      | 98,25      | 102,04     | 110,63    | 104,51    | 99,04     | 90,01     |
| A12   |        | 114,76 | 79,83     | 94,21      | 97,51      | 101,30     | 109,88    | 103,77    | 98,29     | 89,26     |
| A12   |        | 116,30 | 86,32     | 97,24      | 100,82     | 104,72     | 110,66    | 104,86    | 99,43     | 90,28     |
| A12   |        | 115,68 | 80,73     | 95,11      | 98,41      | 102,20     | 110,78    | 104,67    | 99,19     | 90,16     |
| A12   |        | 117,09 | 86,89     | 97,91      | 101,48     | 105,38     | 111,49    | 105,67    | 100,23    | 91,09     |
| N813  |        | 113,91 | 79,83     | 89,52      | 94,78      | 101,93     | 108,59    | 104,78    | 97,91     | 86,88     |



## Invoergegevens van het model

---

Model: Tatelaarweg op basis van 2031 (tracebesluit) met tatelaarweg 80 km/uur  
Tatelaarweg (2021-07) - Tatelaarweg  
Groep: (hoofdgroep)  
Lijst van Wegen, voor rekenmethode Wegverkeerslawaaï - RMG-2012, wegverkeer

| Groep | LE (A) | Totaal | LE (N) 63 | LE (N) 125 | LE (N) 250 | LE (N) 500 | LE (N) 1k | LE (N) 2k | LE (N) 4k | LE (N) 8k |
|-------|--------|--------|-----------|------------|------------|------------|-----------|-----------|-----------|-----------|
| A12   |        | 113,84 | 84,12     | 94,02      | 97,75      | 101,74     | 106,14    | 100,61    | 95,20     | 85,97     |
| A12   |        | 112,52 | 74,45     | 88,83      | 92,13      | 95,92      | 104,50    | 98,39     | 92,91     | 83,88     |
| A12   |        | 111,78 | 73,71     | 88,09      | 91,39      | 95,18      | 103,76    | 97,65     | 92,17     | 83,14     |
| A12   |        | 113,10 | 83,43     | 93,29      | 97,03      | 101,04     | 105,42    | 99,88     | 94,47     | 85,24     |
| A12   |        | 112,68 | 74,60     | 88,99      | 92,28      | 96,07      | 104,66    | 98,54     | 93,07     | 84,04     |
| A12   |        | 113,89 | 83,92     | 93,89      | 97,61      | 101,60     | 106,17    | 100,61    | 95,19     | 85,97     |
| N813  |        | 111,09 | 74,45     | 83,79      | 89,10      | 96,47      | 102,90    | 99,06     | 92,18     | 81,17     |

## Invoergegevens van het model

---

Model: Tatelaarweg op basis van 2031 (tracebesluit) met tatelaarweg 80 km/uur  
Tatelaarweg (2021-07) - Tatelaarweg  
Groep: (hoofdgroep)  
Lijst van Wegen, voor rekenmethode Wegverkeerslawaaai - RMG-2012, wegverkeer

| Groep | LE (N) | Totaal | LE (P4) 63 | LE (P4) 125 | LE (P4) 250 | LE (P4) 500 | LE (P4) 1k | LE (P4) 2k | LE (P4) 4k | LE (P4) 8k |
|-------|--------|--------|------------|-------------|-------------|-------------|------------|------------|------------|------------|
| A12   |        | 109,03 | --         | --          | --          | --          | --         | --         | --         | --         |
| A12   |        | 106,40 | --         | --          | --          | --          | --         | --         | --         | --         |
| A12   |        | 105,66 | --         | --          | --          | --          | --         | --         | --         | --         |
| A12   |        | 108,31 | --         | --          | --          | --          | --         | --         | --         | --         |
| A12   |        | 106,55 | --         | --          | --          | --          | --         | --         | --         | --         |
| A12   |        | 109,01 | --         | --          | --          | --          | --         | --         | --         | --         |
| N813  |        | 105,42 | --         | --          | --          | --          | --         | --         | --         | --         |

## Invoergegevens van het model

---

Model: Tatelaarweg op basis van 2031 (tracebesluit) met tatelaarweg 80 km/uur  
Tatelaarweg (2021-07) - Tatelaarweg  
Groep: (hoofdgroep)  
Lijst van Wegen, voor rekenmethode Wegverkeerslawaaai - RMG-2012, wegverkeer

| Groep | LE (P4) | Totaal |
|-------|---------|--------|
| A12   |         | --     |
| A12   |         | --     |
| A12   |         | --     |
| A12   |         | --     |
| A12   |         | --     |
| A12   |         | --     |
| N813  |         | --     |

## Invoergegevens van het model

---

Model: Tatelaarweg op basis van 2031 (tracebesluit) met tatelaarweg 80 km/uur  
Tatelaarweg (2021-07) - Tatelaarweg

Groep: (hoofdgroep)  
Lijst van Schermen, voor rekenmethode Wegverkeerslawaai - RMG-2012, wegverkeer

| Groep    | ItemID | Grp.ID | Datum             | 1e kid | NrKids | Naam  | Omschr. | Vorm     |
|----------|--------|--------|-------------------|--------|--------|-------|---------|----------|
| schermen | 69577  | 8      | 13:54, 4 mei 2018 | -92    | 1      | 20170 |         | Polylijn |

## Invoergegevens van het model

---

Model: Tatelaarweg op basis van 2031 (tracebesluit) met tatelaarweg 80 km/uur  
Tatelaarweg (2021-07) - Tatelaarweg  
Groep: (hoofdgroep)  
Lijst van Schermen, voor rekenmethode Wegverkeerslawaai - RMG-2012, wegverkeer

| Groep    | X-1       | Y-1       | X-n       | Y-n       | H-1  | H-n  | M-1  | M-n  |
|----------|-----------|-----------|-----------|-----------|------|------|------|------|
| schermen | 203135,16 | 439317,70 | 202881,25 | 439512,56 | 1,00 | 1,00 | 0,00 | 0,00 |

## Invoergegevens van het model

---

Model: Tatelaarweg op basis van 2031 (tracebesluit) met tatelaarweg 80 km/uur  
Tatelaarweg (2021-07) - Tatelaarweg  
Groep: (hoofdgroep)  
Lijst van Schermen, voor rekenmethode Wegverkeerslawaai - RMG-2012, wegverkeer

| Groep    | ISO_H | Min.RH | Max.RH | Min.AH | Max.AH | ISO M. | Hdef.        | Vormpunten | Lengte |
|----------|-------|--------|--------|--------|--------|--------|--------------|------------|--------|
| schermen | 1,00  | 1,00   | 1,00   | 1,00   | 1,00   | 0,00   | Eigen waarde | 33         | 320,37 |

## Invoergegevens van het model

---

Model: Tatelaarweg op basis van 2031 (tracebesluit) met tatelaarweg 80 km/uur  
Tatelaarweg (2021-07) - Tatelaarweg  
Groep: (hoofdgroep)  
Lijst van Schermen, voor rekenmethode Wegverkeerslawaai - RMG-2012, wegverkeer

| Groep    | Lengte3D | Min.lengte | Max.lengte | Cp   | Zwevend | Refl.L 63 | Refl.L 125 | Refl.L 250 |
|----------|----------|------------|------------|------|---------|-----------|------------|------------|
| schermen | 320,37   | 5,10       | 15,57      | 0 dB | Nee     | 0,20      | 0,20       | 0,20       |

## Invoergegevens van het model

---

Model: Tatelaarweg op basis van 2031 (tracebesluit) met tatelaarweg 80 km/uur  
Tatelaarweg (2021-07) - Tatelaarweg  
Groep: (hoofdgroep)  
Lijst van Schermen, voor rekenmethode Wegverkeerslawaai - RMG-2012, wegverkeer

| Groep    | Refl.L 500 | Refl.L 1k | Refl.L 2k | Refl.L 4k | Refl.L 8k | Refl.R 63 | Refl.R 125 | Refl.R 250 | Refl.R 500 |
|----------|------------|-----------|-----------|-----------|-----------|-----------|------------|------------|------------|
| schermen | 0,20       | 0,20      | 0,20      | 0,20      | 0,20      | 0,20      | 0,20       | 0,20       | 0,20       |



## Invoergegevens van het model

---

Model: Tatelaarweg op basis van 2031 (tracebesluit) met tatelaarweg 80 km/uur  
Tatelaarweg (2021-07) - Tatelaarweg  
Groep: (hoofdgroep)  
Lijst van Schermen, voor rekenmethode Wegverkeerslawaai - RMG-2012, wegverkeer

| Groep    | Refl.R 1k | Refl.R 2k | Refl.R 4k | Refl.R 8k |
|----------|-----------|-----------|-----------|-----------|
| schermen | 0,20      | 0,20      | 0,20      | 0,20      |

## Invoergegevens van het model

Model: Tatelaarweg op basis van 2031 (tracebesluit) met tatelaarweg 80 km/uur  
Tatelaarweg (2021-07) - Tatelaarweg  
Groep: (hoofdgroep)  
Lijst van Toetspunten, voor rekenmethode Wegverkeerslawaaai - RMG-2012, wegverkeer

| Groep | ItemID | Grp.ID | Datum             | 1e kid | NrKids | Naam   | Omschr.  | Vorm | X         |
|-------|--------|--------|-------------------|--------|--------|--------|----------|------|-----------|
| --    | 69792  | 0      | 17:51, 5 jul 2021 | -47404 | 2      | wnp.01 | woning B | Punt | 203796,43 |
| --    | 69793  | 0      | 17:51, 5 jul 2021 | -47410 | 2      | wnp.02 | woning B | Punt | 203790,58 |
| --    | 69794  | 0      | 17:51, 5 jul 2021 | -47416 | 2      | wnp.03 | woning B | Punt | 203788,47 |
| --    | 69795  | 0      | 17:51, 5 jul 2021 | -47422 | 2      | wnp.04 | woning B | Punt | 203786,42 |
| --    | 69796  | 0      | 17:51, 5 jul 2021 | -47428 | 2      | wnp.05 | woning B | Punt | 203794,76 |
| --    | 69797  | 0      | 17:51, 5 jul 2021 | -47434 | 2      | wnp.06 | woning B | Punt | 203796,90 |
| --    | 69798  | 0      | 17:53, 5 jul 2021 | -47440 | 2      | wnp.07 | woning C | Punt | 203785,58 |
| --    | 69799  | 0      | 17:53, 5 jul 2021 | -47446 | 2      | wnp.08 | woning C | Punt | 203783,66 |
| --    | 69800  | 0      | 17:53, 5 jul 2021 | -47452 | 2      | wnp.09 | woning C | Punt | 203784,84 |
| --    | 69801  | 0      | 17:53, 5 jul 2021 | -47458 | 2      | wnp.10 | woning C | Punt | 203790,94 |
| --    | 69802  | 0      | 17:53, 5 jul 2021 | -47464 | 2      | wnp.11 | woning C | Punt | 203792,22 |
| --    | 69803  | 0      | 17:53, 5 jul 2021 | -47470 | 2      | wnp.12 | woning C | Punt | 203794,23 |

## Invoergegevens van het model

Model: Tatelaarweg op basis van 2031 (tracebesluit) met tatelaarweg 80 km/uur  
Tatelaarweg (2021-07) - Tatelaarweg  
Groep: (hoofdgroep)  
Lijst van Toetspunten, voor rekenmethode Wegverkeerslawaaai - RMG-2012, wegverkeer

| Groep | Y         | Maaiveld | Hdef.    | Hoogte A | Hoogte B | Hoogte C | Hoogte D | Hoogte E | Hoogte F | Hoogtes   |
|-------|-----------|----------|----------|----------|----------|----------|----------|----------|----------|-----------|
| --    | 439295,67 | 0,00     | Relatief | 1,50     | 4,50     | --       | --       | --       | --       | 1,50/4,50 |
| --    | 439294,40 | 0,00     | Relatief | 1,50     | 4,50     | --       | --       | --       | --       | 1,50/4,50 |
| --    | 439295,40 | 0,00     | Relatief | 1,50     | 4,50     | --       | --       | --       | --       | 1,50/4,50 |
| --    | 439305,58 | 0,00     | Relatief | 1,50     | 4,50     | --       | --       | --       | --       | 1,50/4,50 |
| --    | 439308,10 | 0,00     | Relatief | 1,50     | 4,50     | --       | --       | --       | --       | 1,50/4,50 |
| --    | 439298,27 | 0,00     | Relatief | 1,50     | 4,50     | --       | --       | --       | --       | 1,50/4,50 |
| --    | 439309,50 | 0,00     | Relatief | 1,50     | 4,50     | --       | --       | --       | --       | 1,50/4,50 |
| --    | 439318,39 | 0,00     | Relatief | 1,50     | 4,50     | --       | --       | --       | --       | 1,50/4,50 |
| --    | 439320,62 | 0,00     | Relatief | 1,50     | 4,50     | --       | --       | --       | --       | 1,50/4,50 |
| --    | 439321,90 | 0,00     | Relatief | 1,50     | 4,50     | --       | --       | --       | --       | 1,50/4,50 |
| --    | 439320,51 | 0,00     | Relatief | 1,50     | 4,50     | --       | --       | --       | --       | 1,50/4,50 |
| --    | 439310,60 | 0,00     | Relatief | 1,50     | 4,50     | --       | --       | --       | --       | 1,50/4,50 |

## Invoergegevens van het model

---

Model: Tatelaarweg op basis van 2031 (tracebesluit) met tatelaarweg 80 km/uur  
Tatelaarweg (2021-07) - Tatelaarweg

Groep: (hoofdgroep)  
Lijst van Toetspunten, voor rekenmethode Wegverkeerslawaai - RMG-2012, wegverkeer

| Groep | Gevel |
|-------|-------|
| --    | Ja    |
| --    | Ja    |
| --    | Ja    |
| --    | Ja    |
| --    | Ja    |
| --    | Ja    |
| --    | Ja    |
| --    | Ja    |
| --    | Ja    |
| --    | Ja    |
| --    | Ja    |
| --    | Ja    |
| --    | Ja    |
| --    | Ja    |
| --    | Ja    |

## Invoergegevens van het model

Model: Tatelaarweg op basis van 2031 (tracebesluit) met tatelaarweg 80 km/uur  
 Tatelaarweg (2021-07) - Tatelaarweg  
 Groep: (hoofdgroep)  
 Lijst van Gebouwen, voor rekenmethode Wegverkeerslawaaï - RMG-2012, wegverkeer

| Groep        | ItemID | Grp.ID | Datum             | Naam    | Omschr.          | Vorm     | X-1        |
|--------------|--------|--------|-------------------|---------|------------------|----------|------------|
| bgt_pand.gml | 10294  | 5      | 14:04, 4 mei 2018 |         | 1955100000012339 | Polygoon | 204442, 50 |
| bgt_pand.gml | 10326  | 5      | 14:00, 4 mei 2018 |         | 1955100000005008 | Polygoon | 204014, 47 |
| bgt_pand.gml | 10333  | 5      | 10:04, 4 mei 2018 |         | 1955100000005007 | Polygoon | 204271, 23 |
| bgt_pand.gml | 10348  | 5      | 10:04, 4 mei 2018 |         | 1955100000020592 | Polygoon | 204605, 81 |
| bgt_pand.gml | 10488  | 5      | 11:44, 4 mei 2018 | 56F     | 0299100000398894 | Polygoon | 203627, 31 |
| bgt_pand.gml | 10512  | 5      | 11:44, 4 mei 2018 |         | 0299100000407424 | Polygoon | 203292, 71 |
| bgt_pand.gml | 10517  | 5      | 11:44, 4 mei 2018 |         | 0000000000000000 | Polygoon | 203240, 57 |
| bgt_pand.gml | 10522  | 5      | 10:04, 4 mei 2018 | 6       | 0299100000400624 | Polygoon | 202986, 77 |
| bgt_pand.gml | 10654  | 5      | 14:00, 4 mei 2018 |         | 1955100000012215 | Polygoon | 204040, 24 |
| bgt_pand.gml | 10727  | 5      | 11:44, 4 mei 2018 |         | 0299100000398427 | Polygoon | 204103, 66 |
| bgt_pand.gml | 10732  | 5      | 14:02, 4 mei 2018 |         | 1955100000020566 | Polygoon | 204374, 77 |
| bgt_pand.gml | 10850  | 5      | 10:04, 4 mei 2018 | 23      | 1955100000006023 | Polygoon | 204165, 86 |
| bgt_pand.gml | 10861  | 5      | 11:44, 4 mei 2018 |         | 0299100000412649 | Polygoon | 203568, 46 |
| bgt_pand.gml | 10914  | 5      | 13:47, 4 mei 2018 |         | 1955100000020597 | Polygoon | 204630, 42 |
| bgt_pand.gml | 10926  | 5      | 14:04, 4 mei 2018 |         | 1955100000058152 | Polygoon | 204552, 86 |
| bgt_pand.gml | 10939  | 5      | 11:44, 4 mei 2018 | 48      | 0299100000398551 | Polygoon | 203372, 12 |
| bgt_pand.gml | 10954  | 5      | 13:58, 4 mei 2018 |         | 1955100000012217 | Polygoon | 203521, 72 |
| bgt_pand.gml | 10960  | 5      | 11:44, 4 mei 2018 | 13      | 0299100000400397 | Polygoon | 202763, 18 |
| bgt_pand.gml | 11043  | 5      | 13:47, 4 mei 2018 |         | 1955100000020607 | Polygoon | 204667, 94 |
| bgt_pand.gml | 11070  | 5      | 11:44, 4 mei 2018 | 5A      | 0299100000399637 | Polygoon | 203464, 59 |
| bgt_pand.gml | 11075  | 5      | 11:44, 4 mei 2018 | 52      | 0299100000398592 | Polygoon | 203438, 04 |
| bgt_pand.gml | 11145  | 5      | 11:44, 4 mei 2018 | 111     | 0299100000411816 | Polygoon | 203295, 62 |
| bgt_pand.gml | 11201  | 5      | 11:44, 4 mei 2018 | 12/T001 | 0299100000413288 | Polygoon | 202965, 97 |
| bgt_pand.gml | 11228  | 5      | 10:04, 4 mei 2018 | 24      | 1955100000020559 | Polygoon | 204263, 64 |
| bgt_pand.gml | 11234  | 5      | 10:04, 4 mei 2018 |         | 1955100000012214 | Polygoon | 204053, 68 |
| bgt_pand.gml | 11239  | 5      | 11:44, 4 mei 2018 | 45      | 0299100000415112 | Polygoon | 204092, 74 |
| bgt_pand.gml | 11240  | 5      | 10:04, 4 mei 2018 |         | 1955100000020607 | Polygoon | 204672, 92 |
| bgt_pand.gml | 11333  | 5      | 11:44, 4 mei 2018 | 43      | 0299100000397808 | Polygoon | 204110, 01 |
| bgt_pand.gml | 11407  | 5      | 10:04, 4 mei 2018 |         | 1955100000008992 | Polygoon | 204364, 55 |
| bgt_pand.gml | 11485  | 5      | 10:04, 4 mei 2018 | 9       | 1955100000020567 | Polygoon | 204387, 17 |
| bgt_pand.gml | 11487  | 5      | 14:04, 4 mei 2018 | 5       | 1955100000003806 | Polygoon | 204475, 73 |
| bgt_pand.gml | 11515  | 5      | 10:04, 4 mei 2018 |         | 1955100000060831 | Polygoon | 204765, 61 |
| bgt_pand.gml | 11534  | 5      | 11:44, 4 mei 2018 | 86      | 0299100000399347 | Polygoon | 204229, 98 |
| bgt_pand.gml | 11540  | 5      | 11:44, 4 mei 2018 | 43      | 0299100000399616 | Polygoon | 202788, 09 |
| bgt_pand.gml | 11550  | 5      | 11:44, 4 mei 2018 | 37      | 0299100000398579 | Polygoon | 204026, 98 |
| bgt_pand.gml | 11551  | 5      | 11:44, 4 mei 2018 | 35      | 0299100000398599 | Polygoon | 204026, 98 |
| bgt_pand.gml | 11590  | 5      | 11:44, 4 mei 2018 | 39      | 0299100000405583 | Polygoon | 204103, 30 |
| bgt_pand.gml | 11625  | 5      | 11:44, 4 mei 2018 | 3       | 0299100000404076 | Polygoon | 202879, 97 |
| bgt_pand.gml | 11642  | 5      | 13:41, 4 mei 2018 |         | 1955100000002258 | Polygoon | 204010, 39 |
| bgt_pand.gml | 11650  | 5      | 14:04, 4 mei 2018 |         | 1955100000020572 | Polygoon | 204437, 97 |
| bgt_pand.gml | 11674  | 5      | 13:45, 4 mei 2018 | 21A     | 1955100000002256 | Polygoon | 204395, 85 |
| bgt_pand.gml | 11702  | 5      | 13:45, 4 mei 2018 |         | 1955100000008992 | Polygoon | 204364, 00 |
| bgt_pand.gml | 11717  | 5      | 10:04, 4 mei 2018 |         | 1955100000012212 | Polygoon | 204244, 01 |
| bgt_pand.gml | 11745  | 5      | 11:44, 4 mei 2018 |         | 0299100000397814 | Polygoon | 203524, 45 |
| bgt_pand.gml | 11751  | 5      | 10:04, 4 mei 2018 |         | 1955100000012213 | Polygoon | 204380, 14 |
| bgt_pand.gml | 11752  | 5      | 14:04, 4 mei 2018 |         | 1955100000020606 | Polygoon | 204671, 82 |
| bgt_pand.gml | 11897  | 5      | 13:48, 4 mei 2018 | 11-11A  | 1955100000020627 | Polygoon | 204786, 14 |
| bgt_pand.gml | 11954  | 5      | 10:04, 4 mei 2018 | 24      | 1955100000020567 | Polygoon | 204385, 46 |
| bgt_pand.gml | 11968  | 5      | 11:44, 4 mei 2018 |         | 0299100000399582 | Polygoon | 204258, 08 |
| bgt_pand.gml | 11979  | 5      | 13:46, 4 mei 2018 |         | 1955100000020592 | Polygoon | 204605, 81 |
| bgt_pand.gml | 12005  | 5      | 13:46, 4 mei 2018 |         | 1955100000008993 | Polygoon | 204538, 08 |
| bgt_pand.gml | 12031  | 5      | 11:44, 4 mei 2018 | 82      | 0299100000398586 | Polygoon | 204103, 30 |
| bgt_pand.gml | 12042  | 5      | 11:44, 4 mei 2018 | 38-40   | 0299100000419546 | Polygoon | 203225, 72 |
| bgt_pand.gml | 12074  | 5      | 13:55, 4 mei 2018 |         | 0000000000000000 | Polygoon | 202986, 77 |
| bgt_pand.gml | 12230  | 5      | 10:04, 4 mei 2018 |         | 1955100000058327 | Polygoon | 204368, 73 |
| bgt_pand.gml | 12360  | 5      | 11:44, 4 mei 2018 |         | 0299100000453643 | Polygoon | 204086, 58 |
| bgt_pand.gml | 12364  | 5      | 13:45, 4 mei 2018 |         | 1955100000007090 | Polygoon | 204322, 36 |
| bgt_pand.gml | 12405  | 5      | 13:45, 4 mei 2018 |         | 1955100000058327 | Polygoon | 204364, 78 |
| bgt_pand.gml | 12424  | 5      | 11:44, 4 mei 2018 | 76-76A  | 0299100000398601 | Polygoon | 204055, 83 |
| bgt_pand.gml | 12447  | 5      | 11:44, 4 mei 2018 | 84      | 0299100000405310 | Polygoon | 204212, 40 |
| bgt_pand.gml | 12472  | 5      | 14:02, 4 mei 2018 | 22      | 1955100000020568 | Polygoon | 204386, 06 |
| bgt_pand.gml | 12495  | 5      | 10:04, 4 mei 2018 |         | 1955100000020565 | Polygoon | 204372, 89 |
| bgt_pand.gml | 12503  | 5      | 14:04, 4 mei 2018 | 20-20A  | 1955100000020573 | Polygoon | 204453, 22 |

## Invoergegevens van het model

Model: Tatelaarweg op basis van 2031 (tracebesluit) met tatelaarweg 80 km/uur  
 Tatelaarweg (2021-07) - Tatelaarweg  
 Groep: (hoofdgroep)  
 Lijst van Gebouwen, voor rekenmethode Wegverkeerslawaal - RMG-2012, wegverkeer

| Groep        | Y-1       | Hoogte | Rel.H | Maaiveld | Hdef.    | Vormpunten | Omtrek  | Oppervlak |
|--------------|-----------|--------|-------|----------|----------|------------|---------|-----------|
| bgt_pand.gml | 439341,06 | 6,00   | 6,00  | 0,00     | Relatief | 4          | 36,68   | 83,68     |
| bgt_pand.gml | 439279,60 | 8,00   | 8,00  | 0,00     | Relatief | 7          | 123,21  | 619,22    |
| bgt_pand.gml | 439210,28 | 0,00   | 0,00  | 0,00     | Relatief | 12         | 254,05  | 1173,30   |
| bgt_pand.gml | 438852,42 | 0,00   | 0,00  | 0,00     | Relatief | 16         | 221,39  | 2594,16   |
| bgt_pand.gml | 438669,64 | 8,00   | 8,00  | 0,00     | Relatief | 52         | 108,25  | 580,76    |
| bgt_pand.gml | 438853,17 | 8,00   | 8,00  | 0,00     | Relatief | 4          | 18,05   | 19,33     |
| bgt_pand.gml | 438838,23 | 8,00   | 8,00  | 0,00     | Relatief | 6          | 20,74   | 23,74     |
| bgt_pand.gml | 439458,05 | 0,00   | 0,00  | 0,00     | Relatief | 8          | 61,55   | 222,43    |
| bgt_pand.gml | 439260,95 | 7,00   | 7,00  | 0,00     | Relatief | 4          | 28,24   | 42,49     |
| bgt_pand.gml | 438091,93 | 8,00   | 8,00  | 0,00     | Relatief | 4          | 73,80   | 302,64    |
| bgt_pand.gml | 439253,56 | 7,00   | 7,00  | 0,00     | Relatief | 7          | 36,38   | 59,81     |
| bgt_pand.gml | 439048,33 | 0,00   | 0,00  | 0,00     | Relatief | 20         | 183,96  | 820,87    |
| bgt_pand.gml | 438704,20 | 8,00   | 8,00  | 0,00     | Relatief | 4          | 21,15   | 24,72     |
| bgt_pand.gml | 438904,79 | 7,00   | 7,00  | 0,00     | Relatief | 19         | 213,05  | 1302,64   |
| bgt_pand.gml | 439360,98 | 6,00   | 6,00  | 0,00     | Relatief | 4          | 38,99   | 86,48     |
| bgt_pand.gml | 438860,34 | 8,00   | 8,00  | 0,00     | Relatief | 81         | 1181,48 | 15060,63  |
| bgt_pand.gml | 439224,65 | 5,00   | 5,00  | 0,00     | Relatief | 5          | 35,93   | 77,39     |
| bgt_pand.gml | 439008,24 | 8,00   | 8,00  | 0,00     | Relatief | 8          | 96,10   | 562,78    |
| bgt_pand.gml | 438925,12 | 6,00   | 6,00  | 0,00     | Relatief | 6          | 42,31   | 111,85    |
| bgt_pand.gml | 438638,98 | 8,00   | 8,00  | 0,00     | Relatief | 6          | 96,88   | 586,06    |
| bgt_pand.gml | 438705,88 | 8,00   | 8,00  | 0,00     | Relatief | 6          | 278,14  | 3680,35   |
| bgt_pand.gml | 439075,83 | 8,00   | 8,00  | 0,00     | Relatief | 4          | 24,04   | 36,13     |
| bgt_pand.gml | 439221,88 | 8,00   | 8,00  | 0,00     | Relatief | 4          | 18,41   | 19,75     |
| bgt_pand.gml | 439138,69 | 0,00   | 0,00  | 0,00     | Relatief | 10         | 56,29   | 160,76    |
| bgt_pand.gml | 439259,12 | 0,00   | 0,00  | 0,00     | Relatief | 6          | 38,68   | 92,00     |
| bgt_pand.gml | 438000,00 | 8,00   | 8,00  | 0,00     | Relatief | 30         | 227,17  | 2320,11   |
| bgt_pand.gml | 438914,06 | 0,00   | 0,00  | 0,00     | Relatief | 4          | 42,31   | 111,85    |
| bgt_pand.gml | 438107,76 | 8,00   | 8,00  | 0,00     | Relatief | 4          | 132,65  | 1051,05   |
| bgt_pand.gml | 438886,03 | 0,00   | 0,00  | 0,00     | Relatief | 5          | 44,90   | 122,94    |
| bgt_pand.gml | 439248,94 | 0,00   | 0,00  | 0,00     | Relatief | 10         | 52,84   | 157,28    |
| bgt_pand.gml | 439350,99 | 6,00   | 6,00  | 0,00     | Relatief | 22         | 50,22   | 136,72    |
| bgt_pand.gml | 438840,14 | 0,00   | 0,00  | 0,00     | Relatief | 4          | 67,16   | 268,28    |
| bgt_pand.gml | 438199,63 | 8,00   | 8,00  | 0,00     | Relatief | 11         | 248,51  | 3069,72   |
| bgt_pand.gml | 439165,16 | 8,00   | 8,00  | 0,00     | Relatief | 6          | 101,65  | 618,38    |
| bgt_pand.gml | 438181,17 | 8,00   | 8,00  | 0,00     | Relatief | 15         | 301,25  | 4454,28   |
| bgt_pand.gml | 438181,17 | 8,00   | 8,00  | 0,00     | Relatief | 8          | 261,36  | 3302,28   |
| bgt_pand.gml | 438167,71 | 8,00   | 8,00  | 0,00     | Relatief | 9          | 278,77  | 3425,50   |
| bgt_pand.gml | 439279,55 | 8,00   | 8,00  | 0,00     | Relatief | 4          | 39,67   | 92,60     |
| bgt_pand.gml | 439083,76 | 7,00   | 7,00  | 0,00     | Relatief | 4          | 84,97   | 376,57    |
| bgt_pand.gml | 439365,81 | 6,00   | 6,00  | 0,00     | Relatief | 6          | 45,19   | 127,05    |
| bgt_pand.gml | 438874,88 | 9,00   | 9,00  | 0,00     | Relatief | 11         | 51,89   | 113,82    |
| bgt_pand.gml | 438884,41 | 6,00   | 6,00  | 0,00     | Relatief | 4          | 44,90   | 122,94    |
| bgt_pand.gml | 439190,94 | 0,00   | 0,00  | 0,00     | Relatief | 4          | 19,10   | 21,83     |
| bgt_pand.gml | 438734,33 | 8,00   | 8,00  | 0,00     | Relatief | 7          | 153,89  | 1017,16   |
| bgt_pand.gml | 439241,68 | 0,00   | 0,00  | 0,00     | Relatief | 6          | 29,23   | 51,91     |
| bgt_pand.gml | 439522,06 | 6,00   | 6,00  | 0,00     | Relatief | 6          | 30,34   | 52,07     |
| bgt_pand.gml | 438833,39 | 9,00   | 9,00  | 0,00     | Relatief | 8          | 69,01   | 231,34    |
| bgt_pand.gml | 439249,08 | 0,00   | 0,00  | 0,00     | Relatief | 8          | 52,84   | 157,28    |
| bgt_pand.gml | 438049,63 | 8,00   | 8,00  | 0,00     | Relatief | 4          | 70,08   | 245,89    |
| bgt_pand.gml | 438852,42 | 7,00   | 7,00  | 0,00     | Relatief | 15         | 221,39  | 2594,16   |
| bgt_pand.gml | 438803,18 | 4,00   | 4,00  | 0,00     | Relatief | 4          | 19,78   | 24,24     |
| bgt_pand.gml | 438167,71 | 8,00   | 8,00  | 0,00     | Relatief | 8          | 285,73  | 3971,77   |
| bgt_pand.gml | 438946,61 | 8,00   | 8,00  | 0,00     | Relatief | 12         | 193,26  | 2205,31   |
| bgt_pand.gml | 439458,05 | 5,00   | 5,00  | 0,00     | Relatief | 8          | 61,55   | 222,43    |
| bgt_pand.gml | 438952,53 | 0,00   | 0,00  | 0,00     | Relatief | 4          | 37,12   | 78,76     |
| bgt_pand.gml | 438193,48 | 8,00   | 8,00  | 0,00     | Relatief | 4          | 18,90   | 20,07     |
| bgt_pand.gml | 438608,71 | 8,00   | 8,00  | 0,00     | Relatief | 13         | 323,25  | 1922,72   |
| bgt_pand.gml | 438941,21 | 3,00   | 3,00  | 0,00     | Relatief | 6          | 37,12   | 78,76     |
| bgt_pand.gml | 438333,13 | 8,00   | 8,00  | 0,00     | Relatief | 6          | 241,98  | 3260,56   |
| bgt_pand.gml | 438213,09 | 8,00   | 8,00  | 0,00     | Relatief | 12         | 260,92  | 3288,13   |
| bgt_pand.gml | 439212,94 | 6,00   | 6,00  | 0,00     | Relatief | 8          | 63,80   | 193,13    |
| bgt_pand.gml | 439234,98 | 0,00   | 0,00  | 0,00     | Relatief | 6          | 56,95   | 143,10    |
| bgt_pand.gml | 439508,70 | 6,00   | 6,00  | 0,00     | Relatief | 12         | 62,57   | 171,77    |

## Invoergegevens van het model

Model: Tatelaarweg op basis van 2031 (tracebesluit) met tatelaarweg 80 km/uur  
 Tatelaarweg (2021-07) - Tatelaarweg  
 Groep: (hoofdgroep)  
 Lijst van Gebouwen, voor rekenmethode Wegverkeerslawaaï - RMG-2012, wegverkeer

| Groep        | Min.lengte | Max.lengte | Functie | Gebouwtype | BAG-id | Gemeente | Jaar | AHN-jaar | Trust | Cp |
|--------------|------------|------------|---------|------------|--------|----------|------|----------|-------|----|
| bgt_pand.gml | 8,40       | 9,93       |         |            |        |          | 0    | 0        | 0 0   | dB |
| bgt_pand.gml | 1,77       | 40,28      |         |            |        |          | 0    | 0        | 0 0   | dB |
| bgt_pand.gml | 2,85       | 44,62      |         |            |        |          | 0    | 0        | 0 0   | dB |
| bgt_pand.gml | 0,78       | 36,01      |         |            |        |          | 0    | 0        | 0 0   | dB |
| bgt_pand.gml | 0,01       | 18,09      |         |            |        |          | 0    | 0        | 0 0   | dB |
| bgt_pand.gml | 3,50       | 5,53       |         |            |        |          | 0    | 0        | 0 0   | dB |
| bgt_pand.gml | 0,72       | 6,15       |         |            |        |          | 0    | 0        | 0 0   | dB |
| bgt_pand.gml | 1,03       | 16,40      |         |            |        |          | 0    | 0        | 0 0   | dB |
| bgt_pand.gml | 4,35       | 9,77       |         |            |        |          | 0    | 0        | 0 0   | dB |
| bgt_pand.gml | 12,30      | 24,59      |         |            |        |          | 0    | 0        | 0 0   | dB |
| bgt_pand.gml | 1,09       | 8,96       |         |            |        |          | 0    | 0        | 0 0   | dB |
| bgt_pand.gml | 1,55       | 45,50      |         |            |        |          | 0    | 0        | 0 0   | dB |
| bgt_pand.gml | 3,49       | 7,09       |         |            |        |          | 0    | 0        | 0 0   | dB |
| bgt_pand.gml | 0,31       | 36,22      |         |            |        |          | 0    | 0        | 0 0   | dB |
| bgt_pand.gml | 6,82       | 12,67      |         |            |        |          | 0    | 0        | 0 0   | dB |
| bgt_pand.gml | 0,16       | 87,97      |         |            |        |          | 0    | 0        | 0 0   | dB |
| bgt_pand.gml | 3,36       | 10,80      |         |            |        |          | 0    | 0        | 0 0   | dB |
| bgt_pand.gml | 0,44       | 27,83      |         |            |        |          | 0    | 0        | 0 0   | dB |
| bgt_pand.gml | 0,98       | 10,80      |         |            |        |          | 0    | 0        | 0 0   | dB |
| bgt_pand.gml | 3,27       | 24,94      |         |            |        |          | 0    | 0        | 0 0   | dB |
| bgt_pand.gml | 13,71      | 80,14      |         |            |        |          | 0    | 0        | 0 0   | dB |
| bgt_pand.gml | 5,98       | 6,04       |         |            |        |          | 0    | 0        | 0 0   | dB |
| bgt_pand.gml | 3,41       | 5,79       |         |            |        |          | 0    | 0        | 0 0   | dB |
| bgt_pand.gml | 0,22       | 12,45      |         |            |        |          | 0    | 0        | 0 0   | dB |
| bgt_pand.gml | 0,42       | 10,91      |         |            |        |          | 0    | 0        | 0 0   | dB |
| bgt_pand.gml | 0,35       | 55,31      |         |            |        |          | 0    | 0        | 0 0   | dB |
| bgt_pand.gml | 10,36      | 10,80      |         |            |        |          | 0    | 0        | 0 0   | dB |
| bgt_pand.gml | 26,18      | 40,15      |         |            |        |          | 0    | 0        | 0 0   | dB |
| bgt_pand.gml | 1,71       | 12,97      |         |            |        |          | 0    | 0        | 0 0   | dB |
| bgt_pand.gml | 0,98       | 9,37       |         |            |        |          | 0    | 0        | 0 0   | dB |
| bgt_pand.gml | 0,18       | 6,96       |         |            |        |          | 0    | 0        | 0 0   | dB |
| bgt_pand.gml | 12,95      | 20,50      |         |            |        |          | 0    | 0        | 0 0   | dB |
| bgt_pand.gml | 3,16       | 60,42      |         |            |        |          | 0    | 0        | 0 0   | dB |
| bgt_pand.gml | 0,32       | 30,68      |         |            |        |          | 0    | 0        | 0 0   | dB |
| bgt_pand.gml | 1,27       | 68,27      |         |            |        |          | 0    | 0        | 0 0   | dB |
| bgt_pand.gml | 5,20       | 80,44      |         |            |        |          | 0    | 0        | 0 0   | dB |
| bgt_pand.gml | 8,85       | 86,83      |         |            |        |          | 0    | 0        | 0 0   | dB |
| bgt_pand.gml | 7,51       | 12,33      |         |            |        |          | 0    | 0        | 0 0   | dB |
| bgt_pand.gml | 12,60      | 29,89      |         |            |        |          | 0    | 0        | 0 0   | dB |
| bgt_pand.gml | 0,67       | 12,06      |         |            |        |          | 0    | 0        | 0 0   | dB |
| bgt_pand.gml | 1,25       | 7,56       |         |            |        |          | 0    | 0        | 0 0   | dB |
| bgt_pand.gml | 9,48       | 12,97      |         |            |        |          | 0    | 0        | 0 0   | dB |
| bgt_pand.gml | 3,79       | 5,76       |         |            |        |          | 0    | 0        | 0 0   | dB |
| bgt_pand.gml | 0,88       | 59,99      |         |            |        |          | 0    | 0        | 0 0   | dB |
| bgt_pand.gml | 0,39       | 8,53       |         |            |        |          | 0    | 0        | 0 0   | dB |
| bgt_pand.gml | 3,77       | 6,12       |         |            |        |          | 0    | 0        | 0 0   | dB |
| bgt_pand.gml | 5,07       | 17,01      |         |            |        |          | 0    | 0        | 0 0   | dB |
| bgt_pand.gml | 0,98       | 11,38      |         |            |        |          | 0    | 0        | 0 0   | dB |
| bgt_pand.gml | 9,71       | 25,33      |         |            |        |          | 0    | 0        | 0 0   | dB |
| bgt_pand.gml | 0,78       | 36,01      |         |            |        |          | 0    | 0        | 0 0   | dB |
| bgt_pand.gml | 4,48       | 5,41       |         |            |        |          | 0    | 0        | 0 0   | dB |
| bgt_pand.gml | 1,65       | 95,43      |         |            |        |          | 0    | 0        | 0 0   | dB |
| bgt_pand.gml | 0,42       | 50,43      |         |            |        |          | 0    | 0        | 0 0   | dB |
| bgt_pand.gml | 1,03       | 16,40      |         |            |        |          | 0    | 0        | 0 0   | dB |
| bgt_pand.gml | 6,57       | 11,99      |         |            |        |          | 0    | 0        | 0 0   | dB |
| bgt_pand.gml | 3,22       | 6,23       |         |            |        |          | 0    | 0        | 0 0   | dB |
| bgt_pand.gml | 4,96       | 55,50      |         |            |        |          | 0    | 0        | 0 0   | dB |
| bgt_pand.gml | 1,13       | 11,99      |         |            |        |          | 0    | 0        | 0 0   | dB |
| bgt_pand.gml | 0,52       | 79,96      |         |            |        |          | 0    | 0        | 0 0   | dB |
| bgt_pand.gml | 2,08       | 60,42      |         |            |        |          | 0    | 0        | 0 0   | dB |
| bgt_pand.gml | 0,66       | 16,65      |         |            |        |          | 0    | 0        | 0 0   | dB |
| bgt_pand.gml | 2,94       | 18,93      |         |            |        |          | 0    | 0        | 0 0   | dB |
| bgt_pand.gml | 0,62       | 10,38      |         |            |        |          | 0    | 0        | 0 0   | dB |





## Invoergegevens van het model

Model: Tatelaarweg op basis van 2031 (tracebesluit) met tatelaarweg 80 km/uur  
 Tatelaarweg (2021-07) - Tatelaarweg  
 Groep: (hoofdgroep)  
 Lijst van Gebouwen, voor rekenmethode Wegverkeerslawaaai - RMG-2012, wegverkeer

| Groep        | ItemID | Grp.ID | Datum             | Naam    | Omschr.          | Vorm     | X-1       |
|--------------|--------|--------|-------------------|---------|------------------|----------|-----------|
| bgt_pand.gml | 12529  | 5      | 11:44, 4 mei 2018 | 88      | 0299100000399353 | Polygoon | 204318,33 |
| bgt_pand.gml | 12540  | 5      | 14:03, 4 mei 2018 |         | 1955100000012335 | Polygoon | 204278,73 |
| bgt_pand.gml | 12570  | 5      | 13:57, 4 mei 2018 |         | 0299100000413521 | Polygoon | 203381,49 |
| bgt_pand.gml | 12596  | 5      | 11:44, 4 mei 2018 |         | 0299100000398497 | Polygoon | 203488,50 |
| bgt_pand.gml | 12636  | 5      | 11:44, 4 mei 2018 |         | 0299100000398356 | Polygoon | 203258,93 |
| bgt_pand.gml | 12640  | 5      | 11:44, 4 mei 2018 | 28      | 0299100000413309 | Polygoon | 203066,62 |
| bgt_pand.gml | 12645  | 5      | 11:44, 4 mei 2018 | 20B-20E | 0299100000398218 | Polygoon | 203072,86 |
| bgt_pand.gml | 12686  | 5      | 11:44, 4 mei 2018 | 68A     | 0299100000399573 | Polygoon | 203791,75 |
| bgt_pand.gml | 12690  | 5      | 11:44, 4 mei 2018 | 11      | 0299100000400586 | Polygoon | 203040,94 |
| bgt_pand.gml | 12695  | 5      | 11:44, 4 mei 2018 | 29A     | 0299100000413476 | Polygoon | 203794,13 |
| bgt_pand.gml | 12727  | 5      | 11:44, 4 mei 2018 | 148-150 | 0299100000416585 | Polygoon | 203182,74 |
| bgt_pand.gml | 12834  | 5      | 11:44, 4 mei 2018 | 33      | 0299100000413133 | Polygoon | 203929,45 |
| bgt_pand.gml | 12845  | 5      | 11:44, 4 mei 2018 | 1       | 0299100000398530 | Polygoon | 203869,85 |
| bgt_pand.gml | 12900  | 5      | 11:44, 4 mei 2018 | 2       | 0299100000413237 | Polygoon | 203620,11 |
| bgt_pand.gml | 12932  | 5      | 11:44, 4 mei 2018 |         | 0299100000418903 | Polygoon | 203008,56 |
| bgt_pand.gml | 12955  | 5      | 14:04, 4 mei 2018 |         | 0000000000000000 | Polygoon | 204511,36 |
| bgt_pand.gml | 12958  | 5      | 14:04, 4 mei 2018 |         | 1955100000020579 | Polygoon | 204511,42 |
| bgt_pand.gml | 12959  | 5      | 14:02, 4 mei 2018 |         | 1955100000012213 | Polygoon | 204385,02 |
| bgt_pand.gml | 12966  | 5      | 14:02, 4 mei 2018 |         | 1955100000020565 | Polygoon | 204367,00 |
| bgt_pand.gml | 12968  | 5      | 14:02, 4 mei 2018 |         | 1955100000004762 | Polygoon | 204375,17 |
| bgt_pand.gml | 13030  | 5      | 10:04, 4 mei 2018 | 19-19a  | 1955100000013681 | Polygoon | 204355,13 |
| bgt_pand.gml | 13052  | 5      | 14:04, 4 mei 2018 |         | 0000000000000000 | Polygoon | 204548,42 |
| bgt_pand.gml | 13054  | 5      | 14:04, 4 mei 2018 |         | 1955100000020571 | Polygoon | 204429,27 |
| bgt_pand.gml | 13135  | 5      | 11:44, 4 mei 2018 | 5       | 0299100000406000 | Polygoon | 203488,50 |
| bgt_pand.gml | 13160  | 5      | 10:04, 4 mei 2018 | 21      | 1955100000020569 | Polygoon | 204420,12 |
| bgt_pand.gml | 13189  | 5      | 11:44, 4 mei 2018 | 50      | 0299100000398593 | Polygoon | 203380,98 |
| bgt_pand.gml | 13199  | 5      | 11:44, 4 mei 2018 | 16      | 0299100000398236 | Polygoon | 203688,07 |
| bgt_pand.gml | 13214  | 5      | 13:49, 4 mei 2018 | 20      | 1955100000011893 | Polygoon | 204824,86 |
| bgt_pand.gml | 13304  | 5      | 11:44, 4 mei 2018 | 60      | 0299100000399643 | Polygoon | 203752,79 |
| bgt_pand.gml | 13333  | 5      | 13:41, 4 mei 2018 | 27-27A  | 1955100000006413 | Polygoon | 204009,38 |
| bgt_pand.gml | 13336  | 5      | 13:49, 4 mei 2018 |         | 1955100000058319 | Polygoon | 204759,24 |
| bgt_pand.gml | 13343  | 5      | 13:44, 4 mei 2018 | 19-19a  | 1955100000013681 | Polygoon | 204355,13 |
| bgt_pand.gml | 13352  | 5      | 11:44, 4 mei 2018 | 34D-36  | 0299100000397357 | Polygoon | 203191,99 |
| bgt_pand.gml | 13359  | 5      | 13:45, 4 mei 2018 |         | 1955100000058151 | Polygoon | 204401,12 |
| bgt_pand.gml | 13423  | 5      | 13:46, 4 mei 2018 | 15      | 1955100000020583 | Polygoon | 204528,43 |
| bgt_pand.gml | 13425  | 5      | 11:44, 4 mei 2018 | 41      | 0299100000398956 | Polygoon | 204072,92 |
| bgt_pand.gml | 13428  | 5      | 14:04, 4 mei 2018 | 18      | 1955100000020582 | Polygoon | 204536,54 |
| bgt_pand.gml | 13431  | 5      | 14:04, 4 mei 2018 | 18      | 1955100000020582 | Polygoon | 204554,76 |
| bgt_pand.gml | 13518  | 5      | 10:04, 4 mei 2018 |         | 1955100000020581 | Polygoon | 204513,60 |
| bgt_pand.gml | 13565  | 5      | 10:04, 4 mei 2018 | 1-5     | 0299100000398907 | Polygoon | 203084,31 |
| bgt_pand.gml | 13571  | 5      | 14:00, 4 mei 2018 | 28      | 1955100000020551 | Polygoon | 203977,38 |
| bgt_pand.gml | 13673  | 5      | 11:44, 4 mei 2018 | 29C     | 0299100000398494 | Polygoon | 203827,12 |
| bgt_pand.gml | 13689  | 5      | 11:44, 4 mei 2018 |         | 0299100000399912 | Polygoon | 203393,56 |
| bgt_pand.gml | 13690  | 5      | 11:44, 4 mei 2018 |         | 0299100000407925 | Polygoon | 203259,24 |
| bgt_pand.gml | 13730  | 5      | 11:44, 4 mei 2018 | 10      | 0299100000398575 | Polygoon | 202896,24 |
| bgt_pand.gml | 13731  | 5      | 11:44, 4 mei 2018 | 15      | 0299100000398389 | Polygoon | 203441,98 |
| bgt_pand.gml | 13774  | 5      | 11:44, 4 mei 2018 |         | 0299100000417660 | Polygoon | 202876,88 |
| bgt_pand.gml | 13782  | 5      | 11:44, 4 mei 2018 | 160     | 0299100000398360 | Polygoon | 203239,32 |
| bgt_pand.gml | 13789  | 5      | 11:44, 4 mei 2018 | 20A     | 0299100000398588 | Polygoon | 202990,42 |
| bgt_pand.gml | 13981  | 5      | 11:44, 4 mei 2018 | 7       | 0299100000400538 | Polygoon | 203528,27 |
| bgt_pand.gml | 13989  | 5      | 11:44, 4 mei 2018 | 3/T001  | 0299100000414003 | Polygoon | 203502,54 |
| bgt_pand.gml | 14010  | 5      | 11:44, 4 mei 2018 | 152-158 | 0299100000398227 | Polygoon | 203211,77 |
| bgt_pand.gml | 14030  | 5      | 11:44, 4 mei 2018 | 8       | 0299100000398570 | Polygoon | 202958,35 |
| bgt_pand.gml | 14087  | 5      | 11:44, 4 mei 2018 | 25      | 0299100000398865 | Polygoon | 203733,24 |
| bgt_pand.gml | 14126  | 5      | 14:03, 4 mei 2018 |         | 1955100000005232 | Polygoon | 204302,08 |
| bgt_pand.gml | 14167  | 5      | 13:43, 4 mei 2018 | 23      | 1955100000006023 | Polygoon | 204165,86 |
| bgt_pand.gml | 14169  | 5      | 10:04, 4 mei 2018 | 3       | 0299100000397673 | Polygoon | 203084,31 |
| bgt_pand.gml | 14171  | 5      | 11:44, 4 mei 2018 | 29      | 0299100000397736 | Polygoon | 203794,13 |
| bgt_pand.gml | 14255  | 5      | 13:57, 4 mei 2018 |         | 0299100000406866 | Polygoon | 203112,18 |
| bgt_pand.gml | 14360  | 5      | 11:44, 4 mei 2018 | 10      | 0299100000398424 | Polygoon | 203617,07 |
| bgt_pand.gml | 14365  | 5      | 11:44, 4 mei 2018 | 49/T001 | 0299100000412521 | Polygoon | 202834,01 |
| bgt_pand.gml | 14369  | 5      | 11:44, 4 mei 2018 | 8       | 0299100000399645 | Polygoon | 203617,07 |
| bgt_pand.gml | 14424  | 5      | 10:04, 4 mei 2018 |         | 0299100000416905 | Polygoon | 203094,82 |

## Invoergegevens van het model

Model: Tatelaarweg op basis van 2031 (tracebesluit) met tatelaarweg 80 km/uur  
 Tatelaarweg (2021-07) - Tatelaarweg  
 Groep: (hoofdgroep)  
 Lijst van Gebouwen, voor rekenmethode WegverkeerslawaaI - RMG-2012, wegverkeer

| Groep        | Y-1       | Hoogte | Rel.H | Maaiveld | Hdef.    | Vormpunten | Omtrek | Oppervlak |
|--------------|-----------|--------|-------|----------|----------|------------|--------|-----------|
| bgt_pand.gml | 438139,80 | 8,00   | 8,00  | 0,00     | Relatief | 35         | 359,66 | 2801,19   |
| bgt_pand.gml | 439389,71 | 7,00   | 7,00  | 0,00     | Relatief | 6          | 53,90  | 170,42    |
| bgt_pand.gml | 439302,30 | 6,00   | 6,00  | 0,00     | Relatief | 7          | 84,06  | 320,49    |
| bgt_pand.gml | 438620,47 | 8,00   | 8,00  | 0,00     | Relatief | 7          | 93,39  | 475,80    |
| bgt_pand.gml | 438784,14 | 8,00   | 8,00  | 0,00     | Relatief | 8          | 109,54 | 402,69    |
| bgt_pand.gml | 439017,94 | 8,00   | 8,00  | 0,00     | Relatief | 7          | 274,98 | 2814,88   |
| bgt_pand.gml | 439138,92 | 8,00   | 8,00  | 0,00     | Relatief | 8          | 193,66 | 2149,81   |
| bgt_pand.gml | 438570,17 | 8,00   | 8,00  | 0,00     | Relatief | 16         | 72,51  | 262,51    |
| bgt_pand.gml | 438972,97 | 8,00   | 8,00  | 0,00     | Relatief | 6          | 147,22 | 1239,40   |
| bgt_pand.gml | 438282,50 | 8,00   | 8,00  | 0,00     | Relatief | 13         | 56,36  | 113,43    |
| bgt_pand.gml | 438872,21 | 8,00   | 8,00  | 0,00     | Relatief | 4          | 108,48 | 476,22    |
| bgt_pand.gml | 438168,60 | 8,00   | 8,00  | 0,00     | Relatief | 4          | 241,63 | 3250,40   |
| bgt_pand.gml | 438276,72 | 8,00   | 8,00  | 0,00     | Relatief | 6          | 82,91  | 429,12    |
| bgt_pand.gml | 438468,07 | 8,00   | 8,00  | 0,00     | Relatief | 8          | 216,91 | 2158,45   |
| bgt_pand.gml | 439007,16 | 8,00   | 8,00  | 0,00     | Relatief | 4          | 12,90  | 9,85      |
| bgt_pand.gml | 439364,71 | 6,00   | 6,00  | 0,00     | Relatief | 6          | 23,81  | 30,75     |
| bgt_pand.gml | 439461,20 | 6,00   | 6,00  | 0,00     | Relatief | 11         | 64,26  | 207,02    |
| bgt_pand.gml | 439235,42 | 7,00   | 7,00  | 0,00     | Relatief | 4          | 29,23  | 51,91     |
| bgt_pand.gml | 439237,93 | 7,00   | 7,00  | 0,00     | Relatief | 7          | 56,95  | 143,10    |
| bgt_pand.gml | 439258,44 | 7,00   | 7,00  | 0,00     | Relatief | 6          | 34,79  | 64,54     |
| bgt_pand.gml | 438751,46 | 0,00   | 0,00  | 0,00     | Relatief | 16         | 64,67  | 186,76    |
| bgt_pand.gml | 439304,52 | 6,00   | 6,00  | 0,00     | Relatief | 4          | 44,26  | 101,66    |
| bgt_pand.gml | 439542,72 | 6,00   | 6,00  | 0,00     | Relatief | 4          | 60,63  | 205,18    |
| bgt_pand.gml | 438620,47 | 8,00   | 8,00  | 0,00     | Relatief | 6          | 88,49  | 425,08    |
| bgt_pand.gml | 438931,69 | 0,00   | 0,00  | 0,00     | Relatief | 11         | 127,70 | 779,25    |
| bgt_pand.gml | 438748,91 | 8,00   | 8,00  | 0,00     | Relatief | 20         | 418,80 | 3566,21   |
| bgt_pand.gml | 438484,93 | 8,00   | 8,00  | 0,00     | Relatief | 11         | 177,76 | 1888,93   |
| bgt_pand.gml | 438993,61 | 10,00  | 10,00 | 0,00     | Relatief | 18         | 184,21 | 652,37    |
| bgt_pand.gml | 438566,01 | 8,00   | 8,00  | 0,00     | Relatief | 15         | 228,35 | 2669,54   |
| bgt_pand.gml | 439198,23 | 7,00   | 7,00  | 0,00     | Relatief | 22         | 96,34  | 271,06    |
| bgt_pand.gml | 439013,21 | 8,00   | 8,00  | 0,00     | Relatief | 4          | 128,58 | 714,59    |
| bgt_pand.gml | 438751,46 | 8,00   | 8,00  | 0,00     | Relatief | 17         | 64,67  | 186,76    |
| bgt_pand.gml | 439010,92 | 8,00   | 8,00  | 0,00     | Relatief | 10         | 148,68 | 1132,34   |
| bgt_pand.gml | 438968,48 | 3,00   | 3,00  | 0,00     | Relatief | 8          | 40,08  | 98,09     |
| bgt_pand.gml | 438831,94 | 8,00   | 8,00  | 0,00     | Relatief | 8          | 53,56  | 150,30    |
| bgt_pand.gml | 438055,61 | 8,00   | 8,00  | 0,00     | Relatief | 14         | 66,61  | 215,86    |
| bgt_pand.gml | 439466,14 | 6,00   | 6,00  | 0,00     | Relatief | 14         | 78,69  | 249,13    |
| bgt_pand.gml | 439466,14 | 6,00   | 6,00  | 0,00     | Relatief | 19         | 129,05 | 369,69    |
| bgt_pand.gml | 438813,92 | 0,00   | 0,00  | 0,00     | Relatief | 4          | 33,52  | 70,05     |
| bgt_pand.gml | 439441,53 | 0,00   | 0,00  | 0,00     | Relatief | 15         | 121,53 | 352,67    |
| bgt_pand.gml | 439272,73 | 8,00   | 8,00  | 0,00     | Relatief | 8          | 57,22  | 158,35    |
| bgt_pand.gml | 438309,75 | 8,00   | 8,00  | 0,00     | Relatief | 4          | 88,42  | 479,14    |
| bgt_pand.gml | 438873,01 | 8,00   | 8,00  | 0,00     | Relatief | 8          | 54,93  | 126,11    |
| bgt_pand.gml | 439052,63 | 8,00   | 8,00  | 0,00     | Relatief | 6          | 16,48  | 16,96     |
| bgt_pand.gml | 439245,38 | 8,00   | 8,00  | 0,00     | Relatief | 10         | 348,87 | 4881,03   |
| bgt_pand.gml | 438581,65 | 8,00   | 8,00  | 0,00     | Relatief | 23         | 140,79 | 719,40    |
| bgt_pand.gml | 439060,64 | 8,00   | 8,00  | 0,00     | Relatief | 4          | 18,66  | 19,99     |
| bgt_pand.gml | 438929,54 | 8,00   | 8,00  | 0,00     | Relatief | 4          | 80,09  | 400,00    |
| bgt_pand.gml | 439031,72 | 8,00   | 8,00  | 0,00     | Relatief | 12         | 269,27 | 3529,68   |
| bgt_pand.gml | 438664,33 | 8,00   | 8,00  | 0,00     | Relatief | 30         | 204,10 | 1626,30   |
| bgt_pand.gml | 438596,08 | 8,00   | 8,00  | 0,00     | Relatief | 4          | 19,81  | 22,73     |
| bgt_pand.gml | 438846,30 | 8,00   | 8,00  | 0,00     | Relatief | 6          | 235,32 | 2027,76   |
| bgt_pand.gml | 439028,67 | 8,00   | 8,00  | 0,00     | Relatief | 9          | 292,52 | 5012,47   |
| bgt_pand.gml | 438360,19 | 8,00   | 8,00  | 0,00     | Relatief | 8          | 120,82 | 756,02    |
| bgt_pand.gml | 439389,84 | 7,00   | 7,00  | 0,00     | Relatief | 4          | 31,00  | 58,86     |
| bgt_pand.gml | 439048,33 | 5,00   | 5,00  | 0,00     | Relatief | 17         | 161,43 | 711,62    |
| bgt_pand.gml | 439441,53 | 0,00   | 0,00  | 0,00     | Relatief | 16         | 65,29  | 158,80    |
| bgt_pand.gml | 438282,50 | 8,00   | 8,00  | 0,00     | Relatief | 12         | 50,16  | 120,17    |
| bgt_pand.gml | 439500,63 | 8,00   | 8,00  | 0,00     | Relatief | 18         | 275,31 | 2173,07   |
| bgt_pand.gml | 438498,09 | 8,00   | 8,00  | 0,00     | Relatief | 5          | 104,45 | 637,52    |
| bgt_pand.gml | 439191,58 | 8,00   | 8,00  | 0,00     | Relatief | 4          | 13,50  | 11,01     |
| bgt_pand.gml | 438498,09 | 8,00   | 8,00  | 0,00     | Relatief | 5          | 104,45 | 637,49    |
| bgt_pand.gml | 439516,23 | 0,00   | 0,00  | 0,00     | Relatief | 4          | 20,38  | 17,16     |

## Invoergegevens van het model

Model: Tatelaarweg op basis van 2031 (tracebesluit) met tatelaarweg 80 km/uur  
 Tatelaarweg (2021-07) - Tatelaarweg  
 Groep: (hoofdgroep)  
 Lijst van Gebouwen, voor rekenmethode Wegverkeerslawaaï - RMG-2012, wegverkeer

| Groep        | Min.lengte | Max.lengte | Functie | Gebouwtype | BAG-id | Gemeente | Jaar | AHN-jaar | Trust | Cp   |
|--------------|------------|------------|---------|------------|--------|----------|------|----------|-------|------|
| bgt_pand.gml | 0,35       | 55,34      |         |            |        |          | 0    | 0        | 0     | 0 dB |
| bgt_pand.gml | 0,77       | 16,63      |         |            |        |          | 0    | 0        | 0     | 0 dB |
| bgt_pand.gml | 1,86       | 20,04      |         |            |        |          | 0    | 0        | 0     | 0 dB |
| bgt_pand.gml | 0,95       | 30,33      |         |            |        |          | 0    | 0        | 0     | 0 dB |
| bgt_pand.gml | 4,71       | 20,01      |         |            |        |          | 0    | 0        | 0     | 0 dB |
| bgt_pand.gml | 4,68       | 100,63     |         |            |        |          | 0    | 0        | 0     | 0 dB |
| bgt_pand.gml | 0,27       | 52,19      |         |            |        |          | 0    | 0        | 0     | 0 dB |
| bgt_pand.gml | 1,69       | 18,86      |         |            |        |          | 0    | 0        | 0     | 0 dB |
| bgt_pand.gml | 3,15       | 40,09      |         |            |        |          | 0    | 0        | 0     | 0 dB |
| bgt_pand.gml | 0,09       | 9,26       |         |            |        |          | 0    | 0        | 0     | 0 dB |
| bgt_pand.gml | 11,02      | 43,22      |         |            |        |          | 0    | 0        | 0     | 0 dB |
| bgt_pand.gml | 40,44      | 80,37      |         |            |        |          | 0    | 0        | 0     | 0 dB |
| bgt_pand.gml | 3,92       | 21,53      |         |            |        |          | 0    | 0        | 0     | 0 dB |
| bgt_pand.gml | 4,00       | 51,71      |         |            |        |          | 0    | 0        | 0     | 0 dB |
| bgt_pand.gml | 2,48       | 3,97       |         |            |        |          | 0    | 0        | 0     | 0 dB |
| bgt_pand.gml | 0,53       | 8,12       |         |            |        |          | 0    | 0        | 0     | 0 dB |
| bgt_pand.gml | 0,41       | 12,17      |         |            |        |          | 0    | 0        | 0     | 0 dB |
| bgt_pand.gml | 6,08       | 8,53       |         |            |        |          | 0    | 0        | 0     | 0 dB |
| bgt_pand.gml | 1,19       | 18,93      |         |            |        |          | 0    | 0        | 0     | 0 dB |
| bgt_pand.gml | 5,31       | 6,67       |         |            |        |          | 0    | 0        | 0     | 0 dB |
| bgt_pand.gml | 0,22       | 10,26      |         |            |        |          | 0    | 0        | 0     | 0 dB |
| bgt_pand.gml | 6,50       | 15,63      |         |            |        |          | 0    | 0        | 0     | 0 dB |
| bgt_pand.gml | 10,20      | 20,12      |         |            |        |          | 0    | 0        | 0     | 0 dB |
| bgt_pand.gml | 1,21       | 29,33      |         |            |        |          | 0    | 0        | 0     | 0 dB |
| bgt_pand.gml | 1,49       | 30,07      |         |            |        |          | 0    | 0        | 0     | 0 dB |
| bgt_pand.gml | 0,96       | 56,78      |         |            |        |          | 0    | 0        | 0     | 0 dB |
| bgt_pand.gml | 1,36       | 38,83      |         |            |        |          | 0    | 0        | 0     | 0 dB |
| bgt_pand.gml | 0,02       | 23,28      |         |            |        |          | 0    | 0        | 0     | 0 dB |
| bgt_pand.gml | 0,04       | 79,38      |         |            |        |          | 0    | 0        | 0     | 0 dB |
| bgt_pand.gml | 0,24       | 12,88      |         |            |        |          | 0    | 0        | 0     | 0 dB |
| bgt_pand.gml | 14,23      | 50,00      |         |            |        |          | 0    | 0        | 0     | 0 dB |
| bgt_pand.gml | 0,22       | 10,26      |         |            |        |          | 0    | 0        | 0     | 0 dB |
| bgt_pand.gml | 5,99       | 35,77      |         |            |        |          | 0    | 0        | 0     | 0 dB |
| bgt_pand.gml | 1,36       | 12,14      |         |            |        |          | 0    | 0        | 0     | 0 dB |
| bgt_pand.gml | 2,73       | 14,87      |         |            |        |          | 0    | 0        | 0     | 0 dB |
| bgt_pand.gml | 0,39       | 12,06      |         |            |        |          | 0    | 0        | 0     | 0 dB |
| bgt_pand.gml | 0,48       | 15,78      |         |            |        |          | 0    | 0        | 0     | 0 dB |
| bgt_pand.gml | 0,31       | 18,21      |         |            |        |          | 0    | 0        | 0     | 0 dB |
| bgt_pand.gml | 7,95       | 8,81       |         |            |        |          | 0    | 0        | 0     | 0 dB |
| bgt_pand.gml | 0,96       | 26,57      |         |            |        |          | 0    | 0        | 0     | 0 dB |
| bgt_pand.gml | 1,00       | 11,10      |         |            |        |          | 0    | 0        | 0     | 0 dB |
| bgt_pand.gml | 19,01      | 25,21      |         |            |        |          | 0    | 0        | 0     | 0 dB |
| bgt_pand.gml | 1,52       | 20,01      |         |            |        |          | 0    | 0        | 0     | 0 dB |
| bgt_pand.gml | 1,02       | 4,09       |         |            |        |          | 0    | 0        | 0     | 0 dB |
| bgt_pand.gml | 0,09       | 129,86     |         |            |        |          | 0    | 0        | 0     | 0 dB |
| bgt_pand.gml | 0,29       | 28,78      |         |            |        |          | 0    | 0        | 0     | 0 dB |
| bgt_pand.gml | 3,33       | 6,00       |         |            |        |          | 0    | 0        | 0     | 0 dB |
| bgt_pand.gml | 19,09      | 20,96      |         |            |        |          | 0    | 0        | 0     | 0 dB |
| bgt_pand.gml | 3,04       | 44,27      |         |            |        |          | 0    | 0        | 0     | 0 dB |
| bgt_pand.gml | 0,37       | 51,01      |         |            |        |          | 0    | 0        | 0     | 0 dB |
| bgt_pand.gml | 3,61       | 6,29       |         |            |        |          | 0    | 0        | 0     | 0 dB |
| bgt_pand.gml | 10,43      | 87,20      |         |            |        |          | 0    | 0        | 0     | 0 dB |
| bgt_pand.gml | 8,47       | 72,37      |         |            |        |          | 0    | 0        | 0     | 0 dB |
| bgt_pand.gml | 5,64       | 34,42      |         |            |        |          | 0    | 0        | 0     | 0 dB |
| bgt_pand.gml | 6,65       | 8,85       |         |            |        |          | 0    | 0        | 0     | 0 dB |
| bgt_pand.gml | 1,55       | 45,50      |         |            |        |          | 0    | 0        | 0     | 0 dB |
| bgt_pand.gml | 0,30       | 10,12      |         |            |        |          | 0    | 0        | 0     | 0 dB |
| bgt_pand.gml | 0,31       | 9,25       |         |            |        |          | 0    | 0        | 0     | 0 dB |
| bgt_pand.gml | 0,73       | 54,72      |         |            |        |          | 0    | 0        | 0     | 0 dB |
| bgt_pand.gml | 2,41       | 32,77      |         |            |        |          | 0    | 0        | 0     | 0 dB |
| bgt_pand.gml | 2,76       | 4,00       |         |            |        |          | 0    | 0        | 0     | 0 dB |
| bgt_pand.gml | 2,41       | 32,78      |         |            |        |          | 0    | 0        | 0     | 0 dB |
| bgt_pand.gml | 2,13       | 8,06       |         |            |        |          | 0    | 0        | 0     | 0 dB |

## Invoergegevens van het model

Model: Tatelaarweg op basis van 2031 (tracebesluit) met tatelaarweg 80 km/uur  
 Tatelaarweg (2021-07) - Tatelaarweg  
 Groep: (hoofdgroep)  
 Lijst van Gebouwen, voor rekenmethode Wegverkeerslawaal - RMG-2012, wegverkeer

| Groep        | Zwevend | Refl. 63 | Refl. 125 | Refl. 250 | Refl. 500 | Refl. 1k | Refl. 2k | Refl. 4k | Refl. 8k |
|--------------|---------|----------|-----------|-----------|-----------|----------|----------|----------|----------|
| bgt_pand.gml | False   | 0,80     | 0,80      | 0,80      | 0,80      | 0,80     | 0,80     | 0,80     | 0,80     |
| bgt_pand.gml | False   | 0,80     | 0,80      | 0,80      | 0,80      | 0,80     | 0,80     | 0,80     | 0,80     |
| bgt_pand.gml | False   | 0,80     | 0,80      | 0,80      | 0,80      | 0,80     | 0,80     | 0,80     | 0,80     |
| bgt_pand.gml | False   | 0,80     | 0,80      | 0,80      | 0,80      | 0,80     | 0,80     | 0,80     | 0,80     |
| bgt_pand.gml | False   | 0,80     | 0,80      | 0,80      | 0,80      | 0,80     | 0,80     | 0,80     | 0,80     |
| bgt_pand.gml | False   | 0,80     | 0,80      | 0,80      | 0,80      | 0,80     | 0,80     | 0,80     | 0,80     |
| bgt_pand.gml | False   | 0,80     | 0,80      | 0,80      | 0,80      | 0,80     | 0,80     | 0,80     | 0,80     |
| bgt_pand.gml | False   | 0,80     | 0,80      | 0,80      | 0,80      | 0,80     | 0,80     | 0,80     | 0,80     |
| bgt_pand.gml | False   | 0,80     | 0,80      | 0,80      | 0,80      | 0,80     | 0,80     | 0,80     | 0,80     |
| bgt_pand.gml | False   | 0,80     | 0,80      | 0,80      | 0,80      | 0,80     | 0,80     | 0,80     | 0,80     |
| bgt_pand.gml | False   | 0,80     | 0,80      | 0,80      | 0,80      | 0,80     | 0,80     | 0,80     | 0,80     |
| bgt_pand.gml | False   | 0,80     | 0,80      | 0,80      | 0,80      | 0,80     | 0,80     | 0,80     | 0,80     |
| bgt_pand.gml | False   | 0,80     | 0,80      | 0,80      | 0,80      | 0,80     | 0,80     | 0,80     | 0,80     |
| bgt_pand.gml | False   | 0,80     | 0,80      | 0,80      | 0,80      | 0,80     | 0,80     | 0,80     | 0,80     |
| bgt_pand.gml | False   | 0,80     | 0,80      | 0,80      | 0,80      | 0,80     | 0,80     | 0,80     | 0,80     |
| bgt_pand.gml | False   | 0,80     | 0,80      | 0,80      | 0,80      | 0,80     | 0,80     | 0,80     | 0,80     |
| bgt_pand.gml | False   | 0,80     | 0,80      | 0,80      | 0,80      | 0,80     | 0,80     | 0,80     | 0,80     |
| bgt_pand.gml | False   | 0,80     | 0,80      | 0,80      | 0,80      | 0,80     | 0,80     | 0,80     | 0,80     |
| bgt_pand.gml | False   | 0,80     | 0,80      | 0,80      | 0,80      | 0,80     | 0,80     | 0,80     | 0,80     |
| bgt_pand.gml | False   | 0,80     | 0,80      | 0,80      | 0,80      | 0,80     | 0,80     | 0,80     | 0,80     |
| bgt_pand.gml | False   | 0,80     | 0,80      | 0,80      | 0,80      | 0,80     | 0,80     | 0,80     | 0,80     |
| bgt_pand.gml | False   | 0,80     | 0,80      | 0,80      | 0,80      | 0,80     | 0,80     | 0,80     | 0,80     |
| bgt_pand.gml | False   | 0,80     | 0,80      | 0,80      | 0,80      | 0,80     | 0,80     | 0,80     | 0,80     |
| bgt_pand.gml | False   | 0,80     | 0,80      | 0,80      | 0,80      | 0,80     | 0,80     | 0,80     | 0,80     |
| bgt_pand.gml | False   | 0,80     | 0,80      | 0,80      | 0,80      | 0,80     | 0,80     | 0,80     | 0,80     |
| bgt_pand.gml | False   | 0,80     | 0,80      | 0,80      | 0,80      | 0,80     | 0,80     | 0,80     | 0,80     |
| bgt_pand.gml | False   | 0,80     | 0,80      | 0,80      | 0,80      | 0,80     | 0,80     | 0,80     | 0,80     |
| bgt_pand.gml | False   | 0,80     | 0,80      | 0,80      | 0,80      | 0,80     | 0,80     | 0,80     | 0,80     |
| bgt_pand.gml | False   | 0,80     | 0,80      | 0,80      | 0,80      | 0,80     | 0,80     | 0,80     | 0,80     |
| bgt_pand.gml | False   | 0,80     | 0,80      | 0,80      | 0,80      | 0,80     | 0,80     | 0,80     | 0,80     |
| bgt_pand.gml | False   | 0,80     | 0,80      | 0,80      | 0,80      | 0,80     | 0,80     | 0,80     | 0,80     |
| bgt_pand.gml | False   | 0,80     | 0,80      | 0,80      | 0,80      | 0,80     | 0,80     | 0,80     | 0,80     |
| bgt_pand.gml | False   | 0,80     | 0,80      | 0,80      | 0,80      | 0,80     | 0,80     | 0,80     | 0,80     |
| bgt_pand.gml | False   | 0,80     | 0,80      | 0,80      | 0,80      | 0,80     | 0,80     | 0,80     | 0,80     |
| bgt_pand.gml | False   | 0,80     | 0,80      | 0,80      | 0,80      | 0,80     | 0,80     | 0,80     | 0,80     |
| bgt_pand.gml | False   | 0,80     | 0,80      | 0,80      | 0,80      | 0,80     | 0,80     | 0,80     | 0,80     |
| bgt_pand.gml | False   | 0,80     | 0,80      | 0,80      | 0,80      | 0,80     | 0,80     | 0,80     | 0,80     |
| bgt_pand.gml | False   | 0,80     | 0,80      | 0,80      | 0,80      | 0,80     | 0,80     | 0,80     | 0,80     |
| bgt_pand.gml | False   | 0,80     | 0,80      | 0,80      | 0,80      | 0,80     | 0,80     | 0,80     | 0,80     |
| bgt_pand.gml | False   | 0,80     | 0,80      | 0,80      | 0,80      | 0,80     | 0,80     | 0,80     | 0,80     |
| bgt_pand.gml | False   | 0,80     | 0,80      | 0,80      | 0,80      | 0,80     | 0,80     | 0,80     | 0,80     |
| bgt_pand.gml | False   | 0,80     | 0,80      | 0,80      | 0,80      | 0,80     | 0,80     | 0,80     | 0,80     |
| bgt_pand.gml | False   | 0,80     | 0,80      | 0,80      | 0,80      | 0,80     | 0,80     | 0,80     | 0,80     |
| bgt_pand.gml | False   | 0,80     | 0,80      | 0,80      | 0,80      | 0,80     | 0,80     | 0,80     | 0,80     |
| bgt_pand.gml | False   | 0,80     | 0,80      | 0,80      | 0,80      | 0,80     | 0,80     | 0,80     | 0,80     |
| bgt_pand.gml | False   | 0,80     | 0,80      | 0,80      | 0,80      | 0,80     | 0,80     | 0,80     | 0,80     |
| bgt_pand.gml | False   | 0,80     | 0,80      | 0,80      | 0,80      | 0,80     | 0,80     | 0,80     | 0,80     |
| bgt_pand.gml | False   | 0,80     | 0,80      | 0,80      | 0,80      | 0,80     | 0,80     | 0,80     | 0,80     |
| bgt_pand.gml | False   | 0,80     | 0,80      | 0,80      | 0,80      | 0,80     | 0,80     | 0,80     | 0,80     |
| bgt_pand.gml | False   | 0,80     | 0,80      | 0,80      | 0,80      | 0,80     | 0,80     | 0,80     | 0,80     |
| bgt_pand.gml | False   | 0,80     | 0,80      | 0,80      | 0,80      | 0,80     | 0,80     | 0,80     | 0,80     |

## Invoergegevens van het model

Model: Tatelaarweg op basis van 2031 (tracebesluit) met tatelaarweg 80 km/uur  
 Tatelaarweg (2021-07) - Tatelaarweg  
 Groep: (hoofdgroep)  
 Lijst van Gebouwen, voor rekenmethode Wegverkeerslawaaï - RMG-2012, wegverkeer

| Groep        | ItemID | Grp.ID | Datum             | Naam     | Omschr.          | Vorm     | X-1       |
|--------------|--------|--------|-------------------|----------|------------------|----------|-----------|
| bgt_pand.gml | 14509  | 5      | 11:44, 4 mei 2018 |          | 0299100000415828 | Polygoon | 203375,82 |
| bgt_pand.gml | 14551  | 5      | 11:44, 4 mei 2018 | 34-34C   | 0299100000398375 | Polygoon | 203191,99 |
| bgt_pand.gml | 14733  | 5      | 11:44, 4 mei 2018 | 12-12A   | 0299100000398219 | Polygoon | 202946,37 |
| bgt_pand.gml | 14803  | 5      | 11:44, 4 mei 2018 |          | 0299100000414696 | Polygoon | 203798,32 |
| bgt_pand.gml | 14834  | 5      | 11:44, 4 mei 2018 | 1        | 0299100000405589 | Polygoon | 203449,84 |
| bgt_pand.gml | 14841  | 5      | 11:44, 4 mei 2018 | 51-51B   | 0299100000399631 | Polygoon | 202800,87 |
| bgt_pand.gml | 14957  | 5      | 11:44, 4 mei 2018 |          | 0299100000397833 | Polygoon | 202919,12 |
| bgt_pand.gml | 14981  | 5      | 11:44, 4 mei 2018 | 13       | 0299100000453670 | Polygoon | 203061,33 |
| bgt_pand.gml | 15074  | 5      | 13:58, 4 mei 2018 | 36-38    | 195510000020527  | Polygoon | 203485,33 |
| bgt_pand.gml | 15086  | 5      | 11:44, 4 mei 2018 | 14       | 0299100000400551 | Polygoon | 202995,97 |
| bgt_pand.gml | 15164  | 5      | 11:44, 4 mei 2018 | 9        | 0299100000400131 | Polygoon | 203576,53 |
| bgt_pand.gml | 15195  | 5      | 11:44, 4 mei 2018 | 31       | 0299100000399895 | Polygoon | 203831,72 |
| bgt_pand.gml | 15209  | 5      | 11:44, 4 mei 2018 | 12-14    | 0299100000400546 | Polygoon | 203672,27 |
| bgt_pand.gml | 15233  | 5      | 11:44, 4 mei 2018 | 105      | 0299100000399960 | Polygoon | 203118,17 |
| bgt_pand.gml | 15261  | 5      | 11:44, 4 mei 2018 | 49       | 0299100000398637 | Polygoon | 202812,36 |
| bgt_pand.gml | 15271  | 5      | 11:44, 4 mei 2018 | 146      | 0299100000400822 | Polygoon | 203203,70 |
| bgt_pand.gml | 15295  | 5      | 11:44, 4 mei 2018 | 13       | 0299100000398489 | Polygoon | 203416,15 |
| bgt_pand.gml | 15300  | 5      | 11:44, 4 mei 2018 |          | 0299100000455026 | Polygoon | 202985,20 |
| bgt_pand.gml | 15418  | 5      | 11:44, 4 mei 2018 | 10       | 0299100000398646 | Polygoon | 202859,93 |
| bgt_pand.gml | 15520  | 5      | 11:44, 4 mei 2018 | 103      | 0299100000399491 | Polygoon | 203118,17 |
| bgt_pand.gml | 15597  | 5      | 11:44, 4 mei 2018 | 23       | 0299100000397916 | Polygoon | 203655,15 |
| bgt_pand.gml | 15607  | 5      | 11:44, 4 mei 2018 | 29D      | 0299100000403505 | Polygoon | 203825,80 |
| bgt_pand.gml | 15803  | 5      | 11:44, 4 mei 2018 | 107      | 0299100000405599 | Polygoon | 203124,18 |
| bgt_pand.gml | 15809  | 5      | 11:44, 4 mei 2018 | 4        | 0299100000406439 | Polygoon | 202687,19 |
| bgt_pand.gml | 15934  | 5      | 11:44, 4 mei 2018 | 1-11     | 0299100000399625 | Polygoon | 202762,35 |
| bgt_pand.gml | 15939  | 5      | 11:44, 4 mei 2018 | 45       | 0299100000399649 | Polygoon | 202788,09 |
| bgt_pand.gml | 15972  | 5      | 13:55, 4 mei 2018 |          | 0000000000000000 | Polygoon | 203055,96 |
| bgt_pand.gml | 15999  | 5      | 13:55, 4 mei 2018 |          | 0000000000000000 | Polygoon | 203021,39 |
| bgt_pand.gml | 16140  | 5      | 11:44, 4 mei 2018 | 29B      | 0299100000400601 | Polygoon | 203812,96 |
| bgt_pand.gml | 16150  | 5      | 11:44, 4 mei 2018 |          | 0299100000400579 | Polygoon | 202859,93 |
| bgt_pand.gml | 16210  | 5      | 11:44, 4 mei 2018 | 136/T001 | 0299100000417659 | Polygoon | 203122,72 |
| bgt_pand.gml | 16314  | 5      | 11:44, 4 mei 2018 | 26       | 0299100000400340 | Polygoon | 203066,62 |
| bgt_pand.gml | 16359  | 5      | 11:44, 4 mei 2018 | 70       | 0299100000398555 | Polygoon | 203976,28 |
| bgt_pand.gml | 16363  | 5      | 13:56, 4 mei 2018 | 4        | 0299100000401390 | Polygoon | 202950,86 |
| bgt_pand.gml | 16387  | 5      | 11:44, 4 mei 2018 | 8        | 0299100000454443 | Polygoon | 202762,97 |
| bgt_pand.gml | 16412  | 5      | 11:44, 4 mei 2018 |          | 0299100000453645 | Polygoon | 203287,02 |
| bgt_pand.gml | 16653  | 5      | 11:44, 4 mei 2018 | 5        | 0299100000400563 | Polygoon | 203906,60 |
| bgt_pand.gml | 16674  | 5      | 11:44, 4 mei 2018 | 9        | 0299100000398578 | Polygoon | 203767,15 |
| bgt_pand.gml | 16745  | 5      | 11:44, 4 mei 2018 | 31A      | 0299100000413513 | Polygoon | 203854,77 |
| bgt_pand.gml | 16766  | 5      | 11:44, 4 mei 2018 | 56-56E   | 0299100000398558 | Polygoon | 203603,24 |
| bgt_pand.gml | 16832  | 5      | 10:04, 4 mei 2018 | 4        | 0299100000401390 | Polygoon | 202950,86 |
| bgt_pand.gml | 16833  | 5      | 13:56, 4 mei 2018 | 3        | 0299100000397673 | Polygoon | 203084,31 |
| bgt_pand.gml | 16868  | 5      | 11:44, 4 mei 2018 |          | 0299100000407756 | Polygoon | 203799,79 |
| bgt_pand.gml | 16892  | 5      | 13:58, 4 mei 2018 |          | 195510000020529  | Polygoon | 203660,16 |
| bgt_pand.gml | 16895  | 5      | 13:39, 4 mei 2018 | 29a      | 195510000007089  | Polygoon | 203794,28 |
| bgt_pand.gml | 16897  | 5      | 11:44, 4 mei 2018 |          | 0299100000408423 | Polygoon | 203675,27 |
| bgt_pand.gml | 16947  | 5      | 11:44, 4 mei 2018 | 21       | 0299100000400575 | Polygoon | 203622,05 |
| bgt_pand.gml | 16951  | 5      | 11:44, 4 mei 2018 | 17       | 0299100000400709 | Polygoon | 203449,84 |
| bgt_pand.gml | 17016  | 5      | 11:44, 4 mei 2018 | 144      | 0299100000398529 | Polygoon | 203188,76 |
| bgt_pand.gml | 17027  | 5      | 11:44, 4 mei 2018 |          | 0299100000455083 | Polygoon | 203279,71 |
| bgt_pand.gml | 17077  | 5      | 11:44, 4 mei 2018 |          | 0299100000416672 | Polygoon | 202843,43 |
| bgt_pand.gml | 17125  | 5      | 11:44, 4 mei 2018 | 11       | 0299100000398650 | Polygoon | 203391,08 |
| bgt_pand.gml | 17155  | 5      | 11:44, 4 mei 2018 |          | 0299100000406883 | Polygoon | 203659,99 |
| bgt_pand.gml | 17193  | 5      | 11:44, 4 mei 2018 |          | 0299100000398689 | Polygoon | 203259,26 |
| bgt_pand.gml | 17196  | 5      | 11:44, 4 mei 2018 |          | 0299100000414493 | Polygoon | 203817,04 |
| bgt_pand.gml | 17260  | 5      | 11:44, 4 mei 2018 | 24       | 0299100000400561 | Polygoon | 203718,44 |
| bgt_pand.gml | 17279  | 5      | 11:44, 4 mei 2018 | 3        | 0299100000400382 | Polygoon | 203487,71 |
| bgt_pand.gml | 17287  | 5      | 11:44, 4 mei 2018 | 14       | 0299100000413033 | Polygoon | 202823,86 |
| bgt_pand.gml | 17382  | 5      | 11:44, 4 mei 2018 | 25-35    | 0299100000400657 | Polygoon | 202764,45 |
| bgt_pand.gml | 17388  | 5      | 11:44, 4 mei 2018 | 9/T001   | 0299100000408392 | Polygoon | 202838,70 |
| bgt_pand.gml | 17515  | 5      | 14:01, 4 mei 2018 |          | 195510000020564  | Polygoon | 204360,48 |
| bgt_pand.gml | 17532  | 5      | 11:44, 4 mei 2018 | 9        | 0299100000398585 | Polygoon | 203383,81 |
| bgt_pand.gml | 17534  | 5      | 11:44, 4 mei 2018 |          | 0299100000453644 | Polygoon | 203775,05 |

## Invoergegevens van het model

Model: Tatelaarweg op basis van 2031 (tracebesluit) met tatelaarweg 80 km/uur  
 Tatelaarweg (2021-07) - Tatelaarweg  
 Groep: (hoofdgroep)  
 Lijst van Gebouwen, voor rekenmethode Wegverkeerslawaal - RMG-2012, wegverkeer

| Groep        | Y-1       | Hoogte | Rel.H | Maaiveld | Hdef.    | Vormpunten | Omtrek | Oppervlak |
|--------------|-----------|--------|-------|----------|----------|------------|--------|-----------|
| bgt_pand.gml | 438911,61 | 8,00   | 8,00  | 0,00     | Relatief | 4          | 18,10  | 18,03     |
| bgt_pand.gml | 439010,92 | 8,00   | 8,00  | 0,00     | Relatief | 10         | 136,98 | 752,58    |
| bgt_pand.gml | 439225,85 | 8,00   | 8,00  | 0,00     | Relatief | 8          | 192,43 | 2134,14   |
| bgt_pand.gml | 438287,71 | 8,00   | 8,00  | 0,00     | Relatief | 5          | 12,18  | 8,96      |
| bgt_pand.gml | 438553,31 | 8,00   | 8,00  | 0,00     | Relatief | 7          | 76,37  | 363,81    |
| bgt_pand.gml | 439231,66 | 8,00   | 8,00  | 0,00     | Relatief | 9          | 107,26 | 636,96    |
| bgt_pand.gml | 439132,22 | 8,00   | 8,00  | 0,00     | Relatief | 8          | 131,41 | 948,55    |
| bgt_pand.gml | 438935,67 | 8,00   | 8,00  | 0,00     | Relatief | 4          | 40,93  | 104,72    |
| bgt_pand.gml | 439225,89 | 8,00   | 8,00  | 0,00     | Relatief | 13         | 74,31  | 270,06    |
| bgt_pand.gml | 439200,18 | 8,00   | 8,00  | 0,00     | Relatief | 6          | 190,81 | 1514,32   |
| bgt_pand.gml | 438702,17 | 8,00   | 8,00  | 0,00     | Relatief | 12         | 51,06  | 124,55    |
| bgt_pand.gml | 438271,30 | 8,00   | 8,00  | 0,00     | Relatief | 12         | 85,40  | 387,48    |
| bgt_pand.gml | 438499,47 | 8,00   | 8,00  | 0,00     | Relatief | 44         | 166,20 | 1564,70   |
| bgt_pand.gml | 438907,35 | 8,00   | 8,00  | 0,00     | Relatief | 14         | 73,05  | 200,29    |
| bgt_pand.gml | 439222,05 | 8,00   | 8,00  | 0,00     | Relatief | 4          | 88,91  | 489,24    |
| bgt_pand.gml | 438845,70 | 8,00   | 8,00  | 0,00     | Relatief | 4          | 60,85  | 227,56    |
| bgt_pand.gml | 438560,50 | 8,00   | 8,00  | 0,00     | Relatief | 12         | 100,62 | 484,92    |
| bgt_pand.gml | 439116,04 | 8,00   | 8,00  | 0,00     | Relatief | 4          | 31,31  | 45,80     |
| bgt_pand.gml | 439063,18 | 8,00   | 8,00  | 0,00     | Relatief | 7          | 135,71 | 881,22    |
| bgt_pand.gml | 438907,35 | 8,00   | 8,00  | 0,00     | Relatief | 13         | 76,53  | 173,52    |
| bgt_pand.gml | 438390,64 | 8,00   | 8,00  | 0,00     | Relatief | 10         | 48,61  | 127,12    |
| bgt_pand.gml | 438291,76 | 8,00   | 8,00  | 0,00     | Relatief | 4          | 56,13  | 195,93    |
| bgt_pand.gml | 438945,45 | 8,00   | 8,00  | 0,00     | Relatief | 10         | 52,56  | 132,91    |
| bgt_pand.gml | 438943,06 | 8,00   | 8,00  | 0,00     | Relatief | 4          | 32,78  | 66,45     |
| bgt_pand.gml | 439002,89 | 8,00   | 8,00  | 0,00     | Relatief | 4          | 100,55 | 605,07    |
| bgt_pand.gml | 439165,16 | 8,00   | 8,00  | 0,00     | Relatief | 72         | 115,02 | 632,18    |
| bgt_pand.gml | 439401,35 | 9,00   | 9,00  | 0,00     | Relatief | 7          | 90,19  | 504,00    |
| bgt_pand.gml | 439402,92 | 6,00   | 6,00  | 0,00     | Relatief | 8          | 132,66 | 534,90    |
| bgt_pand.gml | 438257,68 | 8,00   | 8,00  | 0,00     | Relatief | 6          | 41,89  | 102,47    |
| bgt_pand.gml | 439063,18 | 8,00   | 8,00  | 0,00     | Relatief | 4          | 143,93 | 1293,46   |
| bgt_pand.gml | 438816,24 | 8,00   | 8,00  | 0,00     | Relatief | 4          | 18,55  | 19,99     |
| bgt_pand.gml | 439017,94 | 8,00   | 8,00  | 0,00     | Relatief | 5          | 203,04 | 1853,18   |
| bgt_pand.gml | 438394,14 | 8,00   | 8,00  | 0,00     | Relatief | 4          | 449,65 | 10381,86  |
| bgt_pand.gml | 439500,47 | 7,00   | 7,00  | 0,00     | Relatief | 18         | 46,30  | 94,75     |
| bgt_pand.gml | 439096,60 | 8,00   | 8,00  | 0,00     | Relatief | 6          | 103,63 | 327,58    |
| bgt_pand.gml | 438812,63 | 8,00   | 8,00  | 0,00     | Relatief | 6          | 42,26  | 100,28    |
| bgt_pand.gml | 438301,85 | 8,00   | 8,00  | 0,00     | Relatief | 12         | 163,93 | 1394,95   |
| bgt_pand.gml | 438409,29 | 8,00   | 8,00  | 0,00     | Relatief | 23         | 301,19 | 4606,53   |
| bgt_pand.gml | 438230,68 | 8,00   | 8,00  | 0,00     | Relatief | 9          | 77,19  | 339,16    |
| bgt_pand.gml | 438551,55 | 8,00   | 8,00  | 0,00     | Relatief | 44         | 505,21 | 7858,64   |
| bgt_pand.gml | 439500,47 | 0,00   | 0,00  | 0,00     | Relatief | 18         | 46,30  | 94,75     |
| bgt_pand.gml | 439441,53 | 7,00   | 7,00  | 0,00     | Relatief | 16         | 65,29  | 158,80    |
| bgt_pand.gml | 438289,73 | 8,00   | 8,00  | 0,00     | Relatief | 5          | 12,78  | 9,45      |
| bgt_pand.gml | 439250,61 | 5,00   | 5,00  | 0,00     | Relatief | 8          | 72,30  | 221,59    |
| bgt_pand.gml | 439089,19 | 6,00   | 6,00  | 0,00     | Relatief | 9          | 106,87 | 609,42    |
| bgt_pand.gml | 438382,04 | 8,00   | 8,00  | 0,00     | Relatief | 6          | 51,55  | 144,53    |
| bgt_pand.gml | 438423,43 | 8,00   | 8,00  | 0,00     | Relatief | 18         | 152,83 | 1313,15   |
| bgt_pand.gml | 438553,31 | 8,00   | 8,00  | 0,00     | Relatief | 12         | 66,91  | 211,00    |
| bgt_pand.gml | 438857,05 | 8,00   | 8,00  | 0,00     | Relatief | 4          | 84,61  | 431,60    |
| bgt_pand.gml | 438825,81 | 8,00   | 8,00  | 0,00     | Relatief | 72         | 19,47  | 30,13     |
| bgt_pand.gml | 439237,71 | 8,00   | 8,00  | 0,00     | Relatief | 4          | 19,81  | 22,90     |
| bgt_pand.gml | 438602,91 | 8,00   | 8,00  | 0,00     | Relatief | 10         | 137,69 | 868,53    |
| bgt_pand.gml | 438390,53 | 8,00   | 8,00  | 0,00     | Relatief | 4          | 60,99  | 208,87    |
| bgt_pand.gml | 438802,98 | 8,00   | 8,00  | 0,00     | Relatief | 72         | 37,52  | 111,93    |
| bgt_pand.gml | 438324,37 | 8,00   | 8,00  | 0,00     | Relatief | 4          | 31,18  | 56,55     |
| bgt_pand.gml | 438409,43 | 8,00   | 8,00  | 0,00     | Relatief | 23         | 209,73 | 1431,09   |
| bgt_pand.gml | 438571,67 | 8,00   | 8,00  | 0,00     | Relatief | 18         | 189,49 | 931,22    |
| bgt_pand.gml | 439309,62 | 8,00   | 8,00  | 0,00     | Relatief | 21         | 144,49 | 585,08    |
| bgt_pand.gml | 439078,73 | 8,00   | 8,00  | 0,00     | Relatief | 5          | 103,77 | 554,79    |
| bgt_pand.gml | 438962,00 | 8,00   | 8,00  | 0,00     | Relatief | 4          | 18,29  | 18,99     |
| bgt_pand.gml | 439207,17 | 7,00   | 7,00  | 0,00     | Relatief | 4          | 65,65  | 253,87    |
| bgt_pand.gml | 438713,77 | 8,00   | 8,00  | 0,00     | Relatief | 14         | 276,88 | 4043,84   |
| bgt_pand.gml | 438302,82 | 8,00   | 8,00  | 0,00     | Relatief | 4          | 21,50  | 28,80     |

## Invoergegevens van het model

Model: Tatelaarweg op basis van 2031 (tracebesluit) met tatelaarweg 80 km/uur  
 Tatelaarweg (2021-07) - Tatelaarweg  
 Groep: (hoofdgroep)  
 Lijst van Gebouwen, voor rekenmethode Wegverkeerslawaaï - RMG-2012, wegverkeer

| Groep        | Min.lengte | Max.lengte | Functie | Gebouwtype | BAG-id | Gemeente | Jaar | AHN-jaar | Trust | Cp   |
|--------------|------------|------------|---------|------------|--------|----------|------|----------|-------|------|
| bgt_pand.gml | 2,96       | 6,09       |         |            |        |          | 0    | 0        | 0     | 0 dB |
| bgt_pand.gml | 0,13       | 39,89      |         |            |        |          | 0    | 0        | 0     | 0 dB |
| bgt_pand.gml | 0,08       | 52,07      |         |            |        |          | 0    | 0        | 0     | 0 dB |
| bgt_pand.gml | 0,05       | 3,58       |         |            |        |          | 0    | 0        | 0     | 0 dB |
| bgt_pand.gml | 0,21       | 19,70      |         |            |        |          | 0    | 0        | 0     | 0 dB |
| bgt_pand.gml | 1,95       | 28,55      |         |            |        |          | 0    | 0        | 0     | 0 dB |
| bgt_pand.gml | 4,99       | 40,34      |         |            |        |          | 0    | 0        | 0     | 0 dB |
| bgt_pand.gml | 10,22      | 10,25      |         |            |        |          | 0    | 0        | 0     | 0 dB |
| bgt_pand.gml | 0,90       | 12,11      |         |            |        |          | 0    | 0        | 0     | 0 dB |
| bgt_pand.gml | 0,32       | 74,90      |         |            |        |          | 0    | 0        | 0     | 0 dB |
| bgt_pand.gml | 0,02       | 8,89       |         |            |        |          | 0    | 0        | 0     | 0 dB |
| bgt_pand.gml | 0,70       | 20,03      |         |            |        |          | 0    | 0        | 0     | 0 dB |
| bgt_pand.gml | 0,23       | 40,03      |         |            |        |          | 0    | 0        | 0     | 0 dB |
| bgt_pand.gml | 1,04       | 17,97      |         |            |        |          | 0    | 0        | 0     | 0 dB |
| bgt_pand.gml | 20,04      | 24,41      |         |            |        |          | 0    | 0        | 0     | 0 dB |
| bgt_pand.gml | 13,25      | 17,18      |         |            |        |          | 0    | 0        | 0     | 0 dB |
| bgt_pand.gml | 1,01       | 20,64      |         |            |        |          | 0    | 0        | 0     | 0 dB |
| bgt_pand.gml | 3,89       | 11,76      |         |            |        |          | 0    | 0        | 0     | 0 dB |
| bgt_pand.gml | 1,18       | 35,30      |         |            |        |          | 0    | 0        | 0     | 0 dB |
| bgt_pand.gml | 0,01       | 17,97      |         |            |        |          | 0    | 0        | 0     | 0 dB |
| bgt_pand.gml | 0,25       | 10,00      |         |            |        |          | 0    | 0        | 0     | 0 dB |
| bgt_pand.gml | 13,04      | 15,05      |         |            |        |          | 0    | 0        | 0     | 0 dB |
| bgt_pand.gml | 0,99       | 12,52      |         |            |        |          | 0    | 0        | 0     | 0 dB |
| bgt_pand.gml | 7,32       | 9,08       |         |            |        |          | 0    | 0        | 0     | 0 dB |
| bgt_pand.gml | 19,96      | 30,31      |         |            |        |          | 0    | 0        | 0     | 0 dB |
| bgt_pand.gml | 0,08       | 11,10      |         |            |        |          | 0    | 0        | 0     | 0 dB |
| bgt_pand.gml | 0,03       | 24,71      |         |            |        |          | 0    | 0        | 0     | 0 dB |
| bgt_pand.gml | 8,81       | 32,11      |         |            |        |          | 0    | 0        | 0     | 0 dB |
| bgt_pand.gml | 2,50       | 10,97      |         |            |        |          | 0    | 0        | 0     | 0 dB |
| bgt_pand.gml | 34,96      | 37,55      |         |            |        |          | 0    | 0        | 0     | 0 dB |
| bgt_pand.gml | 3,40       | 5,88       |         |            |        |          | 0    | 0        | 0     | 0 dB |
| bgt_pand.gml | 4,68       | 77,67      |         |            |        |          | 0    | 0        | 0     | 0 dB |
| bgt_pand.gml | 64,90      | 159,90     |         |            |        |          | 0    | 0        | 0     | 0 dB |
| bgt_pand.gml | 0,10       | 6,81       |         |            |        |          | 0    | 0        | 0     | 0 dB |
| bgt_pand.gml | 6,00       | 36,00      |         |            |        |          | 0    | 0        | 0     | 0 dB |
| bgt_pand.gml | 1,38       | 11,82      |         |            |        |          | 0    | 0        | 0     | 0 dB |
| bgt_pand.gml | 1,93       | 31,59      |         |            |        |          | 0    | 0        | 0     | 0 dB |
| bgt_pand.gml | 0,30       | 66,20      |         |            |        |          | 0    | 0        | 0     | 0 dB |
| bgt_pand.gml | 1,21       | 20,13      |         |            |        |          | 0    | 0        | 0     | 0 dB |
| bgt_pand.gml | 0,19       | 109,97     |         |            |        |          | 0    | 0        | 0     | 0 dB |
| bgt_pand.gml | 0,10       | 6,81       |         |            |        |          | 0    | 0        | 0     | 0 dB |
| bgt_pand.gml | 0,30       | 10,12      |         |            |        |          | 0    | 0        | 0     | 0 dB |
| bgt_pand.gml | 1,19       | 4,37       |         |            |        |          | 0    | 0        | 0     | 0 dB |
| bgt_pand.gml | 3,77       | 25,72      |         |            |        |          | 0    | 0        | 0     | 0 dB |
| bgt_pand.gml | 1,54       | 25,61      |         |            |        |          | 0    | 0        | 0     | 0 dB |
| bgt_pand.gml | 2,54       | 15,00      |         |            |        |          | 0    | 0        | 0     | 0 dB |
| bgt_pand.gml | 0,09       | 27,40      |         |            |        |          | 0    | 0        | 0     | 0 dB |
| bgt_pand.gml | 0,21       | 14,95      |         |            |        |          | 0    | 0        | 0     | 0 dB |
| bgt_pand.gml | 17,10      | 25,14      |         |            |        |          | 0    | 0        | 0     | 0 dB |
| bgt_pand.gml | 0,27       | 0,27       |         |            |        |          | 0    | 0        | 0     | 0 dB |
| bgt_pand.gml | 3,68       | 6,23       |         |            |        |          | 0    | 0        | 0     | 0 dB |
| bgt_pand.gml | 2,08       | 26,29      |         |            |        |          | 0    | 0        | 0     | 0 dB |
| bgt_pand.gml | 10,39      | 20,10      |         |            |        |          | 0    | 0        | 0     | 0 dB |
| bgt_pand.gml | 0,52       | 0,52       |         |            |        |          | 0    | 0        | 0     | 0 dB |
| bgt_pand.gml | 5,74       | 9,85       |         |            |        |          | 0    | 0        | 0     | 0 dB |
| bgt_pand.gml | 0,05       | 45,58      |         |            |        |          | 0    | 0        | 0     | 0 dB |
| bgt_pand.gml | 0,51       | 40,90      |         |            |        |          | 0    | 0        | 0     | 0 dB |
| bgt_pand.gml | 0,26       | 16,15      |         |            |        |          | 0    | 0        | 0     | 0 dB |
| bgt_pand.gml | 4,97       | 36,82      |         |            |        |          | 0    | 0        | 0     | 0 dB |
| bgt_pand.gml | 3,18       | 5,96       |         |            |        |          | 0    | 0        | 0     | 0 dB |
| bgt_pand.gml | 12,43      | 20,39      |         |            |        |          | 0    | 0        | 0     | 0 dB |
| bgt_pand.gml | 0,15       | 57,16      |         |            |        |          | 0    | 0        | 0     | 0 dB |
| bgt_pand.gml | 5,07       | 5,68       |         |            |        |          | 0    | 0        | 0     | 0 dB |





## Invoergegevens van het model

Model: Tatelaarweg op basis van 2031 (tracebesluit) met tatelaarweg 80 km/uur  
 Tatelaarweg (2021-07) - Tatelaarweg  
 Groep: (hoofdgroep)  
 Lijst van Gebouwen, voor rekenmethode Wegverkeerslawaaï - RMG-2012, wegverkeer

| Groep        | ItemID | Grp.ID | Datum              | Naam   | Omschr.          | Vorm     | X-1       |
|--------------|--------|--------|--------------------|--------|------------------|----------|-----------|
| bgt_pand.gml | 17591  | 5      | 11:44, 4 mei 2018  | 3      | 0299100000400584 | Polygoon | 203839,27 |
| bgt_pand.gml | 17720  | 5      | 11:44, 4 mei 2018  |        | 0299100000407927 | Polygoon | 203083,92 |
| bgt_pand.gml | 17815  | 5      | 10:04, 4 mei 2018  |        | 1955100000012335 | Polygoon | 204280,72 |
| bgt_pand.gml | 17816  | 5      | 14:01, 4 mei 2018  | 24     | 1955100000020559 | Polygoon | 204262,85 |
| bgt_pand.gml | 17817  | 5      | 14:04, 4 mei 2018  |        | 1955100000020576 | Polygoon | 204480,96 |
| bgt_pand.gml | 17929  | 5      | 14:02, 4 mei 2018  | 24     | 1955100000020567 | Polygoon | 204387,17 |
| bgt_pand.gml | 18189  | 5      | 11:44, 4 mei 2018  |        | 0299100000408183 | Polygoon | 202993,00 |
| bgt_pand.gml | 18195  | 5      | 11:44, 4 mei 2018  | 19     | 0299100000398377 | Polygoon | 203496,13 |
| bgt_pand.gml | 18204  | 5      | 11:44, 4 mei 2018  |        | 0299100000418351 | Polygoon | 203484,87 |
| bgt_pand.gml | 18266  | 5      | 13:57, 4 mei 2018  | 9      | 0299100000398670 | Polygoon | 203382,40 |
| bgt_pand.gml | 18286  | 5      | 11:44, 4 mei 2018  | 24     | 0299100000399697 | Polygoon | 203106,83 |
| bgt_pand.gml | 18319  | 5      | 13:47, 4 mei 2018  | 13-13a | 1955100000007305 | Polygoon | 204696,89 |
| bgt_pand.gml | 18322  | 5      | 14:04, 4 mei 2018  |        | 1955100000020576 | Polygoon | 204484,15 |
| bgt_pand.gml | 18326  | 5      | 14:04, 4 mei 2018  |        | 1955100000020572 | Polygoon | 204439,27 |
| bgt_pand.gml | 18350  | 5      | 13:45, 4 mei 2018  | 21     | 1955100000020569 | Polygoon | 204424,14 |
| bgt_pand.gml | 18381  | 5      | 11:44, 4 mei 2018  | 27     | 0299100000400345 | Polygoon | 203737,63 |
| bgt_pand.gml | 18407  | 5      | 11:44, 4 mei 2018  |        | 0299100000410256 | Polygoon | 204092,88 |
| bgt_pand.gml | 18442  | 5      | 11:44, 4 mei 2018  |        | 0299100000397651 | Polygoon | 203520,76 |
| bgt_pand.gml | 18460  | 5      | 14:04, 4 mei 2018  |        | 1955100000020606 | Polygoon | 204669,52 |
| bgt_pand.gml | 18522  | 5      | 11:44, 4 mei 2018  | 80     | 0299100000398589 | Polygoon | 204116,99 |
| bgt_pand.gml | 18617  | 5      | 14:04, 4 mei 2018  |        | 1955100000020570 | Polygoon | 204433,39 |
| bgt_pand.gml | 18624  | 5      | 10:04, 4 mei 2018  | 21A    | 1955100000002256 | Polygoon | 204395,85 |
| bgt_pand.gml | 18635  | 5      | 14:04, 4 mei 2018  | 7      | 1955100000003805 | Polygoon | 204426,92 |
| bgt_pand.gml | 18651  | 5      | 14:00, 4 mei 2018  | 26     | 1955100000013746 | Polygoon | 204039,18 |
| bgt_pand.gml | 18699  | 5      | 13:58, 4 mei 2018  |        | 1955100000020528 | Polygoon | 203495,07 |
| bgt_pand.gml | 18702  | 5      | 14:00, 4 mei 2018  |        | 1955100000020548 | Polygoon | 203884,98 |
| bgt_pand.gml | 18727  | 5      | 11:44, 4 mei 2018  |        | 0299100000417674 | Polygoon | 203762,21 |
| bgt_pand.gml | 18753  | 5      | 11:44, 4 mei 2018  |        | 0299100000413147 | Polygoon | 203265,21 |
| bgt_pand.gml | 18759  | 5      | 11:44, 4 mei 2018  |        | 0299100000417773 | Polygoon | 203293,38 |
| bgt_pand.gml | 18785  | 5      | 11:44, 4 mei 2018  | 44     | 0299100000404208 | Polygoon | 203308,38 |
| bgt_pand.gml | 18837  | 5      | 11:44, 4 mei 2018  | 18     | 0299100000400534 | Polygoon | 203029,48 |
| bgt_pand.gml | 18926  | 5      | 11:44, 4 mei 2018  |        | 0299100000403477 | Polygoon | 203181,43 |
| bgt_pand.gml | 18997  | 5      | 11:44, 4 mei 2018  | 28     | 0299100000410765 | Polygoon | 203685,21 |
| bgt_pand.gml | 19007  | 5      | 11:44, 4 mei 2018  |        | 0299100000397374 | Polygoon | 203276,79 |
| bgt_pand.gml | 19022  | 5      | 11:44, 4 mei 2018  | 54     | 0299100000397813 | Polygoon | 203509,40 |
| bgt_pand.gml | 19040  | 5      | 11:44, 4 mei 2018  | 48     | 0299100000398551 | Polygoon | 203226,67 |
| bgt_pand.gml | 19047  | 5      | 11:44, 4 mei 2018  |        | 0299100000402260 | Polygoon | 203387,06 |
| bgt_pand.gml | 19055  | 5      | 13:56, 4 mei 2018  |        | 0299100000410479 | Polygoon | 202939,50 |
| bgt_pand.gml | 19122  | 5      | 13:59, 4 mei 2018  |        | 1955100000020547 | Polygoon | 203885,74 |
| bgt_pand.gml | 19150  | 5      | 11:44, 4 mei 2018  | 9-9B   | 0299100000398645 | Polygoon | 203016,71 |
| bgt_pand.gml | 19245  | 5      | 11:44, 4 mei 2018  |        | 0299100000402198 | Polygoon | 203161,92 |
| bgt_pand.gml | 19257  | 5      | 11:44, 4 mei 2018  | 107A   | 0299100000398590 | Polygoon | 203110,65 |
| bgt_pand.gml | 19265  | 5      | 13:58, 4 mei 2018  | 34     | 1955100000020530 | Polygoon | 203674,53 |
| bgt_pand.gml | 19271  | 5      | 19:50, 9 nov 2018  | 29-29b | 1955100000020535 | Polygoon | 203766,26 |
| bgt_pand.gml | 19348  | 5      | 13:41, 4 mei 2018  |        | 1955100000020554 | Polygoon | 203992,26 |
| bgt_pand.gml | 19363  | 5      | 14:04, 4 mei 2018  | 7      | 1955100000003805 | Polygoon | 204427,97 |
| bgt_pand.gml | 19374  | 5      | 14:04, 4 mei 2018  | 16-16A | 1955100000002933 | Polygoon | 204677,96 |
| bgt_pand.gml | 19440  | 5      | 13:47, 4 mei 2018  |        | 1955100000020598 | Polygoon | 204643,72 |
| bgt_pand.gml | 19443  | 5      | 14:04, 4 mei 2018  | 5      | 1955100000003806 | Polygoon | 204480,18 |
| bgt_pand.gml | 19450  | 5      | 11:44, 4 mei 2018  | 76-76A | 0299100000398601 | Polygoon | 203999,38 |
| bgt_pand.gml | 19497  | 5      | 13:59, 4 mei 2018  |        | 1955100000020531 | Polygoon | 203675,43 |
| bgt_pand.gml | 19513  | 5      | 14:04, 4 mei 2018  |        | 1955100000020570 | Polygoon | 204414,06 |
| bgt_pand.gml | 19568  | 5      | 13:48, 4 mei 2018  |        | 1955100000060821 | Polygoon | 204763,86 |
| bgt_pand.gml | 19632  | 5      | 13:46, 4 mei 2018  |        | 1955100000020581 | Polygoon | 204515,38 |
| bgt_pand.gml | 19650  | 5      | 13:51, 27 nov 2018 |        | 1955100000020544 | Polygoon | 203856,09 |
| bgt_pand.gml | 19698  | 5      | 11:44, 4 mei 2018  |        | 0299100000454080 | Polygoon | 202890,55 |
| bgt_pand.gml | 19755  | 5      | 11:44, 4 mei 2018  | 22     | 0299100000405605 | Polygoon | 203106,83 |
| bgt_pand.gml | 19791  | 5      | 11:44, 4 mei 2018  |        | 0299100000400599 | Polygoon | 203524,45 |
| bgt_pand.gml | 19796  | 5      | 11:44, 4 mei 2018  |        | 0299100000410879 | Polygoon | 203095,10 |
| bgt_pand.gml | 19867  | 5      | 14:04, 4 mei 2018  |        | 1955100000020604 | Polygoon | 204673,49 |
| bgt_pand.gml | 19873  | 5      | 14:00, 4 mei 2018  |        | 1955100000020552 | Polygoon | 203986,70 |
| bgt_pand.gml | 19879  | 5      | 14:04, 4 mei 2018  |        | 1955100000020604 | Polygoon | 204673,49 |
| bgt_pand.gml | 19906  | 5      | 13:48, 4 mei 2018  |        | 1955100000060831 | Polygoon | 204765,61 |

## Invoergegevens van het model

Model: Tatelaarweg op basis van 2031 (tracebesluit) met tatelaarweg 80 km/uur  
 Tatelaarweg (2021-07) - Tatelaarweg  
 Groep: (hoofdgroep)  
 Lijst van Gebouwen, voor rekenmethode Wegverkeerslawaal - RMG-2012, wegverkeer

| Groep        | Y-1       | Hoogte | Rel.H | Maaiveld | Hdef.    | Vormpunten | Omtrek  | Oppervlak |
|--------------|-----------|--------|-------|----------|----------|------------|---------|-----------|
| bgt_pand.gml | 438307,80 | 8,00   | 8,00  | 0,00     | Relatief | 9          | 187,20  | 1267,83   |
| bgt_pand.gml | 438935,69 | 8,00   | 8,00  | 0,00     | Relatief | 4          | 61,13   | 211,12    |
| bgt_pand.gml | 439399,62 | 0,00   | 0,00  | 0,00     | Relatief | 4          | 53,90   | 170,42    |
| bgt_pand.gml | 439147,36 | 7,00   | 7,00  | 0,00     | Relatief | 8          | 56,29   | 160,76    |
| bgt_pand.gml | 439542,81 | 6,00   | 6,00  | 0,00     | Relatief | 18         | 89,93   | 347,04    |
| bgt_pand.gml | 439248,94 | 8,00   | 8,00  | 0,00     | Relatief | 10         | 52,84   | 157,28    |
| bgt_pand.gml | 439178,30 | 8,00   | 8,00  | 0,00     | Relatief | 4          | 13,02   | 10,46     |
| bgt_pand.gml | 438497,30 | 8,00   | 8,00  | 0,00     | Relatief | 4          | 117,70  | 744,83    |
| bgt_pand.gml | 438761,96 | 8,00   | 8,00  | 0,00     | Relatief | 4          | 18,93   | 20,49     |
| bgt_pand.gml | 439264,47 | 8,00   | 8,00  | 0,00     | Relatief | 6          | 114,90  | 800,32    |
| bgt_pand.gml | 439124,26 | 8,00   | 8,00  | 0,00     | Relatief | 4          | 40,96   | 101,40    |
| bgt_pand.gml | 438928,00 | 8,00   | 8,00  | 0,00     | Relatief | 8          | 69,56   | 217,59    |
| bgt_pand.gml | 439534,04 | 6,00   | 6,00  | 0,00     | Relatief | 16         | 89,93   | 347,04    |
| bgt_pand.gml | 439353,80 | 6,00   | 6,00  | 0,00     | Relatief | 8          | 62,48   | 206,12    |
| bgt_pand.gml | 438888,69 | 16,00  | 16,00 | 0,00     | Relatief | 13         | 127,70  | 779,25    |
| bgt_pand.gml | 438324,98 | 8,00   | 8,00  | 0,00     | Relatief | 14         | 176,50  | 1745,13   |
| bgt_pand.gml | 438044,68 | 8,00   | 8,00  | 0,00     | Relatief | 4          | 15,34   | 12,99     |
| bgt_pand.gml | 438529,36 | 8,00   | 8,00  | 0,00     | Relatief | 4          | 51,45   | 160,55    |
| bgt_pand.gml | 439517,34 | 6,00   | 6,00  | 0,00     | Relatief | 4          | 22,74   | 32,14     |
| bgt_pand.gml | 438292,51 | 8,00   | 8,00  | 0,00     | Relatief | 16         | 304,25  | 4012,42   |
| bgt_pand.gml | 439557,76 | 6,00   | 6,00  | 0,00     | Relatief | 9          | 97,36   | 361,88    |
| bgt_pand.gml | 438874,88 | 0,00   | 0,00  | 0,00     | Relatief | 12         | 51,89   | 113,82    |
| bgt_pand.gml | 439362,87 | 6,00   | 6,00  | 0,00     | Relatief | 16         | 50,56   | 109,42    |
| bgt_pand.gml | 439249,44 | 9,00   | 9,00  | 0,00     | Relatief | 8          | 72,92   | 261,74    |
| bgt_pand.gml | 439234,31 | 6,00   | 6,00  | 0,00     | Relatief | 6          | 68,91   | 205,53    |
| bgt_pand.gml | 439288,67 | 4,00   | 4,00  | 0,00     | Relatief | 4          | 22,45   | 30,29     |
| bgt_pand.gml | 438371,25 | 8,00   | 8,00  | 0,00     | Relatief | 4          | 18,65   | 19,94     |
| bgt_pand.gml | 439057,76 | 8,00   | 8,00  | 0,00     | Relatief | 12         | 42,42   | 98,26     |
| bgt_pand.gml | 438943,64 | 8,00   | 8,00  | 0,00     | Relatief | 4          | 19,31   | 21,55     |
| bgt_pand.gml | 438951,64 | 8,00   | 8,00  | 0,00     | Relatief | 12         | 53,89   | 129,77    |
| bgt_pand.gml | 439183,37 | 8,00   | 8,00  | 0,00     | Relatief | 8          | 183,23  | 1646,80   |
| bgt_pand.gml | 438835,00 | 8,00   | 8,00  | 0,00     | Relatief | 4          | 60,00   | 199,99    |
| bgt_pand.gml | 438366,72 | 8,00   | 8,00  | 0,00     | Relatief | 11         | 100,25  | 228,11    |
| bgt_pand.gml | 438818,50 | 8,00   | 8,00  | 0,00     | Relatief | 72         | 37,00   | 108,88    |
| bgt_pand.gml | 438724,71 | 8,00   | 8,00  | 0,00     | Relatief | 6          | 153,68  | 1018,26   |
| bgt_pand.gml | 438801,04 | 8,00   | 8,00  | 0,00     | Relatief | 91         | 1223,88 | 14379,60  |
| bgt_pand.gml | 438896,59 | 8,00   | 8,00  | 0,00     | Relatief | 4          | 40,15   | 79,09     |
| bgt_pand.gml | 439481,05 | 4,00   | 4,00  | 0,00     | Relatief | 4          | 30,21   | 56,17     |
| bgt_pand.gml | 439347,55 | 5,00   | 5,00  | 0,00     | Relatief | 7          | 114,88  | 542,01    |
| bgt_pand.gml | 438943,31 | 8,00   | 8,00  | 0,00     | Relatief | 7          | 132,23  | 883,48    |
| bgt_pand.gml | 438846,03 | 8,00   | 8,00  | 0,00     | Relatief | 6          | 49,13   | 84,76     |
| bgt_pand.gml | 439000,00 | 8,00   | 8,00  | 0,00     | Relatief | 19         | 360,25  | 4771,86   |
| bgt_pand.gml | 439236,17 | 6,00   | 6,00  | 0,00     | Relatief | 4          | 39,42   | 94,61     |
| bgt_pand.gml | 439132,62 | 8,00   | 8,00  | 0,00     | Relatief | 10         | 76,53   | 327,66    |
| bgt_pand.gml | 439170,76 | 4,00   | 4,00  | 0,00     | Relatief | 6          | 30,38   | 57,54     |
| bgt_pand.gml | 439364,92 | 6,00   | 6,00  | 0,00     | Relatief | 9          | 43,86   | 95,61     |
| bgt_pand.gml | 439493,57 | 6,00   | 6,00  | 0,00     | Relatief | 16         | 58,11   | 165,97    |
| bgt_pand.gml | 438929,55 | 6,00   | 6,00  | 0,00     | Relatief | 4          | 60,24   | 205,18    |
| bgt_pand.gml | 439355,52 | 6,00   | 6,00  | 0,00     | Relatief | 25         | 50,22   | 136,72    |
| bgt_pand.gml | 438251,56 | 8,00   | 8,00  | 0,00     | Relatief | 8          | 298,79  | 4214,03   |
| bgt_pand.gml | 439274,93 | 7,00   | 7,00  | 0,00     | Relatief | 4          | 101,42  | 596,15    |
| bgt_pand.gml | 439532,23 | 6,00   | 6,00  | 0,00     | Relatief | 7          | 75,55   | 287,25    |
| bgt_pand.gml | 438789,92 | 5,00   | 5,00  | 0,00     | Relatief | 4          | 86,15   | 452,39    |
| bgt_pand.gml | 438818,92 | 4,00   | 4,00  | 0,00     | Relatief | 5          | 33,52   | 70,05     |
| bgt_pand.gml | 439279,46 | 8,00   | 8,00  | 0,00     | Relatief | 12         | 87,21   | 230,67    |
| bgt_pand.gml | 439293,54 | 8,00   | 8,00  | 0,00     | Relatief | 4          | 17,09   | 14,90     |
| bgt_pand.gml | 439124,26 | 8,00   | 8,00  | 0,00     | Relatief | 8          | 62,29   | 128,29    |
| bgt_pand.gml | 438734,33 | 8,00   | 8,00  | 0,00     | Relatief | 5          | 45,78   | 102,51    |
| bgt_pand.gml | 439112,44 | 8,00   | 8,00  | 0,00     | Relatief | 6          | 19,93   | 22,33     |
| bgt_pand.gml | 439490,88 | 6,00   | 6,00  | 0,00     | Relatief | 6          | 27,68   | 46,04     |
| bgt_pand.gml | 439291,15 | 8,00   | 8,00  | 0,00     | Relatief | 6          | 147,74  | 1123,15   |
| bgt_pand.gml | 439490,88 | 6,00   | 6,00  | 0,00     | Relatief | 8          | 27,68   | 46,04     |
| bgt_pand.gml | 438840,14 | 5,00   | 5,00  | 0,00     | Relatief | 4          | 67,16   | 268,28    |

## Invoergegevens van het model

Model: Tatelaarweg op basis van 2031 (tracebesluit) met tatelaarweg 80 km/uur  
 Tatelaarweg (2021-07) - Tatelaarweg  
 Groep: (hoofdgroep)  
 Lijst van Gebouwen, voor rekenmethode Wegverkeerslawaaï - RMG-2012, wegverkeer

| Groep        | Min.lengte | Max.lengte | Functie | Gebouwtype | BAG-id | Gemeente | Jaar | AHN-jaar | Trust | Cp   |
|--------------|------------|------------|---------|------------|--------|----------|------|----------|-------|------|
| bgt_pand.gml | 0,26       | 58,77      |         |            |        |          | 0    | 0        | 0     | 0 dB |
| bgt_pand.gml | 10,53      | 20,05      |         |            |        |          | 0    | 0        | 0     | 0 dB |
| bgt_pand.gml | 10,10      | 17,00      |         |            |        |          | 0    | 0        | 0     | 0 dB |
| bgt_pand.gml | 3,20       | 12,45      |         |            |        |          | 0    | 0        | 0     | 0 dB |
| bgt_pand.gml | 0,11       | 19,30      |         |            |        |          | 0    | 0        | 0     | 0 dB |
| bgt_pand.gml | 0,98       | 9,37       |         |            |        |          | 0    | 0        | 0     | 0 dB |
| bgt_pand.gml | 2,90       | 3,61       |         |            |        |          | 0    | 0        | 0     | 0 dB |
| bgt_pand.gml | 18,42      | 40,43      |         |            |        |          | 0    | 0        | 0     | 0 dB |
| bgt_pand.gml | 3,35       | 6,11       |         |            |        |          | 0    | 0        | 0     | 0 dB |
| bgt_pand.gml | 8,80       | 24,90      |         |            |        |          | 0    | 0        | 0     | 0 dB |
| bgt_pand.gml | 8,38       | 12,09      |         |            |        |          | 0    | 0        | 0     | 0 dB |
| bgt_pand.gml | 5,47       | 18,61      |         |            |        |          | 0    | 0        | 0     | 0 dB |
| bgt_pand.gml | 0,11       | 19,30      |         |            |        |          | 0    | 0        | 0     | 0 dB |
| bgt_pand.gml | 0,67       | 12,06      |         |            |        |          | 0    | 0        | 0     | 0 dB |
| bgt_pand.gml | 0,63       | 30,07      |         |            |        |          | 0    | 0        | 0     | 0 dB |
| bgt_pand.gml | 0,20       | 40,42      |         |            |        |          | 0    | 0        | 0     | 0 dB |
| bgt_pand.gml | 2,52       | 5,15       |         |            |        |          | 0    | 0        | 0     | 0 dB |
| bgt_pand.gml | 10,65      | 15,07      |         |            |        |          | 0    | 0        | 0     | 0 dB |
| bgt_pand.gml | 5,26       | 6,12       |         |            |        |          | 0    | 0        | 0     | 0 dB |
| bgt_pand.gml | 0,36       | 95,44      |         |            |        |          | 0    | 0        | 0     | 0 dB |
| bgt_pand.gml | 3,38       | 23,93      |         |            |        |          | 0    | 0        | 0     | 0 dB |
| bgt_pand.gml | 0,65       | 7,56       |         |            |        |          | 0    | 0        | 0     | 0 dB |
| bgt_pand.gml | 0,99       | 7,61       |         |            |        |          | 0    | 0        | 0     | 0 dB |
| bgt_pand.gml | 0,46       | 21,24      |         |            |        |          | 0    | 0        | 0     | 0 dB |
| bgt_pand.gml | 2,88       | 25,58      |         |            |        |          | 0    | 0        | 0     | 0 dB |
| bgt_pand.gml | 4,51       | 6,71       |         |            |        |          | 0    | 0        | 0     | 0 dB |
| bgt_pand.gml | 3,32       | 6,00       |         |            |        |          | 0    | 0        | 0     | 0 dB |
| bgt_pand.gml | 0,09       | 10,65      |         |            |        |          | 0    | 0        | 0     | 0 dB |
| bgt_pand.gml | 3,50       | 6,15       |         |            |        |          | 0    | 0        | 0     | 0 dB |
| bgt_pand.gml | 0,35       | 9,17       |         |            |        |          | 0    | 0        | 0     | 0 dB |
| bgt_pand.gml | 0,32       | 58,42      |         |            |        |          | 0    | 0        | 0     | 0 dB |
| bgt_pand.gml | 10,00      | 20,00      |         |            |        |          | 0    | 0        | 0     | 0 dB |
| bgt_pand.gml | 2,78       | 16,93      |         |            |        |          | 0    | 0        | 0     | 0 dB |
| bgt_pand.gml | 0,51       | 0,52       |         |            |        |          | 0    | 0        | 0     | 0 dB |
| bgt_pand.gml | 3,80       | 59,82      |         |            |        |          | 0    | 0        | 0     | 0 dB |
| bgt_pand.gml | 0,01       | 79,63      |         |            |        |          | 0    | 0        | 0     | 0 dB |
| bgt_pand.gml | 5,38       | 14,69      |         |            |        |          | 0    | 0        | 0     | 0 dB |
| bgt_pand.gml | 6,63       | 8,48       |         |            |        |          | 0    | 0        | 0     | 0 dB |
| bgt_pand.gml | 0,43       | 45,10      |         |            |        |          | 0    | 0        | 0     | 0 dB |
| bgt_pand.gml | 4,97       | 45,71      |         |            |        |          | 0    | 0        | 0     | 0 dB |
| bgt_pand.gml | 1,50       | 20,01      |         |            |        |          | 0    | 0        | 0     | 0 dB |
| bgt_pand.gml | 0,33       | 87,15      |         |            |        |          | 0    | 0        | 0     | 0 dB |
| bgt_pand.gml | 8,27       | 11,44      |         |            |        |          | 0    | 0        | 0     | 0 dB |
| bgt_pand.gml | 0,12       | 22,57      |         |            |        |          | 0    | 0        | 0     | 0 dB |
| bgt_pand.gml | 0,29       | 7,69       |         |            |        |          | 0    | 0        | 0     | 0 dB |
| bgt_pand.gml | 0,99       | 12,30      |         |            |        |          | 0    | 0        | 0     | 0 dB |
| bgt_pand.gml | 0,30       | 9,01       |         |            |        |          | 0    | 0        | 0     | 0 dB |
| bgt_pand.gml | 10,41      | 19,71      |         |            |        |          | 0    | 0        | 0     | 0 dB |
| bgt_pand.gml | 0,18       | 6,96       |         |            |        |          | 0    | 0        | 0     | 0 dB |
| bgt_pand.gml | 4,92       | 79,96      |         |            |        |          | 0    | 0        | 0     | 0 dB |
| bgt_pand.gml | 18,40      | 32,32      |         |            |        |          | 0    | 0        | 0     | 0 dB |
| bgt_pand.gml | 2,62       | 23,93      |         |            |        |          | 0    | 0        | 0     | 0 dB |
| bgt_pand.gml | 18,15      | 24,92      |         |            |        |          | 0    | 0        | 0     | 0 dB |
| bgt_pand.gml | 3,50       | 8,81       |         |            |        |          | 0    | 0        | 0     | 0 dB |
| bgt_pand.gml | 1,53       | 14,01      |         |            |        |          | 0    | 0        | 0     | 0 dB |
| bgt_pand.gml | 2,44       | 6,10       |         |            |        |          | 0    | 0        | 0     | 0 dB |
| bgt_pand.gml | 2,68       | 12,09      |         |            |        |          | 0    | 0        | 0     | 0 dB |
| bgt_pand.gml | 0,88       | 16,79      |         |            |        |          | 0    | 0        | 0     | 0 dB |
| bgt_pand.gml | 0,17       | 6,40       |         |            |        |          | 0    | 0        | 0     | 0 dB |
| bgt_pand.gml | 0,51       | 8,35       |         |            |        |          | 0    | 0        | 0     | 0 dB |
| bgt_pand.gml | 0,18       | 52,46      |         |            |        |          | 0    | 0        | 0     | 0 dB |
| bgt_pand.gml | 0,01       | 8,35       |         |            |        |          | 0    | 0        | 0     | 0 dB |
| bgt_pand.gml | 12,95      | 20,50      |         |            |        |          | 0    | 0        | 0     | 0 dB |



## Invoergegevens van het model

Model: Tatelaarweg op basis van 2031 (tracebesluit) met tatelaarweg 80 km/uur  
 Tatelaarweg (2021-07) - Tatelaarweg  
 Groep: (hoofdgroep)  
 Lijst van Gebouwen, voor rekenmethode Wegverkeerslawaaï - RMG-2012, wegverkeer

| Groep        | ItemID | Grp.ID | Datum              | Naam   | Omschr.          | Vorm     | X-1       |
|--------------|--------|--------|--------------------|--------|------------------|----------|-----------|
| bgt_pand.gml | 20036  | 5      | 11:44, 4 mei 2018  | 48     | 0299100000398551 | Polygoon | 203245,72 |
| bgt_pand.gml | 20037  | 5      | 11:44, 4 mei 2018  |        | 0299100000399953 | Polygoon | 203268,57 |
| bgt_pand.gml | 20071  | 5      | 11:44, 4 mei 2018  | 48     | 0299100000398551 | Polygoon | 203353,38 |
| bgt_pand.gml | 20096  | 5      | 13:41, 4 mei 2018  |        | 1955100000020555 | Polygoon | 204010,84 |
| bgt_pand.gml | 20126  | 5      | 11:44, 4 mei 2018  | 3/T001 | 0299100000405278 | Polygoon | 204061,57 |
| bgt_pand.gml | 20137  | 5      | 11:44, 4 mei 2018  | 46     | 0299100000403467 | Polygoon | 203308,38 |
| bgt_pand.gml | 20169  | 5      | 11:44, 4 mei 2018  |        | 0299100000414696 | Polygoon | 203799,79 |
| bgt_pand.gml | 20184  | 5      | 11:44, 4 mei 2018  | 78     | 0299100000398587 | Polygoon | 204055,18 |
| bgt_pand.gml | 20219  | 5      | 13:44, 4 mei 2018  |        | 1955100000020561 | Polygoon | 204338,72 |
| bgt_pand.gml | 20303  | 5      | 11:44, 4 mei 2018  | 78     | 0299100000398587 | Polygoon | 204005,45 |
| bgt_pand.gml | 20312  | 5      | 14:01, 4 mei 2018  |        | 1955100000005007 | Polygoon | 204275,54 |
| bgt_pand.gml | 20317  | 5      | 13:56, 4 mei 2018  | 1-5    | 0299100000398907 | Polygoon | 203084,31 |
| bgt_pand.gml | 20359  | 5      | 11:44, 4 mei 2018  |        | 0299100000418987 | Polygoon | 203281,79 |
| bgt_pand.gml | 20362  | 5      | 11:44, 4 mei 2018  | 58     | 0299100000398577 | Polygoon | 203723,86 |
| bgt_pand.gml | 20517  | 5      | 14:01, 4 mei 2018  |        | 1955100000020558 | Polygoon | 204236,61 |
| bgt_pand.gml | 20527  | 5      | 11:44, 4 mei 2018  | 11     | 0299100000397825 | Polygoon | 204169,84 |
| bgt_pand.gml | 20571  | 5      | 14:00, 4 mei 2018  |        | 1955100000012214 | Polygoon | 204061,31 |
| bgt_pand.gml | 20740  | 5      | 11:44, 4 mei 2018  |        | 0299100000455081 | Polygoon | 203283,08 |
| bgt_pand.gml | 20797  | 5      | 14:04, 4 mei 2018  |        | 1955100000020579 | Polygoon | 204490,21 |
| bgt_pand.gml | 20843  | 5      | 13:57, 4 mei 2018  |        | 0299100000405584 | Polygoon | 203387,91 |
| bgt_pand.gml | 20873  | 5      | 14:03, 4 mei 2018  | 22-22a | 1955100000020560 | Polygoon | 204296,39 |
| bgt_pand.gml | 20900  | 5      | 10:04, 4 mei 2018  |        | 1955100000020547 | Polygoon | 203885,74 |
| bgt_pand.gml | 20969  | 5      | 11:44, 4 mei 2018  |        | 0000000000000000 | Polygoon | 203798,32 |
| bgt_pand.gml | 20983  | 5      | 13:44, 4 mei 2018  |        | 1955100000020562 | Polygoon | 204350,36 |
| bgt_pand.gml | 20986  | 5      | 13:41, 4 mei 2018  |        | 1955100000020553 | Polygoon | 203985,98 |
| bgt_pand.gml | 20990  | 5      | 13:47, 4 mei 2018  |        | 1955100000002257 | Polygoon | 204596,62 |
| bgt_pand.gml | 20993  | 5      | 11:44, 4 mei 2018  | 56F    | 0299100000398894 | Polygoon | 203615,60 |
| bgt_pand.gml | 21074  | 5      | 13:41, 4 mei 2018  | 25     | 1955100000006412 | Polygoon | 204014,83 |
| bgt_pand.gml | 21228  | 5      | 11:44, 4 mei 2018  |        | 0299100000412675 | Polygoon | 203111,36 |
| bgt_pand.gml | 21236  | 5      | 11:44, 4 mei 2018  | 68     | 0299100000398565 | Polygoon | 203837,34 |
| bgt_pand.gml | 21380  | 5      | 11:44, 4 mei 2018  | 17     | 0299100000398594 | Polygoon | 204236,75 |
| bgt_pand.gml | 21394  | 5      | 13:49, 4 mei 2018  |        | 1955100000007306 | Polygoon | 204796,23 |
| bgt_pand.gml | 21437  | 5      | 11:44, 4 mei 2018  |        | 0299100000453454 | Polygoon | 203393,56 |
| bgt_pand.gml | 21461  | 5      | 11:44, 4 mei 2018  | 7-7M   | 0299100000398564 | Polygoon | 203308,92 |
| bgt_pand.gml | 21463  | 5      | 11:44, 4 mei 2018  |        | 0299100000410186 | Polygoon | 203289,49 |
| bgt_pand.gml | 21489  | 5      | 11:44, 4 mei 2018  | 25     | 0299100000398865 | Polygoon | 203760,65 |
| bgt_pand.gml | 69778  | 5      | 13:40, 4 mei 2018  | 29-29b | 1955100000020535 | Polygoon | 203766,26 |
| bgt_pand.gml | 69779  | 5      | 13:40, 4 mei 2018  | 25     | 1955100000006412 | Polygoon | 204016,66 |
| bgt_pand.gml | 69780  | 5      | 13:42, 4 mei 2018  | 23     | 1955100000006023 | Polygoon | 204181,37 |
| plangebied   | 18701  | 10     | 13:48, 27 nov 2018 | A      | bestaande woning | Polygoon | 203799,72 |
| plangebied   | 69782  | 10     | 18:10, 5 jul 2021  | B      | woning B         | Polygoon | 203786,06 |
| plangebied   | 69783  | 10     | 18:10, 5 jul 2021  | C      | woning C         | Polygoon | 203783,36 |
| plangebied   | 69784  | 10     | 13:50, 27 nov 2018 |        | schuur           | Polygoon | 203809,35 |

## Invoergegevens van het model

Model: Tatelaarweg op basis van 2031 (tracebesluit) met tatelaarweg 80 km/uur  
 Tatelaarweg (2021-07) - Tatelaarweg  
 Groep: (hoofdgroep)  
 Lijst van Gebouwen, voor rekenmethode Wegverkeerslawaaai - RMG-2012, wegverkeer

| Groep        | Y-1       | Hoogte | Rel.H | Maaiveld | Hdef.    | Vormpunten | Omtrek  | Oppervlak |
|--------------|-----------|--------|-------|----------|----------|------------|---------|-----------|
| bgt_pand.gml | 438881,47 | 8,00   | 8,00  | 0,00     | Relatief | 81         | 1223,39 | 14385,90  |
| bgt_pand.gml | 438796,79 | 8,00   | 8,00  | 0,00     | Relatief | 4          | 60,20   | 202,00    |
| bgt_pand.gml | 438821,72 | 8,00   | 8,00  | 0,00     | Relatief | 90         | 1223,88 | 14379,60  |
| bgt_pand.gml | 439169,21 | 3,00   | 3,00  | 0,00     | Relatief | 5          | 27,72   | 33,48     |
| bgt_pand.gml | 438416,86 | 8,00   | 8,00  | 0,00     | Relatief | 4          | 18,48   | 19,52     |
| bgt_pand.gml | 438951,64 | 8,00   | 8,00  | 0,00     | Relatief | 8          | 32,89   | 59,56     |
| bgt_pand.gml | 438289,73 | 8,00   | 8,00  | 0,00     | Relatief | 6          | 19,35   | 21,74     |
| bgt_pand.gml | 438308,73 | 8,00   | 8,00  | 0,00     | Relatief | 27         | 351,86  | 5242,50   |
| bgt_pand.gml | 438701,52 | 5,00   | 5,00  | 0,00     | Relatief | 8          | 145,51  | 877,06    |
| bgt_pand.gml | 438251,71 | 8,00   | 8,00  | 0,00     | Relatief | 12         | 352,27  | 5256,02   |
| bgt_pand.gml | 439208,90 | 5,00   | 5,00  | 0,00     | Relatief | 11         | 248,15  | 1150,34   |
| bgt_pand.gml | 439441,53 | 7,00   | 7,00  | 0,00     | Relatief | 15         | 121,53  | 352,67    |
| bgt_pand.gml | 439066,21 | 8,00   | 8,00  | 0,00     | Relatief | 4          | 15,94   | 14,16     |
| bgt_pand.gml | 438627,72 | 8,00   | 8,00  | 0,00     | Relatief | 12         | 342,76  | 5712,65   |
| bgt_pand.gml | 439190,79 | 7,00   | 7,00  | 0,00     | Relatief | 4          | 64,65   | 244,10    |
| bgt_pand.gml | 437980,85 | 8,00   | 8,00  | 0,00     | Relatief | 9          | 162,78  | 972,00    |
| bgt_pand.gml | 439253,13 | 7,00   | 7,00  | 0,00     | Relatief | 4          | 38,68   | 92,00     |
| bgt_pand.gml | 438815,62 | 8,00   | 8,00  | 0,00     | Relatief | 72         | 18,87   | 28,33     |
| bgt_pand.gml | 439469,48 | 6,00   | 6,00  | 0,00     | Relatief | 12         | 70,51   | 224,13    |
| bgt_pand.gml | 439292,53 | 6,00   | 6,00  | 0,00     | Relatief | 6          | 65,08   | 250,83    |
| bgt_pand.gml | 439361,36 | 7,00   | 7,00  | 0,00     | Relatief | 8          | 52,32   | 153,08    |
| bgt_pand.gml | 439347,55 | 0,00   | 0,00  | 0,00     | Relatief | 5          | 114,88  | 542,02    |
| bgt_pand.gml | 438287,71 | 8,00   | 8,00  | 0,00     | Relatief | 4          | 14,30   | 12,78     |
| bgt_pand.gml | 438689,44 | 5,00   | 5,00  | 0,00     | Relatief | 10         | 56,38   | 170,46    |
| bgt_pand.gml | 439073,61 | 7,00   | 7,00  | 0,00     | Relatief | 4          | 85,94   | 383,07    |
| bgt_pand.gml | 438914,77 | 5,00   | 5,00  | 0,00     | Relatief | 5          | 67,60   | 269,05    |
| bgt_pand.gml | 438666,17 | 8,00   | 8,00  | 0,00     | Relatief | 39         | 104,79  | 584,46    |
| bgt_pand.gml | 439110,57 | 7,00   | 7,00  | 0,00     | Relatief | 7          | 74,00   | 333,02    |
| bgt_pand.gml | 438929,65 | 8,00   | 8,00  | 0,00     | Relatief | 4          | 28,58   | 51,04     |
| bgt_pand.gml | 438500,78 | 8,00   | 8,00  | 0,00     | Relatief | 9          | 315,98  | 5785,62   |
| bgt_pand.gml | 438001,43 | 8,00   | 8,00  | 0,00     | Relatief | 39         | 400,61  | 3289,51   |
| bgt_pand.gml | 439017,25 | 9,00   | 9,00  | 0,00     | Relatief | 6          | 60,61   | 220,27    |
| bgt_pand.gml | 438873,01 | 8,00   | 8,00  | 0,00     | Relatief | 17         | 182,00  | 937,86    |
| bgt_pand.gml | 438650,67 | 8,00   | 8,00  | 0,00     | Relatief | 11         | 335,14  | 5841,18   |
| bgt_pand.gml | 438821,70 | 8,00   | 8,00  | 0,00     | Relatief | 8          | 33,51   | 32,79     |
| bgt_pand.gml | 438363,16 | 8,00   | 8,00  | 0,00     | Relatief | 11         | 146,80  | 1015,59   |
| bgt_pand.gml | 439132,62 | 10,00  | 10,00 | 0,00     | Relatief | 6          | 49,02   | 134,56    |
| bgt_pand.gml | 439117,58 | 8,00   | 8,00  | 0,00     | Relatief | 9          | 58,29   | 191,19    |
| bgt_pand.gml | 439096,23 | 7,00   | 7,00  | 0,00     | Relatief | 7          | 45,88   | 112,22    |
| plangebied   | 439261,26 | 7,00   | 7,00  | 0,00     | Relatief | 6          | 42,07   | 99,13     |
| plangebied   | 439307,75 | 7,00   | 7,00  | 0,00     | Relatief | 4          | 44,55   | 117,00    |
| plangebied   | 439320,21 | 7,00   | 7,00  | 0,00     | Relatief | 4          | 42,83   | 110,03    |
| plangebied   | 439275,82 | 4,00   | 4,00  | 0,00     | Relatief | 4          | 28,85   | 44,72     |

## Invoergegevens van het model

Model: Tatelaarweg op basis van 2031 (tracebesluit) met tatelaarweg 80 km/uur  
 Tatelaarweg (2021-07) - Tatelaarweg  
 Groep: (hoofdgroep)  
 Lijst van Gebouwen, voor rekenmethode Wegverkeerslawaai - RMG-2012, wegverkeer

| Groep        | Min.lengte | Max.lengte | Functie | Gebouwtype | BAG-id | Gemeente | Jaar | AHN-jaar | Trust | Cp |
|--------------|------------|------------|---------|------------|--------|----------|------|----------|-------|----|
| bgt_pand.gml | 0,16       | 87,97      |         |            |        |          | 0    | 0        | 0 0   | dB |
| bgt_pand.gml | 10,10      | 20,00      |         |            |        |          | 0    | 0        | 0 0   | dB |
| bgt_pand.gml | 0,03       | 79,63      |         |            |        |          | 0    | 0        | 0 0   | dB |
| bgt_pand.gml | 1,39       | 10,74      |         |            |        |          | 0    | 0        | 0 0   | dB |
| bgt_pand.gml | 3,27       | 5,98       |         |            |        |          | 0    | 0        | 0 0   | dB |
| bgt_pand.gml | 0,43       | 9,17       |         |            |        |          | 0    | 0        | 0 0   | dB |
| bgt_pand.gml | 0,05       | 6,05       |         |            |        |          | 0    | 0        | 0 0   | dB |
| bgt_pand.gml | 0,02       | 60,30      |         |            |        |          | 0    | 0        | 0 0   | dB |
| bgt_pand.gml | 0,28       | 50,05      |         |            |        |          | 0    | 0        | 0 0   | dB |
| bgt_pand.gml | 4,03       | 95,33      |         |            |        |          | 0    | 0        | 0 0   | dB |
| bgt_pand.gml | 3,52       | 44,62      |         |            |        |          | 0    | 0        | 0 0   | dB |
| bgt_pand.gml | 0,96       | 26,57      |         |            |        |          | 0    | 0        | 0 0   | dB |
| bgt_pand.gml | 2,66       | 5,30       |         |            |        |          | 0    | 0        | 0 0   | dB |
| bgt_pand.gml | 7,50       | 60,46      |         |            |        |          | 0    | 0        | 0 0   | dB |
| bgt_pand.gml | 12,01      | 20,31      |         |            |        |          | 0    | 0        | 0 0   | dB |
| bgt_pand.gml | 10,22      | 30,20      |         |            |        |          | 0    | 0        | 0 0   | dB |
| bgt_pand.gml | 8,43       | 10,91      |         |            |        |          | 0    | 0        | 0 0   | dB |
| bgt_pand.gml | 0,26       | 0,26       |         |            |        |          | 0    | 0        | 0 0   | dB |
| bgt_pand.gml | 0,58       | 12,17      |         |            |        |          | 0    | 0        | 0 0   | dB |
| bgt_pand.gml | 2,50       | 20,00      |         |            |        |          | 0    | 0        | 0 0   | dB |
| bgt_pand.gml | 0,31       | 14,46      |         |            |        |          | 0    | 0        | 0 0   | dB |
| bgt_pand.gml | 0,43       | 45,54      |         |            |        |          | 0    | 0        | 0 0   | dB |
| bgt_pand.gml | 3,56       | 3,61       |         |            |        |          | 0    | 0        | 0 0   | dB |
| bgt_pand.gml | 0,30       | 15,35      |         |            |        |          | 0    | 0        | 0 0   | dB |
| bgt_pand.gml | 12,62      | 30,35      |         |            |        |          | 0    | 0        | 0 0   | dB |
| bgt_pand.gml | 0,10       | 20,97      |         |            |        |          | 0    | 0        | 0 0   | dB |
| bgt_pand.gml | 0,01       | 27,34      |         |            |        |          | 0    | 0        | 0 0   | dB |
| bgt_pand.gml | 0,65       | 16,03      |         |            |        |          | 0    | 0        | 0 0   | dB |
| bgt_pand.gml | 7,13       | 7,16       |         |            |        |          | 0    | 0        | 0 0   | dB |
| bgt_pand.gml | 14,45      | 78,45      |         |            |        |          | 0    | 0        | 0 0   | dB |
| bgt_pand.gml | 0,07       | 52,91      |         |            |        |          | 0    | 0        | 0 0   | dB |
| bgt_pand.gml | 0,40       | 18,20      |         |            |        |          | 0    | 0        | 0 0   | dB |
| bgt_pand.gml | 0,70       | 65,00      |         |            |        |          | 0    | 0        | 0 0   | dB |
| bgt_pand.gml | 0,26       | 110,47     |         |            |        |          | 0    | 0        | 0 0   | dB |
| bgt_pand.gml | 1,72       | 12,13      |         |            |        |          | 0    | 0        | 0 0   | dB |
| bgt_pand.gml | 1,52       | 34,42      |         |            |        |          | 0    | 0        | 0 0   | dB |
| bgt_pand.gml | 0,80       | 16,20      |         |            |        |          | 0    | 0        | 0 0   | dB |
| bgt_pand.gml | 0,67       | 10,78      |         |            |        |          | 0    | 0        | 0 0   | dB |
| bgt_pand.gml | 1,61       | 13,08      |         |            |        |          | 0    | 0        | 0 0   | dB |
| plangebied   | 0,68       | 12,62      |         |            |        |          | 0    | 0        | 0 0   | dB |
| plangebied   | 8,48       | 13,91      |         |            |        |          | 0    | 0        | 0 0   | dB |
| plangebied   | 8,48       | 12,95      |         |            |        |          | 0    | 0        | 0 0   | dB |
| plangebied   | 4,36       | 10,04      |         |            |        |          | 0    | 0        | 0 0   | dB |

## Invoergegevens van het model

Model: Tatelaarweg op basis van 2031 (tracebesluit) met tatelaarweg 80 km/uur  
 Tatelaarweg (2021-07) - Tatelaarweg  
 Groep: (hoofdgroep)  
 Lijst van Gebouwen, voor rekenmethode Wegverkeerslawaaai - RMG-2012, wegverkeer

| Groep        | Zwevend | Refl. 63 | Refl. 125 | Refl. 250 | Refl. 500 | Refl. 1k | Refl. 2k | Refl. 4k | Refl. 8k |
|--------------|---------|----------|-----------|-----------|-----------|----------|----------|----------|----------|
| bgt_pand.gml | False   | 0,80     | 0,80      | 0,80      | 0,80      | 0,80     | 0,80     | 0,80     | 0,80     |
| bgt_pand.gml | False   | 0,80     | 0,80      | 0,80      | 0,80      | 0,80     | 0,80     | 0,80     | 0,80     |
| bgt_pand.gml | False   | 0,80     | 0,80      | 0,80      | 0,80      | 0,80     | 0,80     | 0,80     | 0,80     |
| bgt_pand.gml | False   | 0,80     | 0,80      | 0,80      | 0,80      | 0,80     | 0,80     | 0,80     | 0,80     |
| bgt_pand.gml | False   | 0,80     | 0,80      | 0,80      | 0,80      | 0,80     | 0,80     | 0,80     | 0,80     |
| bgt_pand.gml | False   | 0,80     | 0,80      | 0,80      | 0,80      | 0,80     | 0,80     | 0,80     | 0,80     |
| bgt_pand.gml | False   | 0,80     | 0,80      | 0,80      | 0,80      | 0,80     | 0,80     | 0,80     | 0,80     |
| bgt_pand.gml | False   | 0,80     | 0,80      | 0,80      | 0,80      | 0,80     | 0,80     | 0,80     | 0,80     |
| bgt_pand.gml | False   | 0,80     | 0,80      | 0,80      | 0,80      | 0,80     | 0,80     | 0,80     | 0,80     |
| bgt_pand.gml | False   | 0,80     | 0,80      | 0,80      | 0,80      | 0,80     | 0,80     | 0,80     | 0,80     |
| bgt_pand.gml | False   | 0,80     | 0,80      | 0,80      | 0,80      | 0,80     | 0,80     | 0,80     | 0,80     |
| bgt_pand.gml | False   | 0,80     | 0,80      | 0,80      | 0,80      | 0,80     | 0,80     | 0,80     | 0,80     |
| bgt_pand.gml | False   | 0,80     | 0,80      | 0,80      | 0,80      | 0,80     | 0,80     | 0,80     | 0,80     |
| bgt_pand.gml | False   | 0,80     | 0,80      | 0,80      | 0,80      | 0,80     | 0,80     | 0,80     | 0,80     |
| bgt_pand.gml | False   | 0,80     | 0,80      | 0,80      | 0,80      | 0,80     | 0,80     | 0,80     | 0,80     |
| bgt_pand.gml | False   | 0,80     | 0,80      | 0,80      | 0,80      | 0,80     | 0,80     | 0,80     | 0,80     |
| bgt_pand.gml | False   | 0,80     | 0,80      | 0,80      | 0,80      | 0,80     | 0,80     | 0,80     | 0,80     |
| bgt_pand.gml | False   | 0,80     | 0,80      | 0,80      | 0,80      | 0,80     | 0,80     | 0,80     | 0,80     |
| bgt_pand.gml | False   | 0,80     | 0,80      | 0,80      | 0,80      | 0,80     | 0,80     | 0,80     | 0,80     |
| bgt_pand.gml | False   | 0,80     | 0,80      | 0,80      | 0,80      | 0,80     | 0,80     | 0,80     | 0,80     |
| bgt_pand.gml | False   | 0,80     | 0,80      | 0,80      | 0,80      | 0,80     | 0,80     | 0,80     | 0,80     |
| bgt_pand.gml | False   | 0,80     | 0,80      | 0,80      | 0,80      | 0,80     | 0,80     | 0,80     | 0,80     |
| bgt_pand.gml | False   | 0,80     | 0,80      | 0,80      | 0,80      | 0,80     | 0,80     | 0,80     | 0,80     |
| bgt_pand.gml | False   | 0,80     | 0,80      | 0,80      | 0,80      | 0,80     | 0,80     | 0,80     | 0,80     |
| bgt_pand.gml | False   | 0,80     | 0,80      | 0,80      | 0,80      | 0,80     | 0,80     | 0,80     | 0,80     |
| bgt_pand.gml | False   | 0,80     | 0,80      | 0,80      | 0,80      | 0,80     | 0,80     | 0,80     | 0,80     |
| bgt_pand.gml | False   | 0,80     | 0,80      | 0,80      | 0,80      | 0,80     | 0,80     | 0,80     | 0,80     |
| bgt_pand.gml | False   | 0,80     | 0,80      | 0,80      | 0,80      | 0,80     | 0,80     | 0,80     | 0,80     |
| bgt_pand.gml | False   | 0,80     | 0,80      | 0,80      | 0,80      | 0,80     | 0,80     | 0,80     | 0,80     |
| bgt_pand.gml | False   | 0,80     | 0,80      | 0,80      | 0,80      | 0,80     | 0,80     | 0,80     | 0,80     |
| bgt_pand.gml | False   | 0,80     | 0,80      | 0,80      | 0,80      | 0,80     | 0,80     | 0,80     | 0,80     |
| plangebied   | False   | 0,80     | 0,80      | 0,80      | 0,80      | 0,80     | 0,80     | 0,80     | 0,80     |
| plangebied   | False   | 0,80     | 0,80      | 0,80      | 0,80      | 0,80     | 0,80     | 0,80     | 0,80     |
| plangebied   | False   | 0,80     | 0,80      | 0,80      | 0,80      | 0,80     | 0,80     | 0,80     | 0,80     |



## Invoergegevens van het model

Model: Tatelaarweg op basis van 2031 (tracebesluit) met tatelaarweg 80 km/uur  
 Tatelaarweg (2021-07) - Tatelaarweg  
 Groep: (hoofdgroep)  
 Lijst van Bodemgebieden, voor rekenmethode Wegverkeerslawaaï - RMG-2012, wegverkeer

| Groep | ItemID | Grp.ID | Datum             | Naam | Omschr. | Vorm     | X-1       | Y-1       |
|-------|--------|--------|-------------------|------|---------|----------|-----------|-----------|
| Tuin  | 12     | 1      | 10:02, 4 mei 2018 | Tuin | Tuin    | Polygoon | 204721,45 | 439736,05 |
| Tuin  | 18     | 1      | 10:02, 4 mei 2018 | Tuin | Tuin    | Polygoon | 204613,11 | 440013,56 |
| Tuin  | 29     | 1      | 10:02, 4 mei 2018 | Tuin | Tuin    | Polygoon | 204466,27 | 439473,26 |
| Tuin  | 33     | 1      | 10:02, 4 mei 2018 | Tuin | Tuin    | Polygoon | 204790,02 | 439564,59 |
| Tuin  | 39     | 1      | 10:02, 4 mei 2018 | Tuin | Tuin    | Polygoon | 203372,12 | 438860,34 |
| Tuin  | 50     | 1      | 10:02, 4 mei 2018 | Tuin | Tuin    | Polygoon | 204855,78 | 439623,67 |
| Tuin  | 71     | 1      | 10:02, 4 mei 2018 | Tuin | Tuin    | Polygoon | 204760,57 | 439156,63 |
| Tuin  | 113    | 1      | 10:02, 4 mei 2018 | Tuin | Tuin    | Polygoon | 204862,56 | 439590,49 |
| Tuin  | 116    | 1      | 10:02, 4 mei 2018 | Tuin | Tuin    | Polygoon | 204291,84 | 439346,58 |
| Tuin  | 125    | 1      | 10:02, 4 mei 2018 | Tuin | Tuin    | Polygoon | 204790,97 | 439561,08 |
| Tuin  | 132    | 1      | 10:02, 4 mei 2018 | Tuin | Tuin    | Polygoon | 204699,09 | 439505,10 |
| Tuin  | 134    | 1      | 10:02, 4 mei 2018 | Tuin | Tuin    | Polygoon | 204923,70 | 440086,07 |
| Tuin  | 141    | 1      | 10:02, 4 mei 2018 | Tuin | Tuin    | Polygoon | 204784,54 | 439583,57 |
| Tuin  | 146    | 1      | 10:02, 4 mei 2018 | Tuin | Tuin    | Polygoon | 204705,46 | 439586,22 |
| Tuin  | 147    | 1      | 10:02, 4 mei 2018 | Tuin | Tuin    | Polygoon | 204380,78 | 438972,79 |
| Tuin  | 148    | 1      | 10:02, 4 mei 2018 | Tuin | Tuin    | Polygoon | 204317,85 | 439690,05 |
| Tuin  | 150    | 1      | 10:02, 4 mei 2018 | Tuin | Tuin    | Polygoon | 204147,62 | 438494,26 |
| Tuin  | 180    | 1      | 10:02, 4 mei 2018 | Tuin | Tuin    | Polygoon | 204440,82 | 440033,00 |
| Tuin  | 183    | 1      | 10:02, 4 mei 2018 | Tuin | Tuin    | Polygoon | 204552,52 | 439549,26 |
| Tuin  | 185    | 1      | 10:02, 4 mei 2018 | Tuin | Tuin    | Polygoon | 204322,02 | 438778,92 |
| Tuin  | 192    | 1      | 10:02, 4 mei 2018 | Tuin | Tuin    | Polygoon | 204292,73 | 439344,69 |
| Tuin  | 193    | 1      | 10:02, 4 mei 2018 | Tuin | Tuin    | Polygoon | 204810,09 | 439725,86 |
| Tuin  | 195    | 1      | 10:02, 4 mei 2018 | Tuin | Tuin    | Polygoon | 204863,33 | 439641,47 |
| Tuin  | 210    | 1      | 10:02, 4 mei 2018 | Tuin | Tuin    | Polygoon | 204781,38 | 439718,47 |
| Tuin  | 230    | 1      | 10:02, 4 mei 2018 | Tuin | Tuin    | Polygoon | 204013,74 | 439196,89 |
| Tuin  | 231    | 1      | 10:02, 4 mei 2018 | Tuin | Tuin    | Polygoon | 204965,79 | 439574,45 |
| Tuin  | 237    | 1      | 10:02, 4 mei 2018 | Tuin | Tuin    | Polygoon | 204699,09 | 439505,10 |
| Tuin  | 258    | 1      | 10:02, 4 mei 2018 | Tuin | Tuin    | Polygoon | 204740,89 | 438771,80 |
| Tuin  | 262    | 1      | 10:02, 4 mei 2018 | Tuin | Tuin    | Polygoon | 203150,44 | 439572,98 |
| Tuin  | 280    | 1      | 10:02, 4 mei 2018 | Tuin | Tuin    | Polygoon | 202823,86 | 439309,62 |
| Tuin  | 290    | 1      | 10:02, 4 mei 2018 | Tuin | Tuin    | Polygoon | 204784,54 | 439583,57 |
| Tuin  | 295    | 1      | 10:02, 4 mei 2018 | Tuin | Tuin    | Polygoon | 205029,88 | 439925,23 |
| Tuin  | 305    | 1      | 10:02, 4 mei 2018 | Tuin | Tuin    | Polygoon | 204538,18 | 439610,56 |
| Tuin  | 320    | 1      | 10:02, 4 mei 2018 | Tuin | Tuin    | Polygoon | 204963,13 | 439573,65 |
| Tuin  | 329    | 1      | 10:02, 4 mei 2018 | Tuin | Tuin    | Polygoon | 204851,99 | 439091,37 |
| Tuin  | 333    | 1      | 10:02, 4 mei 2018 | Tuin | Tuin    | Polygoon | 204821,53 | 439487,45 |
| Tuin  | 339    | 1      | 10:02, 4 mei 2018 | Tuin | Tuin    | Polygoon | 204875,46 | 439601,56 |
| Tuin  | 340    | 1      | 10:02, 4 mei 2018 | Tuin | Tuin    | Polygoon | 204784,54 | 439583,57 |
| Tuin  | 344    | 1      | 10:02, 4 mei 2018 | Tuin | Tuin    | Polygoon | 204978,29 | 439533,31 |
| Tuin  | 347    | 1      | 10:02, 4 mei 2018 | Tuin | Tuin    | Polygoon | 204978,29 | 439533,31 |
| Tuin  | 365    | 1      | 10:02, 4 mei 2018 | Tuin | Tuin    | Polygoon | 204627,99 | 439566,03 |
| Tuin  | 367    | 1      | 10:02, 4 mei 2018 | Tuin | Tuin    | Polygoon | 204978,29 | 439533,31 |
| Tuin  | 370    | 1      | 10:02, 4 mei 2018 | Tuin | Tuin    | Polygoon | 204850,50 | 439657,57 |
| Tuin  | 395    | 1      | 10:02, 4 mei 2018 | Tuin | Tuin    | Polygoon | 204368,99 | 438996,12 |
| Tuin  | 403    | 1      | 10:02, 4 mei 2018 | Tuin | Tuin    | Polygoon | 204660,92 | 439577,01 |
| Tuin  | 433    | 1      | 10:02, 4 mei 2018 | Tuin | Tuin    | Polygoon | 203031,55 | 439432,49 |
| Tuin  | 442    | 1      | 10:02, 4 mei 2018 | Tuin | Tuin    | Polygoon | 203031,94 | 439432,05 |
| Tuin  | 474    | 1      | 10:02, 4 mei 2018 | Tuin | Tuin    | Polygoon | 202994,96 | 439472,02 |
| Tuin  | 522    | 1      | 10:02, 4 mei 2018 | Tuin | Tuin    | Polygoon | 203734,89 | 439970,43 |
| Tuin  | 544    | 1      | 10:02, 4 mei 2018 | Tuin | Tuin    | Polygoon | 202964,11 | 439501,18 |
| Tuin  | 567    | 1      | 10:02, 4 mei 2018 | Tuin | Tuin    | Polygoon | 203259,24 | 439052,63 |
| Tuin  | 570    | 1      | 10:02, 4 mei 2018 | Tuin | Tuin    | Polygoon | 203785,12 | 438767,18 |
| Tuin  | 580    | 1      | 10:02, 4 mei 2018 | Tuin | Tuin    | Polygoon | 202839,35 | 439602,01 |
| Tuin  | 589    | 1      | 10:02, 4 mei 2018 | Tuin | Tuin    | Polygoon | 202964,11 | 439501,18 |
| Tuin  | 596    | 1      | 10:02, 4 mei 2018 | Tuin | Tuin    | Polygoon | 202962,62 | 439485,96 |
| Tuin  | 597    | 1      | 10:02, 4 mei 2018 | Tuin | Tuin    | Polygoon | 203640,72 | 439993,98 |
| Tuin  | 602    | 1      | 10:02, 4 mei 2018 | Tuin | Tuin    | Polygoon | 203553,69 | 438641,31 |
| Tuin  | 607    | 1      | 10:02, 4 mei 2018 | Tuin | Tuin    | Polygoon | 203434,49 | 439106,25 |
| Tuin  | 610    | 1      | 10:02, 4 mei 2018 | Tuin | Tuin    | Polygoon | 202847,76 | 439528,66 |
| Tuin  | 642    | 1      | 10:02, 4 mei 2018 | Tuin | Tuin    | Polygoon | 204923,70 | 440086,07 |
| Tuin  | 643    | 1      | 10:02, 4 mei 2018 | Tuin | Tuin    | Polygoon | 204443,02 | 438960,33 |
| Tuin  | 646    | 1      | 10:02, 4 mei 2018 | Tuin | Tuin    | Polygoon | 204440,82 | 440033,00 |
| Tuin  | 654    | 1      | 10:02, 4 mei 2018 | Tuin | Tuin    | Polygoon | 204964,60 | 439574,05 |

## Invoergegevens van het model

Model: Tatelaarweg op basis van 2031 (tracebesluit) met tatelaarweg 80 km/uur  
 Tatelaarweg (2021-07) - Tatelaarweg  
 Groep: (hoofdgroep)  
 Lijst van Bodemgebieden, voor rekenmethode Wegverkeerslawaai - RMG-2012, wegverkeer

| Groep | Vormpunten | Omtrek  | Oppervlak | Min.lengte | Max.lengte | Bf   |
|-------|------------|---------|-----------|------------|------------|------|
| Tuin  | 46         | 542,27  | 2981,71   | 0,58       | 36,88      | 0,50 |
| Tuin  | 24         | 72,05   | 270,25    | 1,02       | 6,31       | 0,50 |
| Tuin  | 7          | 51,08   | 17,48     | 1,38       | 19,21      | 0,50 |
| Tuin  | 6          | 12,88   | 10,20     | 0,94       | 3,64       | 0,50 |
| Tuin  | 4          | 16,91   | 17,64     | 3,71       | 4,73       | 0,50 |
| Tuin  | 9          | 42,74   | 73,38     | 0,01       | 17,17      | 0,50 |
| Tuin  | 207        | 1239,68 | 13873,86  | 0,02       | 72,80      | 0,50 |
| Tuin  | 4          | 11,21   | 5,42      | 1,24       | 4,36       | 0,50 |
| Tuin  | 49         | 407,10  | 2227,24   | 0,31       | 44,56      | 0,50 |
| Tuin  | 151        | 1883,73 | 7139,86   | 0,03       | 112,63     | 0,50 |
| Tuin  | 61         | 396,98  | 2168,91   | 0,01       | 26,46      | 0,50 |
| Tuin  | 109        | 899,48  | 7565,34   | 0,15       | 58,88      | 0,50 |
| Tuin  | 6          | 10,66   | 6,45      | 0,39       | 3,48       | 0,50 |
| Tuin  | 5          | 9,18    | 4,98      | 0,69       | 2,86       | 0,50 |
| Tuin  | 8          | 8,61    | 4,00      | 0,42       | 2,84       | 0,50 |
| Tuin  | 35         | 126,05  | 220,76    | 0,16       | 12,78      | 0,50 |
| Tuin  | 4          | 10,29   | 4,60      | 1,15       | 3,99       | 0,50 |
| Tuin  | 195        | 851,09  | 2875,48   | 0,07       | 140,24     | 0,50 |
| Tuin  | 34         | 760,20  | 2188,94   | 0,87       | 105,04     | 0,50 |
| Tuin  | 39         | 446,96  | 3693,60   | 0,22       | 53,03      | 0,50 |
| Tuin  | 46         | 407,10  | 2227,24   | 0,31       | 44,56      | 0,50 |
| Tuin  | 4          | 17,78   | 10,49     | 1,39       | 7,52       | 0,50 |
| Tuin  | 51         | 561,37  | 239,77    | 0,02       | 76,41      | 0,50 |
| Tuin  | 4          | 21,61   | 21,63     | 2,56       | 8,16       | 0,50 |
| Tuin  | 57         | 258,66  | 762,83    | 0,06       | 34,47      | 0,50 |
| Tuin  | 7          | 32,55   | 37,52     | 0,47       | 13,49      | 0,50 |
| Tuin  | 57         | 397,24  | 2188,85   | 0,30       | 26,46      | 0,50 |
| Tuin  | 53         | 929,15  | 8037,07   | 1,00       | 90,33      | 0,50 |
| Tuin  | 178        | 1162,29 | 14028,19  | 0,03       | 54,72      | 0,50 |
| Tuin  | 36         | 161,08  | 136,86    | 0,31       | 16,15      | 0,50 |
| Tuin  | 6          | 8,83    | 3,07      | 0,39       | 3,54       | 0,50 |
| Tuin  | 48         | 788,76  | 10146,15  | 0,24       | 77,81      | 0,50 |
| Tuin  | 4          | 7,52    | 2,53      | 0,87       | 2,88       | 0,50 |
| Tuin  | 6          | 171,47  | 47,74     | 0,47       | 85,25      | 0,50 |
| Tuin  | 205        | 1236,89 | 13860,20  | 0,02       | 72,80      | 0,50 |
| Tuin  | 38         | 246,13  | 855,79    | 0,04       | 20,98      | 0,50 |
| Tuin  | 9          | 10,24   | 6,19      | 0,02       | 3,00       | 0,50 |
| Tuin  | 8          | 9,16    | 2,61      | 0,13       | 3,54       | 0,50 |
| Tuin  | 168        | 1214,14 | 2968,36   | 0,01       | 49,31      | 0,50 |
| Tuin  | 198        | 1316,89 | 3069,24   | 0,01       | 49,31      | 0,50 |
| Tuin  | 20         | 738,21  | 2194,01   | 1,36       | 109,84     | 0,50 |
| Tuin  | 192        | 1311,94 | 3061,79   | 0,01       | 49,31      | 0,50 |
| Tuin  | 24         | 452,51  | 10701,70  | 2,33       | 71,11      | 0,50 |
| Tuin  | 50         | 228,05  | 1435,65   | 0,01       | 36,77      | 0,50 |
| Tuin  | 17         | 718,16  | 1591,95   | 3,34       | 113,02     | 0,50 |
| Tuin  | 8          | 20,53   | 20,64     | 0,02       | 7,35       | 0,50 |
| Tuin  | 13         | 22,44   | 21,95     | 0,04       | 7,72       | 0,50 |
| Tuin  | 81         | 265,66  | 663,01    | 0,01       | 16,40      | 0,50 |
| Tuin  | 133        | 589,67  | 2832,79   | 0,05       | 61,58      | 0,50 |
| Tuin  | 53         | 270,29  | 1258,79   | 0,10       | 27,16      | 0,50 |
| Tuin  | 9          | 53,39   | 159,90    | 0,19       | 13,19      | 0,50 |
| Tuin  | 4          | 14,31   | 6,50      | 1,07       | 6,09       | 0,50 |
| Tuin  | 4          | 12,46   | 9,61      | 2,77       | 3,47       | 0,50 |
| Tuin  | 55         | 270,29  | 1258,79   | 0,10       | 27,16      | 0,50 |
| Tuin  | 56         | 270,29  | 1258,79   | 0,10       | 27,16      | 0,50 |
| Tuin  | 26         | 67,57   | 83,11     | 0,26       | 16,44      | 0,50 |
| Tuin  | 46         | 42,20   | 60,42     | 0,06       | 6,71       | 0,50 |
| Tuin  | 8          | 20,79   | 2,79      | 0,31       | 6,12       | 0,50 |
| Tuin  | 4          | 25,34   | 4,46      | 0,33       | 12,31      | 0,50 |
| Tuin  | 144        | 871,18  | 7381,94   | 0,06       | 55,35      | 0,50 |
| Tuin  | 4          | 32,47   | 46,28     | 3,68       | 12,57      | 0,50 |
| Tuin  | 194        | 851,09  | 2875,48   | 0,07       | 140,24     | 0,50 |
| Tuin  | 6          | 172,42  | 82,55     | 0,99       | 85,18      | 0,50 |

## Invoergegevens van het model

Model: Tatelaarweg op basis van 2031 (tracebesluit) met tatelaarweg 80 km/uur  
 Tatelaarweg (2021-07) - Tatelaarweg  
 Groep: (hoofdgroep)  
 Lijst van Bodemgebieden, voor rekenmethode Wegverkeerslawaaï - RMG-2012, wegverkeer

| Groep | ItemID | Grp.ID | Datum             | Naam | Omschr. | Vorm     | X-1       | Y-1       |
|-------|--------|--------|-------------------|------|---------|----------|-----------|-----------|
| Tuin  | 656    | 1      | 10:02, 4 mei 2018 | Tuin | Tuin    | Polygoon | 204904,68 | 439668,14 |
| Tuin  | 670    | 1      | 10:02, 4 mei 2018 | Tuin | Tuin    | Polygoon | 204849,19 | 439512,74 |
| Tuin  | 679    | 1      | 10:02, 4 mei 2018 | Tuin | Tuin    | Polygoon | 204727,61 | 439513,10 |
| Tuin  | 682    | 1      | 10:02, 4 mei 2018 | Tuin | Tuin    | Polygoon | 204806,90 | 439526,13 |
| Tuin  | 683    | 1      | 10:02, 4 mei 2018 | Tuin | Tuin    | Polygoon | 204484,15 | 439534,04 |
| Tuin  | 687    | 1      | 10:02, 4 mei 2018 | Tuin | Tuin    | Polygoon | 204700,38 | 439509,28 |
| Tuin  | 694    | 1      | 10:02, 4 mei 2018 | Tuin | Tuin    | Polygoon | 204262,62 | 438402,86 |
| Tuin  | 716    | 1      | 10:02, 4 mei 2018 | Tuin | Tuin    | Polygoon | 203694,84 | 439976,31 |
| Tuin  | 731    | 1      | 10:02, 4 mei 2018 | Tuin | Tuin    | Polygoon | 202819,77 | 439250,39 |
| Tuin  | 734    | 1      | 10:02, 4 mei 2018 | Tuin | Tuin    | Polygoon | 202781,71 | 439078,63 |
| Tuin  | 737    | 1      | 10:02, 4 mei 2018 | Tuin | Tuin    | Polygoon | 203845,35 | 439288,67 |
| Tuin  | 740    | 1      | 10:02, 4 mei 2018 | Tuin | Tuin    | Polygoon | 204863,49 | 439625,91 |
| Tuin  | 753    | 1      | 10:02, 4 mei 2018 | Tuin | Tuin    | Polygoon | 204221,88 | 438011,52 |
| Tuin  | 765    | 1      | 10:02, 4 mei 2018 | Tuin | Tuin    | Polygoon | 203594,21 | 438696,43 |
| Tuin  | 848    | 1      | 10:02, 4 mei 2018 | Tuin | Tuin    | Polygoon | 202699,43 | 438901,69 |
| Tuin  | 852    | 1      | 10:02, 4 mei 2018 | Tuin | Tuin    | Polygoon | 203294,21 | 439071,65 |
| Tuin  | 858    | 1      | 10:02, 4 mei 2018 | Tuin | Tuin    | Polygoon | 203918,16 | 439301,84 |
| Tuin  | 859    | 1      | 10:02, 4 mei 2018 | Tuin | Tuin    | Polygoon | 203997,02 | 439066,02 |
| Tuin  | 906    | 1      | 10:02, 4 mei 2018 | Tuin | Tuin    | Polygoon | 203031,94 | 439432,05 |
| Tuin  | 990    | 1      | 10:02, 4 mei 2018 | Tuin | Tuin    | Polygoon | 204875,46 | 439601,56 |
| Tuin  | 992    | 1      | 10:02, 4 mei 2018 | Tuin | Tuin    | Polygoon | 204510,22 | 439439,02 |
| Tuin  | 993    | 1      | 10:02, 4 mei 2018 | Tuin | Tuin    | Polygoon | 204721,16 | 439534,99 |
| Tuin  | 996    | 1      | 10:02, 4 mei 2018 | Tuin | Tuin    | Polygoon | 204931,52 | 438999,69 |
| Tuin  | 1007   | 1      | 10:02, 4 mei 2018 | Tuin | Tuin    | Polygoon | 203672,32 | 439994,64 |
| Tuin  | 1055   | 1      | 10:02, 4 mei 2018 | Tuin | Tuin    | Polygoon | 203439,41 | 439180,40 |
| Tuin  | 1070   | 1      | 10:02, 4 mei 2018 | Tuin | Tuin    | Polygoon | 204699,79 | 439994,73 |
| Tuin  | 1073   | 1      | 10:02, 4 mei 2018 | Tuin | Tuin    | Polygoon | 202924,58 | 439877,02 |
| Tuin  | 1083   | 1      | 10:02, 4 mei 2018 | Tuin | Tuin    | Polygoon | 204422,98 | 438874,48 |
| Tuin  | 1088   | 1      | 10:02, 4 mei 2018 | Tuin | Tuin    | Polygoon | 204940,55 | 439655,77 |
| Tuin  | 1090   | 1      | 10:02, 4 mei 2018 | Tuin | Tuin    | Polygoon | 204881,41 | 439581,14 |
| Tuin  | 1093   | 1      | 10:02, 4 mei 2018 | Tuin | Tuin    | Polygoon | 204469,84 | 439745,05 |
| Tuin  | 1101   | 1      | 10:02, 4 mei 2018 | Tuin | Tuin    | Polygoon | 202945,79 | 439404,35 |
| Tuin  | 1108   | 1      | 10:02, 4 mei 2018 | Tuin | Tuin    | Polygoon | 203998,04 | 440012,71 |
| Tuin  | 1111   | 1      | 10:02, 4 mei 2018 | Tuin | Tuin    | Polygoon | 203355,13 | 438838,18 |
| Tuin  | 1113   | 1      | 10:02, 4 mei 2018 | Tuin | Tuin    | Polygoon | 203034,57 | 439339,68 |
| Tuin  | 1115   | 1      | 10:02, 4 mei 2018 | Tuin | Tuin    | Polygoon | 204723,45 | 439591,71 |
| Tuin  | 1116   | 1      | 10:02, 4 mei 2018 | Tuin | Tuin    | Polygoon | 204466,04 | 439527,39 |
| Tuin  | 1124   | 1      | 10:02, 4 mei 2018 | Tuin | Tuin    | Polygoon | 203239,48 | 438841,86 |
| Tuin  | 1125   | 1      | 10:02, 4 mei 2018 | Tuin | Tuin    | Polygoon | 204649,48 | 439577,05 |
| Tuin  | 1150   | 1      | 10:02, 4 mei 2018 | Tuin | Tuin    | Polygoon | 202829,75 | 439505,19 |
| Tuin  | 1200   | 1      | 10:02, 4 mei 2018 | Tuin | Tuin    | Polygoon | 204978,29 | 439533,31 |
| Tuin  | 1215   | 1      | 10:02, 4 mei 2018 | Tuin | Tuin    | Polygoon | 204520,57 | 438856,52 |
| Tuin  | 1219   | 1      | 10:02, 4 mei 2018 | Tuin | Tuin    | Polygoon | 204722,20 | 439531,45 |
| Tuin  | 1224   | 1      | 10:02, 4 mei 2018 | Tuin | Tuin    | Polygoon | 204931,52 | 438999,69 |
| Tuin  | 1244   | 1      | 10:02, 4 mei 2018 | Tuin | Tuin    | Polygoon | 204869,73 | 439603,73 |
| Tuin  | 1256   | 1      | 10:02, 4 mei 2018 | Tuin | Tuin    | Polygoon | 204510,22 | 439439,02 |
| Tuin  | 1264   | 1      | 10:02, 4 mei 2018 | Tuin | Tuin    | Polygoon | 204860,15 | 439598,79 |
| Tuin  | 1285   | 1      | 10:02, 4 mei 2018 | Tuin | Tuin    | Polygoon | 204821,53 | 439487,45 |
| Tuin  | 1292   | 1      | 10:02, 4 mei 2018 | Tuin | Tuin    | Polygoon | 204046,38 | 438406,28 |
| Tuin  | 1297   | 1      | 10:02, 4 mei 2018 | Tuin | Tuin    | Polygoon | 204560,34 | 439554,13 |
| Tuin  | 1307   | 1      | 10:02, 4 mei 2018 | Tuin | Tuin    | Polygoon | 204867,84 | 439502,16 |
| Tuin  | 1310   | 1      | 10:02, 4 mei 2018 | Tuin | Tuin    | Polygoon | 204916,60 | 439516,24 |
| Tuin  | 1314   | 1      | 10:02, 4 mei 2018 | Tuin | Tuin    | Polygoon | 204878,98 | 439500,00 |
| Tuin  | 1318   | 1      | 10:02, 4 mei 2018 | Tuin | Tuin    | Polygoon | 204875,30 | 439543,22 |
| Tuin  | 1324   | 1      | 10:02, 4 mei 2018 | Tuin | Tuin    | Polygoon | 204978,29 | 439533,31 |
| Tuin  | 1325   | 1      | 10:02, 4 mei 2018 | Tuin | Tuin    | Polygoon | 204969,56 | 439535,02 |
| Tuin  | 1326   | 1      | 10:02, 4 mei 2018 | Tuin | Tuin    | Polygoon | 204880,58 | 439583,99 |
| Tuin  | 1327   | 1      | 10:02, 4 mei 2018 | Tuin | Tuin    | Polygoon | 204663,25 | 439582,12 |
| Tuin  | 1328   | 1      | 10:02, 4 mei 2018 | Tuin | Tuin    | Polygoon | 204875,46 | 439601,56 |
| Tuin  | 1343   | 1      | 10:02, 4 mei 2018 | Tuin | Tuin    | Polygoon | 204901,19 | 439699,25 |
| Tuin  | 1348   | 1      | 10:02, 4 mei 2018 | Tuin | Tuin    | Polygoon | 204874,62 | 439604,44 |
| Tuin  | 1351   | 1      | 10:02, 4 mei 2018 | Tuin | Tuin    | Polygoon | 204846,45 | 439735,15 |
| Tuin  | 1369   | 1      | 10:02, 4 mei 2018 | Tuin | Tuin    | Polygoon | 204543,19 | 439591,71 |

## Invoergegevens van het model

Model: Tatelaarweg op basis van 2031 (tracebesluit) met tatelaarweg 80 km/uur  
 Tatelaarweg (2021-07) - Tatelaarweg  
 Groep: (hoofdgroep)  
 Lijst van Bodemgebieden, voor rekenmethode Wegverkeerslawaai - RMG-2012, wegverkeer

| Groep | Vormpunten | Omtrek  | Oppervlak | Min.lengte | Max.lengte | Bf   |
|-------|------------|---------|-----------|------------|------------|------|
| Tuin  | 4          | 217,29  | 2878,39   | 45,80      | 62,84      | 0,50 |
| Tuin  | 31         | 198,37  | 990,06    | 0,26       | 26,41      | 0,50 |
| Tuin  | 4          | 10,48   | 5,79      | 1,57       | 3,66       | 0,50 |
| Tuin  | 5          | 329,07  | 6451,26   | 50,00      | 99,99      | 0,50 |
| Tuin  | 4          | 28,42   | 45,79     | 4,86       | 9,33       | 0,50 |
| Tuin  | 37         | 401,10  | 4381,86   | 0,39       | 90,93      | 0,50 |
| Tuin  | 4          | 14,35   | 6,88      | 1,14       | 6,03       | 0,50 |
| Tuin  | 78         | 575,18  | 2812,48   | 0,08       | 148,03     | 0,50 |
| Tuin  | 151        | 750,83  | 2612,72   | 0,08       | 36,62      | 0,50 |
| Tuin  | 46         | 324,63  | 1701,96   | 0,16       | 36,00      | 0,50 |
| Tuin  | 49         | 547,45  | 2852,40   | 0,43       | 51,46      | 0,50 |
| Tuin  | 6          | 42,46   | 71,31     | 0,56       | 17,11      | 0,50 |
| Tuin  | 6          | 80,06   | 247,77    | 5,13       | 22,90      | 0,50 |
| Tuin  | 31         | 197,36  | 559,41    | 0,02       | 28,16      | 0,50 |
| Tuin  | 4          | 24,39   | 34,14     | 4,35       | 7,88       | 0,50 |
| Tuin  | 4          | 21,41   | 20,28     | 2,46       | 8,24       | 0,50 |
| Tuin  | 51         | 547,45  | 2852,40   | 0,43       | 51,46      | 0,50 |
| Tuin  | 41         | 42,96   | 104,92    | 0,18       | 10,64      | 0,50 |
| Tuin  | 36         | 236,05  | 1333,44   | 0,02       | 31,92      | 0,50 |
| Tuin  | 13         | 15,21   | 2,84      | 0,02       | 3,00       | 0,50 |
| Tuin  | 57         | 434,97  | 1810,90   | 0,13       | 32,86      | 0,50 |
| Tuin  | 34         | 708,98  | 1481,43   | 0,03       | 100,26     | 0,50 |
| Tuin  | 54         | 350,63  | 1778,77   | 0,27       | 54,81      | 0,50 |
| Tuin  | 46         | 48,43   | 68,20     | 0,15       | 18,17      | 0,50 |
| Tuin  | 110        | 609,00  | 4863,31   | 0,10       | 31,18      | 0,50 |
| Tuin  | 40         | 449,94  | 1805,51   | 0,53       | 54,17      | 0,50 |
| Tuin  | 49         | 388,38  | 3302,46   | 0,31       | 41,63      | 0,50 |
| Tuin  | 118        | 710,83  | 3562,72   | 0,04       | 77,89      | 0,50 |
| Tuin  | 6          | 32,59   | 38,17     | 0,56       | 13,47      | 0,50 |
| Tuin  | 13         | 12,59   | 4,68      | 0,04       | 2,84       | 0,50 |
| Tuin  | 213        | 1979,61 | 2120,64   | 0,10       | 62,69      | 0,50 |
| Tuin  | 4          | 5,76    | 1,84      | 0,96       | 1,97       | 0,50 |
| Tuin  | 157        | 1064,22 | 7403,10   | 0,01       | 34,43      | 0,50 |
| Tuin  | 4          | 38,54   | 81,91     | 6,33       | 12,95      | 0,50 |
| Tuin  | 4          | 13,64   | 5,15      | 0,86       | 5,97       | 0,50 |
| Tuin  | 4          | 8,52    | 4,02      | 1,36       | 2,89       | 0,50 |
| Tuin  | 69         | 503,16  | 2316,53   | 0,31       | 52,05      | 0,50 |
| Tuin  | 16         | 114,19  | 279,15    | 0,26       | 19,20      | 0,50 |
| Tuin  | 4          | 355,15  | 7546,31   | 70,43      | 107,14     | 0,50 |
| Tuin  | 5          | 31,87   | 1,39      | 0,10       | 13,36      | 0,50 |
| Tuin  | 144        | 1073,87 | 2979,22   | 0,01       | 69,49      | 0,50 |
| Tuin  | 132        | 1408,80 | 8789,41   | 0,09       | 47,18      | 0,50 |
| Tuin  | 4          | 10,83   | 6,43      | 1,75       | 3,69       | 0,50 |
| Tuin  | 53         | 350,63  | 1778,76   | 0,27       | 54,81      | 0,50 |
| Tuin  | 4          | 6,70    | 2,61      | 1,24       | 2,11       | 0,50 |
| Tuin  | 59         | 415,49  | 1892,05   | 0,13       | 32,86      | 0,50 |
| Tuin  | 4          | 5,76    | 2,03      | 1,23       | 1,65       | 0,50 |
| Tuin  | 43         | 273,29  | 920,00    | 0,04       | 20,98      | 0,50 |
| Tuin  | 7          | 11,89   | 8,08      | 0,50       | 3,01       | 0,50 |
| Tuin  | 4          | 338,04  | 6721,26   | 64,00      | 105,04     | 0,50 |
| Tuin  | 33         | 85,76   | 290,44    | 0,26       | 16,57      | 0,50 |
| Tuin  | 4          | 120,84  | 242,67    | 3,81       | 57,09      | 0,50 |
| Tuin  | 13         | 69,85   | 23,42     | 0,13       | 34,53      | 0,50 |
| Tuin  | 5          | 84,65   | 384,78    | 13,07      | 28,74      | 0,50 |
| Tuin  | 194        | 1314,42 | 3067,20   | 0,01       | 49,31      | 0,50 |
| Tuin  | 7          | 122,64  | 221,05    | 0,52       | 57,09      | 0,50 |
| Tuin  | 9          | 10,29   | 6,28      | 0,06       | 2,84       | 0,50 |
| Tuin  | 4          | 338,28  | 6732,97   | 64,06      | 105,05     | 0,50 |
| Tuin  | 43         | 554,30  | 239,69    | 0,02       | 76,41      | 0,50 |
| Tuin  | 4          | 46,01   | 122,54    | 7,02       | 14,64      | 0,50 |
| Tuin  | 11         | 376,67  | 8546,32   | 1,07       | 85,25      | 0,50 |
| Tuin  | 4          | 19,85   | 16,09     | 1,62       | 7,89       | 0,50 |
| Tuin  | 4          | 7,54    | 2,54      | 0,87       | 2,89       | 0,50 |

## Invoergegevens van het model

Model: Tatelaarweg op basis van 2031 (tracebesluit) met tatelaarweg 80 km/uur  
 Tatelaarweg (2021-07) - Tatelaarweg  
 Groep: (hoofdgroep)  
 Lijst van Bodemgebieden, voor rekenmethode Wegverkeerslawaaai - RMG-2012, wegverkeer

| Groep   | ItemID | Grp.ID | Datum             | Naam    | Omschr. | Vorm     | X-1       | Y-1       |
|---------|--------|--------|-------------------|---------|---------|----------|-----------|-----------|
| Tuin    | 1394   | 1      | 10:02, 4 mei 2018 | Tuin    | Tuin    | Polygoon | 204538,00 | 439473,40 |
| Tuin    | 1402   | 1      | 10:02, 4 mei 2018 | Tuin    | Tuin    | Polygoon | 204855,25 | 439663,73 |
| Tuin    | 1406   | 1      | 10:02, 4 mei 2018 | Tuin    | Tuin    | Polygoon | 204322,02 | 438778,92 |
| Tuin    | 1436   | 1      | 10:02, 4 mei 2018 | Tuin    | Tuin    | Polygoon | 204291,84 | 439346,58 |
| Tuin    | 1444   | 1      | 10:02, 4 mei 2018 | Tuin    | Tuin    | Polygoon | 204781,38 | 439718,47 |
| Tuin    | 1461   | 1      | 10:02, 4 mei 2018 | Tuin    | Tuin    | Polygoon | 204659,65 | 439750,44 |
| Tuin    | 1466   | 1      | 10:02, 4 mei 2018 | Tuin    | Tuin    | Polygoon | 204792,77 | 439561,63 |
| Tuin    | 1470   | 1      | 10:02, 4 mei 2018 | Tuin    | Tuin    | Polygoon | 204742,23 | 439477,38 |
| Tuin    | 1476   | 1      | 10:02, 4 mei 2018 | Tuin    | Tuin    | Polygoon | 204552,18 | 439354,19 |
| Tuin    | 1483   | 1      | 10:02, 4 mei 2018 | Tuin    | Tuin    | Polygoon | 204368,99 | 438996,12 |
| Tuin    | 1495   | 1      | 10:02, 4 mei 2018 | Tuin    | Tuin    | Polygoon | 204979,46 | 439536,43 |
| Tuin    | 1505   | 1      | 10:02, 4 mei 2018 | Tuin    | Tuin    | Polygoon | 204047,44 | 440154,75 |
| Tuin    | 1513   | 1      | 10:02, 4 mei 2018 | Tuin    | Tuin    | Polygoon | 204876,68 | 439500,85 |
| Tuin    | 1517   | 1      | 10:02, 4 mei 2018 | Tuin    | Tuin    | Polygoon | 204613,53 | 440014,49 |
| Tuin    | 1542   | 1      | 10:02, 4 mei 2018 | Tuin    | Tuin    | Polygoon | 203606,64 | 439977,96 |
| Tuin    | 1544   | 1      | 10:02, 4 mei 2018 | Tuin    | Tuin    | Polygoon | 203620,23 | 439996,60 |
| Tuin    | 1554   | 1      | 10:02, 4 mei 2018 | Tuin    | Tuin    | Polygoon | 203251,06 | 438833,08 |
| Tuin    | 1562   | 1      | 10:02, 4 mei 2018 | Tuin    | Tuin    | Polygoon | 204436,32 | 438109,45 |
| Tuin    | 1586   | 1      | 10:02, 4 mei 2018 | Tuin    | Tuin    | Polygoon | 204760,57 | 439156,63 |
| Tuin    | 1624   | 1      | 10:02, 4 mei 2018 | Tuin    | Tuin    | Polygoon | 203893,58 | 438179,86 |
| Tuin    | 1634   | 1      | 10:02, 4 mei 2018 | Tuin    | Tuin    | Polygoon | 204425,64 | 439514,76 |
| Tuin    | 1643   | 1      | 10:02, 4 mei 2018 | Tuin    | Tuin    | Polygoon | 204436,32 | 438109,45 |
| Tuin    | 1659   | 1      | 10:02, 4 mei 2018 | Tuin    | Tuin    | Polygoon | 204425,64 | 439514,76 |
| Tuin    | 1684   | 1      | 10:02, 4 mei 2018 | Tuin    | Tuin    | Polygoon | 203079,50 | 438802,81 |
| Tuin    | 1688   | 1      | 10:02, 4 mei 2018 | Tuin    | Tuin    | Polygoon | 204520,57 | 438856,52 |
| Tuin    | 1690   | 1      | 10:02, 4 mei 2018 | Tuin    | Tuin    | Polygoon | 204853,16 | 438834,16 |
| Tuin    | 1698   | 1      | 10:02, 4 mei 2018 | Tuin    | Tuin    | Polygoon | 204036,26 | 439201,08 |
| Tuin    | 1728   | 1      | 10:02, 4 mei 2018 | Tuin    | Tuin    | Polygoon | 203639,13 | 439993,14 |
| Tuin    | 1738   | 1      | 10:02, 4 mei 2018 | Tuin    | Tuin    | Polygoon | 203734,89 | 439970,43 |
| Tuin    | 1759   | 1      | 10:02, 4 mei 2018 | Tuin    | Tuin    | Polygoon | 203640,06 | 440112,60 |
| Tuin    | 1763   | 1      | 10:02, 4 mei 2018 | Tuin    | Tuin    | Polygoon | 203670,36 | 440015,47 |
| Tuin    | 1768   | 1      | 10:02, 4 mei 2018 | Tuin    | Tuin    | Polygoon | 203671,08 | 439992,79 |
| Tuin    | 1775   | 1      | 10:02, 4 mei 2018 | Tuin    | Tuin    | Polygoon | 203533,68 | 438615,20 |
| Tuin    | 1777   | 1      | 10:02, 4 mei 2018 | Tuin    | Tuin    | Polygoon | 202762,35 | 439002,89 |
| Tuin    | 1778   | 1      | 10:02, 4 mei 2018 | Tuin    | Tuin    | Polygoon | 203421,66 | 438827,06 |
| Tuin    | 1782   | 1      | 10:02, 4 mei 2018 | Tuin    | Tuin    | Polygoon | 202836,51 | 439338,79 |
| Tuin    | 1787   | 1      | 10:02, 4 mei 2018 | Tuin    | Tuin    | Polygoon | 202896,51 | 439677,60 |
| Tuin    | 1809   | 1      | 10:02, 4 mei 2018 | Tuin    | Tuin    | Polygoon | 203655,58 | 439274,93 |
| Tuin    | 1815   | 1      | 10:02, 4 mei 2018 | Tuin    | Tuin    | Polygoon | 204655,44 | 439750,57 |
| Tuin    | 1819   | 1      | 10:02, 4 mei 2018 | Tuin    | Tuin    | Polygoon | 202886,80 | 439272,29 |
| Tuin    | 1826   | 1      | 10:02, 4 mei 2018 | Tuin    | Tuin    | Polygoon | 203538,78 | 438621,87 |
| Tuin    | 1841   | 1      | 10:02, 4 mei 2018 | Tuin    | Tuin    | Polygoon | 204786,28 | 439584,02 |
| Tuin    | 1870   | 1      | 10:02, 4 mei 2018 | Tuin    | Tuin    | Polygoon | 202820,27 | 439447,10 |
| Tuin    | 1879   | 1      | 10:02, 4 mei 2018 | Tuin    | Tuin    | Polygoon | 203734,89 | 439970,43 |
| Tuin    | 1892   | 1      | 10:02, 4 mei 2018 | Tuin    | Tuin    | Polygoon | 204047,44 | 440154,75 |
| Tuin    | 1893   | 1      | 10:02, 4 mei 2018 | Tuin    | Tuin    | Polygoon | 204909,56 | 439516,73 |
| Tuin    | 1895   | 1      | 10:02, 4 mei 2018 | Tuin    | Tuin    | Polygoon | 204921,12 | 439511,45 |
| Tuin    | 1898   | 1      | 10:02, 4 mei 2018 | Tuin    | Tuin    | Polygoon | 203607,38 | 439977,90 |
| Tuin    | 1912   | 1      | 10:02, 4 mei 2018 | Tuin    | Tuin    | Polygoon | 203665,51 | 440014,00 |
| Tuin    | 1917   | 1      | 10:02, 4 mei 2018 | Tuin    | Tuin    | Polygoon | 204047,44 | 440154,75 |
| Tuin    | 1922   | 1      | 10:02, 4 mei 2018 | Tuin    | Tuin    | Polygoon | 204705,79 | 439741,84 |
| Tuin    | 1933   | 1      | 10:02, 4 mei 2018 | Tuin    | Tuin    | Polygoon | 202977,00 | 439448,97 |
| Tuin    | 1942   | 1      | 10:02, 4 mei 2018 | Tuin    | Tuin    | Polygoon | 203998,04 | 440012,71 |
| Tuin    | 1956   | 1      | 10:02, 4 mei 2018 | Tuin    | Tuin    | Polygoon | 203602,08 | 438541,84 |
| Tuin    | 1966   | 1      | 10:02, 4 mei 2018 | Tuin    | Tuin    | Polygoon | 203914,37 | 438163,88 |
| Tuin    | 1970   | 1      | 10:02, 4 mei 2018 | Tuin    | Tuin    | Polygoon | 204740,89 | 438771,80 |
| Tuin    | 1972   | 1      | 10:02, 4 mei 2018 | Tuin    | Tuin    | Polygoon | 204422,98 | 438874,48 |
| Tuin    | 1978   | 1      | 10:02, 4 mei 2018 | Tuin    | Tuin    | Polygoon | 204646,03 | 438876,91 |
| Tuin    | 1995   | 1      | 10:02, 4 mei 2018 | Tuin    | Tuin    | Polygoon | 205029,68 | 439926,78 |
| Weiland | 2020   | 2      | 09:35, 6 dec 2018 | Weiland | Weiland | Polygoon | 203861,93 | 439968,27 |
| Weiland | 2024   | 2      | 09:35, 6 dec 2018 | Weiland | Weiland | Polygoon | 203041,36 | 439388,16 |
| Weiland | 2026   | 2      | 09:35, 6 dec 2018 | Weiland | Weiland | Polygoon | 203577,76 | 439980,61 |
| Weiland | 2031   | 2      | 09:35, 6 dec 2018 | Weiland | Weiland | Polygoon | 202700,60 | 438938,30 |

## Invoergegevens van het model

Model: Tatelaarweg op basis van 2031 (tracebesluit) met tatelaarweg 80 km/uur  
 Tatelaarweg (2021-07) - Tatelaarweg  
 Groep: (hoofdgroep)  
 Lijst van Bodemgebieden, voor rekenmethode Wegverkeerslawaaï - RMG-2012, wegverkeer

| Groep   | Vormpunten | Omtrek  | Oppervlak | Min.lengte | Max.lengte | Bf   |
|---------|------------|---------|-----------|------------|------------|------|
| Tuin    | 8          | 48,83   | 113,59    | 0,41       | 18,21      | 0,50 |
| Tuin    | 83         | 352,59  | 7584,73   | 0,10       | 55,35      | 0,50 |
| Tuin    | 40         | 446,96  | 3693,60   | 0,22       | 53,03      | 0,50 |
| Tuin    | 48         | 407,10  | 2227,24   | 0,31       | 44,56      | 0,50 |
| Tuin    | 4          | 22,41   | 24,90     | 3,03       | 8,16       | 0,50 |
| Tuin    | 9          | 33,50   | 57,84     | 0,44       | 7,10       | 0,50 |
| Tuin    | 25         | 694,08  | 1103,83   | 0,10       | 102,01     | 0,50 |
| Tuin    | 4          | 329,73  | 6481,07   | 64,61      | 100,26     | 0,50 |
| Tuin    | 11         | 99,20   | 214,97    | 0,63       | 17,14      | 0,50 |
| Tuin    | 50         | 228,05  | 1435,56   | 0,01       | 36,77      | 0,50 |
| Tuin    | 11         | 63,52   | 119,99    | 0,18       | 20,34      | 0,50 |
| Tuin    | 482        | 1532,29 | 29211,96  | 0,01       | 106,03     | 0,50 |
| Tuin    | 17         | 83,10   | 177,70    | 0,51       | 34,53      | 0,50 |
| Tuin    | 24         | 72,05   | 270,25    | 1,11       | 6,31       | 0,50 |
| Tuin    | 38         | 83,26   | 121,41    | 0,16       | 13,83      | 0,50 |
| Tuin    | 26         | 86,27   | 196,90    | 0,37       | 13,88      | 0,50 |
| Tuin    | 7          | 81,10   | 302,88    | 0,26       | 21,11      | 0,50 |
| Tuin    | 9          | 11,06   | 5,95      | 0,09       | 2,38       | 0,50 |
| Tuin    | 204        | 1236,89 | 13860,21  | 0,02       | 72,80      | 0,50 |
| Tuin    | 5          | 37,12   | 50,23     | 3,27       | 15,26      | 0,50 |
| Tuin    | 74         | 496,27  | 2391,40   | 0,20       | 34,52      | 0,50 |
| Tuin    | 7          | 11,06   | 5,95      | 0,09       | 4,13       | 0,50 |
| Tuin    | 75         | 503,28  | 2316,78   | 0,20       | 34,52      | 0,50 |
| Tuin    | 29         | 37,51   | 16,49     | 0,24       | 6,23       | 0,50 |
| Tuin    | 134        | 1408,80 | 8789,41   | 0,09       | 47,18      | 0,50 |
| Tuin    | 7          | 46,80   | 96,31     | 1,62       | 14,14      | 0,50 |
| Tuin    | 80         | 275,68  | 776,37    | 0,06       | 34,47      | 0,50 |
| Tuin    | 23         | 66,02   | 81,23     | 0,26       | 16,44      | 0,50 |
| Tuin    | 148        | 594,59  | 2826,90   | 0,03       | 61,58      | 0,50 |
| Tuin    | 240        | 878,35  | 4350,43   | 0,06       | 27,65      | 0,50 |
| Tuin    | 75         | 96,30   | 97,61     | 0,10       | 18,30      | 0,50 |
| Tuin    | 237        | 876,80  | 4352,31   | 0,06       | 27,65      | 0,50 |
| Tuin    | 55         | 16,01   | 15,34     | 0,03       | 5,81       | 0,50 |
| Tuin    | 14         | 296,47  | 480,07    | 2,46       | 65,92      | 0,50 |
| Tuin    | 4          | 38,40   | 92,14     | 9,44       | 9,76       | 0,50 |
| Tuin    | 9          | 42,37   | 98,25     | 1,08       | 8,89       | 0,50 |
| Tuin    | 47         | 605,64  | 5297,30   | 0,12       | 80,48      | 0,50 |
| Tuin    | 52         | 504,04  | 2334,54   | 0,10       | 32,85      | 0,50 |
| Tuin    | 11         | 34,34   | 58,66     | 0,44       | 7,10       | 0,50 |
| Tuin    | 25         | 170,12  | 329,86    | 0,09       | 19,88      | 0,50 |
| Tuin    | 57         | 21,63   | 24,74     | 0,01       | 8,28       | 0,50 |
| Tuin    | 8          | 10,99   | 6,91      | 0,13       | 3,48       | 0,50 |
| Tuin    | 69         | 45,19   | 34,08     | 0,04       | 3,07       | 0,50 |
| Tuin    | 145        | 592,25  | 2832,80   | 0,03       | 61,58      | 0,50 |
| Tuin    | 475        | 1532,29 | 29211,96  | 0,04       | 106,03     | 0,50 |
| Tuin    | 11         | 86,21   | 157,49    | 0,66       | 24,96      | 0,50 |
| Tuin    | 5          | 110,35  | 52,80     | 0,40       | 54,36      | 0,50 |
| Tuin    | 59         | 297,01  | 733,82    | 0,16       | 25,79      | 0,50 |
| Tuin    | 268        | 475,60  | 7989,76   | 0,06       | 27,65      | 0,50 |
| Tuin    | 475        | 1455,84 | 29356,37  | 0,01       | 106,03     | 0,50 |
| Tuin    | 48         | 542,27  | 3075,91   | 0,58       | 36,88      | 0,50 |
| Tuin    | 27         | 236,16  | 1330,77   | 0,56       | 31,92      | 0,50 |
| Tuin    | 162        | 1064,22 | 7403,10   | 0,01       | 34,43      | 0,50 |
| Tuin    | 31         | 531,37  | 3611,62   | 0,57       | 51,78      | 0,50 |
| Tuin    | 4          | 24,09   | 28,89     | 3,28       | 8,74       | 0,50 |
| Tuin    | 42         | 780,49  | 8489,45   | 1,00       | 90,33      | 0,50 |
| Tuin    | 117        | 710,83  | 3562,72   | 0,04       | 77,89      | 0,50 |
| Tuin    | 135        | 1380,12 | 8777,49   | 0,09       | 45,50      | 0,50 |
| Tuin    | 175        | 1020,18 | 8661,64   | 0,18       | 77,81      | 0,50 |
| Weiland | 20         | 36,51   | 57,37     | 0,30       | 11,80      | 0,80 |
| Weiland | 57         | 288,61  | 1118,16   | 0,59       | 19,68      | 0,80 |
| Weiland | 35         | 313,64  | 1466,69   | 0,16       | 50,28      | 0,80 |
| Weiland | 17         | 134,67  | 186,90    | 1,16       | 27,14      | 0,80 |

## Invoergegevens van het model

Model: Tatelaarweg op basis van 2031 (tracebesluit) met tatelaarweg 80 km/uur  
 Tatelaarweg (2021-07) - Tatelaarweg  
 Groep: (hoofdgroep)  
 Lijst van Bodemgebieden, voor rekenmethode Wegverkeerslawaaï - RMG-2012, wegverkeer

| Groep   | ItemID | Grp.ID | Datum             | Naam    | Omschr. | Vorm     | X-1       | Y-1       |
|---------|--------|--------|-------------------|---------|---------|----------|-----------|-----------|
| Weiland | 2032   | 2      | 09:35, 6 dec 2018 | Weiland | Weiland | Polygoon | 203150,42 | 439569,28 |
| Weiland | 2041   | 2      | 09:35, 6 dec 2018 | Weiland | Weiland | Polygoon | 204476,44 | 439777,10 |
| Weiland | 2049   | 2      | 09:35, 6 dec 2018 | Weiland | Weiland | Polygoon | 204721,54 | 439738,04 |
| Weiland | 2056   | 2      | 09:35, 6 dec 2018 | Weiland | Weiland | Polygoon | 204129,67 | 438342,86 |
| Weiland | 2095   | 2      | 09:35, 6 dec 2018 | Weiland | Weiland | Polygoon | 204582,82 | 439743,20 |
| Weiland | 2117   | 2      | 09:35, 6 dec 2018 | Weiland | Weiland | Polygoon | 203493,66 | 439063,58 |
| Weiland | 2118   | 2      | 09:35, 6 dec 2018 | Weiland | Weiland | Polygoon | 203797,21 | 438813,71 |
| Weiland | 2123   | 2      | 09:35, 6 dec 2018 | Weiland | Weiland | Polygoon | 203844,93 | 439032,52 |
| Weiland | 2124   | 2      | 09:35, 6 dec 2018 | Weiland | Weiland | Polygoon | 204134,53 | 439153,04 |
| Weiland | 2125   | 2      | 09:35, 6 dec 2018 | Weiland | Weiland | Polygoon | 204867,84 | 439502,16 |
| Weiland | 2131   | 2      | 09:35, 6 dec 2018 | Weiland | Weiland | Polygoon | 204316,60 | 439718,85 |
| Weiland | 2134   | 2      | 09:35, 6 dec 2018 | Weiland | Weiland | Polygoon | 203875,38 | 438241,21 |
| Weiland | 2146   | 2      | 09:35, 6 dec 2018 | Weiland | Weiland | Polygoon | 203299,60 | 438979,33 |
| Weiland | 2168   | 2      | 09:35, 6 dec 2018 | Weiland | Weiland | Polygoon | 203577,98 | 438677,82 |
| Weiland | 2179   | 2      | 09:35, 6 dec 2018 | Weiland | Weiland | Polygoon | 203105,79 | 438822,56 |
| Weiland | 2182   | 2      | 09:35, 6 dec 2018 | Weiland | Weiland | Polygoon | 203212,80 | 438954,93 |
| Weiland | 2184   | 2      | 09:35, 6 dec 2018 | Weiland | Weiland | Polygoon | 203087,75 | 439371,18 |
| Weiland | 2200   | 2      | 09:35, 6 dec 2018 | Weiland | Weiland | Polygoon | 205017,13 | 440035,48 |
| Weiland | 2203   | 2      | 09:35, 6 dec 2018 | Weiland | Weiland | Polygoon | 204593,95 | 438966,83 |
| Weiland | 2209   | 2      | 09:35, 6 dec 2018 | Weiland | Weiland | Polygoon | 203341,56 | 439091,65 |
| Weiland | 2229   | 2      | 09:35, 6 dec 2018 | Weiland | Weiland | Polygoon | 204854,78 | 438793,43 |
| Weiland | 2241   | 2      | 09:35, 6 dec 2018 | Weiland | Weiland | Polygoon | 204466,27 | 439473,26 |
| Weiland | 2266   | 2      | 09:35, 6 dec 2018 | Weiland | Weiland | Polygoon | 203931,61 | 438316,99 |
| Weiland | 2283   | 2      | 09:35, 6 dec 2018 | Weiland | Weiland | Polygoon | 204333,79 | 439086,47 |
| Weiland | 2288   | 2      | 09:35, 6 dec 2018 | Weiland | Weiland | Polygoon | 204438,83 | 439387,65 |
| Weiland | 2292   | 2      | 09:35, 6 dec 2018 | Weiland | Weiland | Polygoon | 204823,24 | 439950,85 |
| Weiland | 2293   | 2      | 09:35, 6 dec 2018 | Weiland | Weiland | Polygoon | 204840,85 | 439492,07 |
| Weiland | 2294   | 2      | 09:35, 6 dec 2018 | Weiland | Weiland | Polygoon | 204610,78 | 438197,30 |
| Weiland | 2304   | 2      | 09:35, 6 dec 2018 | Weiland | Weiland | Polygoon | 202842,08 | 439028,55 |
| Weiland | 2309   | 2      | 09:35, 6 dec 2018 | Weiland | Weiland | Polygoon | 203473,49 | 438980,84 |
| Weiland | 2314   | 2      | 09:35, 6 dec 2018 | Weiland | Weiland | Polygoon | 203909,47 | 438171,84 |
| Weiland | 2334   | 2      | 09:35, 6 dec 2018 | Weiland | Weiland | Polygoon | 204464,94 | 439467,67 |
| Weiland | 2335   | 2      | 09:35, 6 dec 2018 | Weiland | Weiland | Polygoon | 204885,82 | 438008,48 |
| Weiland | 2339   | 2      | 09:35, 6 dec 2018 | Weiland | Weiland | Polygoon | 204405,26 | 439306,70 |
| Weiland | 2353   | 2      | 09:35, 6 dec 2018 | Weiland | Weiland | Polygoon | 204523,16 | 439417,92 |
| Weiland | 2384   | 2      | 09:35, 6 dec 2018 | Weiland | Weiland | Polygoon | 204499,97 | 439743,42 |
| Weiland | 2387   | 2      | 09:35, 6 dec 2018 | Weiland | Weiland | Polygoon | 204055,75 | 438035,48 |
| Weiland | 2397   | 2      | 09:35, 6 dec 2018 | Weiland | Weiland | Polygoon | 204334,54 | 438890,76 |
| Weiland | 2404   | 2      | 09:35, 6 dec 2018 | Weiland | Weiland | Polygoon | 204377,62 | 439947,92 |
| Weiland | 2407   | 2      | 09:35, 6 dec 2018 | Weiland | Weiland | Polygoon | 204655,80 | 439567,66 |
| Weiland | 2412   | 2      | 09:35, 6 dec 2018 | Weiland | Weiland | Polygoon | 204892,14 | 439737,06 |
| Weiland | 2423   | 2      | 09:35, 6 dec 2018 | Weiland | Weiland | Polygoon | 204610,78 | 438197,30 |
| Weiland | 2433   | 2      | 09:35, 6 dec 2018 | Weiland | Weiland | Polygoon | 204540,43 | 439422,34 |
| Weiland | 2448   | 2      | 09:35, 6 dec 2018 | Weiland | Weiland | Polygoon | 204360,85 | 439072,94 |
| Weiland | 2450   | 2      | 09:35, 6 dec 2018 | Weiland | Weiland | Polygoon | 204343,81 | 438339,80 |
| Weiland | 2471   | 2      | 09:35, 6 dec 2018 | Weiland | Weiland | Polygoon | 203124,70 | 438868,10 |
| Weiland | 2474   | 2      | 09:35, 6 dec 2018 | Weiland | Weiland | Polygoon | 203789,57 | 439963,93 |
| Weiland | 2479   | 2      | 09:35, 6 dec 2018 | Weiland | Weiland | Polygoon | 204098,66 | 439953,34 |
| Weiland | 2480   | 2      | 09:35, 6 dec 2018 | Weiland | Weiland | Polygoon | 204011,47 | 438418,64 |
| Weiland | 2485   | 2      | 09:35, 6 dec 2018 | Weiland | Weiland | Polygoon | 203721,94 | 438659,42 |
| Weiland | 2523   | 2      | 09:35, 6 dec 2018 | Weiland | Weiland | Polygoon | 203370,22 | 438580,30 |
| Weiland | 2535   | 2      | 09:35, 6 dec 2018 | Weiland | Weiland | Polygoon | 204981,18 | 439565,54 |
| Weiland | 2542   | 2      | 09:35, 6 dec 2018 | Weiland | Weiland | Polygoon | 204878,97 | 439758,07 |
| Weiland | 2562   | 2      | 09:35, 6 dec 2018 | Weiland | Weiland | Polygoon | 204400,36 | 439053,78 |
| Weiland | 2577   | 2      | 09:35, 6 dec 2018 | Weiland | Weiland | Polygoon | 203123,85 | 438894,65 |
| Weiland | 2591   | 2      | 09:35, 6 dec 2018 | Weiland | Weiland | Polygoon | 204928,35 | 438955,18 |
| Weiland | 2592   | 2      | 09:35, 6 dec 2018 | Weiland | Weiland | Polygoon | 204416,62 | 438830,30 |
| Weiland | 2613   | 2      | 09:35, 6 dec 2018 | Weiland | Weiland | Polygoon | 204129,31 | 439955,98 |
| Weiland | 2634   | 2      | 09:35, 6 dec 2018 | Weiland | Weiland | Polygoon | 204606,34 | 438191,56 |
| Weiland | 2635   | 2      | 09:35, 6 dec 2018 | Weiland | Weiland | Polygoon | 204023,91 | 438584,78 |
| Weiland | 2652   | 2      | 09:35, 6 dec 2018 | Weiland | Weiland | Polygoon | 204299,55 | 439341,11 |
| Weiland | 2658   | 2      | 09:35, 6 dec 2018 | Weiland | Weiland | Polygoon | 204267,85 | 438240,49 |
| Weiland | 2660   | 2      | 09:35, 6 dec 2018 | Weiland | Weiland | Polygoon | 204437,25 | 439968,02 |

## Invoergegevens van het model

Model: Tatelaarweg op basis van 2031 (tracebesluit) met tatelaarweg 80 km/uur  
 Tatelaarweg (2021-07) - Tatelaarweg  
 Groep: (hoofdgroep)  
 Lijst van Bodemgebieden, voor rekenmethode Wegverkeerslawaai - RMG-2012, wegverkeer

| Groep   | Vormpunten | Omtrek  | Oppervlak | Min.lengte | Max.lengte | Bf   |
|---------|------------|---------|-----------|------------|------------|------|
| Weiland | 108        | 1257,03 | 81775,08  | 0,01       | 118,42     | 0,80 |
| Weiland | 18         | 391,14  | 6157,65   | 0,57       | 129,67     | 0,80 |
| Weiland | 74         | 822,46  | 5161,01   | 0,51       | 58,88      | 0,80 |
| Weiland | 7          | 73,28   | 96,75     | 3,66       | 17,96      | 0,80 |
| Weiland | 11         | 282,58  | 4400,84   | 0,10       | 70,49      | 0,80 |
| Weiland | 11         | 137,94  | 81,32     | 6,69       | 17,53      | 0,80 |
| Weiland | 19         | 28,33   | 15,56     | 0,18       | 3,98       | 0,80 |
| Weiland | 175        | 1862,16 | 1951,07   | 0,13       | 37,07      | 0,80 |
| Weiland | 34         | 228,76  | 208,07    | 0,12       | 102,94     | 0,80 |
| Weiland | 21         | 31,44   | 56,02     | 0,26       | 10,17      | 0,80 |
| Weiland | 59         | 442,84  | 575,40    | 0,09       | 89,57      | 0,80 |
| Weiland | 7          | 18,66   | 17,77     | 0,72       | 7,12       | 0,80 |
| Weiland | 34         | 76,96   | 112,31    | 0,15       | 33,63      | 0,80 |
| Weiland | 11         | 320,36  | 2973,85   | 8,31       | 96,67      | 0,80 |
| Weiland | 68         | 130,05  | 726,78    | 0,54       | 19,69      | 0,80 |
| Weiland | 42         | 66,23   | 97,89     | 0,06       | 21,90      | 0,80 |
| Weiland | 18         | 60,74   | 77,20     | 0,74       | 19,88      | 0,80 |
| Weiland | 81         | 234,00  | 194,48    | 0,23       | 40,16      | 0,80 |
| Weiland | 9          | 93,60   | 69,79     | 1,99       | 25,44      | 0,80 |
| Weiland | 95         | 342,26  | 1172,59   | 0,03       | 31,01      | 0,80 |
| Weiland | 24         | 199,99  | 2039,20   | 0,36       | 35,26      | 0,80 |
| Weiland | 7          | 51,08   | 17,48     | 1,38       | 19,21      | 0,80 |
| Weiland | 6          | 52,01   | 37,18     | 0,59       | 24,95      | 0,80 |
| Weiland | 5          | 116,39  | 16,13     | 0,11       | 58,13      | 0,80 |
| Weiland | 24         | 124,21  | 99,32     | 0,04       | 24,86      | 0,80 |
| Weiland | 124        | 1598,42 | 51678,25  | 0,16       | 77,81      | 0,80 |
| Weiland | 74         | 372,00  | 303,79    | 0,08       | 45,13      | 0,80 |
| Weiland | 6          | 32,21   | 39,95     | 2,82       | 6,62       | 0,80 |
| Weiland | 24         | 67,81   | 229,03    | 0,26       | 22,74      | 0,80 |
| Weiland | 107        | 2027,63 | 73694,98  | 0,08       | 304,04     | 0,80 |
| Weiland | 5          | 10,99   | 7,26      | 0,55       | 3,28       | 0,80 |
| Weiland | 57         | 312,48  | 248,77    | 0,06       | 51,64      | 0,80 |
| Weiland | 66         | 595,54  | 786,54    | 0,11       | 129,55     | 0,80 |
| Weiland | 226        | 2396,17 | 92591,30  | 0,06       | 72,80      | 0,80 |
| Weiland | 64         | 312,49  | 247,37    | 0,06       | 51,64      | 0,80 |
| Weiland | 104        | 1390,21 | 52697,66  | 0,11       | 72,92      | 0,80 |
| Weiland | 20         | 39,87   | 93,76     | 0,05       | 13,54      | 0,80 |
| Weiland | 55         | 1089,73 | 5380,90   | 0,11       | 79,01      | 0,80 |
| Weiland | 57         | 1024,41 | 500,80    | 0,92       | 39,39      | 0,80 |
| Weiland | 22         | 120,75  | 307,19    | 0,34       | 14,70      | 0,80 |
| Weiland | 75         | 823,63  | 5448,34   | 0,51       | 58,88      | 0,80 |
| Weiland | 17         | 143,79  | 479,02    | 0,90       | 36,57      | 0,80 |
| Weiland | 21         | 247,21  | 416,89    | 0,29       | 65,62      | 0,80 |
| Weiland | 3          | 14,60   | 0,39      | 0,11       | 7,24       | 0,80 |
| Weiland | 23         | 191,25  | 206,42    | 1,87       | 23,30      | 0,80 |
| Weiland | 60         | 173,97  | 928,25    | 0,11       | 28,49      | 0,80 |
| Weiland | 22         | 165,93  | 105,55    | 0,26       | 28,24      | 0,80 |
| Weiland | 225        | 309,03  | 389,35    | 0,01       | 34,63      | 0,80 |
| Weiland | 82         | 182,24  | 286,18    | 0,12       | 58,38      | 0,80 |
| Weiland | 6          | 17,36   | 17,52     | 0,07       | 5,98       | 0,80 |
| Weiland | 24         | 19,61   | 20,99     | 0,22       | 7,18       | 0,80 |
| Weiland | 38         | 303,34  | 1319,60   | 0,07       | 56,32      | 0,80 |
| Weiland | 52         | 458,42  | 477,77    | 1,55       | 48,07      | 0,80 |
| Weiland | 3          | 2,39    | 0,14      | 0,27       | 1,08       | 0,80 |
| Weiland | 10         | 24,12   | 23,03     | 0,18       | 10,20      | 0,80 |
| Weiland | 36         | 421,27  | 8487,50   | 0,58       | 81,54      | 0,80 |
| Weiland | 161        | 1355,19 | 49051,02  | 0,04       | 42,52      | 0,80 |
| Weiland | 19         | 74,06   | 35,83     | 0,01       | 26,51      | 0,80 |
| Weiland | 5          | 34,74   | 54,93     | 1,69       | 13,39      | 0,80 |
| Weiland | 28         | 585,27  | 584,60    | 0,21       | 45,16      | 0,80 |
| Weiland | 54         | 415,59  | 7668,52   | 0,14       | 49,66      | 0,80 |
| Weiland | 7          | 76,20   | 100,80    | 0,23       | 36,79      | 0,80 |
| Weiland | 117        | 589,17  | 728,40    | 0,08       | 39,07      | 0,80 |



## Invoergegevens van het model

Model: Tatelaarweg op basis van 2031 (tracebesluit) met tatelaarweg 80 km/uur  
 Tatelaarweg (2021-07) - Tatelaarweg  
 Groep: (hoofdgroep)  
 Lijst van Bodemgebieden, voor rekenmethode Wegverkeerslawaaï - RMG-2012, wegverkeer

| Groep   | ItemID | Grp.ID | Datum             | Naam    | Omschr. | Vorm     | X-1       | Y-1       |
|---------|--------|--------|-------------------|---------|---------|----------|-----------|-----------|
| Weiland | 2671   | 2      | 09:35, 6 dec 2018 | Weiland | Weiland | Polygoon | 204878,98 | 439500,00 |
| Weiland | 2706   | 2      | 09:35, 6 dec 2018 | Weiland | Weiland | Polygoon | 204927,86 | 438968,90 |
| Weiland | 2715   | 2      | 09:35, 6 dec 2018 | Weiland | Weiland | Polygoon | 204921,12 | 439511,45 |
| Weiland | 2727   | 2      | 09:35, 6 dec 2018 | Weiland | Weiland | Polygoon | 203518,31 | 438583,68 |
| Weiland | 2728   | 2      | 09:35, 6 dec 2018 | Weiland | Weiland | Polygoon | 202810,46 | 439041,91 |
| Weiland | 2729   | 2      | 09:35, 6 dec 2018 | Weiland | Weiland | Polygoon | 203638,36 | 438700,10 |
| Weiland | 2736   | 2      | 09:35, 6 dec 2018 | Weiland | Weiland | Polygoon | 202879,37 | 439426,72 |
| Weiland | 2738   | 2      | 09:35, 6 dec 2018 | Weiland | Weiland | Polygoon | 203162,00 | 439090,88 |
| Weiland | 2750   | 2      | 09:35, 6 dec 2018 | Weiland | Weiland | Polygoon | 204610,02 | 439434,01 |
| Weiland | 2769   | 2      | 09:35, 6 dec 2018 | Weiland | Weiland | Polygoon | 203003,86 | 438926,41 |
| Weiland | 2770   | 2      | 09:35, 6 dec 2018 | Weiland | Weiland | Polygoon | 202810,46 | 439041,91 |
| Weiland | 2798   | 2      | 09:35, 6 dec 2018 | Weiland | Weiland | Polygoon | 203385,71 | 439674,16 |
| Weiland | 2803   | 2      | 09:35, 6 dec 2018 | Weiland | Weiland | Polygoon | 203385,71 | 439674,16 |
| Weiland | 2848   | 2      | 09:35, 6 dec 2018 | Weiland | Weiland | Polygoon | 203119,76 | 439336,68 |
| Weiland | 2849   | 2      | 09:35, 6 dec 2018 | Weiland | Weiland | Polygoon | 203859,82 | 438549,72 |
| Weiland | 2851   | 2      | 09:35, 6 dec 2018 | Weiland | Weiland | Polygoon | 203956,34 | 439968,31 |
| Weiland | 2852   | 2      | 09:35, 6 dec 2018 | Weiland | Weiland | Polygoon | 203695,64 | 439963,72 |
| Weiland | 2853   | 2      | 09:35, 6 dec 2018 | Weiland | Weiland | Polygoon | 202881,04 | 439634,58 |
| Weiland | 2856   | 2      | 09:35, 6 dec 2018 | Weiland | Weiland | Polygoon | 202949,88 | 439521,42 |
| Weiland | 2857   | 2      | 09:35, 6 dec 2018 | Weiland | Weiland | Polygoon | 203084,74 | 438798,59 |
| Weiland | 2858   | 2      | 09:35, 6 dec 2018 | Weiland | Weiland | Polygoon | 203792,48 | 439060,05 |
| Weiland | 2861   | 2      | 09:35, 6 dec 2018 | Weiland | Weiland | Polygoon | 203737,26 | 438802,36 |
| Weiland | 2863   | 2      | 09:35, 6 dec 2018 | Weiland | Weiland | Polygoon | 202905,72 | 439737,62 |
| Weiland | 2864   | 2      | 09:35, 6 dec 2018 | Weiland | Weiland | Polygoon | 203727,19 | 438467,04 |
| Weiland | 2871   | 2      | 09:35, 6 dec 2018 | Weiland | Weiland | Polygoon | 203127,70 | 438885,46 |
| Weiland | 2887   | 2      | 09:35, 6 dec 2018 | Weiland | Weiland | Polygoon | 203423,29 | 438888,38 |
| Weiland | 2888   | 2      | 09:35, 6 dec 2018 | Weiland | Weiland | Polygoon | 203864,82 | 439697,55 |
| Weiland | 2889   | 2      | 09:35, 6 dec 2018 | Weiland | Weiland | Polygoon | 202929,20 | 439971,44 |
| Weiland | 2919   | 2      | 09:35, 6 dec 2018 | Weiland | Weiland | Polygoon | 202964,11 | 439501,18 |
| Weiland | 2922   | 2      | 09:35, 6 dec 2018 | Weiland | Weiland | Polygoon | 203914,37 | 438163,88 |
| Weiland | 2926   | 2      | 09:35, 6 dec 2018 | Weiland | Weiland | Polygoon | 203400,02 | 439540,40 |
| Weiland | 2942   | 2      | 09:35, 6 dec 2018 | Weiland | Weiland | Polygoon | 203960,01 | 439960,11 |
| Weiland | 2945   | 2      | 09:35, 6 dec 2018 | Weiland | Weiland | Polygoon | 202734,43 | 439104,66 |
| Weiland | 3014   | 2      | 09:35, 6 dec 2018 | Weiland | Weiland | Polygoon | 203105,02 | 438822,00 |
| Weiland | 3016   | 2      | 09:35, 6 dec 2018 | Weiland | Weiland | Polygoon | 203236,14 | 439007,48 |
| Weiland | 3036   | 2      | 09:35, 6 dec 2018 | Weiland | Weiland | Polygoon | 202780,76 | 439279,62 |
| Weiland | 3038   | 2      | 09:35, 6 dec 2018 | Weiland | Weiland | Polygoon | 203710,60 | 438663,78 |
| Weiland | 3051   | 2      | 09:35, 6 dec 2018 | Weiland | Weiland | Polygoon | 202734,43 | 439104,66 |
| Weiland | 3054   | 2      | 09:35, 6 dec 2018 | Weiland | Weiland | Polygoon | 203778,35 | 438436,30 |
| Weiland | 3076   | 2      | 09:35, 6 dec 2018 | Weiland | Weiland | Polygoon | 203677,89 | 439281,33 |
| Weiland | 3077   | 2      | 09:35, 6 dec 2018 | Weiland | Weiland | Polygoon | 203844,66 | 439971,00 |
| Weiland | 3100   | 2      | 09:35, 6 dec 2018 | Weiland | Weiland | Polygoon | 202885,18 | 439264,10 |
| Weiland | 3101   | 2      | 09:35, 6 dec 2018 | Weiland | Weiland | Polygoon | 202829,24 | 439281,78 |
| Weiland | 3102   | 2      | 09:35, 6 dec 2018 | Weiland | Weiland | Polygoon | 202852,53 | 439658,66 |
| Weiland | 3105   | 2      | 09:35, 6 dec 2018 | Weiland | Weiland | Polygoon | 203275,34 | 439021,22 |
| Weiland | 3134   | 2      | 09:35, 6 dec 2018 | Weiland | Weiland | Polygoon | 203172,76 | 438904,59 |
| Weiland | 3144   | 2      | 09:35, 6 dec 2018 | Weiland | Weiland | Polygoon | 203550,24 | 438443,22 |
| Weiland | 3161   | 2      | 09:35, 6 dec 2018 | Weiland | Weiland | Polygoon | 203506,68 | 439749,12 |
| Weiland | 3191   | 2      | 09:35, 6 dec 2018 | Weiland | Weiland | Polygoon | 203316,68 | 439055,09 |
| Weiland | 3193   | 2      | 09:35, 6 dec 2018 | Weiland | Weiland | Polygoon | 203630,35 | 438541,34 |
| Weiland | 3206   | 2      | 09:35, 6 dec 2018 | Weiland | Weiland | Polygoon | 203265,10 | 439143,14 |
| Weiland | 3217   | 2      | 09:35, 6 dec 2018 | Weiland | Weiland | Polygoon | 203155,94 | 439299,07 |
| Weiland | 3254   | 2      | 09:35, 6 dec 2018 | Weiland | Weiland | Polygoon | 202909,74 | 439553,95 |
| Weiland | 3258   | 2      | 09:35, 6 dec 2018 | Weiland | Weiland | Polygoon | 203434,17 | 439202,05 |
| Weiland | 3261   | 2      | 09:35, 6 dec 2018 | Weiland | Weiland | Polygoon | 202967,48 | 439502,67 |
| Weiland | 3262   | 2      | 09:35, 6 dec 2018 | Weiland | Weiland | Polygoon | 203470,78 | 439103,83 |
| Weiland | 3292   | 2      | 09:35, 6 dec 2018 | Weiland | Weiland | Polygoon | 202884,91 | 439570,49 |
| Weiland | 3295   | 2      | 09:35, 6 dec 2018 | Weiland | Weiland | Polygoon | 203892,91 | 438264,10 |
| Weiland | 3300   | 2      | 09:35, 6 dec 2018 | Weiland | Weiland | Polygoon | 203839,22 | 438221,48 |
| Weiland | 3348   | 2      | 09:35, 6 dec 2018 | Weiland | Weiland | Polygoon | 203263,37 | 439001,79 |
| Weiland | 3353   | 2      | 09:35, 6 dec 2018 | Weiland | Weiland | Polygoon | 202853,47 | 439547,23 |
| Weiland | 3358   | 2      | 09:35, 6 dec 2018 | Weiland | Weiland | Polygoon | 203758,59 | 439972,41 |
| Weiland | 3361   | 2      | 09:35, 6 dec 2018 | Weiland | Weiland | Polygoon | 203385,71 | 439674,16 |

## Invoergegevens van het model

Model: Tatelaarweg op basis van 2031 (tracebesluit) met tatelaarweg 80 km/uur  
 Tatelaarweg (2021-07) - Tatelaarweg  
 Groep: (hoofdgroep)  
 Lijst van Bodemgebieden, voor rekenmethode Wegverkeerslawaaï - RMG-2012, wegverkeer

| Groep   | Vormpunten | Omtrek  | Oppervlak | Min.lengte | Max.lengte | Bf   |
|---------|------------|---------|-----------|------------|------------|------|
| Weiland | 13         | 69,85   | 23,42     | 0,13       | 34,53      | 0,80 |
| Weiland | 11         | 170,76  | 153,33    | 0,31       | 75,67      | 0,80 |
| Weiland | 5          | 110,35  | 52,80     | 0,40       | 54,36      | 0,80 |
| Weiland | 300        | 1262,44 | 5334,18   | 0,01       | 89,19      | 0,80 |
| Weiland | 12         | 21,07   | 25,09     | 0,36       | 6,18       | 0,80 |
| Weiland | 305        | 1262,17 | 5335,95   | 0,01       | 89,19      | 0,80 |
| Weiland | 57         | 362,60  | 4523,04   | 0,33       | 30,87      | 0,80 |
| Weiland | 59         | 13,01   | 11,35     | 0,08       | 3,45       | 0,80 |
| Weiland | 20         | 228,18  | 112,49    | 0,15       | 65,62      | 0,80 |
| Weiland | 9          | 25,16   | 27,91     | 0,65       | 8,64       | 0,80 |
| Weiland | 12         | 23,60   | 31,99     | 0,36       | 7,43       | 0,80 |
| Weiland | 107        | 1188,31 | 48837,03  | 0,01       | 115,19     | 0,80 |
| Weiland | 140        | 1310,11 | 44731,46  | 0,04       | 74,96      | 0,80 |
| Weiland | 12         | 106,07  | 64,48     | 0,92       | 28,00      | 0,80 |
| Weiland | 24         | 72,68   | 98,47     | 0,27       | 31,83      | 0,80 |
| Weiland | 22         | 198,43  | 125,80    | 0,45       | 66,41      | 0,80 |
| Weiland | 24         | 368,74  | 393,97    | 0,41       | 50,92      | 0,80 |
| Weiland | 58         | 47,04   | 58,99     | 0,01       | 16,93      | 0,80 |
| Weiland | 12         | 66,98   | 112,65    | 0,69       | 21,68      | 0,80 |
| Weiland | 60         | 611,23  | 2450,05   | 0,01       | 65,11      | 0,80 |
| Weiland | 93         | 1158,51 | 63259,83  | 0,10       | 40,17      | 0,80 |
| Weiland | 6          | 76,42   | 58,66     | 1,36       | 28,71      | 0,80 |
| Weiland | 36         | 20,44   | 6,31      | 0,28       | 3,00       | 0,80 |
| Weiland | 29         | 198,83  | 306,74    | 0,94       | 40,46      | 0,80 |
| Weiland | 54         | 130,13  | 670,74    | 0,16       | 12,66      | 0,80 |
| Weiland | 13         | 23,85   | 33,83     | 0,07       | 5,38       | 0,80 |
| Weiland | 80         | 1045,48 | 4109,01   | 0,03       | 116,13     | 0,80 |
| Weiland | 6          | 22,52   | 13,74     | 2,09       | 5,89       | 0,80 |
| Weiland | 8          | 28,73   | 38,93     | 0,20       | 10,71      | 0,80 |
| Weiland | 4          | 13,74   | 11,80     | 3,33       | 3,54       | 0,80 |
| Weiland | 139        | 3528,09 | 4635,16   | 0,01       | 101,04     | 0,80 |
| Weiland | 42         | 531,76  | 326,11    | 0,60       | 40,27      | 0,80 |
| Weiland | 38         | 144,00  | 157,18    | 0,26       | 13,08      | 0,80 |
| Weiland | 19         | 114,68  | 664,29    | 0,69       | 29,20      | 0,80 |
| Weiland | 65         | 54,54   | 155,91    | 0,08       | 12,88      | 0,80 |
| Weiland | 152        | 509,57  | 3201,45   | 0,20       | 36,62      | 0,80 |
| Weiland | 55         | 166,66  | 271,19    | 0,17       | 41,13      | 0,80 |
| Weiland | 71         | 373,74  | 877,56    | 0,02       | 13,99      | 0,80 |
| Weiland | 100        | 100,38  | 272,93    | 0,01       | 31,19      | 0,80 |
| Weiland | 122        | 1524,20 | 74335,53  | 0,03       | 48,65      | 0,80 |
| Weiland | 21         | 114,52  | 283,48    | 0,31       | 28,24      | 0,80 |
| Weiland | 130        | 1134,19 | 4085,51   | 0,09       | 156,46     | 0,80 |
| Weiland | 108        | 423,64  | 1114,32   | 0,07       | 24,02      | 0,80 |
| Weiland | 5          | 31,52   | 49,90     | 2,33       | 10,35      | 0,80 |
| Weiland | 86         | 998,96  | 1313,10   | 0,11       | 79,00      | 0,80 |
| Weiland | 31         | 120,29  | 435,75    | 0,16       | 18,00      | 0,80 |
| Weiland | 28         | 83,23   | 109,43    | 0,08       | 36,19      | 0,80 |
| Weiland | 103        | 1569,55 | 67172,68  | 0,08       | 53,32      | 0,80 |
| Weiland | 50         | 193,27  | 398,90    | 0,12       | 27,00      | 0,80 |
| Weiland | 45         | 41,47   | 45,75     | 0,66       | 2,51       | 0,80 |
| Weiland | 138        | 1685,29 | 33556,60  | 0,10       | 140,60     | 0,80 |
| Weiland | 9          | 181,45  | 101,42    | 1,30       | 40,22      | 0,80 |
| Weiland | 79         | 431,51  | 3589,25   | 0,45       | 31,41      | 0,80 |
| Weiland | 7          | 52,73   | 104,53    | 0,10       | 14,26      | 0,80 |
| Weiland | 5          | 26,12   | 33,42     | 0,29       | 9,55       | 0,80 |
| Weiland | 35         | 153,94  | 151,80    | 1,27       | 11,65      | 0,80 |
| Weiland | 3          | 0,52    | 0,01      | 0,09       | 0,26       | 0,80 |
| Weiland | 11         | 25,35   | 16,42     | 0,52       | 6,25       | 0,80 |
| Weiland | 5          | 38,17   | 54,92     | 3,64       | 14,59      | 0,80 |
| Weiland | 23         | 130,76  | 246,64    | 0,14       | 59,83      | 0,80 |
| Weiland | 76         | 229,76  | 180,36    | 0,10       | 14,71      | 0,80 |
| Weiland | 29         | 75,45   | 159,87    | 0,09       | 18,42      | 0,80 |
| Weiland | 84         | 1188,52 | 48819,30  | 0,01       | 115,19     | 0,80 |

## Invoergegevens van het model

Model: Tatelaarweg op basis van 2031 (tracebesluit) met tatelaarweg 80 km/uur  
 Tatelaarweg (2021-07) - Tatelaarweg  
 Groep: (hoofdgroep)  
 Lijst van Bodemgebieden, voor rekenmethode Wegverkeerslawaaai - RMG-2012, wegverkeer

| Groep   | ItemID | Grp.ID | Datum             | Naam    | Omschr. | Vorm     | X-1       | Y-1       |
|---------|--------|--------|-------------------|---------|---------|----------|-----------|-----------|
| Weiland | 3363   | 2      | 09:35, 6 dec 2018 | Weiland | Weiland | Polygoon | 203956,34 | 439968,31 |
| Weiland | 3365   | 2      | 09:35, 6 dec 2018 | Weiland | Weiland | Polygoon | 203602,08 | 438541,84 |
| Weiland | 3369   | 2      | 09:35, 6 dec 2018 | Weiland | Weiland | Polygoon | 202817,06 | 439232,53 |
| Weiland | 3374   | 2      | 09:35, 6 dec 2018 | Weiland | Weiland | Polygoon | 202929,05 | 439075,87 |
| Weiland | 3386   | 2      | 09:35, 6 dec 2018 | Weiland | Weiland | Polygoon | 203715,63 | 438316,33 |
| Weiland | 3405   | 2      | 09:35, 6 dec 2018 | Weiland | Weiland | Polygoon | 203808,71 | 438248,75 |
| Weiland | 3422   | 2      | 09:35, 6 dec 2018 | Weiland | Weiland | Polygoon | 203710,60 | 438663,78 |
| Weiland | 3444   | 2      | 09:35, 6 dec 2018 | Weiland | Weiland | Polygoon | 202706,98 | 438998,02 |
| Weiland | 3465   | 2      | 09:35, 6 dec 2018 | Weiland | Weiland | Polygoon | 203725,91 | 438656,37 |
| Weiland | 3473   | 2      | 09:35, 6 dec 2018 | Weiland | Weiland | Polygoon | 203551,12 | 438446,73 |
| Weiland | 3476   | 2      | 09:35, 6 dec 2018 | Weiland | Weiland | Polygoon | 203433,55 | 438880,68 |
| Weiland | 3477   | 2      | 09:35, 6 dec 2018 | Weiland | Weiland | Polygoon | 203687,49 | 438682,30 |
| Weiland | 3486   | 2      | 09:35, 6 dec 2018 | Weiland | Weiland | Polygoon | 202920,22 | 439881,50 |
| Weiland | 3501   | 2      | 09:35, 6 dec 2018 | Weiland | Weiland | Polygoon | 203211,32 | 439073,97 |
| Weiland | 3503   | 2      | 09:35, 6 dec 2018 | Weiland | Weiland | Polygoon | 203380,23 | 438572,65 |
| Weiland | 3516   | 2      | 09:35, 6 dec 2018 | Weiland | Weiland | Polygoon | 203893,58 | 438179,86 |
| Weiland | 3519   | 2      | 09:35, 6 dec 2018 | Weiland | Weiland | Polygoon | 203592,02 | 438693,72 |
| Weiland | 3523   | 2      | 09:35, 6 dec 2018 | Weiland | Weiland | Polygoon | 203861,59 | 438223,22 |
| Weiland | 3527   | 2      | 09:35, 6 dec 2018 | Weiland | Weiland | Polygoon | 203316,68 | 439055,09 |
| Weiland | 3528   | 2      | 09:35, 6 dec 2018 | Weiland | Weiland | Polygoon | 203853,70 | 439023,71 |
| Weiland | 3533   | 2      | 09:35, 6 dec 2018 | Weiland | Weiland | Polygoon | 202975,26 | 439497,18 |
| Weiland | 3549   | 2      | 09:35, 6 dec 2018 | Weiland | Weiland | Polygoon | 203921,72 | 439258,53 |
| Weiland | 3550   | 2      | 09:35, 6 dec 2018 | Weiland | Weiland | Polygoon | 203633,78 | 439789,44 |
| Weiland | 3571   | 2      | 09:35, 6 dec 2018 | Weiland | Weiland | Polygoon | 203555,54 | 439243,57 |
| Weiland | 3579   | 2      | 09:35, 6 dec 2018 | Weiland | Weiland | Polygoon | 202853,48 | 439545,76 |
| Weiland | 3597   | 2      | 09:35, 6 dec 2018 | Weiland | Weiland | Polygoon | 203204,10 | 438974,96 |
| Weiland | 3609   | 2      | 09:35, 6 dec 2018 | Weiland | Weiland | Polygoon | 203463,73 | 439015,37 |
| Weiland | 3627   | 2      | 09:35, 6 dec 2018 | Weiland | Weiland | Polygoon | 202975,04 | 439496,98 |
| Weiland | 3650   | 2      | 09:35, 6 dec 2018 | Weiland | Weiland | Polygoon | 203487,11 | 438554,49 |
| Weiland | 3655   | 2      | 09:35, 6 dec 2018 | Weiland | Weiland | Polygoon | 203842,78 | 439964,39 |
| Weiland | 3697   | 2      | 09:35, 6 dec 2018 | Weiland | Weiland | Polygoon | 203139,92 | 438921,70 |
| Weiland | 3700   | 2      | 09:35, 6 dec 2018 | Weiland | Weiland | Polygoon | 203369,99 | 439194,32 |
| Weiland | 3711   | 2      | 09:35, 6 dec 2018 | Weiland | Weiland | Polygoon | 203139,92 | 438921,70 |
| Weiland | 3712   | 2      | 09:35, 6 dec 2018 | Weiland | Weiland | Polygoon | 203737,19 | 438377,60 |
| Weiland | 3713   | 2      | 09:35, 6 dec 2018 | Weiland | Weiland | Polygoon | 202990,27 | 438926,31 |
| Weiland | 3718   | 2      | 09:35, 6 dec 2018 | Weiland | Weiland | Polygoon | 203487,89 | 439135,42 |
| Weiland | 3726   | 2      | 09:35, 6 dec 2018 | Weiland | Weiland | Polygoon | 203204,10 | 438974,96 |
| Weiland | 3753   | 2      | 09:35, 6 dec 2018 | Weiland | Weiland | Polygoon | 203778,35 | 438436,30 |
| Weiland | 3758   | 2      | 09:35, 6 dec 2018 | Weiland | Weiland | Polygoon | 203859,78 | 438226,90 |
| Weiland | 3763   | 2      | 09:35, 6 dec 2018 | Weiland | Weiland | Polygoon | 203430,59 | 438878,55 |
| Weiland | 3792   | 2      | 09:35, 6 dec 2018 | Weiland | Weiland | Polygoon | 204384,99 | 438171,62 |
| Weiland | 3813   | 2      | 09:35, 6 dec 2018 | Weiland | Weiland | Polygoon | 202812,46 | 439054,34 |
| Weiland | 3826   | 2      | 09:35, 6 dec 2018 | Weiland | Weiland | Polygoon | 203966,42 | 439956,90 |
| Weiland | 3829   | 2      | 09:35, 6 dec 2018 | Weiland | Weiland | Polygoon | 202884,91 | 439570,49 |
| Weiland | 3843   | 2      | 09:35, 6 dec 2018 | Weiland | Weiland | Polygoon | 202964,94 | 439505,80 |
| Weiland | 3858   | 2      | 09:35, 6 dec 2018 | Weiland | Weiland | Polygoon | 204119,37 | 438806,38 |
| Weiland | 3864   | 2      | 09:35, 6 dec 2018 | Weiland | Weiland | Polygoon | 204180,03 | 439130,53 |
| Weiland | 3871   | 2      | 09:35, 6 dec 2018 | Weiland | Weiland | Polygoon | 204586,67 | 439743,06 |
| Weiland | 3880   | 2      | 09:35, 6 dec 2018 | Weiland | Weiland | Polygoon | 204319,38 | 439396,40 |
| Weiland | 3911   | 2      | 09:35, 6 dec 2018 | Weiland | Weiland | Polygoon | 204303,36 | 438729,35 |
| Weiland | 3926   | 2      | 09:35, 6 dec 2018 | Weiland | Weiland | Polygoon | 204352,94 | 439201,44 |
| Weiland | 3960   | 2      | 09:35, 6 dec 2018 | Weiland | Weiland | Polygoon | 204121,60 | 439197,32 |
| Weiland | 3961   | 2      | 09:35, 6 dec 2018 | Weiland | Weiland | Polygoon | 204082,04 | 439800,95 |
| Weiland | 3963   | 2      | 09:35, 6 dec 2018 | Weiland | Weiland | Polygoon | 204104,24 | 438496,80 |
| Weiland | 3976   | 2      | 09:35, 6 dec 2018 | Weiland | Weiland | Polygoon | 204049,08 | 440159,36 |
| Weiland | 3980   | 2      | 09:35, 6 dec 2018 | Weiland | Weiland | Polygoon | 204242,19 | 438282,18 |
| Weiland | 3996   | 2      | 09:35, 6 dec 2018 | Weiland | Weiland | Polygoon | 204998,12 | 439534,34 |
| Weiland | 3999   | 2      | 09:35, 6 dec 2018 | Weiland | Weiland | Polygoon | 204643,57 | 439963,24 |
| Weiland | 4005   | 2      | 09:35, 6 dec 2018 | Weiland | Weiland | Polygoon | 204252,49 | 439947,58 |
| Weiland | 4010   | 2      | 09:35, 6 dec 2018 | Weiland | Weiland | Polygoon | 204790,97 | 439561,08 |
| Weiland | 4015   | 2      | 09:35, 6 dec 2018 | Weiland | Weiland | Polygoon | 204940,55 | 439655,77 |
| Weiland | 4021   | 2      | 09:35, 6 dec 2018 | Weiland | Weiland | Polygoon | 204603,06 | 438187,32 |
| Weiland | 4035   | 2      | 09:35, 6 dec 2018 | Weiland | Weiland | Polygoon | 203172,76 | 438904,59 |

## Invoergegevens van het model

Model: Tatelaarweg op basis van 2031 (tracebesluit) met tatelaarweg 80 km/uur  
 Tatelaarweg (2021-07) - Tatelaarweg  
 Groep: (hoofdgroep)  
 Lijst van Bodemgebieden, voor rekenmethode Wegverkeerslawaai - RMG-2012, wegverkeer

| Groep   | Vormpunten | Omtrek  | Oppervlak | Min.lengte | Max.lengte | Bf   |
|---------|------------|---------|-----------|------------|------------|------|
| Weiland | 12         | 185,41  | 241,26    | 0,66       | 66,41      | 0,80 |
| Weiland | 32         | 229,52  | 422,19    | 0,24       | 46,64      | 0,80 |
| Weiland | 4          | 19,14   | 17,66     | 2,44       | 7,09       | 0,80 |
| Weiland | 14         | 213,63  | 2538,12   | 0,22       | 37,93      | 0,80 |
| Weiland | 34         | 151,65  | 221,78    | 0,01       | 43,17      | 0,80 |
| Weiland | 4          | 45,52   | 59,98     | 3,03       | 20,33      | 0,80 |
| Weiland | 24         | 12,87   | 9,97      | 0,18       | 4,42       | 0,80 |
| Weiland | 16         | 131,69  | 398,38    | 1,74       | 27,14      | 0,80 |
| Weiland | 5          | 43,45   | 64,37     | 1,95       | 19,07      | 0,80 |
| Weiland | 47         | 35,09   | 46,39     | 0,08       | 4,92       | 0,80 |
| Weiland | 16         | 92,72   | 114,14    | 0,12       | 21,77      | 0,80 |
| Weiland | 4          | 14,25   | 11,96     | 2,70       | 4,43       | 0,80 |
| Weiland | 7          | 18,74   | 14,70     | 0,67       | 4,93       | 0,80 |
| Weiland | 128        | 1673,99 | 33577,07  | 0,10       | 140,60     | 0,80 |
| Weiland | 22         | 38,91   | 50,39     | 0,24       | 17,00      | 0,80 |
| Weiland | 23         | 85,09   | 128,58    | 0,16       | 24,59      | 0,80 |
| Weiland | 26         | 113,84  | 160,50    | 0,15       | 49,97      | 0,80 |
| Weiland | 48         | 50,75   | 66,15     | 0,01       | 3,55       | 0,80 |
| Weiland | 54         | 198,19  | 378,62    | 0,12       | 27,00      | 0,80 |
| Weiland | 133        | 1113,42 | 44763,39  | 0,06       | 68,24      | 0,80 |
| Weiland | 7          | 66,44   | 67,78     | 0,29       | 31,13      | 0,80 |
| Weiland | 20         | 197,58  | 1563,45   | 0,06       | 24,05      | 0,80 |
| Weiland | 164        | 2165,74 | 112119,74 | 0,09       | 73,15      | 0,80 |
| Weiland | 11         | 132,96  | 468,66    | 0,48       | 33,32      | 0,80 |
| Weiland | 55         | 226,73  | 166,44    | 0,55       | 15,57      | 0,80 |
| Weiland | 39         | 140,29  | 416,88    | 0,08       | 36,98      | 0,80 |
| Weiland | 6          | 28,25   | 24,57     | 2,01       | 7,94       | 0,80 |
| Weiland | 7          | 66,14   | 63,89     | 0,29       | 31,13      | 0,80 |
| Weiland | 9          | 31,52   | 63,86     | 0,63       | 7,42       | 0,80 |
| Weiland | 8          | 98,60   | 55,93     | 1,20       | 28,24      | 0,80 |
| Weiland | 23         | 63,45   | 159,90    | 0,05       | 17,55      | 0,80 |
| Weiland | 12         | 100,05  | 279,97    | 0,01       | 20,18      | 0,80 |
| Weiland | 23         | 72,85   | 175,72    | 0,05       | 17,55      | 0,80 |
| Weiland | 7          | 22,86   | 25,74     | 0,24       | 6,40       | 0,80 |
| Weiland | 7          | 14,80   | 12,92     | 0,09       | 4,60       | 0,80 |
| Weiland | 92         | 1158,51 | 63259,83  | 0,10       | 40,17      | 0,80 |
| Weiland | 55         | 108,47  | 260,97    | 0,19       | 36,98      | 0,80 |
| Weiland | 93         | 92,90   | 123,82    | 0,01       | 33,06      | 0,80 |
| Weiland | 7          | 29,92   | 41,57     | 0,88       | 11,93      | 0,80 |
| Weiland | 9          | 46,53   | 39,41     | 0,37       | 21,20      | 0,80 |
| Weiland | 31         | 367,16  | 665,83    | 0,06       | 33,32      | 0,80 |
| Weiland | 16         | 124,21  | 441,67    | 0,05       | 37,28      | 0,80 |
| Weiland | 230        | 311,06  | 379,43    | 0,01       | 34,64      | 0,80 |
| Weiland | 77         | 229,76  | 180,37    | 0,10       | 14,71      | 0,80 |
| Weiland | 12         | 67,27   | 115,49    | 0,69       | 21,71      | 0,80 |
| Weiland | 37         | 729,97  | 586,31    | 0,17       | 182,77     | 0,80 |
| Weiland | 21         | 110,81  | 114,70    | 0,36       | 24,07      | 0,80 |
| Weiland | 160        | 569,25  | 4573,85   | 0,30       | 42,52      | 0,80 |
| Weiland | 109        | 141,06  | 64,24     | 0,08       | 14,54      | 0,80 |
| Weiland | 237        | 1414,04 | 31603,16  | 0,01       | 79,01      | 0,80 |
| Weiland | 107        | 1233,15 | 33179,12  | 0,04       | 65,97      | 0,80 |
| Weiland | 105        | 1204,23 | 33726,99  | 0,04       | 65,97      | 0,80 |
| Weiland | 114        | 1211,97 | 34424,86  | 0,01       | 52,39      | 0,80 |
| Weiland | 74         | 382,46  | 727,94    | 0,08       | 47,53      | 0,80 |
| Weiland | 178        | 1966,41 | 55830,01  | 0,09       | 104,65     | 0,80 |
| Weiland | 49         | 681,46  | 21499,03  | 0,02       | 230,17     | 0,80 |
| Weiland | 10         | 49,63   | 23,88     | 0,30       | 10,20      | 0,80 |
| Weiland | 52         | 600,07  | 20389,60  | 0,17       | 75,91      | 0,80 |
| Weiland | 16         | 243,30  | 119,55    | 0,19       | 40,91      | 0,80 |
| Weiland | 149        | 2408,48 | 16793,24  | 0,03       | 107,14     | 0,80 |
| Weiland | 28         | 432,88  | 1599,02   | 0,20       | 85,18      | 0,80 |
| Weiland | 17         | 423,20  | 400,67    | 2,66       | 40,29      | 0,80 |
| Weiland | 8          | 84,93   | 106,97    | 0,43       | 33,28      | 0,80 |

## Invoergegevens van het model

Model: Tatelaarweg op basis van 2031 (tracebesluit) met tatelaarweg 80 km/uur  
 Tatelaarweg (2021-07) - Tatelaarweg  
 Groep: (hoofdgroep)  
 Lijst van Bodemgebieden, voor rekenmethode Wegverkeerslawaaï - RMG-2012, wegverkeer

| Groep   | ItemID | Grp.ID | Datum             | Naam    | Omschr. | Vorm     | X-1       | Y-1       |
|---------|--------|--------|-------------------|---------|---------|----------|-----------|-----------|
| Weiland | 4050   | 2      | 09:35, 6 dec 2018 | Weiland | Weiland | Polygoon | 203550,24 | 438443,22 |
| Weiland | 4090   | 2      | 09:35, 6 dec 2018 | Weiland | Weiland | Polygoon | 203709,03 | 438665,77 |
| Weiland | 4105   | 2      | 09:35, 6 dec 2018 | Weiland | Weiland | Polygoon | 202922,60 | 440034,83 |
| Weiland | 4109   | 2      | 09:35, 6 dec 2018 | Weiland | Weiland | Polygoon | 202843,32 | 439536,14 |
| Weiland | 4115   | 2      | 09:35, 6 dec 2018 | Weiland | Weiland | Polygoon | 203811,28 | 439955,85 |
| Weiland | 4121   | 2      | 09:35, 6 dec 2018 | Weiland | Weiland | Polygoon | 203462,09 | 439013,28 |
| Weiland | 4154   | 2      | 09:35, 6 dec 2018 | Weiland | Weiland | Polygoon | 203475,09 | 438538,84 |
| Weiland | 4181   | 2      | 09:35, 6 dec 2018 | Weiland | Weiland | Polygoon | 203512,76 | 438819,92 |
| Weiland | 4186   | 2      | 09:35, 6 dec 2018 | Weiland | Weiland | Polygoon | 203194,54 | 438967,50 |
| Weiland | 4190   | 2      | 09:35, 6 dec 2018 | Weiland | Weiland | Polygoon | 203385,71 | 439674,16 |
| Weiland | 4205   | 2      | 09:35, 6 dec 2018 | Weiland | Weiland | Polygoon | 202836,51 | 439338,79 |
| Weiland | 4237   | 2      | 09:35, 6 dec 2018 | Weiland | Weiland | Polygoon | 204384,99 | 438171,62 |
| Weiland | 4246   | 2      | 09:35, 6 dec 2018 | Weiland | Weiland | Polygoon | 203896,49 | 438268,76 |
| Weiland | 4290   | 2      | 09:35, 6 dec 2018 | Weiland | Weiland | Polygoon | 204474,85 | 438990,99 |
| Weiland | 4294   | 2      | 09:35, 6 dec 2018 | Weiland | Weiland | Polygoon | 204721,54 | 439738,04 |
| Weiland | 4299   | 2      | 09:35, 6 dec 2018 | Weiland | Weiland | Polygoon | 202883,07 | 439431,54 |
| Weiland | 4311   | 2      | 09:35, 6 dec 2018 | Weiland | Weiland | Polygoon | 204023,91 | 438584,78 |
| Weiland | 4312   | 2      | 09:35, 6 dec 2018 | Weiland | Weiland | Polygoon | 204022,89 | 438583,45 |
| Weiland | 4313   | 2      | 09:35, 6 dec 2018 | Weiland | Weiland | Polygoon | 202833,34 | 439495,24 |
| Weiland | 4346   | 2      | 09:35, 6 dec 2018 | Weiland | Weiland | Polygoon | 204453,55 | 438040,47 |
| Weiland | 4347   | 2      | 09:35, 6 dec 2018 | Weiland | Weiland | Polygoon | 204209,06 | 438285,66 |
| Weiland | 4350   | 2      | 09:35, 6 dec 2018 | Weiland | Weiland | Polygoon | 204427,53 | 438337,25 |
| Weiland | 4362   | 2      | 09:35, 6 dec 2018 | Weiland | Weiland | Polygoon | 204603,06 | 438187,32 |
| Weiland | 4364   | 2      | 09:35, 6 dec 2018 | Weiland | Weiland | Polygoon | 204343,81 | 438339,80 |
| Weiland | 4374   | 2      | 09:35, 6 dec 2018 | Weiland | Weiland | Polygoon | 202687,30 | 438955,75 |
| Weiland | 4376   | 2      | 09:35, 6 dec 2018 | Weiland | Weiland | Polygoon | 203385,25 | 439070,59 |
| Weiland | 4390   | 2      | 09:35, 6 dec 2018 | Weiland | Weiland | Polygoon | 204973,08 | 439642,79 |
| Weiland | 4413   | 2      | 09:35, 6 dec 2018 | Weiland | Weiland | Polygoon | 202809,71 | 438955,04 |
| Weiland | 4416   | 2      | 09:35, 6 dec 2018 | Weiland | Weiland | Polygoon | 203124,29 | 439120,88 |
| Weiland | 4422   | 2      | 09:35, 6 dec 2018 | Weiland | Weiland | Polygoon | 203362,17 | 438590,36 |
| Weiland | 4424   | 2      | 09:35, 6 dec 2018 | Weiland | Weiland | Polygoon | 202792,98 | 439034,68 |
| Weiland | 4435   | 2      | 09:35, 6 dec 2018 | Weiland | Weiland | Polygoon | 202832,07 | 439549,51 |
| Weiland | 4438   | 2      | 09:35, 6 dec 2018 | Weiland | Weiland | Polygoon | 202822,82 | 439257,14 |
| Weiland | 4442   | 2      | 09:35, 6 dec 2018 | Weiland | Weiland | Polygoon | 205007,46 | 439611,73 |
| Weiland | 4504   | 2      | 09:35, 6 dec 2018 | Weiland | Weiland | Polygoon | 203882,52 | 439687,87 |
| Weiland | 4505   | 2      | 09:35, 6 dec 2018 | Weiland | Weiland | Polygoon | 204291,94 | 439346,19 |
| Weiland | 4506   | 2      | 09:35, 6 dec 2018 | Weiland | Weiland | Polygoon | 203995,36 | 439952,08 |
| Weiland | 4507   | 2      | 09:35, 6 dec 2018 | Weiland | Weiland | Polygoon | 203381,64 | 440939,98 |
| Weiland | 4512   | 2      | 09:35, 6 dec 2018 | Weiland | Weiland | Polygoon | 204384,99 | 438171,62 |
| Weiland | 4514   | 2      | 09:35, 6 dec 2018 | Weiland | Weiland | Polygoon | 204674,16 | 438955,92 |
| Weiland | 4516   | 2      | 09:35, 6 dec 2018 | Weiland | Weiland | Polygoon | 204603,06 | 438187,32 |
| Weiland | 4520   | 2      | 09:35, 6 dec 2018 | Weiland | Weiland | Polygoon | 204242,19 | 438282,18 |
| Weiland | 4525   | 2      | 09:35, 6 dec 2018 | Weiland | Weiland | Polygoon | 204352,72 | 438696,93 |
| Weiland | 4526   | 2      | 09:35, 6 dec 2018 | Weiland | Weiland | Polygoon | 204380,44 | 438150,28 |
| Weiland | 4544   | 2      | 09:35, 6 dec 2018 | Weiland | Weiland | Polygoon | 202934,78 | 439464,40 |
| Weiland | 4545   | 2      | 09:35, 6 dec 2018 | Weiland | Weiland | Polygoon | 203797,21 | 438813,71 |
| Weiland | 4546   | 2      | 09:35, 6 dec 2018 | Weiland | Weiland | Polygoon | 202839,31 | 439224,48 |
| Weiland | 4550   | 2      | 09:35, 6 dec 2018 | Weiland | Weiland | Polygoon | 203477,48 | 438541,88 |
| Weiland | 4552   | 2      | 09:35, 6 dec 2018 | Weiland | Weiland | Polygoon | 203383,14 | 439903,27 |
| Weiland | 4554   | 2      | 09:35, 6 dec 2018 | Weiland | Weiland | Polygoon | 202773,54 | 438960,81 |
| Weiland | 4555   | 2      | 09:35, 6 dec 2018 | Weiland | Weiland | Polygoon | 202925,51 | 439887,05 |
| Weiland | 4559   | 2      | 09:35, 6 dec 2018 | Weiland | Weiland | Polygoon | 203627,24 | 438384,16 |
| Weiland | 4572   | 2      | 09:35, 6 dec 2018 | Weiland | Weiland | Polygoon | 202779,14 | 439026,94 |
| Weiland | 4596   | 2      | 09:35, 6 dec 2018 | Weiland | Weiland | Polygoon | 204899,49 | 439530,72 |
| Weiland | 4602   | 2      | 09:35, 6 dec 2018 | Weiland | Weiland | Polygoon | 204706,93 | 438958,00 |
| Weiland | 4624   | 2      | 09:35, 6 dec 2018 | Weiland | Weiland | Polygoon | 204015,46 | 439949,95 |
| Weiland | 4625   | 2      | 09:35, 6 dec 2018 | Weiland | Weiland | Polygoon | 203813,17 | 438808,32 |
| Weiland | 4631   | 2      | 09:35, 6 dec 2018 | Weiland | Weiland | Polygoon | 205029,18 | 439930,09 |
| Weiland | 4657   | 2      | 09:35, 6 dec 2018 | Weiland | Weiland | Polygoon | 204134,53 | 439153,04 |
| Weiland | 4660   | 2      | 09:35, 6 dec 2018 | Weiland | Weiland | Polygoon | 203876,59 | 438242,76 |
| Weiland | 4662   | 2      | 09:35, 6 dec 2018 | Weiland | Weiland | Polygoon | 204723,45 | 439591,71 |
| Weiland | 4666   | 2      | 09:35, 6 dec 2018 | Weiland | Weiland | Polygoon | 203518,53 | 438811,65 |
| Weiland | 4667   | 2      | 09:35, 6 dec 2018 | Weiland | Weiland | Polygoon | 204299,55 | 439341,11 |

## Invoergegevens van het model

Model: Tatelaarweg op basis van 2031 (tracebesluit) met tatelaarweg 80 km/uur  
 Tatelaarweg (2021-07) - Tatelaarweg  
 Groep: (hoofdgroep)  
 Lijst van Bodemgebieden, voor rekenmethode Wegverkeerslawaai - RMG-2012, wegverkeer

| Groep   | Vormpunten | Omtrek  | Oppervlak | Min.lengte | Max.lengte | Bf   |
|---------|------------|---------|-----------|------------|------------|------|
| Weiland | 35         | 111,54  | 155,82    | 0,82       | 36,19      | 0,80 |
| Weiland | 12         | 98,22   | 117,11    | 0,44       | 31,96      | 0,80 |
| Weiland | 11         | 122,03  | 89,92     | 1,96       | 40,69      | 0,80 |
| Weiland | 25         | 77,97   | 104,58    | 0,54       | 19,10      | 0,80 |
| Weiland | 21         | 292,08  | 4371,46   | 0,84       | 44,53      | 0,80 |
| Weiland | 29         | 698,74  | 861,09    | 1,23       | 42,85      | 0,80 |
| Weiland | 38         | 105,71  | 150,17    | 0,11       | 18,12      | 0,80 |
| Weiland | 13         | 35,98   | 42,93     | 0,53       | 16,44      | 0,80 |
| Weiland | 19         | 127,55  | 276,72    | 0,31       | 28,76      | 0,80 |
| Weiland | 164        | 1309,89 | 44750,00  | 0,04       | 74,96      | 0,80 |
| Weiland | 26         | 75,73   | 243,18    | 0,11       | 12,63      | 0,80 |
| Weiland | 56         | 293,13  | 325,10    | 0,16       | 31,03      | 0,80 |
| Weiland | 83         | 57,81   | 41,57     | 0,01       | 16,93      | 0,80 |
| Weiland | 8          | 44,09   | 34,61     | 0,84       | 13,63      | 0,80 |
| Weiland | 70         | 815,52  | 5187,58   | 0,51       | 58,88      | 0,80 |
| Weiland | 56         | 1131,59 | 2819,91   | 0,24       | 59,29      | 0,80 |
| Weiland | 22         | 578,64  | 422,29    | 1,67       | 42,04      | 0,80 |
| Weiland | 22         | 562,83  | 432,64    | 1,67       | 45,48      | 0,80 |
| Weiland | 17         | 158,51  | 185,06    | 1,36       | 39,16      | 0,80 |
| Weiland | 52         | 109,28  | 157,57    | 0,17       | 10,91      | 0,80 |
| Weiland | 7          | 77,57   | 102,98    | 0,15       | 37,27      | 0,80 |
| Weiland | 164        | 1801,23 | 81258,79  | 0,02       | 102,50     | 0,80 |
| Weiland | 34         | 585,38  | 659,10    | 1,34       | 32,91      | 0,80 |
| Weiland | 10         | 180,24  | 147,99    | 1,87       | 40,01      | 0,80 |
| Weiland | 11         | 97,25   | 83,33     | 0,17       | 42,13      | 0,80 |
| Weiland | 10         | 106,10  | 234,98    | 0,44       | 45,30      | 0,80 |
| Weiland | 41         | 309,10  | 1386,20   | 0,07       | 56,32      | 0,80 |
| Weiland | 23         | 68,54   | 236,68    | 0,20       | 22,94      | 0,80 |
| Weiland | 42         | 16,09   | 15,19     | 0,09       | 4,03       | 0,80 |
| Weiland | 19         | 120,46  | 191,61    | 0,38       | 46,07      | 0,80 |
| Weiland | 26         | 94,76   | 135,35    | 0,21       | 36,39      | 0,80 |
| Weiland | 5          | 5,93    | 0,42      | 0,24       | 2,12       | 0,80 |
| Weiland | 4          | 18,23   | 14,12     | 1,96       | 7,15       | 0,80 |
| Weiland | 19         | 371,15  | 227,46    | 2,09       | 128,00     | 0,80 |
| Weiland | 261        | 2202,79 | 136550,88 | 0,06       | 76,74      | 0,80 |
| Weiland | 253        | 2202,78 | 136549,48 | 0,11       | 76,74      | 0,80 |
| Weiland | 16         | 79,42   | 142,13    | 0,05       | 34,63      | 0,80 |
| Weiland | 148        | 3528,09 | 4635,15   | 0,01       | 101,04     | 0,80 |
| Weiland | 62         | 464,94  | 10425,40  | 0,28       | 32,88      | 0,80 |
| Weiland | 28         | 240,14  | 219,82    | 0,19       | 27,83      | 0,80 |
| Weiland | 54         | 727,76  | 2914,74   | 0,74       | 90,39      | 0,80 |
| Weiland | 38         | 495,68  | 946,61    | 0,11       | 230,17     | 0,80 |
| Weiland | 38         | 605,04  | 2064,36   | 0,12       | 55,50      | 0,80 |
| Weiland | 10         | 6,31    | 2,03      | 0,30       | 1,73       | 0,80 |
| Weiland | 18         | 237,63  | 1022,87   | 1,45       | 33,26      | 0,80 |
| Weiland | 22         | 29,09   | 15,56     | 0,18       | 3,98       | 0,80 |
| Weiland | 21         | 83,10   | 214,64    | 0,51       | 18,88      | 0,80 |
| Weiland | 4          | 23,54   | 26,34     | 2,99       | 8,78       | 0,80 |
| Weiland | 52         | 1658,00 | 4480,95   | 0,24       | 116,19     | 0,80 |
| Weiland | 173        | 853,11  | 4934,89   | 0,16       | 65,92      | 0,80 |
| Weiland | 6          | 15,99   | 11,60     | 1,38       | 3,93       | 0,80 |
| Weiland | 4          | 60,71   | 80,58     | 3,13       | 28,32      | 0,80 |
| Weiland | 35         | 140,81  | 475,09    | 0,05       | 29,88      | 0,80 |
| Weiland | 8          | 22,40   | 7,58      | 0,68       | 7,52       | 0,80 |
| Weiland | 11         | 51,38   | 33,45     | 0,82       | 18,40      | 0,80 |
| Weiland | 16         | 387,81  | 7889,03   | 4,88       | 52,39      | 0,80 |
| Weiland | 44         | 838,41  | 4056,05   | 0,57       | 68,24      | 0,80 |
| Weiland | 51         | 232,59  | 221,83    | 0,01       | 29,23      | 0,80 |
| Weiland | 54         | 232,23  | 214,57    | 0,11       | 102,94     | 0,80 |
| Weiland | 7          | 38,07   | 27,65     | 1,48       | 15,32      | 0,80 |
| Weiland | 18         | 153,44  | 434,73    | 0,62       | 24,98      | 0,80 |
| Weiland | 12         | 83,75   | 119,17    | 0,16       | 26,94      | 0,80 |
| Weiland | 56         | 415,78  | 7668,10   | 0,05       | 49,66      | 0,80 |

## Invoergegevens van het model

Model: Tatelaarweg op basis van 2031 (tracebesluit) met tatelaarweg 80 km/uur  
 Tatelaarweg (2021-07) - Tatelaarweg  
 Groep: (hoofdgroep)  
 Lijst van Bodemgebieden, voor rekenmethode Wegverkeerslawaaai - RMG-2012, wegverkeer

| Groep   | ItemID | Grp.ID | Datum             | Naam    | Omschr. | Vorm     | X-1       | Y-1       |
|---------|--------|--------|-------------------|---------|---------|----------|-----------|-----------|
| Weiland | 4669   | 2      | 09:35, 6 dec 2018 | Weiland | Weiland | Polygoon | 204320,71 | 439399,96 |
| Weiland | 4675   | 2      | 09:35, 6 dec 2018 | Weiland | Weiland | Polygoon | 204464,98 | 439467,63 |
| Weiland | 4678   | 2      | 09:35, 6 dec 2018 | Weiland | Weiland | Polygoon | 203400,05 | 440922,14 |
| Weiland | 4688   | 2      | 09:35, 6 dec 2018 | Weiland | Weiland | Polygoon | 204680,21 | 438958,27 |
| Weiland | 4694   | 2      | 09:35, 6 dec 2018 | Weiland | Weiland | Polygoon | 204032,35 | 438068,83 |
| Weiland | 4700   | 2      | 09:35, 6 dec 2018 | Weiland | Weiland | Polygoon | 204120,31 | 439200,14 |
| Weiland | 4709   | 2      | 09:35, 6 dec 2018 | Weiland | Weiland | Polygoon | 204867,60 | 439497,87 |
| Weiland | 4715   | 2      | 09:35, 6 dec 2018 | Weiland | Weiland | Polygoon | 203129,70 | 439265,66 |
| Weiland | 4716   | 2      | 09:35, 6 dec 2018 | Weiland | Weiland | Polygoon | 203382,44 | 439157,27 |
| Weiland | 4723   | 2      | 09:35, 6 dec 2018 | Weiland | Weiland | Polygoon | 203393,90 | 438566,01 |
| Weiland | 4727   | 2      | 09:35, 6 dec 2018 | Weiland | Weiland | Polygoon | 202745,38 | 439118,51 |
| Weiland | 4730   | 2      | 09:35, 6 dec 2018 | Weiland | Weiland | Polygoon | 203127,70 | 438885,46 |
| Weiland | 4743   | 2      | 09:35, 6 dec 2018 | Weiland | Weiland | Polygoon | 203570,36 | 438775,61 |
| Weiland | 4745   | 2      | 09:35, 6 dec 2018 | Weiland | Weiland | Polygoon | 202815,29 | 439124,56 |
| Weiland | 4750   | 2      | 09:35, 6 dec 2018 | Weiland | Weiland | Polygoon | 203419,69 | 438546,34 |
| Weiland | 4754   | 2      | 09:35, 6 dec 2018 | Weiland | Weiland | Polygoon | 202907,84 | 439798,79 |
| Weiland | 4755   | 2      | 09:35, 6 dec 2018 | Weiland | Weiland | Polygoon | 202891,21 | 439318,88 |
| Weiland | 4767   | 2      | 09:35, 6 dec 2018 | Weiland | Weiland | Polygoon | 203789,13 | 439971,30 |
| Weiland | 4768   | 2      | 09:35, 6 dec 2018 | Weiland | Weiland | Polygoon | 203519,84 | 439262,94 |
| Weiland | 4769   | 2      | 09:35, 6 dec 2018 | Weiland | Weiland | Polygoon | 202929,27 | 439943,71 |
| Weiland | 4785   | 2      | 09:35, 6 dec 2018 | Weiland | Weiland | Polygoon | 204635,25 | 439444,50 |
| Weiland | 4789   | 2      | 09:35, 6 dec 2018 | Weiland | Weiland | Polygoon | 204643,91 | 438180,81 |
| Weiland | 4800   | 2      | 09:35, 6 dec 2018 | Weiland | Weiland | Polygoon | 204129,92 | 439956,94 |
| Weiland | 4813   | 2      | 09:35, 6 dec 2018 | Weiland | Weiland | Polygoon | 204352,94 | 439201,44 |
| Weiland | 4835   | 2      | 09:35, 6 dec 2018 | Weiland | Weiland | Polygoon | 202837,40 | 438969,59 |
| Weiland | 4842   | 2      | 09:35, 6 dec 2018 | Weiland | Weiland | Polygoon | 203143,04 | 438923,68 |
| Weiland | 4843   | 2      | 09:35, 6 dec 2018 | Weiland | Weiland | Polygoon | 203827,26 | 438574,73 |
| Weiland | 4853   | 2      | 09:35, 6 dec 2018 | Weiland | Weiland | Polygoon | 203776,88 | 438617,22 |
| Weiland | 4860   | 2      | 09:35, 6 dec 2018 | Weiland | Weiland | Polygoon | 203205,78 | 438958,74 |
| Weiland | 4866   | 2      | 09:35, 6 dec 2018 | Weiland | Weiland | Polygoon | 203092,30 | 438902,31 |
| Weiland | 4888   | 2      | 09:35, 6 dec 2018 | Weiland | Weiland | Polygoon | 202975,04 | 439496,98 |
| Weiland | 4889   | 2      | 09:35, 6 dec 2018 | Weiland | Weiland | Polygoon | 202923,73 | 439950,65 |
| Weiland | 4901   | 2      | 09:35, 6 dec 2018 | Weiland | Weiland | Polygoon | 204114,07 | 438489,82 |
| Weiland | 4929   | 2      | 09:35, 6 dec 2018 | Weiland | Weiland | Polygoon | 204476,44 | 439777,10 |
| Weiland | 4947   | 2      | 09:35, 6 dec 2018 | Weiland | Weiland | Polygoon | 204075,51 | 437999,77 |
| Weiland | 4956   | 2      | 09:35, 6 dec 2018 | Weiland | Weiland | Polygoon | 203008,42 | 439460,97 |
| Weiland | 4961   | 2      | 09:35, 6 dec 2018 | Weiland | Weiland | Polygoon | 203641,70 | 438376,72 |
| Weiland | 4962   | 2      | 09:35, 6 dec 2018 | Weiland | Weiland | Polygoon | 204022,40 | 439020,93 |
| Weiland | 4983   | 2      | 09:35, 6 dec 2018 | Weiland | Weiland | Polygoon | 203663,73 | 438359,81 |
| Weiland | 5003   | 2      | 09:35, 6 dec 2018 | Weiland | Weiland | Polygoon | 204920,51 | 439512,26 |
| Weiland | 5027   | 2      | 09:35, 6 dec 2018 | Weiland | Weiland | Polygoon | 204854,76 | 439524,97 |
| Weiland | 5033   | 2      | 09:35, 6 dec 2018 | Weiland | Weiland | Polygoon | 204876,68 | 439500,85 |
| Weiland | 5069   | 2      | 09:35, 6 dec 2018 | Weiland | Weiland | Polygoon | 204111,32 | 438794,39 |
| Weiland | 5077   | 2      | 09:35, 6 dec 2018 | Weiland | Weiland | Polygoon | 203969,29 | 439795,00 |
| Weiland | 5123   | 2      | 09:35, 6 dec 2018 | Weiland | Weiland | Polygoon | 204343,81 | 438339,80 |
| Weiland | 5165   | 2      | 09:35, 6 dec 2018 | Weiland | Weiland | Polygoon | 204405,26 | 439306,70 |
| Weiland | 5166   | 2      | 09:35, 6 dec 2018 | Weiland | Weiland | Polygoon | 203995,36 | 439952,08 |
| Weiland | 5186   | 2      | 09:35, 6 dec 2018 | Weiland | Weiland | Polygoon | 204645,75 | 438185,13 |
| Weiland | 5208   | 2      | 09:35, 6 dec 2018 | Weiland | Weiland | Polygoon | 204163,51 | 439273,08 |
| Weiland | 5211   | 2      | 09:35, 6 dec 2018 | Weiland | Weiland | Polygoon | 204900,18 | 437978,96 |
| Weiland | 5219   | 2      | 09:35, 6 dec 2018 | Weiland | Weiland | Polygoon | 203400,02 | 439540,40 |
| Weiland | 5251   | 2      | 09:35, 6 dec 2018 | Weiland | Weiland | Polygoon | 203400,02 | 439540,40 |
| Weiland | 5318   | 2      | 09:35, 6 dec 2018 | Weiland | Weiland | Polygoon | 204218,66 | 439112,29 |
| Weiland | 5325   | 2      | 09:35, 6 dec 2018 | Weiland | Weiland | Polygoon | 203673,64 | 438692,89 |
| Weiland | 5327   | 2      | 09:35, 6 dec 2018 | Weiland | Weiland | Polygoon | 203192,13 | 438933,74 |
| Weiland | 5361   | 2      | 09:35, 6 dec 2018 | Weiland | Weiland | Polygoon | 204464,98 | 439467,63 |
| Weiland | 5373   | 2      | 09:35, 6 dec 2018 | Weiland | Weiland | Polygoon | 203858,64 | 438225,40 |
| Weiland | 5377   | 2      | 09:35, 6 dec 2018 | Weiland | Weiland | Polygoon | 203433,55 | 438880,68 |
| Weiland | 5497   | 2      | 09:35, 6 dec 2018 | Weiland | Weiland | Polygoon | 203691,97 | 439181,46 |
| Weiland | 5512   | 2      | 09:35, 6 dec 2018 | Weiland | Weiland | Polygoon | 204613,53 | 440014,49 |
| Weiland | 5513   | 2      | 09:35, 6 dec 2018 | Weiland | Weiland | Polygoon | 205018,71 | 440035,14 |
| Weiland | 5521   | 2      | 09:35, 6 dec 2018 | Weiland | Weiland | Polygoon | 203760,91 | 439972,43 |
| Weiland | 5533   | 2      | 09:35, 6 dec 2018 | Weiland | Weiland | Polygoon | 204591,20 | 440009,12 |

## Invoergegevens van het model

Model: Tatelaarweg op basis van 2031 (tracebesluit) met tatelaarweg 80 km/uur  
 Tatelaarweg (2021-07) - Tatelaarweg  
 Groep: (hoofdgroep)  
 Lijst van Bodemgebieden, voor rekenmethode Wegverkeerslawaaï - RMG-2012, wegverkeer

| Groep   | Vormpunten | Omtrek  | Oppervlak | Min.lengte | Max.lengte | Bf   |
|---------|------------|---------|-----------|------------|------------|------|
| Weiland | 40         | 119,45  | 87,29     | 0,17       | 42,09      | 0,80 |
| Weiland | 362        | 2435,40 | 136386,69 | 0,06       | 97,56      | 0,80 |
| Weiland | 543        | 8337,34 | 9358,57   | 0,01       | 373,10     | 0,80 |
| Weiland | 14         | 51,17   | 32,80     | 0,39       | 11,72      | 0,80 |
| Weiland | 24         | 72,15   | 251,04    | 0,11       | 9,84       | 0,80 |
| Weiland | 145        | 527,58  | 352,44    | 0,05       | 65,97      | 0,80 |
| Weiland | 19         | 54,86   | 36,82     | 0,10       | 15,68      | 0,80 |
| Weiland | 9          | 171,50  | 328,97    | 4,18       | 29,88      | 0,80 |
| Weiland | 10         | 87,38   | 51,22     | 0,60       | 39,07      | 0,80 |
| Weiland | 14         | 41,17   | 53,78     | 0,09       | 18,09      | 0,80 |
| Weiland | 33         | 32,29   | 54,91     | 0,19       | 3,35       | 0,80 |
| Weiland | 81         | 190,71  | 1140,00   | 0,16       | 12,66      | 0,80 |
| Weiland | 36         | 225,19  | 399,94    | 0,09       | 55,99      | 0,80 |
| Weiland | 28         | 211,61  | 768,52    | 0,35       | 48,51      | 0,80 |
| Weiland | 6          | 39,19   | 47,72     | 0,58       | 17,81      | 0,80 |
| Weiland | 7          | 19,28   | 12,94     | 1,03       | 5,10       | 0,80 |
| Weiland | 28         | 376,60  | 8783,69   | 1,62       | 32,78      | 0,80 |
| Weiland | 27         | 448,93  | 8153,26   | 0,34       | 61,58      | 0,80 |
| Weiland | 16         | 239,89  | 2838,88   | 2,98       | 41,31      | 0,80 |
| Weiland | 4          | 16,72   | 15,73     | 2,76       | 5,52       | 0,80 |
| Weiland | 23         | 236,24  | 403,90    | 0,29       | 65,62      | 0,80 |
| Weiland | 43         | 380,69  | 469,90    | 0,35       | 39,97      | 0,80 |
| Weiland | 28         | 91,59   | 220,65    | 0,01       | 25,40      | 0,80 |
| Weiland | 106        | 1233,15 | 33179,13  | 0,04       | 65,97      | 0,80 |
| Weiland | 39         | 128,56  | 433,07    | 0,18       | 20,01      | 0,80 |
| Weiland | 20         | 17,52   | 12,87     | 0,13       | 2,01       | 0,80 |
| Weiland | 10         | 82,99   | 116,38    | 0,41       | 25,24      | 0,80 |
| Weiland | 6          | 20,32   | 21,48     | 0,25       | 7,56       | 0,80 |
| Weiland | 28         | 56,99   | 178,46    | 0,06       | 21,90      | 0,80 |
| Weiland | 4          | 47,95   | 43,33     | 1,95       | 22,01      | 0,80 |
| Weiland | 6          | 66,14   | 63,89     | 0,44       | 31,42      | 0,80 |
| Weiland | 6          | 17,06   | 10,95     | 0,72       | 5,58       | 0,80 |
| Weiland | 205        | 2503,74 | 5018,23   | 0,05       | 304,04     | 0,80 |
| Weiland | 98         | 1138,09 | 24573,05  | 0,04       | 129,67     | 0,80 |
| Weiland | 28         | 20,94   | 27,74     | 0,33       | 6,05       | 0,80 |
| Weiland | 6          | 16,93   | 17,38     | 0,69       | 4,86       | 0,80 |
| Weiland | 4          | 52,36   | 67,51     | 2,90       | 23,28      | 0,80 |
| Weiland | 354        | 1887,87 | 80722,45  | 0,05       | 85,29      | 0,80 |
| Weiland | 28         | 112,30  | 155,72    | 0,39       | 29,99      | 0,80 |
| Weiland | 4          | 120,84  | 242,67    | 3,81       | 57,09      | 0,80 |
| Weiland | 21         | 158,55  | 410,10    | 0,26       | 40,74      | 0,80 |
| Weiland | 17         | 83,10   | 177,70    | 0,51       | 34,53      | 0,80 |
| Weiland | 10         | 82,42   | 337,04    | 0,06       | 31,00      | 0,80 |
| Weiland | 47         | 369,58  | 6660,67   | 0,19       | 60,56      | 0,80 |
| Weiland | 19         | 142,48  | 111,22    | 1,64       | 18,78      | 0,80 |
| Weiland | 228        | 2398,75 | 92585,01  | 0,06       | 72,80      | 0,80 |
| Weiland | 9          | 79,43   | 142,13    | 0,11       | 34,64      | 0,80 |
| Weiland | 15         | 13,38   | 9,18      | 0,27       | 1,89       | 0,80 |
| Weiland | 67         | 337,33  | 200,70    | 0,11       | 33,45      | 0,80 |
| Weiland | 23         | 57,54   | 27,14     | 0,17       | 6,81       | 0,80 |
| Weiland | 144        | 3528,09 | 4635,15   | 0,01       | 101,04     | 0,80 |
| Weiland | 143        | 3528,09 | 4635,15   | 0,01       | 101,04     | 0,80 |
| Weiland | 30         | 371,15  | 339,27    | 0,69       | 47,74      | 0,80 |
| Weiland | 21         | 47,91   | 120,52    | 0,17       | 13,32      | 0,80 |
| Weiland | 26         | 80,04   | 105,80    | 0,47       | 18,27      | 0,80 |
| Weiland | 254        | 2202,78 | 136549,48 | 0,06       | 76,74      | 0,80 |
| Weiland | 37         | 54,48   | 104,40    | 0,01       | 3,64       | 0,80 |
| Weiland | 23         | 159,97  | 263,10    | 0,12       | 50,45      | 0,80 |
| Weiland | 89         | 1158,51 | 63259,74  | 0,10       | 40,17      | 0,80 |
| Weiland | 35         | 166,58  | 398,08    | 0,40       | 28,38      | 0,80 |
| Weiland | 42         | 208,24  | 108,83    | 0,01       | 19,46      | 0,80 |
| Weiland | 34         | 517,08  | 7186,23   | 0,03       | 61,58      | 0,80 |
| Weiland | 50         | 598,49  | 20274,58  | 0,46       | 75,91      | 0,80 |



## Invoergegevens van het model

Model: Tatelaarweg op basis van 2031 (tracebesluit) met tatelaarweg 80 km/uur  
 Tatelaarweg (2021-07) - Tatelaarweg  
 Groep: (hoofdgroep)  
 Lijst van Bodemgebieden, voor rekenmethode Wegverkeerslawaaai - RMG-2012, wegverkeer

| Groep   | ItemID | Grp.ID | Datum             | Naam    | Omschr. | Vorm     | X-1       | Y-1       |
|---------|--------|--------|-------------------|---------|---------|----------|-----------|-----------|
| Weiland | 5542   | 2      | 09:35, 6 dec 2018 | Weiland | Weiland | Polygoon | 204610,73 | 440018,77 |
| Weiland | 5551   | 2      | 09:35, 6 dec 2018 | Weiland | Weiland | Polygoon | 204940,55 | 439655,77 |
| Weiland | 5552   | 2      | 09:35, 6 dec 2018 | Weiland | Weiland | Polygoon | 204607,41 | 439819,08 |
| Weiland | 5556   | 2      | 09:35, 6 dec 2018 | Weiland | Weiland | Polygoon | 204888,08 | 437973,08 |
| Weiland | 5559   | 2      | 09:35, 6 dec 2018 | Weiland | Weiland | Polygoon | 204651,11 | 440056,82 |
| Weiland | 5565   | 2      | 09:35, 6 dec 2018 | Weiland | Weiland | Polygoon | 204730,04 | 439467,43 |
| Weiland | 5570   | 2      | 09:35, 6 dec 2018 | Weiland | Weiland | Polygoon | 204107,65 | 439948,96 |
| Weiland | 5573   | 2      | 09:35, 6 dec 2018 | Weiland | Weiland | Polygoon | 204646,93 | 440061,40 |
| Weiland | 5579   | 2      | 09:35, 6 dec 2018 | Weiland | Weiland | Polygoon | 203350,50 | 439101,44 |
| Weiland | 5580   | 2      | 09:35, 6 dec 2018 | Weiland | Weiland | Polygoon | 203613,59 | 439977,36 |
| Weiland | 5589   | 2      | 09:35, 6 dec 2018 | Weiland | Weiland | Polygoon | 204182,82 | 439785,92 |
| Weiland | 5593   | 2      | 09:35, 6 dec 2018 | Weiland | Weiland | Polygoon | 204389,02 | 438277,82 |
| Weiland | 5594   | 2      | 09:35, 6 dec 2018 | Weiland | Weiland | Polygoon | 204499,97 | 439743,42 |
| Weiland | 5602   | 2      | 09:35, 6 dec 2018 | Weiland | Weiland | Polygoon | 203124,14 | 438900,33 |
| Weiland | 5604   | 2      | 09:35, 6 dec 2018 | Weiland | Weiland | Polygoon | 203594,21 | 438696,43 |
| Weiland | 5609   | 2      | 09:35, 6 dec 2018 | Weiland | Weiland | Polygoon | 203487,11 | 438554,49 |
| Weiland | 5613   | 2      | 09:35, 6 dec 2018 | Weiland | Weiland | Polygoon | 202907,31 | 439427,23 |
| Weiland | 5615   | 2      | 09:35, 6 dec 2018 | Weiland | Weiland | Polygoon | 203003,60 | 439466,26 |
| Weiland | 5621   | 2      | 09:35, 6 dec 2018 | Weiland | Weiland | Polygoon | 203299,89 | 438637,88 |
| Weiland | 5622   | 2      | 09:35, 6 dec 2018 | Weiland | Weiland | Polygoon | 203370,51 | 439028,57 |
| Weiland | 5634   | 2      | 09:35, 6 dec 2018 | Weiland | Weiland | Polygoon | 203451,38 | 439019,38 |
| Weiland | 5671   | 2      | 09:35, 6 dec 2018 | Weiland | Weiland | Polygoon | 203382,44 | 439157,27 |
| Weiland | 5672   | 2      | 09:35, 6 dec 2018 | Weiland | Weiland | Polygoon | 203499,83 | 439833,59 |
| Weiland | 5676   | 2      | 09:35, 6 dec 2018 | Weiland | Weiland | Polygoon | 204940,55 | 439655,77 |
| Weiland | 5717   | 2      | 09:35, 6 dec 2018 | Weiland | Weiland | Polygoon | 204096,74 | 439820,84 |
| Weiland | 5719   | 2      | 09:35, 6 dec 2018 | Weiland | Weiland | Polygoon | 204405,26 | 439306,70 |
| Weiland | 5739   | 2      | 09:35, 6 dec 2018 | Weiland | Weiland | Polygoon | 204892,58 | 439523,77 |
| Weiland | 5759   | 2      | 09:35, 6 dec 2018 | Weiland | Weiland | Polygoon | 204840,45 | 439490,62 |
| Weiland | 5815   | 2      | 09:35, 6 dec 2018 | Weiland | Weiland | Polygoon | 204817,32 | 439727,71 |
| Weiland | 5827   | 2      | 09:35, 6 dec 2018 | Weiland | Weiland | Polygoon | 203083,94 | 438905,89 |
| Weiland | 5830   | 2      | 09:35, 6 dec 2018 | Weiland | Weiland | Polygoon | 204538,58 | 439994,32 |
| Weiland | 5863   | 2      | 09:35, 6 dec 2018 | Weiland | Weiland | Polygoon | 204790,97 | 439561,08 |
| Weiland | 5880   | 2      | 09:35, 6 dec 2018 | Weiland | Weiland | Polygoon | 204410,59 | 438559,89 |
| Weiland | 5929   | 2      | 09:35, 6 dec 2018 | Weiland | Weiland | Polygoon | 204822,31 | 439649,62 |
| Weiland | 5936   | 2      | 09:35, 6 dec 2018 | Weiland | Weiland | Polygoon | 204499,97 | 439743,42 |
| Weiland | 5945   | 2      | 09:35, 6 dec 2018 | Weiland | Weiland | Polygoon | 203462,09 | 439013,28 |
| Weiland | 5946   | 2      | 09:35, 6 dec 2018 | Weiland | Weiland | Polygoon | 202913,77 | 439435,96 |
| Weiland | 5962   | 2      | 09:35, 6 dec 2018 | Weiland | Weiland | Polygoon | 204723,99 | 439077,14 |
| Weiland | 6000   | 2      | 09:35, 6 dec 2018 | Weiland | Weiland | Polygoon | 202929,27 | 439943,71 |
| Weiland | 6008   | 2      | 09:35, 6 dec 2018 | Weiland | Weiland | Polygoon | 204694,83 | 438910,86 |
| Weiland | 6012   | 2      | 09:35, 6 dec 2018 | Weiland | Weiland | Polygoon | 203382,91 | 439903,25 |
| Weiland | 6016   | 2      | 09:35, 6 dec 2018 | Weiland | Weiland | Polygoon | 203147,61 | 439525,27 |
| Weiland | 6017   | 2      | 09:35, 6 dec 2018 | Weiland | Weiland | Polygoon | 203613,59 | 439977,36 |
| Weiland | 6023   | 2      | 09:35, 6 dec 2018 | Weiland | Weiland | Polygoon | 202747,86 | 439140,22 |
| Weiland | 6024   | 2      | 09:35, 6 dec 2018 | Weiland | Weiland | Polygoon | 203184,21 | 438951,41 |
| Weiland | 6025   | 2      | 09:35, 6 dec 2018 | Weiland | Weiland | Polygoon | 204736,77 | 439596,14 |
| Weiland | 6032   | 2      | 09:35, 6 dec 2018 | Weiland | Weiland | Polygoon | 202684,74 | 438981,67 |
| Weiland | 6045   | 2      | 09:35, 6 dec 2018 | Weiland | Weiland | Polygoon | 204900,18 | 437978,96 |
| Weiland | 6057   | 2      | 09:35, 6 dec 2018 | Weiland | Weiland | Polygoon | 203959,08 | 439971,14 |
| Weiland | 6058   | 2      | 09:35, 6 dec 2018 | Weiland | Weiland | Polygoon | 203760,91 | 439972,43 |
| Weiland | 6063   | 2      | 09:35, 6 dec 2018 | Weiland | Weiland | Polygoon | 203312,65 | 438973,58 |
| Weiland | 6065   | 2      | 09:35, 6 dec 2018 | Weiland | Weiland | Polygoon | 202890,29 | 439567,14 |
| Weiland | 6079   | 2      | 09:35, 6 dec 2018 | Weiland | Weiland | Polygoon | 203124,59 | 438815,62 |
| Weiland | 6103   | 2      | 09:35, 6 dec 2018 | Weiland | Weiland | Polygoon | 203484,17 | 438555,60 |
| Weiland | 6140   | 2      | 09:35, 6 dec 2018 | Weiland | Weiland | Polygoon | 203789,56 | 439970,07 |
| Weiland | 6155   | 2      | 09:35, 6 dec 2018 | Weiland | Weiland | Polygoon | 204292,53 | 439706,58 |
| Weiland | 6156   | 2      | 09:35, 6 dec 2018 | Weiland | Weiland | Polygoon | 204855,12 | 439933,74 |
| Weiland | 6177   | 2      | 09:35, 6 dec 2018 | Weiland | Weiland | Polygoon | 204647,10 | 438868,99 |
| Weiland | 6182   | 2      | 09:35, 6 dec 2018 | Weiland | Weiland | Polygoon | 204015,46 | 439949,95 |
| Weiland | 6183   | 2      | 09:35, 6 dec 2018 | Weiland | Weiland | Polygoon | 204405,26 | 439306,70 |
| Weiland | 6187   | 2      | 09:35, 6 dec 2018 | Weiland | Weiland | Polygoon | 203265,64 | 439143,84 |
| Weiland | 6190   | 2      | 09:35, 6 dec 2018 | Weiland | Weiland | Polygoon | 203102,47 | 438786,01 |
| Weiland | 6244   | 2      | 09:35, 6 dec 2018 | Weiland | Weiland | Polygoon | 203466,38 | 438855,53 |

## Invoergegevens van het model

Model: Tatelaarweg op basis van 2031 (tracebesluit) met tatelaarweg 80 km/uur  
 Tatelaarweg (2021-07) - Tatelaarweg  
 Groep: (hoofdgroep)  
 Lijst van Bodemgebieden, voor rekenmethode Wegverkeerslawaai - RMG-2012, wegverkeer

| Groep   | Vormpunten | Omtrek  | Oppervlak | Min.lengte | Max.lengte | Bf   |
|---------|------------|---------|-----------|------------|------------|------|
| Weiland | 32         | 163,40  | 373,70    | 0,73       | 28,38      | 0,80 |
| Weiland | 32         | 420,95  | 1282,72   | 0,20       | 85,18      | 0,80 |
| Weiland | 63         | 631,21  | 11165,72  | 0,13       | 57,90      | 0,80 |
| Weiland | 51         | 748,51  | 3332,05   | 1,15       | 90,39      | 0,80 |
| Weiland | 13         | 241,47  | 142,61    | 0,58       | 43,65      | 0,80 |
| Weiland | 33         | 422,09  | 1132,88   | 0,03       | 90,93      | 0,80 |
| Weiland | 109        | 1053,35 | 1438,78   | 0,07       | 39,39      | 0,80 |
| Weiland | 33         | 263,67  | 295,12    | 0,47       | 41,14      | 0,80 |
| Weiland | 4          | 66,18   | 71,69     | 4,21       | 30,00      | 0,80 |
| Weiland | 126        | 1007,94 | 5502,09   | 0,48       | 148,03     | 0,80 |
| Weiland | 64         | 575,07  | 17474,46  | 0,73       | 71,55      | 0,80 |
| Weiland | 57         | 293,13  | 325,10    | 0,16       | 31,03      | 0,80 |
| Weiland | 101        | 1357,55 | 52867,52  | 0,11       | 72,92      | 0,80 |
| Weiland | 14         | 33,91   | 38,35     | 0,18       | 10,20      | 0,80 |
| Weiland | 12         | 267,00  | 3682,53   | 0,27       | 96,67      | 0,80 |
| Weiland | 5          | 20,11   | 20,75     | 0,96       | 7,53       | 0,80 |
| Weiland | 5          | 40,59   | 27,43     | 2,62       | 9,85       | 0,80 |
| Weiland | 6          | 16,62   | 12,05     | 0,55       | 4,86       | 0,80 |
| Weiland | 26         | 33,32   | 34,28     | 0,01       | 11,10      | 0,80 |
| Weiland | 47         | 175,53  | 1898,44   | 0,82       | 27,00      | 0,80 |
| Weiland | 10         | 140,36  | 369,07    | 3,15       | 57,77      | 0,80 |
| Weiland | 10         | 87,12   | 59,41     | 0,71       | 39,07      | 0,80 |
| Weiland | 121        | 1524,20 | 74335,54  | 0,03       | 48,65      | 0,80 |
| Weiland | 31         | 420,95  | 1282,72   | 0,20       | 85,18      | 0,80 |
| Weiland | 216        | 1343,76 | 52088,40  | 0,04       | 89,57      | 0,80 |
| Weiland | 225        | 2438,43 | 92384,77  | 0,06       | 72,80      | 0,80 |
| Weiland | 10         | 33,29   | 3,29      | 0,19       | 8,56       | 0,80 |
| Weiland | 48         | 374,66  | 389,50    | 0,08       | 45,13      | 0,80 |
| Weiland | 29         | 381,50  | 1504,31   | 0,65       | 39,67      | 0,80 |
| Weiland | 12         | 45,94   | 41,93     | 0,87       | 5,24       | 0,80 |
| Weiland | 36         | 561,93  | 309,07    | 0,65       | 24,83      | 0,80 |
| Weiland | 147        | 2091,18 | 7877,98   | 0,03       | 107,14     | 0,80 |
| Weiland | 29         | 557,35  | 1361,65   | 0,05       | 47,52      | 0,80 |
| Weiland | 10         | 153,40  | 455,88    | 0,06       | 27,24      | 0,80 |
| Weiland | 102        | 1357,55 | 52867,53  | 0,11       | 72,92      | 0,80 |
| Weiland | 52         | 236,53  | 230,07    | 1,08       | 10,32      | 0,80 |
| Weiland | 32         | 196,92  | 292,05    | 0,30       | 14,02      | 0,80 |
| Weiland | 5          | 59,70   | 213,70    | 9,14       | 18,69      | 0,80 |
| Weiland | 39         | 1043,34 | 29659,12  | 0,26       | 68,11      | 0,80 |
| Weiland | 50         | 239,27  | 896,19    | 0,03       | 36,22      | 0,80 |
| Weiland | 82         | 1200,64 | 48866,96  | 0,05       | 113,93     | 0,80 |
| Weiland | 107        | 145,17  | 326,04    | 0,09       | 24,36      | 0,80 |
| Weiland | 133        | 1008,23 | 5501,90   | 0,46       | 148,03     | 0,80 |
| Weiland | 19         | 18,79   | 18,44     | 0,61       | 3,56       | 0,80 |
| Weiland | 26         | 53,18   | 103,08    | 0,36       | 19,47      | 0,80 |
| Weiland | 18         | 153,44  | 434,77    | 0,62       | 24,98      | 0,80 |
| Weiland | 41         | 95,00   | 61,47     | 0,07       | 18,96      | 0,80 |
| Weiland | 22         | 57,54   | 27,14     | 0,17       | 6,81       | 0,80 |
| Weiland | 63         | 456,01  | 7742,54   | 0,67       | 29,34      | 0,80 |
| Weiland | 68         | 513,99  | 7342,78   | 0,03       | 61,58      | 0,80 |
| Weiland | 9          | 17,39   | 18,20     | 0,44       | 5,65       | 0,80 |
| Weiland | 10         | 47,10   | 5,71      | 0,83       | 12,18      | 0,80 |
| Weiland | 58         | 112,60  | 471,19    | 0,01       | 22,65      | 0,80 |
| Weiland | 6          | 26,48   | 43,11     | 0,63       | 7,53       | 0,80 |
| Weiland | 38         | 77,79   | 201,46    | 0,09       | 18,42      | 0,80 |
| Weiland | 49         | 425,03  | 4451,47   | 0,16       | 30,97      | 0,80 |
| Weiland | 8          | 155,94  | 208,03    | 12,26      | 29,27      | 0,80 |
| Weiland | 105        | 795,18  | 20037,58  | 0,06       | 102,76     | 0,80 |
| Weiland | 111        | 864,84  | 42301,24  | 0,10       | 50,92      | 0,80 |
| Weiland | 231        | 2438,58 | 92371,31  | 0,06       | 72,80      | 0,80 |
| Weiland | 13         | 223,44  | 115,26    | 0,47       | 52,36      | 0,80 |
| Weiland | 12         | 355,62  | 358,25    | 0,65       | 76,41      | 0,80 |
| Weiland | 11         | 74,92   | 109,55    | 0,50       | 34,96      | 0,80 |

## Invoergegevens van het model

Model: Tatelaarweg op basis van 2031 (tracebesluit) met tatelaarweg 80 km/uur  
 Tatelaarweg (2021-07) - Tatelaarweg  
 Groep: (hoofdgroep)  
 Lijst van Bodemgebieden, voor rekenmethode Wegverkeerslawaaï - RMG-2012, wegverkeer

| Groep   | ItemID | Grp.ID | Datum             | Naam    | Omschr. | Vorm     | X-1       | Y-1       |
|---------|--------|--------|-------------------|---------|---------|----------|-----------|-----------|
| Weiland | 6285   | 2      | 09:35, 6 dec 2018 | Weiland | Weiland | Polygoon | 204641,70 | 438847,81 |
| Weiland | 6292   | 2      | 09:35, 6 dec 2018 | Weiland | Weiland | Polygoon | 203780,53 | 438434,61 |
| Weiland | 6297   | 2      | 09:35, 6 dec 2018 | Weiland | Weiland | Polygoon | 204405,26 | 439306,70 |
| Weiland | 6299   | 2      | 09:35, 6 dec 2018 | Weiland | Weiland | Polygoon | 204022,40 | 439020,93 |
| Weiland | 6300   | 2      | 09:35, 6 dec 2018 | Weiland | Weiland | Polygoon | 204583,85 | 438162,52 |
| Weiland | 6301   | 2      | 09:35, 6 dec 2018 | Weiland | Weiland | Polygoon | 202789,79 | 439325,80 |
| Weiland | 6302   | 2      | 09:35, 6 dec 2018 | Weiland | Weiland | Polygoon | 203992,22 | 438671,09 |
| Weiland | 6304   | 2      | 09:35, 6 dec 2018 | Weiland | Weiland | Polygoon | 203155,12 | 439099,55 |
| Weiland | 6317   | 2      | 09:35, 6 dec 2018 | Weiland | Weiland | Polygoon | 204116,08 | 438810,86 |
| Weiland | 6319   | 2      | 09:35, 6 dec 2018 | Weiland | Weiland | Polygoon | 204291,94 | 439346,19 |
| Weiland | 6320   | 2      | 09:35, 6 dec 2018 | Weiland | Weiland | Polygoon | 204889,20 | 438828,69 |
| Weiland | 6321   | 2      | 09:35, 6 dec 2018 | Weiland | Weiland | Polygoon | 204711,12 | 439899,91 |
| Weiland | 6326   | 2      | 09:35, 6 dec 2018 | Weiland | Weiland | Polygoon | 204673,52 | 438955,92 |
| Weiland | 6330   | 2      | 09:35, 6 dec 2018 | Weiland | Weiland | Polygoon | 204601,27 | 439679,26 |
| Weiland | 6347   | 2      | 09:35, 6 dec 2018 | Weiland | Weiland | Polygoon | 202869,18 | 439714,20 |
| Weiland | 6356   | 2      | 09:35, 6 dec 2018 | Weiland | Weiland | Polygoon | 203156,75 | 439300,09 |
| Weiland | 6363   | 2      | 09:35, 6 dec 2018 | Weiland | Weiland | Polygoon | 204790,97 | 439561,08 |
| Weiland | 6371   | 2      | 09:35, 6 dec 2018 | Weiland | Weiland | Polygoon | 204840,05 | 438962,97 |
| Weiland | 6378   | 2      | 09:35, 6 dec 2018 | Weiland | Weiland | Polygoon | 203145,31 | 439346,33 |
| Weiland | 6386   | 2      | 09:35, 6 dec 2018 | Weiland | Weiland | Polygoon | 203893,58 | 438179,86 |
| Weiland | 6424   | 2      | 09:35, 6 dec 2018 | Weiland | Weiland | Polygoon | 203724,73 | 438309,32 |
| Weiland | 6437   | 2      | 09:35, 6 dec 2018 | Weiland | Weiland | Polygoon | 204790,97 | 439561,08 |
| Weiland | 6465   | 2      | 09:35, 6 dec 2018 | Weiland | Weiland | Polygoon | 203785,82 | 438262,49 |
| Weiland | 6486   | 2      | 09:35, 6 dec 2018 | Weiland | Weiland | Polygoon | 202819,38 | 439235,44 |
| Weiland | 6498   | 2      | 09:35, 6 dec 2018 | Weiland | Weiland | Polygoon | 203413,64 | 438551,02 |
| Weiland | 6519   | 2      | 09:35, 6 dec 2018 | Weiland | Weiland | Polygoon | 204840,05 | 438962,97 |
| Weiland | 6531   | 2      | 09:35, 6 dec 2018 | Weiland | Weiland | Polygoon | 204790,97 | 439561,08 |
| Weiland | 6537   | 2      | 09:35, 6 dec 2018 | Weiland | Weiland | Polygoon | 204316,12 | 439411,97 |
| Weiland | 6542   | 2      | 09:35, 6 dec 2018 | Weiland | Weiland | Polygoon | 203991,24 | 438392,24 |
| Weiland | 6552   | 2      | 09:35, 6 dec 2018 | Weiland | Weiland | Polygoon | 204349,92 | 439962,47 |
| Weiland | 6557   | 2      | 09:35, 6 dec 2018 | Weiland | Weiland | Polygoon | 202898,14 | 439726,74 |
| Weiland | 6560   | 2      | 09:35, 6 dec 2018 | Weiland | Weiland | Polygoon | 204078,88 | 439729,38 |
| Weiland | 6569   | 2      | 09:35, 6 dec 2018 | Weiland | Weiland | Polygoon | 203913,46 | 438293,44 |
| Weiland | 6588   | 2      | 09:35, 6 dec 2018 | Weiland | Weiland | Polygoon | 204795,74 | 438850,40 |
| Weiland | 6590   | 2      | 09:35, 6 dec 2018 | Weiland | Weiland | Polygoon | 203695,54 | 439965,08 |
| Weiland | 6594   | 2      | 09:35, 6 dec 2018 | Weiland | Weiland | Polygoon | 204241,32 | 439951,05 |
| Weiland | 6649   | 2      | 09:35, 6 dec 2018 | Weiland | Weiland | Polygoon | 202820,73 | 439243,90 |
| Weiland | 6651   | 2      | 09:35, 6 dec 2018 | Weiland | Weiland | Polygoon | 203786,26 | 438610,01 |
| Weiland | 6661   | 2      | 09:35, 6 dec 2018 | Weiland | Weiland | Polygoon | 202706,98 | 438998,02 |
| Weiland | 6664   | 2      | 09:35, 6 dec 2018 | Weiland | Weiland | Polygoon | 202909,30 | 439769,16 |
| Weiland | 6669   | 2      | 09:35, 6 dec 2018 | Weiland | Weiland | Polygoon | 202811,60 | 439033,26 |
| Weiland | 6676   | 2      | 09:35, 6 dec 2018 | Weiland | Weiland | Polygoon | 203408,00 | 439057,53 |
| Weiland | 6680   | 2      | 09:35, 6 dec 2018 | Weiland | Weiland | Polygoon | 203738,09 | 438803,44 |
| Weiland | 6687   | 2      | 09:35, 6 dec 2018 | Weiland | Weiland | Polygoon | 203746,72 | 439844,84 |
| Weiland | 6690   | 2      | 09:35, 6 dec 2018 | Weiland | Weiland | Polygoon | 204810,09 | 439725,86 |
| Weiland | 6705   | 2      | 09:35, 6 dec 2018 | Weiland | Weiland | Polygoon | 204208,97 | 439625,53 |
| Weiland | 6746   | 2      | 09:35, 6 dec 2018 | Weiland | Weiland | Polygoon | 204573,34 | 439687,59 |
| Weiland | 6770   | 2      | 09:35, 6 dec 2018 | Weiland | Weiland | Polygoon | 203691,97 | 439181,46 |
| Weiland | 6833   | 2      | 09:35, 6 dec 2018 | Weiland | Weiland | Polygoon | 203513,66 | 438589,17 |
| Weiland | 6836   | 2      | 09:35, 6 dec 2018 | Weiland | Weiland | Polygoon | 202834,94 | 439649,35 |
| Weiland | 6853   | 2      | 09:35, 6 dec 2018 | Weiland | Weiland | Polygoon | 204823,24 | 439950,85 |
| Weiland | 6865   | 2      | 09:35, 6 dec 2018 | Weiland | Weiland | Polygoon | 204186,53 | 439786,66 |
| Weiland | 6871   | 2      | 09:35, 6 dec 2018 | Weiland | Weiland | Polygoon | 203602,08 | 438541,84 |
| Weiland | 6885   | 2      | 09:35, 6 dec 2018 | Weiland | Weiland | Polygoon | 204810,09 | 439725,86 |
| Weiland | 6902   | 2      | 09:35, 6 dec 2018 | Weiland | Weiland | Polygoon | 204098,11 | 439954,35 |
| Weiland | 6904   | 2      | 09:35, 6 dec 2018 | Weiland | Weiland | Polygoon | 204114,07 | 438489,82 |
| Weiland | 6916   | 2      | 09:35, 6 dec 2018 | Weiland | Weiland | Polygoon | 203958,09 | 438478,18 |
| Weiland | 6930   | 2      | 09:35, 6 dec 2018 | Weiland | Weiland | Polygoon | 204464,98 | 439467,63 |
| Weiland | 6931   | 2      | 09:35, 6 dec 2018 | Weiland | Weiland | Polygoon | 204551,67 | 439411,15 |
| Weiland | 6944   | 2      | 09:35, 6 dec 2018 | Weiland | Weiland | Polygoon | 203858,64 | 438225,40 |
| Weiland | 6981   | 2      | 09:35, 6 dec 2018 | Weiland | Weiland | Polygoon | 203795,63 | 438255,00 |
| Weiland | 6996   | 2      | 09:35, 6 dec 2018 | Weiland | Weiland | Polygoon | 204854,76 | 439524,97 |
| Weiland | 7003   | 2      | 09:35, 6 dec 2018 | Weiland | Weiland | Polygoon | 204316,12 | 439411,97 |

## Invoergegevens van het model

Model: Tatelaarweg op basis van 2031 (tracebesluit) met tatelaarweg 80 km/uur  
 Tatelaarweg (2021-07) - Tatelaarweg  
 Groep: (hoofdgroep)  
 Lijst van Bodemgebieden, voor rekenmethode Wegverkeerslawaai - RMG-2012, wegverkeer

| Groep   | Vormpunten | Omtrek  | Oppervlak | Min.lengte | Max.lengte | Bf   |
|---------|------------|---------|-----------|------------|------------|------|
| Weiland | 146        | 1475,77 | 71280,96  | 0,02       | 47,52      | 0,80 |
| Weiland | 12         | 75,51   | 149,10    | 0,31       | 33,06      | 0,80 |
| Weiland | 226        | 2438,43 | 92384,76  | 0,06       | 72,80      | 0,80 |
| Weiland | 313        | 1885,01 | 80713,17  | 0,05       | 85,29      | 0,80 |
| Weiland | 11         | 301,03  | 435,11    | 4,74       | 42,98      | 0,80 |
| Weiland | 144        | 383,70  | 854,63    | 0,01       | 48,87      | 0,80 |
| Weiland | 307        | 1887,05 | 80376,13  | 0,05       | 85,29      | 0,80 |
| Weiland | 75         | 66,33   | 47,39     | 0,04       | 31,19      | 0,80 |
| Weiland | 76         | 1460,80 | 96214,71  | 0,33       | 182,77     | 0,80 |
| Weiland | 254        | 2202,78 | 136549,48 | 0,11       | 76,74      | 0,80 |
| Weiland | 6          | 141,45  | 265,62    | 2,26       | 47,23      | 0,80 |
| Weiland | 57         | 769,09  | 25293,73  | 0,17       | 62,69      | 0,80 |
| Weiland | 23         | 412,09  | 5967,62   | 0,10       | 69,17      | 0,80 |
| Weiland | 22         | 422,64  | 857,49    | 2,07       | 55,93      | 0,80 |
| Weiland | 12         | 118,31  | 253,57    | 0,80       | 36,54      | 0,80 |
| Weiland | 6          | 47,18   | 30,52     | 1,30       | 12,88      | 0,80 |
| Weiland | 104        | 1466,86 | 4027,64   | 0,03       | 107,14     | 0,80 |
| Weiland | 18         | 270,65  | 274,85    | 0,15       | 66,93      | 0,80 |
| Weiland | 20         | 264,04  | 3208,53   | 0,53       | 69,13      | 0,80 |
| Weiland | 6          | 66,18   | 98,17     | 3,31       | 19,81      | 0,80 |
| Weiland | 7          | 68,11   | 45,45     | 0,24       | 31,21      | 0,80 |
| Weiland | 118        | 1698,70 | 6352,03   | 0,03       | 107,14     | 0,80 |
| Weiland | 7          | 35,82   | 45,21     | 0,07       | 15,73      | 0,80 |
| Weiland | 4          | 15,12   | 10,69     | 1,86       | 5,71       | 0,80 |
| Weiland | 12         | 41,56   | 56,71     | 0,20       | 18,26      | 0,80 |
| Weiland | 17         | 211,51  | 210,41    | 0,15       | 48,52      | 0,80 |
| Weiland | 148        | 2408,48 | 16793,25  | 0,03       | 107,14     | 0,80 |
| Weiland | 63         | 430,85  | 252,78    | 0,24       | 51,31      | 0,80 |
| Weiland | 9          | 189,75  | 298,51    | 0,03       | 92,64      | 0,80 |
| Weiland | 14         | 174,23  | 994,14    | 1,76       | 46,42      | 0,80 |
| Weiland | 13         | 17,05   | 10,41     | 0,07       | 2,30       | 0,80 |
| Weiland | 67         | 822,57  | 27904,40  | 0,71       | 55,71      | 0,80 |
| Weiland | 10         | 16,37   | 14,78     | 0,02       | 4,93       | 0,80 |
| Weiland | 15         | 431,30  | 10653,41  | 0,78       | 102,76     | 0,80 |
| Weiland | 281        | 3975,59 | 232369,51 | 0,01       | 373,10     | 0,80 |
| Weiland | 102        | 267,66  | 470,78    | 0,10       | 59,45      | 0,80 |
| Weiland | 4          | 13,46   | 9,28      | 1,92       | 4,80       | 0,80 |
| Weiland | 4          | 28,81   | 32,45     | 4,77       | 13,02      | 0,80 |
| Weiland | 24         | 95,31   | 135,10    | 0,02       | 10,54      | 0,80 |
| Weiland | 7          | 18,94   | 12,39     | 0,78       | 4,87       | 0,80 |
| Weiland | 41         | 116,69  | 468,11    | 0,06       | 20,08      | 0,80 |
| Weiland | 11         | 70,35   | 29,87     | 0,95       | 19,37      | 0,80 |
| Weiland | 13         | 103,80  | 145,26    | 0,22       | 37,60      | 0,80 |
| Weiland | 79         | 655,16  | 7873,75   | 0,28       | 55,71      | 0,80 |
| Weiland | 69         | 810,97  | 4946,95   | 0,26       | 58,88      | 0,80 |
| Weiland | 65         | 575,07  | 17474,45  | 0,73       | 71,55      | 0,80 |
| Weiland | 25         | 663,34  | 3404,14   | 0,18       | 113,06     | 0,80 |
| Weiland | 74         | 1014,99 | 15902,74  | 0,10       | 44,29      | 0,80 |
| Weiland | 7          | 10,77   | 7,44      | 0,26       | 3,20       | 0,80 |
| Weiland | 3          | 9,33    | 1,50      | 0,70       | 4,36       | 0,80 |
| Weiland | 134        | 1600,13 | 51702,67  | 0,09       | 77,81      | 0,80 |
| Weiland | 52         | 364,92  | 5146,22   | 0,54       | 49,67      | 0,80 |
| Weiland | 28         | 227,63  | 452,83    | 0,24       | 47,01      | 0,80 |
| Weiland | 71         | 810,97  | 4946,95   | 0,26       | 58,88      | 0,80 |
| Weiland | 29         | 279,47  | 138,08    | 1,00       | 30,87      | 0,80 |
| Weiland | 278        | 2497,87 | 6932,74   | 0,05       | 304,04     | 0,80 |
| Weiland | 66         | 224,26  | 357,87    | 0,02       | 58,38      | 0,80 |
| Weiland | 355        | 2435,39 | 136385,29 | 0,06       | 97,56      | 0,80 |
| Weiland | 50         | 349,68  | 1974,09   | 0,66       | 44,70      | 0,80 |
| Weiland | 37         | 43,92   | 38,25     | 0,42       | 3,45       | 0,80 |
| Weiland | 5          | 33,76   | 41,73     | 3,04       | 12,66      | 0,80 |
| Weiland | 22         | 159,58  | 409,56    | 0,26       | 40,74      | 0,80 |
| Weiland | 47         | 432,36  | 215,29    | 0,46       | 40,48      | 0,80 |

## Invoergegevens van het model

Model: Tatelaarweg op basis van 2031 (tracebesluit) met tatelaarweg 80 km/uur  
 Tatelaarweg (2021-07) - Tatelaarweg  
 Groep: (hoofdgroep)  
 Lijst van Bodemgebieden, voor rekenmethode Wegverkeerslawaaai - RMG-2012, wegverkeer

| Groep   | ItemID | Grp.ID | Datum             | Naam    | Omschr. | Vorm     | X-1       | Y-1       |
|---------|--------|--------|-------------------|---------|---------|----------|-----------|-----------|
| Weiland | 7024   | 2      | 09:35, 6 dec 2018 | Weiland | Weiland | Polygoon | 204739,39 | 439473,64 |
| Weiland | 7035   | 2      | 09:35, 6 dec 2018 | Weiland | Weiland | Polygoon | 203646,64 | 438731,57 |
| Weiland | 7051   | 2      | 09:35, 6 dec 2018 | Weiland | Weiland | Polygoon | 203797,21 | 438813,71 |
| Weiland | 7053   | 2      | 09:35, 6 dec 2018 | Weiland | Weiland | Polygoon | 204344,90 | 438341,18 |
| Weiland | 7055   | 2      | 09:35, 6 dec 2018 | Weiland | Weiland | Polygoon | 204607,41 | 439819,08 |
| Weiland | 7197   | 2      | 09:35, 6 dec 2018 | Weiland | Weiland | Polygoon | 204080,89 | 439625,35 |
| Weiland | 7230   | 2      | 09:35, 6 dec 2018 | Weiland | Weiland | Polygoon | 204653,48 | 438180,96 |
| Weiland | 7235   | 2      | 09:35, 6 dec 2018 | Weiland | Weiland | Polygoon | 204089,07 | 438377,79 |
| Weiland | 7238   | 2      | 09:35, 6 dec 2018 | Weiland | Weiland | Polygoon | 204437,53 | 438111,96 |
| Weiland | 7242   | 2      | 09:35, 6 dec 2018 | Weiland | Weiland | Polygoon | 203586,25 | 438415,58 |
| Weiland | 7244   | 2      | 09:35, 6 dec 2018 | Weiland | Weiland | Polygoon | 203341,56 | 439091,65 |
| Weiland | 7245   | 2      | 09:35, 6 dec 2018 | Weiland | Weiland | Polygoon | 203874,72 | 438538,31 |
| Weiland | 7248   | 2      | 09:35, 6 dec 2018 | Weiland | Weiland | Polygoon | 204350,74 | 439954,94 |
| Weiland | 7253   | 2      | 09:35, 6 dec 2018 | Weiland | Weiland | Polygoon | 204526,06 | 439425,70 |
| Weiland | 7258   | 2      | 09:35, 6 dec 2018 | Weiland | Weiland | Polygoon | 204146,59 | 438329,92 |
| Weiland | 7264   | 2      | 09:35, 6 dec 2018 | Weiland | Weiland | Polygoon | 203102,38 | 438823,85 |
| Weiland | 7269   | 2      | 09:35, 6 dec 2018 | Weiland | Weiland | Polygoon | 204064,66 | 438013,47 |
| Weiland | 7271   | 2      | 09:35, 6 dec 2018 | Weiland | Weiland | Polygoon | 203158,20 | 440125,63 |
| Weiland | 7289   | 2      | 09:35, 6 dec 2018 | Weiland | Weiland | Polygoon | 202908,65 | 439765,11 |
| Weiland | 7302   | 2      | 09:35, 6 dec 2018 | Weiland | Weiland | Polygoon | 203349,06 | 439097,60 |
| Weiland | 7303   | 2      | 09:35, 6 dec 2018 | Weiland | Weiland | Polygoon | 203370,51 | 439028,57 |
| Weiland | 7320   | 2      | 09:35, 6 dec 2018 | Weiland | Weiland | Polygoon | 203966,03 | 439802,74 |
| Weiland | 7321   | 2      | 09:35, 6 dec 2018 | Weiland | Weiland | Polygoon | 203972,43 | 439799,12 |
| Weiland | 7322   | 2      | 09:35, 6 dec 2018 | Weiland | Weiland | Polygoon | 204011,47 | 438418,64 |
| Weiland | 7340   | 2      | 09:35, 6 dec 2018 | Weiland | Weiland | Polygoon | 204307,43 | 438210,17 |
| Weiland | 7348   | 2      | 09:35, 6 dec 2018 | Weiland | Weiland | Polygoon | 204729,15 | 439175,12 |
| Weiland | 7392   | 2      | 09:35, 6 dec 2018 | Weiland | Weiland | Polygoon | 204190,05 | 439123,52 |
| Weiland | 7410   | 2      | 09:35, 6 dec 2018 | Weiland | Weiland | Polygoon | 204072,42 | 439635,09 |
| Weiland | 7411   | 2      | 09:35, 6 dec 2018 | Weiland | Weiland | Polygoon | 204550,98 | 438963,38 |
| Weiland | 7418   | 2      | 09:35, 6 dec 2018 | Weiland | Weiland | Polygoon | 204274,10 | 439937,99 |
| Weiland | 7424   | 2      | 09:35, 6 dec 2018 | Weiland | Weiland | Polygoon | 204351,57 | 438768,02 |
| Weiland | 7439   | 2      | 09:35, 6 dec 2018 | Weiland | Weiland | Polygoon | 204171,64 | 439785,64 |
| Weiland | 7440   | 2      | 09:35, 6 dec 2018 | Weiland | Weiland | Polygoon | 204386,17 | 438245,82 |
| Weiland | 7462   | 2      | 09:35, 6 dec 2018 | Weiland | Weiland | Polygoon | 204219,34 | 438274,09 |
| Weiland | 7504   | 2      | 09:35, 6 dec 2018 | Weiland | Weiland | Polygoon | 203461,22 | 439012,18 |
| Weiland | 7508   | 2      | 09:35, 6 dec 2018 | Weiland | Weiland | Polygoon | 203408,00 | 439057,53 |
| Weiland | 7514   | 2      | 09:35, 6 dec 2018 | Weiland | Weiland | Polygoon | 203154,06 | 438924,63 |
| Weiland | 7517   | 2      | 09:35, 6 dec 2018 | Weiland | Weiland | Polygoon | 204364,38 | 439956,64 |
| Weiland | 7520   | 2      | 09:35, 6 dec 2018 | Weiland | Weiland | Polygoon | 204627,99 | 439566,03 |
| Weiland | 7534   | 2      | 09:35, 6 dec 2018 | Weiland | Weiland | Polygoon | 203346,20 | 439157,51 |
| Weiland | 7535   | 2      | 09:35, 6 dec 2018 | Weiland | Weiland | Polygoon | 202977,51 | 439438,92 |
| Weiland | 7536   | 2      | 09:35, 6 dec 2018 | Weiland | Weiland | Polygoon | 203083,11 | 438799,91 |
| Weiland | 7556   | 2      | 09:35, 6 dec 2018 | Weiland | Weiland | Polygoon | 204928,56 | 439683,19 |
| Weiland | 7558   | 2      | 09:35, 6 dec 2018 | Weiland | Weiland | Polygoon | 204817,32 | 439727,71 |
| Weiland | 7560   | 2      | 09:35, 6 dec 2018 | Weiland | Weiland | Polygoon | 204035,32 | 438418,95 |
| Weiland | 7563   | 2      | 09:35, 6 dec 2018 | Weiland | Weiland | Polygoon | 204025,40 | 438586,72 |
| Weiland | 7564   | 2      | 09:35, 6 dec 2018 | Weiland | Weiland | Polygoon | 203864,81 | 439697,76 |
| Weiland | 7593   | 2      | 09:35, 6 dec 2018 | Weiland | Weiland | Polygoon | 204064,66 | 438013,47 |
| Weiland | 7596   | 2      | 09:35, 6 dec 2018 | Weiland | Weiland | Polygoon | 204078,71 | 438007,31 |
| Weiland | 7598   | 2      | 09:35, 6 dec 2018 | Weiland | Weiland | Polygoon | 204082,04 | 439800,95 |
| Weiland | 7618   | 2      | 09:35, 6 dec 2018 | Weiland | Weiland | Polygoon | 202895,94 | 439448,68 |
| Weiland | 7619   | 2      | 09:35, 6 dec 2018 | Weiland | Weiland | Polygoon | 202881,04 | 439634,58 |
| Weiland | 7620   | 2      | 09:35, 6 dec 2018 | Weiland | Weiland | Polygoon | 203992,17 | 439170,43 |
| Weiland | 7622   | 2      | 09:35, 6 dec 2018 | Weiland | Weiland | Polygoon | 202913,03 | 439793,33 |
| Weiland | 7625   | 2      | 09:35, 6 dec 2018 | Weiland | Weiland | Polygoon | 203561,09 | 439265,14 |
| Weiland | 7640   | 2      | 09:35, 6 dec 2018 | Weiland | Weiland | Polygoon | 204599,91 | 438207,06 |
| Weiland | 7655   | 2      | 09:35, 6 dec 2018 | Weiland | Weiland | Polygoon | 204166,95 | 438536,95 |
| Weiland | 7664   | 2      | 09:35, 6 dec 2018 | Weiland | Weiland | Polygoon | 203254,22 | 439004,14 |
| Weiland | 7696   | 2      | 09:35, 6 dec 2018 | Weiland | Weiland | Polygoon | 203630,49 | 438549,63 |
| Weiland | 7715   | 2      | 09:35, 6 dec 2018 | Weiland | Weiland | Polygoon | 202853,72 | 439270,46 |
| Weiland | 7717   | 2      | 09:35, 6 dec 2018 | Weiland | Weiland | Polygoon | 203771,78 | 438275,48 |
| Weiland | 7739   | 2      | 09:35, 6 dec 2018 | Weiland | Weiland | Polygoon | 203527,91 | 438464,20 |
| Weiland | 7746   | 2      | 09:35, 6 dec 2018 | Weiland | Weiland | Polygoon | 203624,70 | 438554,07 |

## Invoergegevens van het model

Model: Tatelaarweg op basis van 2031 (tracebesluit) met tatelaarweg 80 km/uur  
 Tatelaarweg (2021-07) - Tatelaarweg  
 Groep: (hoofdgroep)  
 Lijst van Bodemgebieden, voor rekenmethode Wegverkeerslawaai - RMG-2012, wegverkeer

| Groep   | Vormpunten | Omtrek  | Oppervlak | Min.lengte | Max.lengte | Bf   |
|---------|------------|---------|-----------|------------|------------|------|
| Weiland | 27         | 412,08  | 1123,19   | 0,03       | 90,93      | 0,80 |
| Weiland | 100        | 980,94  | 1914,50   | 0,12       | 158,26     | 0,80 |
| Weiland | 21         | 29,09   | 15,56     | 0,18       | 3,98       | 0,80 |
| Weiland | 18         | 206,79  | 210,12    | 0,34       | 40,01      | 0,80 |
| Weiland | 61         | 629,51  | 11156,03  | 0,17       | 57,90      | 0,80 |
| Weiland | 75         | 572,73  | 9257,06   | 0,35       | 32,43      | 0,80 |
| Weiland | 63         | 588,35  | 293,13    | 0,11       | 79,13      | 0,80 |
| Weiland | 11         | 91,46   | 131,26    | 0,49       | 44,38      | 0,80 |
| Weiland | 32         | 117,24  | 112,91    | 1,17       | 9,04       | 0,80 |
| Weiland | 4          | 35,90   | 43,60     | 3,30       | 16,17      | 0,80 |
| Weiland | 106        | 1301,06 | 3130,02   | 0,34       | 52,80      | 0,80 |
| Weiland | 42         | 17,16   | 16,97     | 0,07       | 4,74       | 0,80 |
| Weiland | 70         | 355,39  | 1244,91   | 0,10       | 56,56      | 0,80 |
| Weiland | 32         | 286,83  | 143,06    | 0,13       | 65,62      | 0,80 |
| Weiland | 9          | 62,64   | 81,39     | 0,21       | 27,19      | 0,80 |
| Weiland | 11         | 40,87   | 26,79     | 0,69       | 14,13      | 0,80 |
| Weiland | 78         | 62,45   | 178,16    | 0,03       | 6,28       | 0,80 |
| Weiland | 61         | 1223,02 | 69011,65  | 0,25       | 84,01      | 0,80 |
| Weiland | 7          | 18,58   | 12,19     | 0,77       | 4,75       | 0,80 |
| Weiland | 7          | 84,87   | 77,31     | 4,10       | 22,34      | 0,80 |
| Weiland | 343        | 2686,70 | 5067,55   | 0,08       | 60,83      | 0,80 |
| Weiland | 125        | 1212,24 | 34412,21  | 0,10       | 52,39      | 0,80 |
| Weiland | 48         | 369,58  | 6660,67   | 0,06       | 60,56      | 0,80 |
| Weiland | 56         | 50,41   | 71,69     | 0,02       | 18,84      | 0,80 |
| Weiland | 21         | 76,06   | 102,54    | 0,01       | 36,87      | 0,80 |
| Weiland | 28         | 37,01   | 39,79     | 0,29       | 17,42      | 0,80 |
| Weiland | 9          | 51,76   | 43,61     | 0,66       | 22,82      | 0,80 |
| Weiland | 64         | 475,77  | 451,19    | 0,18       | 28,54      | 0,80 |
| Weiland | 17         | 122,26  | 127,29    | 0,34       | 25,13      | 0,80 |
| Weiland | 112        | 1054,81 | 1116,33   | 0,07       | 39,39      | 0,80 |
| Weiland | 42         | 88,19   | 369,57    | 0,59       | 26,82      | 0,80 |
| Weiland | 74         | 588,72  | 1120,09   | 0,51       | 53,07      | 0,80 |
| Weiland | 66         | 140,18  | 179,94    | 0,04       | 20,14      | 0,80 |
| Weiland | 9          | 77,08   | 101,75    | 0,12       | 37,14      | 0,80 |
| Weiland | 34         | 696,35  | 543,02    | 1,03       | 40,79      | 0,80 |
| Weiland | 23         | 155,35  | 1285,59   | 2,50       | 57,77      | 0,80 |
| Weiland | 22         | 64,12   | 130,81    | 0,30       | 28,19      | 0,80 |
| Weiland | 19         | 383,92  | 6111,93   | 0,10       | 56,56      | 0,80 |
| Weiland | 15         | 413,63  | 11079,45  | 0,23       | 113,06     | 0,80 |
| Weiland | 17         | 102,60  | 369,86    | 1,53       | 23,98      | 0,80 |
| Weiland | 70         | 551,45  | 1110,79   | 0,03       | 33,45      | 0,80 |
| Weiland | 58         | 175,29  | 944,73    | 0,11       | 28,49      | 0,80 |
| Weiland | 17         | 200,62  | 674,41    | 0,39       | 36,13      | 0,80 |
| Weiland | 30         | 349,01  | 889,21    | 0,39       | 38,18      | 0,80 |
| Weiland | 160        | 1175,82 | 5902,97   | 0,02       | 143,34     | 0,80 |
| Weiland | 31         | 604,49  | 767,15    | 0,13       | 53,04      | 0,80 |
| Weiland | 73         | 1030,25 | 4112,30   | 0,03       | 116,13     | 0,80 |
| Weiland | 34         | 67,50   | 231,14    | 0,03       | 12,10      | 0,80 |
| Weiland | 27         | 19,98   | 25,24     | 0,34       | 6,05       | 0,80 |
| Weiland | 132        | 1212,24 | 34412,21  | 0,01       | 52,39      | 0,80 |
| Weiland | 25         | 163,15  | 454,13    | 0,56       | 39,16      | 0,80 |
| Weiland | 57         | 47,04   | 58,99     | 0,01       | 16,93      | 0,80 |
| Weiland | 132        | 1113,42 | 44763,39  | 0,06       | 68,24      | 0,80 |
| Weiland | 5          | 14,94   | 10,23     | 0,97       | 5,91       | 0,80 |
| Weiland | 12         | 171,86  | 437,84    | 3,44       | 53,32      | 0,80 |
| Weiland | 162        | 2088,39 | 962,65    | 0,13       | 43,29      | 0,80 |
| Weiland | 23         | 307,13  | 106,43    | 0,06       | 32,71      | 0,80 |
| Weiland | 92         | 168,06  | 635,10    | 0,12       | 59,83      | 0,80 |
| Weiland | 4          | 139,65  | 312,47    | 4,78       | 65,03      | 0,80 |
| Weiland | 68         | 298,53  | 1672,93   | 0,02       | 28,06      | 0,80 |
| Weiland | 5          | 37,63   | 29,18     | 0,01       | 17,66      | 0,80 |
| Weiland | 4          | 94,00   | 132,50    | 3,57       | 45,39      | 0,80 |
| Weiland | 12         | 57,92   | 89,44     | 0,65       | 11,93      | 0,80 |

## Invoergegevens van het model

Model: Tatelaarweg op basis van 2031 (tracebesluit) met tatelaarweg 80 km/uur  
 Tatelaarweg (2021-07) - Tatelaarweg  
 Groep: (hoofdgroep)  
 Lijst van Bodemgebieden, voor rekenmethode Wegverkeerslawaaï - RMG-2012, wegverkeer

| Groep   | ItemID | Grp.ID | Datum             | Naam    | Omschr. | Vorm     | X-1       | Y-1       |
|---------|--------|--------|-------------------|---------|---------|----------|-----------|-----------|
| Weiland | 7754   | 2      | 09:35, 6 dec 2018 | Weiland | Weiland | Polygoon | 202843,46 | 439329,50 |
| Weiland | 7777   | 2      | 09:35, 6 dec 2018 | Weiland | Weiland | Polygoon | 203697,37 | 438674,77 |
| Weiland | 7829   | 2      | 09:35, 6 dec 2018 | Weiland | Weiland | Polygoon | 203254,22 | 439004,14 |
| Weiland | 7848   | 2      | 09:35, 6 dec 2018 | Weiland | Weiland | Polygoon | 203148,34 | 438873,10 |
| Weiland | 7849   | 2      | 09:35, 6 dec 2018 | Weiland | Weiland | Polygoon | 203157,83 | 438919,45 |
| Weiland | 7873   | 2      | 09:35, 6 dec 2018 | Weiland | Weiland | Polygoon | 203935,71 | 438491,19 |
| Weiland | 7887   | 2      | 09:35, 6 dec 2018 | Weiland | Weiland | Polygoon | 204696,17 | 439741,93 |
| Weiland | 7893   | 2      | 09:35, 6 dec 2018 | Weiland | Weiland | Polygoon | 204668,82 | 439448,83 |
| Weiland | 7901   | 2      | 09:35, 6 dec 2018 | Weiland | Weiland | Polygoon | 204700,50 | 439750,16 |
| Weiland | 7934   | 2      | 09:35, 6 dec 2018 | Weiland | Weiland | Polygoon | 204711,12 | 439899,91 |
| Weiland | 7958   | 2      | 09:35, 6 dec 2018 | Weiland | Weiland | Polygoon | 204375,24 | 438154,27 |
| Weiland | 8015   | 2      | 09:35, 6 dec 2018 | Weiland | Weiland | Polygoon | 204606,34 | 438191,56 |
| Weiland | 8072   | 2      | 09:35, 6 dec 2018 | Weiland | Weiland | Polygoon | 203502,46 | 438574,52 |
| Weiland | 8075   | 2      | 09:35, 6 dec 2018 | Weiland | Weiland | Polygoon | 203382,16 | 439214,62 |
| Weiland | 8085   | 2      | 09:35, 6 dec 2018 | Weiland | Weiland | Polygoon | 204645,75 | 438185,13 |
| Weiland | 8091   | 2      | 09:35, 6 dec 2018 | Weiland | Weiland | Polygoon | 204080,89 | 439625,35 |
| Weiland | 8095   | 2      | 09:35, 6 dec 2018 | Weiland | Weiland | Polygoon | 204711,12 | 439899,91 |
| Weiland | 8106   | 2      | 09:35, 6 dec 2018 | Weiland | Weiland | Polygoon | 204326,52 | 438860,60 |
| Weiland | 8115   | 2      | 09:35, 6 dec 2018 | Weiland | Weiland | Polygoon | 204696,17 | 439741,93 |
| Berm    | 8142   | 3      | 09:35, 6 dec 2018 | Berm    | Berm    | Polygoon | 203403,95 | 439175,82 |
| Berm    | 8144   | 3      | 09:35, 6 dec 2018 | Berm    | Berm    | Polygoon | 204498,63 | 438986,80 |
| Berm    | 8146   | 3      | 09:35, 6 dec 2018 | Berm    | Berm    | Polygoon | 204979,46 | 439536,43 |
| Berm    | 8153   | 3      | 09:35, 6 dec 2018 | Berm    | Berm    | Polygoon | 204055,40 | 439224,76 |
| Berm    | 8155   | 3      | 09:35, 6 dec 2018 | Berm    | Berm    | Polygoon | 204844,18 | 438971,30 |
| Berm    | 8156   | 3      | 09:35, 6 dec 2018 | Berm    | Berm    | Polygoon | 204273,17 | 439121,21 |
| Berm    | 8165   | 3      | 09:35, 6 dec 2018 | Berm    | Berm    | Polygoon | 204362,63 | 439076,52 |
| Berm    | 8166   | 3      | 09:35, 6 dec 2018 | Berm    | Berm    | Polygoon | 204054,46 | 439220,84 |
| Berm    | 8169   | 3      | 09:35, 6 dec 2018 | Berm    | Berm    | Polygoon | 204136,48 | 439956,42 |
| Berm    | 8172   | 3      | 09:35, 6 dec 2018 | Berm    | Berm    | Polygoon | 204674,57 | 438980,31 |
| Berm    | 8173   | 3      | 09:35, 6 dec 2018 | Berm    | Berm    | Polygoon | 204831,74 | 438967,13 |
| Berm    | 8178   | 3      | 09:35, 6 dec 2018 | Berm    | Berm    | Polygoon | 204073,91 | 439208,75 |
| Berm    | 8181   | 3      | 09:35, 6 dec 2018 | Berm    | Berm    | Polygoon | 204194,52 | 439152,81 |
| Berm    | 8185   | 3      | 09:35, 6 dec 2018 | Berm    | Berm    | Polygoon | 204892,14 | 439737,06 |
| Berm    | 8186   | 3      | 09:35, 6 dec 2018 | Berm    | Berm    | Polygoon | 203500,72 | 439170,38 |
| Berm    | 8188   | 3      | 09:35, 6 dec 2018 | Berm    | Berm    | Polygoon | 204041,80 | 439205,27 |
| Berm    | 8190   | 3      | 09:35, 6 dec 2018 | Berm    | Berm    | Polygoon | 204294,49 | 439109,10 |
| Berm    | 8191   | 3      | 09:35, 6 dec 2018 | Berm    | Berm    | Polygoon | 204275,54 | 439120,00 |
| Berm    | 8192   | 3      | 09:35, 6 dec 2018 | Berm    | Berm    | Polygoon | 204939,56 | 438977,32 |
| Berm    | 8198   | 3      | 09:35, 6 dec 2018 | Berm    | Berm    | Polygoon | 204538,30 | 438978,40 |
| Berm    | 8206   | 3      | 09:35, 6 dec 2018 | Berm    | Berm    | Polygoon | 204442,67 | 439011,69 |
| Berm    | 8212   | 3      | 09:35, 6 dec 2018 | Berm    | Berm    | Polygoon | 204699,54 | 438970,04 |
| Berm    | 8215   | 3      | 09:35, 6 dec 2018 | Berm    | Berm    | Polygoon | 204509,21 | 438989,91 |
| Berm    | 8218   | 3      | 09:35, 6 dec 2018 | Berm    | Berm    | Polygoon | 204092,62 | 439207,40 |
| Berm    | 8221   | 3      | 09:35, 6 dec 2018 | Berm    | Berm    | Polygoon | 204473,79 | 438996,74 |
| Berm    | 8225   | 3      | 09:35, 6 dec 2018 | Berm    | Berm    | Polygoon | 203997,36 | 439965,99 |
| Berm    | 8226   | 3      | 09:35, 6 dec 2018 | Berm    | Berm    | Polygoon | 202937,62 | 439533,21 |
| Berm    | 8227   | 3      | 09:35, 6 dec 2018 | Berm    | Berm    | Polygoon | 203492,71 | 439153,13 |
| Berm    | 8231   | 3      | 09:35, 6 dec 2018 | Berm    | Berm    | Polygoon | 204252,49 | 439947,58 |
| Berm    | 8236   | 3      | 09:35, 6 dec 2018 | Berm    | Berm    | Polygoon | 203959,26 | 439231,15 |
| Berm    | 8237   | 3      | 09:35, 6 dec 2018 | Berm    | Berm    | Polygoon | 202874,10 | 439580,46 |
| Berm    | 8239   | 3      | 09:35, 6 dec 2018 | Berm    | Berm    | Polygoon | 204406,11 | 439031,56 |
| Berm    | 8240   | 3      | 09:35, 6 dec 2018 | Berm    | Berm    | Polygoon | 204738,93 | 438989,30 |
| Berm    | 8243   | 3      | 09:35, 6 dec 2018 | Berm    | Berm    | Polygoon | 204584,76 | 438163,70 |
| Berm    | 8244   | 3      | 09:35, 6 dec 2018 | Berm    | Berm    | Polygoon | 204752,53 | 439162,04 |
| Berm    | 8251   | 3      | 09:35, 6 dec 2018 | Berm    | Berm    | Polygoon | 204423,22 | 439046,48 |
| Berm    | 8253   | 3      | 09:35, 6 dec 2018 | Berm    | Berm    | Polygoon | 204835,92 | 438967,30 |
| Berm    | 8254   | 3      | 09:35, 6 dec 2018 | Berm    | Berm    | Polygoon | 204832,91 | 438983,85 |
| Berm    | 8258   | 3      | 09:35, 6 dec 2018 | Berm    | Berm    | Polygoon | 202840,03 | 439562,20 |
| Berm    | 8265   | 3      | 09:35, 6 dec 2018 | Berm    | Berm    | Polygoon | 204606,92 | 439319,86 |
| Berm    | 8267   | 3      | 09:35, 6 dec 2018 | Berm    | Berm    | Polygoon | 204297,81 | 439343,44 |
| Berm    | 8269   | 3      | 09:35, 6 dec 2018 | Berm    | Berm    | Polygoon | 204453,35 | 439023,33 |
| Berm    | 8271   | 3      | 09:35, 6 dec 2018 | Berm    | Berm    | Polygoon | 202883,86 | 439656,57 |
| Berm    | 8281   | 3      | 09:35, 6 dec 2018 | Berm    | Berm    | Polygoon | 203602,38 | 439166,73 |

## Invoergegevens van het model

Model: Tatelaarweg op basis van 2031 (tracebesluit) met tatelaarweg 80 km/uur  
 Tatelaarweg (2021-07) - Tatelaarweg  
 Groep: (hoofdgroep)  
 Lijst van Bodemgebieden, voor rekenmethode Wegverkeerslawaaai - RMG-2012, wegverkeer

| Groep   | Vormpunten | Omtrek  | Oppervlak | Min.lengte | Max.lengte | Bf   |
|---------|------------|---------|-----------|------------|------------|------|
| Weiland | 9          | 36,38   | 29,01     | 0,32       | 10,44      | 0,80 |
| Weiland | 4          | 14,10   | 11,63     | 2,62       | 4,43       | 0,80 |
| Weiland | 68         | 242,64  | 994,04    | 0,12       | 59,46      | 0,80 |
| Weiland | 27         | 107,59  | 328,78    | 0,16       | 33,28      | 0,80 |
| Weiland | 32         | 92,86   | 451,04    | 0,26       | 11,01      | 0,80 |
| Weiland | 30         | 144,53  | 229,39    | 0,16       | 57,07      | 0,80 |
| Weiland | 83         | 923,72  | 728,99    | 0,37       | 56,34      | 0,80 |
| Weiland | 26         | 354,03  | 174,68    | 0,36       | 32,94      | 0,80 |
| Weiland | 3          | 90,66   | 370,81    | 23,84      | 34,39      | 0,80 |
| Weiland | 59         | 769,94  | 25292,91  | 0,17       | 62,69      | 0,80 |
| Weiland | 32         | 95,15   | 133,41    | 0,23       | 46,42      | 0,80 |
| Weiland | 51         | 750,12  | 3514,63   | 1,15       | 90,39      | 0,80 |
| Weiland | 11         | 20,79   | 21,57     | 0,25       | 8,39       | 0,80 |
| Weiland | 21         | 131,27  | 1058,35   | 0,02       | 30,97      | 0,80 |
| Weiland | 15         | 13,95   | 10,06     | 0,27       | 1,89       | 0,80 |
| Weiland | 79         | 576,89  | 9508,13   | 0,02       | 32,43      | 0,80 |
| Weiland | 60         | 769,94  | 25292,91  | 0,17       | 62,69      | 0,80 |
| Weiland | 56         | 1089,73 | 5380,91   | 0,11       | 79,01      | 0,80 |
| Weiland | 62         | 570,55  | 460,14    | 0,37       | 36,20      | 0,80 |
| Berm    | 7          | 41,11   | 57,70     | 1,07       | 17,97      | 0,80 |
| Berm    | 10         | 15,39   | 5,94      | 0,12       | 3,23       | 0,80 |
| Berm    | 11         | 63,52   | 119,99    | 0,18       | 20,34      | 0,80 |
| Berm    | 15         | 65,84   | 105,38    | 1,14       | 10,98      | 0,80 |
| Berm    | 8          | 172,40  | 241,12    | 0,21       | 83,31      | 0,80 |
| Berm    | 4          | 9,33    | 3,09      | 1,28       | 3,90       | 0,80 |
| Berm    | 13         | 105,50  | 173,27    | 0,20       | 41,36      | 0,80 |
| Berm    | 6          | 41,13   | 17,54     | 0,92       | 13,25      | 0,80 |
| Berm    | 14         | 145,38  | 71,56     | 0,19       | 29,45      | 0,80 |
| Berm    | 14         | 76,39   | 119,45    | 0,85       | 17,71      | 0,80 |
| Berm    | 9          | 206,67  | 327,49    | 3,08       | 82,49      | 0,80 |
| Berm    | 5          | 39,69   | 55,69     | 3,70       | 12,20      | 0,80 |
| Berm    | 12         | 39,35   | 14,31     | 0,07       | 18,54      | 0,80 |
| Berm    | 63         | 483,24  | 240,64    | 0,26       | 29,81      | 0,80 |
| Berm    | 36         | 122,09  | 147,59    | 0,42       | 15,07      | 0,80 |
| Berm    | 10         | 101,59  | 143,38    | 0,31       | 34,68      | 0,80 |
| Berm    | 21         | 97,48   | 134,06    | 0,15       | 9,66       | 0,80 |
| Berm    | 8          | 20,08   | 22,45     | 0,28       | 3,90       | 0,80 |
| Berm    | 5          | 20,24   | 18,92     | 2,45       | 7,61       | 0,80 |
| Berm    | 6          | 41,97   | 43,02     | 1,07       | 14,57      | 0,80 |
| Berm    | 3          | 5,34    | 0,30      | 0,23       | 2,56       | 0,80 |
| Berm    | 5          | 46,17   | 66,12     | 4,41       | 15,90      | 0,80 |
| Berm    | 13         | 80,68   | 50,82     | 1,43       | 22,03      | 0,80 |
| Berm    | 14         | 61,23   | 108,21    | 0,19       | 18,25      | 0,80 |
| Berm    | 13         | 59,04   | 44,40     | 0,23       | 13,04      | 0,80 |
| Berm    | 19         | 19,41   | 18,57     | 0,19       | 6,54       | 0,80 |
| Berm    | 10         | 35,83   | 16,79     | 0,20       | 8,64       | 0,80 |
| Berm    | 48         | 20,01   | 15,90     | 0,02       | 8,09       | 0,80 |
| Berm    | 6          | 99,93   | 47,99     | 1,00       | 25,68      | 0,80 |
| Berm    | 31         | 142,74  | 201,16    | 1,85       | 17,62      | 0,80 |
| Berm    | 40         | 10,17   | 4,38      | 0,03       | 4,48       | 0,80 |
| Berm    | 5          | 85,77   | 60,79     | 0,23       | 41,61      | 0,80 |
| Berm    | 15         | 209,76  | 629,75    | 4,94       | 42,45      | 0,80 |
| Berm    | 35         | 603,80  | 1078,03   | 1,48       | 40,55      | 0,80 |
| Berm    | 62         | 626,15  | 391,10    | 0,30       | 65,15      | 0,80 |
| Berm    | 19         | 115,10  | 299,23    | 0,14       | 30,94      | 0,80 |
| Berm    | 46         | 219,73  | 341,31    | 0,11       | 82,49      | 0,80 |
| Berm    | 13         | 94,94   | 58,21     | 0,20       | 31,10      | 0,80 |
| Berm    | 5          | 27,07   | 26,34     | 1,81       | 11,29      | 0,80 |
| Berm    | 20         | 207,59  | 108,32    | 0,89       | 26,22      | 0,80 |
| Berm    | 60         | 337,14  | 182,85    | 0,26       | 65,97      | 0,80 |
| Berm    | 5          | 38,40   | 57,92     | 3,61       | 15,49      | 0,80 |
| Berm    | 32         | 154,43  | 209,66    | 0,30       | 15,95      | 0,80 |
| Berm    | 11         | 89,12   | 170,70    | 0,78       | 23,05      | 0,80 |



## Invoergegevens van het model

Model: Tatelaarweg op basis van 2031 (tracebesluit) met tatelaarweg 80 km/uur  
 Tatelaarweg (2021-07) - Tatelaarweg  
 Groep: (hoofdgroep)  
 Lijst van Bodemgebieden, voor rekenmethode Wegverkeerslawaaï - RMG-2012, wegverkeer

| Groep | ItemID | Grp.ID | Datum             | Naam | Omschr. | Vorm     | X-1       | Y-1       |
|-------|--------|--------|-------------------|------|---------|----------|-----------|-----------|
| Berm  | 8282   | 3      | 09:35, 6 dec 2018 | Berm | Berm    | Polygoon | 203612,63 | 439173,45 |
| Berm  | 8283   | 3      | 09:35, 6 dec 2018 | Berm | Berm    | Polygoon | 203084,55 | 439398,25 |
| Berm  | 8285   | 3      | 09:35, 6 dec 2018 | Berm | Berm    | Polygoon | 202885,02 | 439601,02 |
| Berm  | 8286   | 3      | 09:35, 6 dec 2018 | Berm | Berm    | Polygoon | 203221,35 | 439252,34 |
| Berm  | 8287   | 3      | 09:35, 6 dec 2018 | Berm | Berm    | Polygoon | 202903,63 | 439951,46 |
| Berm  | 8288   | 3      | 09:35, 6 dec 2018 | Berm | Berm    | Polygoon | 203550,23 | 439154,68 |
| Berm  | 8289   | 3      | 09:35, 6 dec 2018 | Berm | Berm    | Polygoon | 202919,44 | 439876,64 |
| Berm  | 8290   | 3      | 09:35, 6 dec 2018 | Berm | Berm    | Polygoon | 203911,98 | 439229,30 |
| Berm  | 8291   | 3      | 09:35, 6 dec 2018 | Berm | Berm    | Polygoon | 202923,50 | 439927,49 |
| Berm  | 8293   | 3      | 09:35, 6 dec 2018 | Berm | Berm    | Polygoon | 202903,64 | 439830,74 |
| Berm  | 8294   | 3      | 09:35, 6 dec 2018 | Berm | Berm    | Polygoon | 202885,56 | 439781,30 |
| Berm  | 8295   | 3      | 09:35, 6 dec 2018 | Berm | Berm    | Polygoon | 203405,24 | 439180,45 |
| Berm  | 8296   | 3      | 09:35, 6 dec 2018 | Berm | Berm    | Polygoon | 202881,58 | 439703,49 |
| Berm  | 8297   | 3      | 09:35, 6 dec 2018 | Berm | Berm    | Polygoon | 202854,49 | 439710,53 |
| Berm  | 8298   | 3      | 09:35, 6 dec 2018 | Berm | Berm    | Polygoon | 203518,86 | 439153,03 |
| Berm  | 8299   | 3      | 09:35, 6 dec 2018 | Berm | Berm    | Polygoon | 203081,72 | 439409,48 |
| Berm  | 8300   | 3      | 09:35, 6 dec 2018 | Berm | Berm    | Polygoon | 203035,00 | 439463,50 |
| Berm  | 8301   | 3      | 09:35, 6 dec 2018 | Berm | Berm    | Polygoon | 203500,19 | 439179,88 |
| Berm  | 8304   | 3      | 09:35, 6 dec 2018 | Berm | Berm    | Polygoon | 204270,84 | 439111,29 |
| Berm  | 8307   | 3      | 09:35, 6 dec 2018 | Berm | Berm    | Polygoon | 202923,55 | 439972,24 |
| Berm  | 8311   | 3      | 09:35, 6 dec 2018 | Berm | Berm    | Polygoon | 204928,28 | 438999,55 |
| Berm  | 8314   | 3      | 09:35, 6 dec 2018 | Berm | Berm    | Polygoon | 204335,51 | 439090,09 |
| Berm  | 8315   | 3      | 09:35, 6 dec 2018 | Berm | Berm    | Polygoon | 202851,59 | 439622,31 |
| Berm  | 8317   | 3      | 09:35, 6 dec 2018 | Berm | Berm    | Polygoon | 203482,13 | 439144,13 |
| Berm  | 8318   | 3      | 09:35, 6 dec 2018 | Berm | Berm    | Polygoon | 202868,43 | 439575,94 |
| Berm  | 8320   | 3      | 09:35, 6 dec 2018 | Berm | Berm    | Polygoon | 203909,31 | 439250,59 |
| Berm  | 8321   | 3      | 09:35, 6 dec 2018 | Berm | Berm    | Polygoon | 202844,19 | 439538,78 |
| Berm  | 8324   | 3      | 09:35, 6 dec 2018 | Berm | Berm    | Polygoon | 202852,01 | 439588,30 |
| Berm  | 8325   | 3      | 09:35, 6 dec 2018 | Berm | Berm    | Polygoon | 204441,67 | 439009,19 |
| Berm  | 8326   | 3      | 09:35, 6 dec 2018 | Berm | Berm    | Polygoon | 203076,23 | 439407,69 |
| Berm  | 8327   | 3      | 09:35, 6 dec 2018 | Berm | Berm    | Polygoon | 204510,53 | 439438,76 |
| Berm  | 8329   | 3      | 09:35, 6 dec 2018 | Berm | Berm    | Polygoon | 202839,51 | 439664,42 |
| Berm  | 8330   | 3      | 09:35, 6 dec 2018 | Berm | Berm    | Polygoon | 204855,84 | 439091,98 |
| Berm  | 8331   | 3      | 09:35, 6 dec 2018 | Berm | Berm    | Polygoon | 204051,35 | 438620,42 |
| Berm  | 8332   | 3      | 09:35, 6 dec 2018 | Berm | Berm    | Polygoon | 204195,74 | 439161,65 |
| Berm  | 8335   | 3      | 09:35, 6 dec 2018 | Berm | Berm    | Polygoon | 203074,53 | 439389,04 |
| Berm  | 8339   | 3      | 09:35, 6 dec 2018 | Berm | Berm    | Polygoon | 204437,53 | 438111,96 |
| Berm  | 8340   | 3      | 09:35, 6 dec 2018 | Berm | Berm    | Polygoon | 204138,36 | 439961,58 |
| Berm  | 8342   | 3      | 09:35, 6 dec 2018 | Berm | Berm    | Polygoon | 203886,14 | 439241,37 |
| Berm  | 8343   | 3      | 09:35, 6 dec 2018 | Berm | Berm    | Polygoon | 204625,16 | 439992,56 |
| Berm  | 8347   | 3      | 09:35, 6 dec 2018 | Berm | Berm    | Polygoon | 203356,41 | 439176,38 |
| Berm  | 8348   | 3      | 09:35, 6 dec 2018 | Berm | Berm    | Polygoon | 203353,49 | 439172,45 |
| Berm  | 8349   | 3      | 09:35, 6 dec 2018 | Berm | Berm    | Polygoon | 203893,03 | 439231,40 |
| Berm  | 8353   | 3      | 09:35, 6 dec 2018 | Berm | Berm    | Polygoon | 204524,11 | 438981,94 |
| Berm  | 8354   | 3      | 09:35, 6 dec 2018 | Berm | Berm    | Polygoon | 203877,64 | 439220,35 |
| Berm  | 8356   | 3      | 09:35, 6 dec 2018 | Berm | Berm    | Polygoon | 203956,94 | 439242,53 |
| Berm  | 8359   | 3      | 09:35, 6 dec 2018 | Berm | Berm    | Polygoon | 203191,89 | 439298,10 |
| Berm  | 8361   | 3      | 09:35, 6 dec 2018 | Berm | Berm    | Polygoon | 203363,39 | 439174,24 |
| Berm  | 8364   | 3      | 09:35, 6 dec 2018 | Berm | Berm    | Polygoon | 203305,96 | 439198,14 |
| Berm  | 8368   | 3      | 09:35, 6 dec 2018 | Berm | Berm    | Polygoon | 204133,96 | 439179,19 |
| Berm  | 8371   | 3      | 09:35, 6 dec 2018 | Berm | Berm    | Polygoon | 204838,82 | 438985,39 |
| Berm  | 8373   | 3      | 09:35, 6 dec 2018 | Berm | Berm    | Polygoon | 204564,12 | 438991,18 |
| Berm  | 8374   | 3      | 09:35, 6 dec 2018 | Berm | Berm    | Polygoon | 204713,98 | 439902,14 |
| Berm  | 8375   | 3      | 09:35, 6 dec 2018 | Berm | Berm    | Polygoon | 203500,19 | 439179,88 |
| Berm  | 8376   | 3      | 09:35, 6 dec 2018 | Berm | Berm    | Polygoon | 204470,02 | 438993,21 |
| Berm  | 8382   | 3      | 09:35, 6 dec 2018 | Berm | Berm    | Polygoon | 203999,04 | 439219,86 |
| Berm  | 8383   | 3      | 09:35, 6 dec 2018 | Berm | Berm    | Polygoon | 204448,18 | 439025,55 |
| Berm  | 8388   | 3      | 09:35, 6 dec 2018 | Berm | Berm    | Polygoon | 204377,62 | 439947,92 |
| Berm  | 8396   | 3      | 09:35, 6 dec 2018 | Berm | Berm    | Polygoon | 202826,10 | 439469,06 |
| Berm  | 8397   | 3      | 09:35, 6 dec 2018 | Berm | Berm    | Polygoon | 203910,61 | 439251,39 |
| Berm  | 8403   | 3      | 09:35, 6 dec 2018 | Berm | Berm    | Polygoon | 204646,99 | 438180,02 |
| Berm  | 8408   | 3      | 09:35, 6 dec 2018 | Berm | Berm    | Polygoon | 204386,15 | 439035,89 |
| Berm  | 8409   | 3      | 09:35, 6 dec 2018 | Berm | Berm    | Polygoon | 204702,09 | 438963,95 |

## Invoergegevens van het model

Model: Tatelaarweg op basis van 2031 (tracebesluit) met tatelaarweg 80 km/uur  
 Tatelaarweg (2021-07) - Tatelaarweg  
 Groep: (hoofdgroep)  
 Lijst van Bodemgebieden, voor rekenmethode Wegverkeerslawaai - RMG-2012, wegverkeer

| Groep | Vormpunten | Omtrek | Oppervlak | Min.lengte | Max.lengte | Bf   |
|-------|------------|--------|-----------|------------|------------|------|
| Berm  | 8          | 37,95  | 55,45     | 0,79       | 11,45      | 0,80 |
| Berm  | 15         | 175,54 | 320,72    | 0,40       | 53,53      | 0,80 |
| Berm  | 51         | 185,05 | 281,87    | 0,04       | 19,77      | 0,80 |
| Berm  | 17         | 203,92 | 88,65     | 0,90       | 36,82      | 0,80 |
| Berm  | 33         | 200,82 | 156,12    | 1,50       | 21,86      | 0,80 |
| Berm  | 14         | 92,27  | 205,83    | 0,87       | 20,34      | 0,80 |
| Berm  | 7          | 64,64  | 68,30     | 1,25       | 25,74      | 0,80 |
| Berm  | 4          | 39,64  | 26,93     | 2,78       | 18,53      | 0,80 |
| Berm  | 25         | 124,50 | 219,69    | 0,73       | 19,94      | 0,80 |
| Berm  | 4          | 66,54  | 26,57     | 1,53       | 33,00      | 0,80 |
| Berm  | 6          | 55,85  | 46,14     | 1,59       | 24,27      | 0,80 |
| Berm  | 13         | 36,82  | 34,36     | 0,85       | 9,50       | 0,80 |
| Berm  | 16         | 68,81  | 63,28     | 0,43       | 33,57      | 0,80 |
| Berm  | 35         | 174,53 | 241,85    | 0,45       | 42,52      | 0,80 |
| Berm  | 11         | 45,02  | 36,68     | 0,21       | 14,94      | 0,80 |
| Berm  | 11         | 43,91  | 45,26     | 0,58       | 13,37      | 0,80 |
| Berm  | 15         | 152,40 | 165,26    | 0,62       | 64,61      | 0,80 |
| Berm  | 26         | 57,20  | 38,12     | 0,06       | 21,64      | 0,80 |
| Berm  | 9          | 201,23 | 364,83    | 3,90       | 44,59      | 0,80 |
| Berm  | 10         | 54,37  | 94,72     | 1,20       | 18,67      | 0,80 |
| Berm  | 5          | 10,95  | 5,85      | 0,11       | 4,17       | 0,80 |
| Berm  | 9          | 139,69 | 263,29    | 3,95       | 30,33      | 0,80 |
| Berm  | 67         | 23,72  | 21,25     | 0,03       | 4,76       | 0,80 |
| Berm  | 42         | 333,02 | 420,57    | 0,26       | 17,53      | 0,80 |
| Berm  | 79         | 58,66  | 104,33    | 0,04       | 16,97      | 0,80 |
| Berm  | 8          | 10,24  | 0,50      | 0,24       | 2,99       | 0,80 |
| Berm  | 4          | 9,87   | 0,52      | 0,18       | 4,74       | 0,80 |
| Berm  | 4          | 58,66  | 16,63     | 1,24       | 28,72      | 0,80 |
| Berm  | 10         | 27,34  | 20,66     | 0,44       | 12,47      | 0,80 |
| Berm  | 27         | 31,29  | 44,30     | 0,27       | 8,75       | 0,80 |
| Berm  | 21         | 164,92 | 63,59     | 0,07       | 26,49      | 0,80 |
| Berm  | 7          | 30,05  | 51,65     | 1,99       | 6,41       | 0,80 |
| Berm  | 12         | 202,59 | 97,28     | 0,12       | 72,91      | 0,80 |
| Berm  | 51         | 761,15 | 3402,97   | 0,37       | 43,29      | 0,80 |
| Berm  | 81         | 162,70 | 169,41    | 0,07       | 23,80      | 0,80 |
| Berm  | 9          | 205,30 | 224,21    | 1,49       | 64,95      | 0,80 |
| Berm  | 83         | 987,56 | 2061,28   | 0,49       | 55,41      | 0,80 |
| Berm  | 56         | 156,65 | 348,46    | 0,10       | 59,45      | 0,80 |
| Berm  | 9          | 75,78  | 124,50    | 3,17       | 14,87      | 0,80 |
| Berm  | 7          | 51,05  | 24,38     | 1,00       | 21,28      | 0,80 |
| Berm  | 9          | 86,08  | 67,52     | 0,21       | 41,67      | 0,80 |
| Berm  | 6          | 81,21  | 13,35     | 0,04       | 40,01      | 0,80 |
| Berm  | 24         | 144,22 | 231,25    | 0,35       | 35,66      | 0,80 |
| Berm  | 11         | 85,91  | 119,71    | 0,09       | 16,59      | 0,80 |
| Berm  | 12         | 27,26  | 31,02     | 0,51       | 5,55       | 0,80 |
| Berm  | 20         | 70,38  | 112,42    | 2,30       | 11,49      | 0,80 |
| Berm  | 13         | 202,44 | 187,66    | 1,82       | 46,28      | 0,80 |
| Berm  | 7          | 72,29  | 55,84     | 0,22       | 34,70      | 0,80 |
| Berm  | 24         | 100,66 | 157,00    | 0,70       | 25,69      | 0,80 |
| Berm  | 7          | 160,75 | 287,55    | 3,85       | 50,45      | 0,80 |
| Berm  | 4          | 5,36   | 1,64      | 1,08       | 1,81       | 0,80 |
| Berm  | 21         | 161,43 | 287,80    | 0,59       | 20,03      | 0,80 |
| Berm  | 72         | 452,81 | 225,34    | 1,01       | 20,25      | 0,80 |
| Berm  | 13         | 143,45 | 95,19     | 0,26       | 47,74      | 0,80 |
| Berm  | 4          | 3,91   | 0,55      | 0,29       | 1,64       | 0,80 |
| Berm  | 8          | 26,45  | 36,15     | 0,64       | 8,26       | 0,80 |
| Berm  | 5          | 37,87  | 56,99     | 3,71       | 15,08      | 0,80 |
| Berm  | 51         | 828,79 | 414,21    | 0,92       | 29,63      | 0,80 |
| Berm  | 15         | 97,04  | 113,07    | 0,84       | 25,96      | 0,80 |
| Berm  | 11         | 17,67  | 2,14      | 0,24       | 3,66       | 0,80 |
| Berm  | 47         | 660,53 | 327,61    | 0,42       | 74,22      | 0,80 |
| Berm  | 24         | 127,87 | 167,20    | 0,31       | 24,20      | 0,80 |
| Berm  | 9          | 54,16  | 81,47     | 0,47       | 22,97      | 0,80 |

## Invoergegevens van het model

Model: Tatelaarweg op basis van 2031 (tracebesluit) met tatelaarweg 80 km/uur  
 Tatelaarweg (2021-07) - Tatelaarweg  
 Groep: (hoofdgroep)  
 Lijst van Bodemgebieden, voor rekenmethode Wegverkeerslawaaai - RMG-2012, wegverkeer

| Groep | ItemID | Grp.ID | Datum             | Naam | Omschr. | Vorm     | X-1       | Y-1       |
|-------|--------|--------|-------------------|------|---------|----------|-----------|-----------|
| Berm  | 8411   | 3      | 09:35, 6 dec 2018 | Berm | Berm    | Polygoon | 204401,18 | 439034,25 |
| Berm  | 8413   | 3      | 09:35, 6 dec 2018 | Berm | Berm    | Polygoon | 204923,90 | 438995,12 |
| Berm  | 8415   | 3      | 09:35, 6 dec 2018 | Berm | Berm    | Polygoon | 204673,79 | 438963,49 |
| Berm  | 8416   | 3      | 09:35, 6 dec 2018 | Berm | Berm    | Polygoon | 204171,76 | 439141,74 |
| Berm  | 8418   | 3      | 09:35, 6 dec 2018 | Berm | Berm    | Polygoon | 202897,95 | 439940,28 |
| Berm  | 8420   | 3      | 09:35, 6 dec 2018 | Berm | Berm    | Polygoon | 203922,94 | 439228,87 |
| Berm  | 8421   | 3      | 09:35, 6 dec 2018 | Berm | Berm    | Polygoon | 203792,00 | 439236,33 |
| Berm  | 8422   | 3      | 09:35, 6 dec 2018 | Berm | Berm    | Polygoon | 203821,94 | 439207,79 |
| Berm  | 8423   | 3      | 09:35, 6 dec 2018 | Berm | Berm    | Polygoon | 203791,65 | 439206,53 |
| Berm  | 8424   | 3      | 09:35, 6 dec 2018 | Berm | Berm    | Polygoon | 203920,64 | 439256,05 |
| Berm  | 8425   | 3      | 09:35, 6 dec 2018 | Berm | Berm    | Polygoon | 202880,52 | 439602,61 |
| Berm  | 8426   | 3      | 09:35, 6 dec 2018 | Berm | Berm    | Polygoon | 202888,49 | 439753,84 |
| Berm  | 8427   | 3      | 09:35, 6 dec 2018 | Berm | Berm    | Polygoon | 202834,18 | 439652,45 |
| Berm  | 8428   | 3      | 09:35, 6 dec 2018 | Berm | Berm    | Polygoon | 202896,16 | 439898,86 |
| Berm  | 8429   | 3      | 09:35, 6 dec 2018 | Berm | Berm    | Polygoon | 202900,86 | 439749,19 |
| Berm  | 8430   | 3      | 09:35, 6 dec 2018 | Berm | Berm    | Polygoon | 203076,84 | 439391,17 |
| Berm  | 8431   | 3      | 09:35, 6 dec 2018 | Berm | Berm    | Polygoon | 203700,92 | 439183,37 |
| Berm  | 8433   | 3      | 09:35, 6 dec 2018 | Berm | Berm    | Polygoon | 203500,45 | 439175,17 |
| Berm  | 8434   | 3      | 09:35, 6 dec 2018 | Berm | Berm    | Polygoon | 203017,10 | 439472,15 |
| Berm  | 8436   | 3      | 09:35, 6 dec 2018 | Berm | Berm    | Polygoon | 202906,52 | 439426,16 |
| Berm  | 8437   | 3      | 09:35, 6 dec 2018 | Berm | Berm    | Polygoon | 203522,12 | 439152,67 |
| Berm  | 8438   | 3      | 09:35, 6 dec 2018 | Berm | Berm    | Polygoon | 203885,57 | 439226,79 |
| Berm  | 8440   | 3      | 09:35, 6 dec 2018 | Berm | Berm    | Polygoon | 203796,18 | 439214,43 |
| Berm  | 8441   | 3      | 09:35, 6 dec 2018 | Berm | Berm    | Polygoon | 203950,39 | 439243,29 |
| Berm  | 8442   | 3      | 09:35, 6 dec 2018 | Berm | Berm    | Polygoon | 203998,44 | 439224,16 |
| Berm  | 8443   | 3      | 09:35, 6 dec 2018 | Berm | Berm    | Polygoon | 203821,18 | 439234,04 |
| Berm  | 8444   | 3      | 09:35, 6 dec 2018 | Berm | Berm    | Polygoon | 203408,66 | 439158,84 |
| Berm  | 8445   | 3      | 09:35, 6 dec 2018 | Berm | Berm    | Polygoon | 203694,72 | 439204,05 |
| Berm  | 8446   | 3      | 09:35, 6 dec 2018 | Berm | Berm    | Polygoon | 203326,78 | 439188,08 |
| Berm  | 8447   | 3      | 09:35, 6 dec 2018 | Berm | Berm    | Polygoon | 203042,73 | 439419,79 |
| Berm  | 8448   | 3      | 09:35, 6 dec 2018 | Berm | Berm    | Polygoon | 203402,03 | 439168,92 |
| Berm  | 8451   | 3      | 09:35, 6 dec 2018 | Berm | Berm    | Polygoon | 202839,51 | 439664,42 |
| Berm  | 8452   | 3      | 09:35, 6 dec 2018 | Berm | Berm    | Polygoon | 203473,26 | 439149,74 |
| Berm  | 8453   | 3      | 09:35, 6 dec 2018 | Berm | Berm    | Polygoon | 203009,17 | 439460,57 |
| Berm  | 8454   | 3      | 09:35, 6 dec 2018 | Berm | Berm    | Polygoon | 203520,04 | 439157,41 |
| Berm  | 8455   | 3      | 09:35, 6 dec 2018 | Berm | Berm    | Polygoon | 203041,49 | 439424,56 |
| Berm  | 8456   | 3      | 09:35, 6 dec 2018 | Berm | Berm    | Polygoon | 203401,26 | 439160,49 |
| Berm  | 8457   | 3      | 09:35, 6 dec 2018 | Berm | Berm    | Polygoon | 203959,26 | 439231,15 |
| Berm  | 8459   | 3      | 09:35, 6 dec 2018 | Berm | Berm    | Polygoon | 203400,81 | 439160,68 |
| Berm  | 8460   | 3      | 09:35, 6 dec 2018 | Berm | Berm    | Polygoon | 203821,31 | 439219,52 |
| Berm  | 8461   | 3      | 09:35, 6 dec 2018 | Berm | Berm    | Polygoon | 203821,06 | 439219,62 |
| Berm  | 8462   | 3      | 09:35, 6 dec 2018 | Berm | Berm    | Polygoon | 203403,38 | 439168,64 |
| Berm  | 8464   | 3      | 09:35, 6 dec 2018 | Berm | Berm    | Polygoon | 203501,57 | 439154,94 |
| Berm  | 8465   | 3      | 09:35, 6 dec 2018 | Berm | Berm    | Polygoon | 202937,88 | 439533,54 |
| Berm  | 8467   | 3      | 09:35, 6 dec 2018 | Berm | Berm    | Polygoon | 203474,14 | 439149,85 |
| Berm  | 8472   | 3      | 09:35, 6 dec 2018 | Berm | Berm    | Polygoon | 204785,78 | 439855,30 |
| Berm  | 8475   | 3      | 09:35, 6 dec 2018 | Berm | Berm    | Polygoon | 204835,55 | 438976,80 |
| Berm  | 8476   | 3      | 09:35, 6 dec 2018 | Berm | Berm    | Polygoon | 204831,74 | 438967,13 |
| Berm  | 8479   | 3      | 09:35, 6 dec 2018 | Berm | Berm    | Polygoon | 204410,76 | 439042,24 |
| Berm  | 8480   | 3      | 09:35, 6 dec 2018 | Berm | Berm    | Polygoon | 204196,84 | 439136,32 |
| Berm  | 8481   | 3      | 09:35, 6 dec 2018 | Berm | Berm    | Polygoon | 204390,39 | 439039,84 |
| Berm  | 8488   | 3      | 09:35, 6 dec 2018 | Berm | Berm    | Polygoon | 204179,18 | 439156,83 |
| Berm  | 8491   | 3      | 09:35, 6 dec 2018 | Berm | Berm    | Polygoon | 204488,81 | 438994,42 |
| Berm  | 8492   | 3      | 09:35, 6 dec 2018 | Berm | Berm    | Polygoon | 204464,45 | 439019,09 |
| Berm  | 8509   | 3      | 09:35, 6 dec 2018 | Berm | Berm    | Polygoon | 204739,11 | 438982,19 |
| Berm  | 8511   | 3      | 09:35, 6 dec 2018 | Berm | Berm    | Polygoon | 204051,60 | 439218,37 |
| Berm  | 8514   | 3      | 09:35, 6 dec 2018 | Berm | Berm    | Polygoon | 204542,13 | 438995,82 |
| Berm  | 8517   | 3      | 09:35, 6 dec 2018 | Berm | Berm    | Polygoon | 204739,54 | 438965,23 |
| Berm  | 8520   | 3      | 09:35, 6 dec 2018 | Berm | Berm    | Polygoon | 204441,23 | 439008,08 |
| Berm  | 8523   | 3      | 09:35, 6 dec 2018 | Berm | Berm    | Polygoon | 204308,51 | 439070,32 |
| Berm  | 8524   | 3      | 09:35, 6 dec 2018 | Berm | Berm    | Polygoon | 204224,08 | 439122,79 |
| Berm  | 8531   | 3      | 09:35, 6 dec 2018 | Berm | Berm    | Polygoon | 204371,36 | 439061,62 |
| Berm  | 8540   | 3      | 09:35, 6 dec 2018 | Berm | Berm    | Polygoon | 204832,79 | 438983,84 |

## Invoergegevens van het model

Model: Tatelaarweg op basis van 2031 (tracebesluit) met tatelaarweg 80 km/uur  
 Tatelaarweg (2021-07) - Tatelaarweg  
 Groep: (hoofdgroep)  
 Lijst van Bodemgebieden, voor rekenmethode Wegverkeerslawaai - RMG-2012, wegverkeer

| Groep | Vormpunten | Omtrek | Oppervlak | Min.lengte | Max.lengte | Bf   |
|-------|------------|--------|-----------|------------|------------|------|
| Berm  | 3          | 7,21   | 0,12      | 0,07       | 3,57       | 0,80 |
| Berm  | 14         | 134,42 | 69,67     | 0,11       | 30,95      | 0,80 |
| Berm  | 11         | 77,84  | 132,54    | 0,28       | 30,25      | 0,80 |
| Berm  | 6          | 47,54  | 62,03     | 0,35       | 20,42      | 0,80 |
| Berm  | 6          | 100,00 | 33,26     | 0,66       | 38,06      | 0,80 |
| Berm  | 11         | 143,45 | 227,80    | 2,22       | 32,67      | 0,80 |
| Berm  | 5          | 19,80  | 23,60     | 0,51       | 5,89       | 0,80 |
| Berm  | 58         | 117,22 | 130,89    | 0,16       | 21,36      | 0,80 |
| Berm  | 26         | 403,73 | 526,90    | 0,09       | 42,02      | 0,80 |
| Berm  | 41         | 153,06 | 150,73    | 0,16       | 16,19      | 0,80 |
| Berm  | 10         | 15,82  | 9,02      | 0,05       | 7,03       | 0,80 |
| Berm  | 38         | 96,39  | 219,77    | 0,27       | 23,99      | 0,80 |
| Berm  | 17         | 62,03  | 52,17     | 0,15       | 27,13      | 0,80 |
| Berm  | 6          | 92,48  | 16,08     | 0,20       | 27,46      | 0,80 |
| Berm  | 9          | 33,28  | 29,56     | 0,27       | 12,89      | 0,80 |
| Berm  | 10         | 202,12 | 69,29     | 0,69       | 54,39      | 0,80 |
| Berm  | 6          | 20,78  | 12,26     | 1,08       | 8,07       | 0,80 |
| Berm  | 87         | 173,95 | 169,15    | 0,07       | 21,55      | 0,80 |
| Berm  | 6          | 34,21  | 49,15     | 1,19       | 14,19      | 0,80 |
| Berm  | 33         | 290,31 | 244,16    | 1,01       | 26,36      | 0,80 |
| Berm  | 6          | 6,11   | 1,52      | 0,10       | 2,00       | 0,80 |
| Berm  | 43         | 240,93 | 360,06    | 0,23       | 42,11      | 0,80 |
| Berm  | 7          | 200,82 | 372,10    | 3,60       | 78,67      | 0,80 |
| Berm  | 16         | 107,94 | 174,99    | 1,58       | 12,40      | 0,80 |
| Berm  | 5          | 17,83  | 13,23     | 0,73       | 6,64       | 0,80 |
| Berm  | 5          | 43,11  | 63,42     | 4,01       | 19,30      | 0,80 |
| Berm  | 10         | 25,26  | 7,29      | 0,56       | 12,04      | 0,80 |
| Berm  | 6          | 205,33 | 373,18    | 3,83       | 92,20      | 0,80 |
| Berm  | 22         | 94,02  | 148,05    | 0,70       | 22,52      | 0,80 |
| Berm  | 16         | 133,33 | 99,48     | 0,66       | 24,71      | 0,80 |
| Berm  | 51         | 18,84  | 9,72      | 0,04       | 7,97       | 0,80 |
| Berm  | 9          | 30,20  | 52,17     | 0,08       | 6,32       | 0,80 |
| Berm  | 51         | 9,64   | 6,07      | 0,03       | 2,90       | 0,80 |
| Berm  | 7          | 72,95  | 65,01     | 0,96       | 31,86      | 0,80 |
| Berm  | 8          | 38,90  | 18,26     | 0,18       | 16,91      | 0,80 |
| Berm  | 19         | 106,08 | 91,76     | 0,29       | 28,29      | 0,80 |
| Berm  | 11         | 15,14  | 4,26      | 0,54       | 7,03       | 0,80 |
| Berm  | 30         | 140,97 | 198,10    | 1,76       | 17,62      | 0,80 |
| Berm  | 4          | 3,29   | 0,64      | 0,60       | 1,04       | 0,80 |
| Berm  | 4          | 49,10  | 75,61     | 3,84       | 21,87      | 0,80 |
| Berm  | 4          | 48,62  | 69,76     | 3,42       | 21,84      | 0,80 |
| Berm  | 4          | 5,40   | 1,81      | 1,26       | 1,47       | 0,80 |
| Berm  | 14         | 39,33  | 25,44     | 0,50       | 8,76       | 0,80 |
| Berm  | 16         | 79,73  | 59,34     | 0,86       | 21,68      | 0,80 |
| Berm  | 95         | 9,04   | 5,89      | 0,03       | 1,68       | 0,80 |
| Berm  | 11         | 144,39 | 36,22     | 6,02       | 25,06      | 0,80 |
| Berm  | 6          | 89,02  | 141,18    | 3,35       | 29,00      | 0,80 |
| Berm  | 10         | 206,67 | 327,49    | 0,40       | 82,49      | 0,80 |
| Berm  | 8          | 88,60  | 162,05    | 3,57       | 27,41      | 0,80 |
| Berm  | 5          | 56,13  | 88,86     | 0,40       | 25,19      | 0,80 |
| Berm  | 7          | 38,22  | 45,82     | 0,71       | 12,81      | 0,80 |
| Berm  | 4          | 23,75  | 29,90     | 3,85       | 8,73       | 0,80 |
| Berm  | 3          | 15,48  | 4,16      | 1,18       | 7,22       | 0,80 |
| Berm  | 29         | 170,60 | 328,83    | 2,60       | 27,99      | 0,80 |
| Berm  | 16         | 130,63 | 202,19    | 1,59       | 34,41      | 0,80 |
| Berm  | 13         | 74,72  | 98,73     | 0,01       | 10,72      | 0,80 |
| Berm  | 11         | 48,29  | 80,12     | 2,88       | 16,47      | 0,80 |
| Berm  | 38         | 19,22  | 13,82     | 0,11       | 5,97       | 0,80 |
| Berm  | 6          | 26,99  | 5,52      | 0,74       | 12,47      | 0,80 |
| Berm  | 10         | 9,60   | 3,83      | 0,03       | 2,11       | 0,80 |
| Berm  | 8          | 98,22  | 166,33    | 0,43       | 40,54      | 0,80 |
| Berm  | 8          | 110,43 | 199,00    | 3,20       | 37,58      | 0,80 |
| Berm  | 10         | 94,70  | 59,15     | 0,20       | 31,10      | 0,80 |

## Invoergegevens van het model

Model: Tatelaarweg op basis van 2031 (tracebesluit) met tatelaarweg 80 km/uur  
 Tatelaarweg (2021-07) - Tatelaarweg  
 Groep: (hoofdgroep)  
 Lijst van Bodemgebieden, voor rekenmethode Wegverkeerslawaaai - RMG-2012, wegverkeer

| Groep | ItemID | Grp.ID | Datum             | Naam | Omschr. | Vorm     | X-1       | Y-1       |
|-------|--------|--------|-------------------|------|---------|----------|-----------|-----------|
| Berm  | 8542   | 3      | 09:35, 6 dec 2018 | Berm | Berm    | Polygoon | 204102,96 | 439182,70 |
| Berm  | 8547   | 3      | 09:35, 6 dec 2018 | Berm | Berm    | Polygoon | 203707,00 | 439218,36 |
| Berm  | 8548   | 3      | 09:35, 6 dec 2018 | Berm | Berm    | Polygoon | 202895,97 | 439852,89 |
| Berm  | 8549   | 3      | 09:35, 6 dec 2018 | Berm | Berm    | Polygoon | 202915,64 | 439851,18 |
| Berm  | 8550   | 3      | 09:35, 6 dec 2018 | Berm | Berm    | Polygoon | 203598,61 | 439183,88 |
| Berm  | 8551   | 3      | 09:35, 6 dec 2018 | Berm | Berm    | Polygoon | 202946,46 | 439544,26 |
| Berm  | 8552   | 3      | 09:35, 6 dec 2018 | Berm | Berm    | Polygoon | 202880,52 | 439602,61 |
| Berm  | 8561   | 3      | 09:35, 6 dec 2018 | Berm | Berm    | Polygoon | 204938,48 | 438993,76 |
| Berm  | 8562   | 3      | 09:35, 6 dec 2018 | Berm | Berm    | Polygoon | 204606,90 | 438984,27 |
| Berm  | 8566   | 3      | 09:35, 6 dec 2018 | Berm | Berm    | Polygoon | 204219,29 | 439118,09 |
| Berm  | 8567   | 3      | 09:35, 6 dec 2018 | Berm | Berm    | Polygoon | 204136,34 | 439181,41 |
| Berm  | 8568   | 3      | 09:35, 6 dec 2018 | Berm | Berm    | Polygoon | 204138,18 | 439184,96 |
| Berm  | 8569   | 3      | 09:35, 6 dec 2018 | Berm | Berm    | Polygoon | 204193,42 | 439131,01 |
| Berm  | 8570   | 3      | 09:35, 6 dec 2018 | Berm | Berm    | Polygoon | 204668,70 | 438969,78 |
| Berm  | 8578   | 3      | 09:35, 6 dec 2018 | Berm | Berm    | Polygoon | 204840,14 | 439489,51 |
| Berm  | 8585   | 3      | 09:35, 6 dec 2018 | Berm | Berm    | Polygoon | 204095,90 | 439811,75 |
| Berm  | 8590   | 3      | 09:35, 6 dec 2018 | Berm | Berm    | Polygoon | 204881,30 | 439748,56 |
| Berm  | 8593   | 3      | 09:35, 6 dec 2018 | Berm | Berm    | Polygoon | 202874,74 | 439721,00 |
| Berm  | 8594   | 3      | 09:35, 6 dec 2018 | Berm | Berm    | Polygoon | 202874,30 | 439753,51 |
| Berm  | 8600   | 3      | 09:35, 6 dec 2018 | Berm | Berm    | Polygoon | 204556,61 | 438961,10 |
| Berm  | 8603   | 3      | 09:35, 6 dec 2018 | Berm | Berm    | Polygoon | 204845,21 | 438950,79 |
| Berm  | 8606   | 3      | 09:35, 6 dec 2018 | Berm | Berm    | Polygoon | 204107,65 | 439948,96 |
| Berm  | 8610   | 3      | 09:35, 6 dec 2018 | Berm | Berm    | Polygoon | 202867,40 | 439565,77 |
| Berm  | 8625   | 3      | 09:35, 6 dec 2018 | Berm | Berm    | Polygoon | 202841,17 | 439561,73 |
| Berm  | 8627   | 3      | 09:35, 6 dec 2018 | Berm | Berm    | Polygoon | 204552,51 | 438962,84 |
| Berm  | 8628   | 3      | 09:35, 6 dec 2018 | Berm | Berm    | Polygoon | 202871,36 | 439611,77 |
| Berm  | 8630   | 3      | 09:35, 6 dec 2018 | Berm | Berm    | Polygoon | 203918,95 | 439229,08 |
| Berm  | 8632   | 3      | 09:35, 6 dec 2018 | Berm | Berm    | Polygoon | 204613,67 | 440022,02 |
| Berm  | 8636   | 3      | 09:35, 6 dec 2018 | Berm | Berm    | Polygoon | 204992,58 | 439587,95 |
| Berm  | 8638   | 3      | 09:35, 6 dec 2018 | Berm | Berm    | Polygoon | 204461,30 | 438018,93 |
| Berm  | 8639   | 3      | 09:35, 6 dec 2018 | Berm | Berm    | Polygoon | 204598,32 | 438995,06 |
| Berm  | 8641   | 3      | 09:35, 6 dec 2018 | Berm | Berm    | Polygoon | 204068,18 | 439222,16 |
| Berm  | 8642   | 3      | 09:35, 6 dec 2018 | Berm | Berm    | Polygoon | 204795,93 | 438848,32 |
| Berm  | 8644   | 3      | 09:35, 6 dec 2018 | Berm | Berm    | Polygoon | 204731,70 | 438954,16 |
| Berm  | 8645   | 3      | 09:35, 6 dec 2018 | Berm | Berm    | Polygoon | 203609,66 | 439178,29 |
| Berm  | 8650   | 3      | 09:35, 6 dec 2018 | Berm | Berm    | Polygoon | 203943,46 | 438503,90 |
| Berm  | 8662   | 3      | 09:35, 6 dec 2018 | Berm | Berm    | Polygoon | 204705,76 | 438960,55 |
| Berm  | 8664   | 3      | 09:35, 6 dec 2018 | Berm | Berm    | Polygoon | 204585,19 | 439349,50 |
| Berm  | 8667   | 3      | 09:35, 6 dec 2018 | Berm | Berm    | Polygoon | 204408,68 | 439519,07 |
| Berm  | 8672   | 3      | 09:35, 6 dec 2018 | Berm | Berm    | Polygoon | 205000,00 | 439561,81 |
| Berm  | 8680   | 3      | 09:35, 6 dec 2018 | Berm | Berm    | Polygoon | 204078,40 | 439219,02 |
| Berm  | 8681   | 3      | 09:35, 6 dec 2018 | Berm | Berm    | Polygoon | 202902,81 | 439762,44 |
| Berm  | 8682   | 3      | 09:35, 6 dec 2018 | Berm | Berm    | Polygoon | 203466,15 | 439155,49 |
| Berm  | 8684   | 3      | 09:35, 6 dec 2018 | Berm | Berm    | Polygoon | 204305,60 | 439348,88 |
| Berm  | 8685   | 3      | 09:35, 6 dec 2018 | Berm | Berm    | Polygoon | 202903,14 | 439973,58 |
| Berm  | 8689   | 3      | 09:35, 6 dec 2018 | Berm | Berm    | Polygoon | 202902,12 | 439588,71 |
| Berm  | 8690   | 3      | 09:35, 6 dec 2018 | Berm | Berm    | Polygoon | 202820,41 | 439477,41 |
| Berm  | 8695   | 3      | 09:35, 6 dec 2018 | Berm | Berm    | Polygoon | 204769,84 | 438982,51 |
| Berm  | 8697   | 3      | 09:35, 6 dec 2018 | Berm | Berm    | Polygoon | 204103,21 | 439182,57 |
| Berm  | 8700   | 3      | 09:35, 6 dec 2018 | Berm | Berm    | Polygoon | 204140,45 | 439150,33 |
| Berm  | 8701   | 3      | 09:35, 6 dec 2018 | Berm | Berm    | Polygoon | 204302,04 | 439071,13 |
| Berm  | 8706   | 3      | 09:35, 6 dec 2018 | Berm | Berm    | Polygoon | 204838,64 | 438988,11 |
| Berm  | 8707   | 3      | 09:35, 6 dec 2018 | Berm | Berm    | Polygoon | 204646,77 | 438185,60 |
| Berm  | 8710   | 3      | 09:35, 6 dec 2018 | Berm | Berm    | Polygoon | 204811,38 | 439484,80 |
| Berm  | 8714   | 3      | 09:35, 6 dec 2018 | Berm | Berm    | Polygoon | 203323,50 | 439209,60 |
| Berm  | 8723   | 3      | 09:35, 6 dec 2018 | Berm | Berm    | Polygoon | 204699,68 | 438970,20 |
| Berm  | 8725   | 3      | 09:35, 6 dec 2018 | Berm | Berm    | Polygoon | 204114,50 | 439201,15 |
| Berm  | 8728   | 3      | 09:35, 6 dec 2018 | Berm | Berm    | Polygoon | 203394,62 | 439162,98 |
| Berm  | 8729   | 3      | 09:35, 6 dec 2018 | Berm | Berm    | Polygoon | 204406,16 | 439031,66 |
| Berm  | 8730   | 3      | 09:35, 6 dec 2018 | Berm | Berm    | Polygoon | 204638,70 | 438964,11 |
| Berm  | 8735   | 3      | 09:35, 6 dec 2018 | Berm | Berm    | Polygoon | 204424,94 | 439016,93 |
| Berm  | 8738   | 3      | 09:35, 6 dec 2018 | Berm | Berm    | Polygoon | 203302,53 | 439192,41 |
| Berm  | 8740   | 3      | 09:35, 6 dec 2018 | Berm | Berm    | Polygoon | 204489,67 | 439020,56 |

## Invoergegevens van het model

Model: Tatelaarweg op basis van 2031 (tracebesluit) met tatelaarweg 80 km/uur  
 Tatelaarweg (2021-07) - Tatelaarweg  
 Groep: (hoofdgroep)  
 Lijst van Bodemgebieden, voor rekenmethode Wegverkeerslawaaai - RMG-2012, wegverkeer

| Groep | Vormpunten | Omtrek  | Oppervlak | Min.lengte | Max.lengte | Bf   |
|-------|------------|---------|-----------|------------|------------|------|
| Berm  | 5          | 91,40   | 146,70    | 3,45       | 42,96      | 0,80 |
| Berm  | 11         | 35,07   | 39,50     | 0,83       | 9,68       | 0,80 |
| Berm  | 11         | 221,09  | 108,74    | 0,20       | 54,58      | 0,80 |
| Berm  | 6          | 108,44  | 90,58     | 1,90       | 49,91      | 0,80 |
| Berm  | 23         | 205,14  | 360,17    | 3,45       | 48,24      | 0,80 |
| Berm  | 9          | 92,47   | 163,69    | 3,96       | 18,97      | 0,80 |
| Berm  | 5          | 15,81   | 9,00      | 0,21       | 7,03       | 0,80 |
| Berm  | 6          | 18,60   | 19,18     | 1,24       | 6,71       | 0,80 |
| Berm  | 21         | 161,68  | 288,16    | 0,59       | 20,03      | 0,80 |
| Berm  | 9          | 99,81   | 135,14    | 0,33       | 43,36      | 0,80 |
| Berm  | 13         | 160,22  | 71,89     | 0,34       | 47,17      | 0,80 |
| Berm  | 16         | 166,06  | 310,55    | 0,40       | 47,17      | 0,80 |
| Berm  | 11         | 55,66   | 68,44     | 0,16       | 16,91      | 0,80 |
| Berm  | 7          | 71,46   | 116,00    | 3,66       | 22,05      | 0,80 |
| Berm  | 8          | 60,78   | 29,32     | 0,36       | 19,69      | 0,80 |
| Berm  | 34         | 407,76  | 320,26    | 0,45       | 52,69      | 0,80 |
| Berm  | 27         | 325,03  | 218,57    | 0,27       | 36,20      | 0,80 |
| Berm  | 106        | 275,78  | 889,10    | 0,11       | 36,54      | 0,80 |
| Berm  | 30         | 210,19  | 122,86    | 0,25       | 44,38      | 0,80 |
| Berm  | 24         | 283,13  | 207,09    | 0,65       | 69,17      | 0,80 |
| Berm  | 12         | 24,39   | 11,96     | 0,71       | 4,11       | 0,80 |
| Berm  | 29         | 211,68  | 237,36    | 0,07       | 39,39      | 0,80 |
| Berm  | 10         | 43,50   | 42,06     | 0,87       | 17,79      | 0,80 |
| Berm  | 4          | 33,45   | 21,47     | 1,24       | 15,92      | 0,80 |
| Berm  | 21         | 310,41  | 383,05    | 0,34       | 36,95      | 0,80 |
| Berm  | 19         | 30,42   | 52,19     | 0,06       | 5,04       | 0,80 |
| Berm  | 6          | 58,18   | 98,34     | 3,39       | 21,75      | 0,80 |
| Berm  | 50         | 319,46  | 159,09    | 0,16       | 17,39      | 0,80 |
| Berm  | 4          | 7,96    | 3,94      | 1,86       | 2,13       | 0,80 |
| Berm  | 50         | 207,14  | 355,15    | 0,41       | 19,94      | 0,80 |
| Berm  | 19         | 210,49  | 704,42    | 0,93       | 25,43      | 0,80 |
| Berm  | 3          | 8,22    | 2,71      | 2,28       | 3,54       | 0,80 |
| Berm  | 17         | 318,30  | 207,42    | 0,58       | 102,76     | 0,80 |
| Berm  | 7          | 207,87  | 187,13    | 0,82       | 102,50     | 0,80 |
| Berm  | 4          | 26,41   | 26,98     | 2,47       | 11,20      | 0,80 |
| Berm  | 187        | 3010,05 | 5715,54   | 0,01       | 174,16     | 0,80 |
| Berm  | 44         | 63,33   | 78,82     | 0,12       | 22,93      | 0,80 |
| Berm  | 77         | 638,96  | 611,90    | 0,30       | 34,35      | 0,80 |
| Berm  | 48         | 311,34  | 150,85    | 0,48       | 20,34      | 0,80 |
| Berm  | 6          | 8,53    | 4,55      | 0,21       | 2,13       | 0,80 |
| Berm  | 10         | 57,90   | 88,73     | 0,96       | 17,87      | 0,80 |
| Berm  | 6          | 30,54   | 26,84     | 0,12       | 12,50      | 0,80 |
| Berm  | 72         | 16,50   | 14,54     | 0,04       | 4,85       | 0,80 |
| Berm  | 41         | 134,92  | 60,00     | 0,20       | 14,54      | 0,80 |
| Berm  | 10         | 97,90   | 53,34     | 0,66       | 21,96      | 0,80 |
| Berm  | 10         | 123,68  | 61,24     | 0,80       | 27,32      | 0,80 |
| Berm  | 43         | 17,35   | 13,63     | 0,03       | 6,25       | 0,80 |
| Berm  | 6          | 65,82   | 87,34     | 3,16       | 18,99      | 0,80 |
| Berm  | 5          | 91,49   | 147,93    | 3,50       | 43,01      | 0,80 |
| Berm  | 14         | 10,73   | 4,68      | 0,42       | 2,36       | 0,80 |
| Berm  | 7          | 9,47    | 4,78      | 0,03       | 2,60       | 0,80 |
| Berm  | 5          | 114,56  | 87,32     | 1,24       | 55,73      | 0,80 |
| Berm  | 18         | 15,45   | 6,30      | 0,27       | 1,54       | 0,80 |
| Berm  | 8          | 161,14  | 100,38    | 0,54       | 40,36      | 0,80 |
| Berm  | 46         | 168,57  | 186,15    | 0,31       | 25,62      | 0,80 |
| Berm  | 7          | 51,53   | 77,87     | 0,89       | 17,58      | 0,80 |
| Berm  | 13         | 60,87   | 107,91    | 0,99       | 17,29      | 0,80 |
| Berm  | 6          | 12,87   | 4,75      | 0,15       | 5,62       | 0,80 |
| Berm  | 5          | 84,42   | 24,62     | 0,11       | 41,61      | 0,80 |
| Berm  | 12         | 77,84   | 132,54    | 0,08       | 30,25      | 0,80 |
| Berm  | 4          | 38,18   | 9,60      | 1,20       | 18,54      | 0,80 |
| Berm  | 15         | 102,26  | 46,67     | 0,90       | 16,55      | 0,80 |
| Berm  | 19         | 209,99  | 712,36    | 3,12       | 27,22      | 0,80 |

## Invoergegevens van het model

Model: Tatelaarweg op basis van 2031 (tracebesluit) met tatelaarweg 80 km/uur  
 Tatelaarweg (2021-07) - Tatelaarweg  
 Groep: (hoofdgroep)  
 Lijst van Bodemgebieden, voor rekenmethode Wegverkeerslawaaï - RMG-2012, wegverkeer

| Groep | ItemID | Grp.ID | Datum             | Naam | Omschr. | Vorm     | X-1       | Y-1       |
|-------|--------|--------|-------------------|------|---------|----------|-----------|-----------|
| Berm  | 8746   | 3      | 09:35, 6 dec 2018 | Berm | Berm    | Polygoon | 203042,34 | 439424,12 |
| Berm  | 8747   | 3      | 09:35, 6 dec 2018 | Berm | Berm    | Polygoon | 203389,11 | 439141,34 |
| Berm  | 8750   | 3      | 09:35, 6 dec 2018 | Berm | Berm    | Polygoon | 203790,04 | 439223,84 |
| Berm  | 8751   | 3      | 09:35, 6 dec 2018 | Berm | Berm    | Polygoon | 203520,25 | 439157,56 |
| Berm  | 8752   | 3      | 09:35, 6 dec 2018 | Berm | Berm    | Polygoon | 202964,32 | 439508,59 |
| Berm  | 8754   | 3      | 09:35, 6 dec 2018 | Berm | Berm    | Polygoon | 204560,21 | 438974,01 |
| Berm  | 8758   | 3      | 09:35, 6 dec 2018 | Berm | Berm    | Polygoon | 203235,62 | 439264,49 |
| Berm  | 8761   | 3      | 09:35, 6 dec 2018 | Berm | Berm    | Polygoon | 202869,92 | 439656,46 |
| Berm  | 8762   | 3      | 09:35, 6 dec 2018 | Berm | Berm    | Polygoon | 203947,97 | 439243,59 |
| Berm  | 8765   | 3      | 09:35, 6 dec 2018 | Berm | Berm    | Polygoon | 204588,16 | 438963,70 |
| Berm  | 8767   | 3      | 09:35, 6 dec 2018 | Berm | Berm    | Polygoon | 204171,76 | 439141,74 |
| Berm  | 8768   | 3      | 09:35, 6 dec 2018 | Berm | Berm    | Polygoon | 204588,16 | 438963,70 |
| Berm  | 8769   | 3      | 09:35, 6 dec 2018 | Berm | Berm    | Polygoon | 203918,81 | 439252,44 |
| Berm  | 8770   | 3      | 09:35, 6 dec 2018 | Berm | Berm    | Polygoon | 204082,17 | 439186,16 |
| Berm  | 8771   | 3      | 09:35, 6 dec 2018 | Berm | Berm    | Polygoon | 203440,97 | 439180,42 |
| Berm  | 8772   | 3      | 09:35, 6 dec 2018 | Berm | Berm    | Polygoon | 204934,40 | 438997,06 |
| Berm  | 8776   | 3      | 09:35, 6 dec 2018 | Berm | Berm    | Polygoon | 204261,45 | 439097,60 |
| Berm  | 8777   | 3      | 09:35, 6 dec 2018 | Berm | Berm    | Polygoon | 204041,80 | 439205,27 |
| Berm  | 8784   | 3      | 09:35, 6 dec 2018 | Berm | Berm    | Polygoon | 204068,98 | 439635,52 |
| Berm  | 8787   | 3      | 09:35, 6 dec 2018 | Berm | Berm    | Polygoon | 204351,03 | 439053,15 |
| Berm  | 8790   | 3      | 09:35, 6 dec 2018 | Berm | Berm    | Polygoon | 204646,77 | 438185,60 |
| Berm  | 8791   | 3      | 09:35, 6 dec 2018 | Berm | Berm    | Polygoon | 204405,41 | 439524,33 |
| Berm  | 8803   | 3      | 09:35, 6 dec 2018 | Berm | Berm    | Polygoon | 204551,70 | 438972,21 |
| Berm  | 8805   | 3      | 09:35, 6 dec 2018 | Berm | Berm    | Polygoon | 204351,03 | 439053,15 |
| Berm  | 8806   | 3      | 09:35, 6 dec 2018 | Berm | Berm    | Polygoon | 204082,17 | 439186,16 |
| Berm  | 8807   | 3      | 09:35, 6 dec 2018 | Berm | Berm    | Polygoon | 203710,01 | 439218,94 |
| Berm  | 8809   | 3      | 09:35, 6 dec 2018 | Berm | Berm    | Polygoon | 202839,51 | 439664,42 |
| Berm  | 8812   | 3      | 09:35, 6 dec 2018 | Berm | Berm    | Polygoon | 204386,15 | 439035,89 |
| Berm  | 8818   | 3      | 09:35, 6 dec 2018 | Berm | Berm    | Polygoon | 204973,08 | 439642,79 |
| Berm  | 8820   | 3      | 09:35, 6 dec 2018 | Berm | Berm    | Polygoon | 204850,84 | 438990,52 |
| Berm  | 8823   | 3      | 09:35, 6 dec 2018 | Berm | Berm    | Polygoon | 202869,79 | 439571,38 |
| Berm  | 8827   | 3      | 09:35, 6 dec 2018 | Berm | Berm    | Polygoon | 202834,18 | 439652,45 |
| Berm  | 8831   | 3      | 09:35, 6 dec 2018 | Berm | Berm    | Polygoon | 204613,67 | 440022,02 |
| Berm  | 8832   | 3      | 09:35, 6 dec 2018 | Berm | Berm    | Polygoon | 203791,65 | 439206,53 |
| Berm  | 8833   | 3      | 09:35, 6 dec 2018 | Berm | Berm    | Polygoon | 202887,21 | 439570,69 |
| Berm  | 8834   | 3      | 09:35, 6 dec 2018 | Berm | Berm    | Polygoon | 202968,76 | 439503,85 |
| Berm  | 8835   | 3      | 09:35, 6 dec 2018 | Berm | Berm    | Polygoon | 203998,46 | 439224,16 |
| Berm  | 8836   | 3      | 09:35, 6 dec 2018 | Berm | Berm    | Polygoon | 203708,24 | 439210,55 |
| Berm  | 8837   | 3      | 09:35, 6 dec 2018 | Berm | Berm    | Polygoon | 203391,27 | 439170,90 |
| Berm  | 8838   | 3      | 09:35, 6 dec 2018 | Berm | Berm    | Polygoon | 203418,75 | 439165,46 |
| Berm  | 8839   | 3      | 09:35, 6 dec 2018 | Berm | Berm    | Polygoon | 203444,43 | 439149,30 |
| Berm  | 8840   | 3      | 09:35, 6 dec 2018 | Berm | Berm    | Polygoon | 203463,43 | 439161,96 |
| Berm  | 8841   | 3      | 09:35, 6 dec 2018 | Berm | Berm    | Polygoon | 203009,17 | 439460,57 |
| Berm  | 8842   | 3      | 09:35, 6 dec 2018 | Berm | Berm    | Polygoon | 202906,97 | 439792,42 |
| Berm  | 8844   | 3      | 09:35, 6 dec 2018 | Berm | Berm    | Polygoon | 202978,60 | 439514,01 |
| Berm  | 8845   | 3      | 09:35, 6 dec 2018 | Berm | Berm    | Polygoon | 203820,36 | 439230,19 |
| Berm  | 8846   | 3      | 09:35, 6 dec 2018 | Berm | Berm    | Polygoon | 203443,43 | 439153,58 |
| Berm  | 8847   | 3      | 09:35, 6 dec 2018 | Berm | Berm    | Polygoon | 202852,01 | 439588,30 |
| Berm  | 8848   | 3      | 09:35, 6 dec 2018 | Berm | Berm    | Polygoon | 203414,75 | 439173,63 |
| Berm  | 8849   | 3      | 09:35, 6 dec 2018 | Berm | Berm    | Polygoon | 202903,64 | 439830,74 |
| Berm  | 8850   | 3      | 09:35, 6 dec 2018 | Berm | Berm    | Polygoon | 204493,31 | 438988,56 |
| Berm  | 8858   | 3      | 09:35, 6 dec 2018 | Berm | Berm    | Polygoon | 204508,70 | 437955,46 |
| Berm  | 8859   | 3      | 09:35, 6 dec 2018 | Berm | Berm    | Polygoon | 203079,28 | 438792,78 |
| Berm  | 8861   | 3      | 09:35, 6 dec 2018 | Berm | Berm    | Polygoon | 203790,26 | 439223,81 |
| Berm  | 8862   | 3      | 09:35, 6 dec 2018 | Berm | Berm    | Polygoon | 203412,54 | 439166,90 |
| Berm  | 8864   | 3      | 09:35, 6 dec 2018 | Berm | Berm    | Polygoon | 204138,18 | 439184,96 |
| Berm  | 8865   | 3      | 09:35, 6 dec 2018 | Berm | Berm    | Polygoon | 204983,43 | 439535,05 |
| Berm  | 8875   | 3      | 09:35, 6 dec 2018 | Berm | Berm    | Polygoon | 204043,65 | 438610,41 |
| Berm  | 8876   | 3      | 09:35, 6 dec 2018 | Berm | Berm    | Polygoon | 204190,66 | 439151,15 |
| Berm  | 8877   | 3      | 09:35, 6 dec 2018 | Berm | Berm    | Polygoon | 204113,25 | 439196,41 |
| Berm  | 8879   | 3      | 09:35, 6 dec 2018 | Berm | Berm    | Polygoon | 204039,80 | 438419,57 |
| Berm  | 8881   | 3      | 09:35, 6 dec 2018 | Berm | Berm    | Polygoon | 204065,54 | 439201,34 |
| Berm  | 8884   | 3      | 09:35, 6 dec 2018 | Berm | Berm    | Polygoon | 204739,11 | 438982,19 |

## Invoergegevens van het model

Model: Tatelaarweg op basis van 2031 (tracebesluit) met tatelaarweg 80 km/uur  
 Tatelaarweg (2021-07) - Tatelaarweg  
 Groep: (hoofdgroep)  
 Lijst van Bodemgebieden, voor rekenmethode Wegverkeerslawaai - RMG-2012, wegverkeer

| Groep | Vormpunten | Omtrek  | Oppervlak | Min.lengte | Max.lengte | Bf   |
|-------|------------|---------|-----------|------------|------------|------|
| Berm  | 25         | 105,99  | 97,86     | 0,19       | 33,38      | 0,80 |
| Berm  | 5          | 14,28   | 12,79     | 0,63       | 4,36       | 0,80 |
| Berm  | 8          | 165,47  | 286,60    | 3,56       | 43,40      | 0,80 |
| Berm  | 9          | 39,40   | 17,73     | 0,18       | 17,13      | 0,80 |
| Berm  | 6          | 6,62    | 1,54      | 0,30       | 2,49       | 0,80 |
| Berm  | 26         | 167,77  | 192,64    | 0,73       | 25,44      | 0,80 |
| Berm  | 11         | 201,22  | 174,68    | 1,82       | 35,75      | 0,80 |
| Berm  | 74         | 129,14  | 595,13    | 0,11       | 29,23      | 0,80 |
| Berm  | 16         | 107,71  | 174,88    | 0,38       | 12,40      | 0,80 |
| Berm  | 20         | 201,06  | 232,19    | 0,95       | 39,51      | 0,80 |
| Berm  | 7          | 47,54   | 62,03     | 0,29       | 20,42      | 0,80 |
| Berm  | 22         | 201,06  | 232,19    | 0,21       | 39,51      | 0,80 |
| Berm  | 20         | 101,86  | 139,73    | 0,33       | 30,99      | 0,80 |
| Berm  | 10         | 134,78  | 193,07    | 3,07       | 24,85      | 0,80 |
| Berm  | 23         | 74,24   | 102,48    | 0,11       | 17,83      | 0,80 |
| Berm  | 4          | 10,44   | 4,50      | 1,18       | 4,44       | 0,80 |
| Berm  | 8          | 102,72  | 143,73    | 0,03       | 48,12      | 0,80 |
| Berm  | 9          | 101,59  | 143,38    | 1,25       | 34,68      | 0,80 |
| Berm  | 40         | 633,11  | 316,57    | 0,13       | 54,60      | 0,80 |
| Berm  | 7          | 73,25   | 106,47    | 2,24       | 33,34      | 0,80 |
| Berm  | 19         | 16,05   | 7,18      | 0,27       | 1,49       | 0,80 |
| Berm  | 23         | 245,57  | 109,94    | 1,01       | 33,57      | 0,80 |
| Berm  | 7          | 43,95   | 72,15     | 1,90       | 14,57      | 0,80 |
| Berm  | 8          | 73,25   | 106,47    | 0,50       | 33,34      | 0,80 |
| Berm  | 11         | 134,78  | 193,07    | 1,07       | 24,85      | 0,80 |
| Berm  | 18         | 178,96  | 254,44    | 0,59       | 39,55      | 0,80 |
| Berm  | 8          | 30,05   | 51,65     | 0,08       | 6,32       | 0,80 |
| Berm  | 23         | 127,87  | 167,20    | 0,98       | 24,20      | 0,80 |
| Berm  | 29         | 136,37  | 66,60     | 0,19       | 15,97      | 0,80 |
| Berm  | 5          | 28,00   | 20,47     | 1,59       | 12,33      | 0,80 |
| Berm  | 40         | 167,89  | 96,02     | 0,34       | 25,85      | 0,80 |
| Berm  | 18         | 62,03   | 52,17     | 0,15       | 27,13      | 0,80 |
| Berm  | 49         | 320,76  | 252,12    | 0,16       | 20,58      | 0,80 |
| Berm  | 27         | 403,73  | 526,90    | 0,09       | 42,02      | 0,80 |
| Berm  | 62         | 168,35  | 115,00    | 0,09       | 25,83      | 0,80 |
| Berm  | 5          | 5,72    | 1,45      | 0,50       | 2,23       | 0,80 |
| Berm  | 5          | 17,86   | 13,06     | 0,73       | 6,71       | 0,80 |
| Berm  | 4          | 23,25   | 27,40     | 3,86       | 9,36       | 0,80 |
| Berm  | 54         | 22,89   | 11,72     | 0,04       | 10,06      | 0,80 |
| Berm  | 109        | 30,39   | 21,50     | 0,03       | 1,86       | 0,80 |
| Berm  | 218        | 1452,52 | 3605,47   | 0,01       | 40,22      | 0,80 |
| Berm  | 92         | 38,59   | 36,36     | 0,04       | 2,38       | 0,80 |
| Berm  | 8          | 72,92   | 63,45     | 0,96       | 24,73      | 0,80 |
| Berm  | 6          | 48,74   | 41,22     | 0,97       | 20,73      | 0,80 |
| Berm  | 7          | 57,10   | 99,83     | 0,80       | 16,72      | 0,80 |
| Berm  | 5          | 43,43   | 61,38     | 3,92       | 19,69      | 0,80 |
| Berm  | 57         | 31,16   | 28,14     | 0,03       | 3,37       | 0,80 |
| Berm  | 38         | 93,73   | 200,65    | 0,04       | 41,30      | 0,80 |
| Berm  | 11         | 28,57   | 39,12     | 0,33       | 11,02      | 0,80 |
| Berm  | 8          | 123,24  | 393,64    | 0,47       | 54,80      | 0,80 |
| Berm  | 3          | 4,05    | 0,22      | 0,24       | 1,92       | 0,80 |
| Berm  | 376        | 4091,57 | 10221,45  | 0,01       | 174,16     | 0,80 |
| Berm  | 8          | 139,29  | 133,95    | 1,85       | 38,42      | 0,80 |
| Berm  | 9          | 167,03  | 294,67    | 0,73       | 44,74      | 0,80 |
| Berm  | 58         | 21,42   | 13,19     | 0,03       | 1,35       | 0,80 |
| Berm  | 16         | 164,65  | 307,85    | 0,71       | 47,17      | 0,80 |
| Berm  | 4          | 8,79    | 4,83      | 2,19       | 2,21       | 0,80 |
| Berm  | 28         | 831,98  | 5144,01   | 12,22      | 44,79      | 0,80 |
| Berm  | 6          | 54,01   | 88,20     | 1,21       | 24,29      | 0,80 |
| Berm  | 17         | 164,65  | 307,85    | 0,40       | 47,17      | 0,80 |
| Berm  | 63         | 12,91   | 9,13      | 0,04       | 4,17       | 0,80 |
| Berm  | 16         | 92,43   | 143,05    | 0,08       | 35,63      | 0,80 |
| Berm  | 16         | 130,72  | 201,88    | 1,59       | 34,41      | 0,80 |



## Invoergegevens van het model

Model: Tatelaarweg op basis van 2031 (tracebesluit) met tatelaarweg 80 km/uur  
 Tatelaarweg (2021-07) - Tatelaarweg  
 Groep: (hoofdgroep)  
 Lijst van Bodemgebieden, voor rekenmethode Wegverkeerslawaaai - RMG-2012, wegverkeer

| Groep | ItemID | Grp.ID | Datum             | Naam | Omschr. | Vorm     | X-1       | Y-1       |
|-------|--------|--------|-------------------|------|---------|----------|-----------|-----------|
| Berm  | 8888   | 3      | 09:35, 6 dec 2018 | Berm | Berm    | Polygoon | 204134,53 | 439153,04 |
| Berm  | 8892   | 3      | 09:35, 6 dec 2018 | Berm | Berm    | Polygoon | 203698,49 | 439194,20 |
| Berm  | 8902   | 3      | 09:35, 6 dec 2018 | Berm | Berm    | Polygoon | 202917,31 | 439440,78 |
| Berm  | 8905   | 3      | 09:35, 6 dec 2018 | Berm | Berm    | Polygoon | 202858,58 | 439554,47 |
| Berm  | 8906   | 3      | 09:35, 6 dec 2018 | Berm | Berm    | Polygoon | 202995,48 | 439462,41 |
| Berm  | 8907   | 3      | 09:35, 6 dec 2018 | Berm | Berm    | Polygoon | 204538,07 | 438977,36 |
| Berm  | 8913   | 3      | 09:35, 6 dec 2018 | Berm | Berm    | Polygoon | 202973,66 | 439525,30 |
| Berm  | 8922   | 3      | 09:35, 6 dec 2018 | Berm | Berm    | Polygoon | 204643,91 | 438180,81 |
| Berm  | 8928   | 3      | 09:35, 6 dec 2018 | Berm | Berm    | Polygoon | 204423,00 | 439036,38 |
| Berm  | 8934   | 3      | 09:35, 6 dec 2018 | Berm | Berm    | Polygoon | 204790,51 | 438970,83 |
| Berm  | 8937   | 3      | 09:35, 6 dec 2018 | Berm | Berm    | Polygoon | 204196,42 | 439136,41 |
| Berm  | 8940   | 3      | 09:35, 6 dec 2018 | Berm | Berm    | Polygoon | 204495,82 | 438989,74 |
| Berm  | 8949   | 3      | 09:35, 6 dec 2018 | Berm | Berm    | Polygoon | 204227,80 | 439121,00 |
| Berm  | 8953   | 3      | 09:35, 6 dec 2018 | Berm | Berm    | Polygoon | 204041,80 | 439205,27 |
| Berm  | 8958   | 3      | 09:35, 6 dec 2018 | Berm | Berm    | Polygoon | 203489,52 | 439115,00 |
| Berm  | 8959   | 3      | 09:35, 6 dec 2018 | Berm | Berm    | Polygoon | 204218,95 | 439137,08 |
| Berm  | 8962   | 3      | 09:35, 6 dec 2018 | Berm | Berm    | Polygoon | 204927,18 | 438978,91 |
| Berm  | 8964   | 3      | 09:35, 6 dec 2018 | Berm | Berm    | Polygoon | 204939,15 | 438983,49 |
| Berm  | 8965   | 3      | 09:35, 6 dec 2018 | Berm | Berm    | Polygoon | 204547,86 | 438980,18 |
| Berm  | 8976   | 3      | 09:35, 6 dec 2018 | Berm | Berm    | Polygoon | 203847,38 | 439239,20 |
| Berm  | 8981   | 3      | 09:35, 6 dec 2018 | Berm | Berm    | Polygoon | 204321,18 | 439372,05 |
| Berm  | 8982   | 3      | 09:35, 6 dec 2018 | Berm | Berm    | Polygoon | 204844,40 | 438967,96 |
| Berm  | 8983   | 3      | 09:35, 6 dec 2018 | Berm | Berm    | Polygoon | 204931,52 | 438999,69 |
| Berm  | 8985   | 3      | 09:35, 6 dec 2018 | Berm | Berm    | Polygoon | 204524,79 | 439410,59 |
| Berm  | 8987   | 3      | 09:35, 6 dec 2018 | Berm | Berm    | Polygoon | 204082,06 | 439801,01 |
| Berm  | 8991   | 3      | 09:35, 6 dec 2018 | Berm | Berm    | Polygoon | 204607,77 | 438193,41 |
| Berm  | 8995   | 3      | 09:35, 6 dec 2018 | Berm | Berm    | Polygoon | 204855,08 | 438986,97 |
| Berm  | 8996   | 3      | 09:35, 6 dec 2018 | Berm | Berm    | Polygoon | 204838,82 | 438985,39 |
| Berm  | 8998   | 3      | 09:35, 6 dec 2018 | Berm | Berm    | Polygoon | 204414,26 | 438830,80 |
| Berm  | 8999   | 3      | 09:35, 6 dec 2018 | Berm | Berm    | Polygoon | 203008,42 | 439460,97 |
| Berm  | 9000   | 3      | 09:35, 6 dec 2018 | Berm | Berm    | Polygoon | 203398,96 | 439157,88 |
| Berm  | 9008   | 3      | 09:35, 6 dec 2018 | Berm | Berm    | Polygoon | 203679,83 | 439183,48 |
| Berm  | 9013   | 3      | 09:35, 6 dec 2018 | Berm | Berm    | Polygoon | 203889,64 | 439225,53 |
| Berm  | 9016   | 3      | 09:35, 6 dec 2018 | Berm | Berm    | Polygoon | 204701,62 | 438960,57 |
| Berm  | 9017   | 3      | 09:35, 6 dec 2018 | Berm | Berm    | Polygoon | 204835,65 | 438964,96 |
| Berm  | 9020   | 3      | 09:35, 6 dec 2018 | Berm | Berm    | Polygoon | 203155,94 | 439299,07 |
| Berm  | 9021   | 3      | 09:35, 6 dec 2018 | Berm | Berm    | Polygoon | 204035,09 | 439222,86 |
| Berm  | 9022   | 3      | 09:35, 6 dec 2018 | Berm | Berm    | Polygoon | 203798,53 | 439205,12 |
| Berm  | 9023   | 3      | 09:35, 6 dec 2018 | Berm | Berm    | Polygoon | 203915,63 | 439255,62 |
| Berm  | 9024   | 3      | 09:35, 6 dec 2018 | Berm | Berm    | Polygoon | 202867,85 | 439635,03 |
| Berm  | 9025   | 3      | 09:35, 6 dec 2018 | Berm | Berm    | Polygoon | 202875,58 | 439625,91 |
| Berm  | 9035   | 3      | 09:35, 6 dec 2018 | Berm | Berm    | Polygoon | 203860,54 | 439963,63 |
| Berm  | 9041   | 3      | 09:35, 6 dec 2018 | Berm | Berm    | Polygoon | 202876,51 | 439590,39 |
| Berm  | 9049   | 3      | 09:35, 6 dec 2018 | Berm | Berm    | Polygoon | 202949,78 | 439468,49 |
| Berm  | 9050   | 3      | 09:35, 6 dec 2018 | Berm | Berm    | Polygoon | 204526,06 | 439425,70 |
| Berm  | 9051   | 3      | 09:35, 6 dec 2018 | Berm | Berm    | Polygoon | 204670,02 | 438969,78 |
| Berm  | 9054   | 3      | 09:35, 6 dec 2018 | Berm | Berm    | Polygoon | 204089,51 | 439201,07 |
| Berm  | 9055   | 3      | 09:35, 6 dec 2018 | Berm | Berm    | Polygoon | 203009,98 | 439487,26 |
| Berm  | 9056   | 3      | 09:35, 6 dec 2018 | Berm | Berm    | Polygoon | 203694,80 | 439210,11 |
| Berm  | 9061   | 3      | 09:35, 6 dec 2018 | Berm | Berm    | Polygoon | 203145,37 | 439332,90 |
| Berm  | 9064   | 3      | 09:35, 6 dec 2018 | Berm | Berm    | Polygoon | 204115,91 | 439201,68 |
| Berm  | 9099   | 3      | 09:35, 6 dec 2018 | Berm | Berm    | Polygoon | 203020,89 | 439475,68 |
| Berm  | 9100   | 3      | 09:35, 6 dec 2018 | Berm | Berm    | Polygoon | 202997,56 | 439493,46 |
| Berm  | 9101   | 3      | 09:35, 6 dec 2018 | Berm | Berm    | Polygoon | 204461,74 | 439000,09 |
| Berm  | 9104   | 3      | 09:35, 6 dec 2018 | Berm | Berm    | Polygoon | 204722,78 | 438970,90 |
| Berm  | 9106   | 3      | 09:35, 6 dec 2018 | Berm | Berm    | Polygoon | 203917,07 | 439234,57 |
| Berm  | 9108   | 3      | 09:35, 6 dec 2018 | Berm | Berm    | Polygoon | 204928,26 | 438996,61 |
| Berm  | 9109   | 3      | 09:35, 6 dec 2018 | Berm | Berm    | Polygoon | 203708,33 | 439210,39 |
| Berm  | 9111   | 3      | 09:35, 6 dec 2018 | Berm | Berm    | Polygoon | 204488,81 | 438994,42 |
| Berm  | 9124   | 3      | 09:35, 6 dec 2018 | Berm | Berm    | Polygoon | 204264,11 | 439102,96 |
| Berm  | 9125   | 3      | 09:35, 6 dec 2018 | Berm | Berm    | Polygoon | 204146,80 | 439160,91 |
| Berm  | 9126   | 3      | 09:35, 6 dec 2018 | Berm | Berm    | Polygoon | 204222,48 | 439116,62 |
| Berm  | 9129   | 3      | 09:35, 6 dec 2018 | Berm | Berm    | Polygoon | 203560,20 | 439164,66 |

## Invoergegevens van het model

Model: Tatelaarweg op basis van 2031 (tracebesluit) met tatelaarweg 80 km/uur  
 Tatelaarweg (2021-07) - Tatelaarweg  
 Groep: (hoofdgroep)  
 Lijst van Bodemgebieden, voor rekenmethode Wegverkeerslawaai - RMG-2012, wegverkeer

| Groep | Vormpunten | Omtrek  | Oppervlak | Min.lengte | Max.lengte | Bf   |
|-------|------------|---------|-----------|------------|------------|------|
| Berm  | 41         | 12,11   | 6,04      | 0,12       | 3,06       | 0,80 |
| Berm  | 9          | 173,84  | 302,42    | 3,19       | 60,66      | 0,80 |
| Berm  | 36         | 208,78  | 139,55    | 0,28       | 17,44      | 0,80 |
| Berm  | 8          | 53,32   | 28,31     | 2,00       | 19,10      | 0,80 |
| Berm  | 24         | 103,77  | 48,42     | 0,11       | 20,67      | 0,80 |
| Berm  | 9          | 43,95   | 72,15     | 0,12       | 14,57      | 0,80 |
| Berm  | 39         | 150,28  | 109,76    | 0,19       | 21,42      | 0,80 |
| Berm  | 41         | 364,93  | 324,87    | 0,35       | 39,98      | 0,80 |
| Berm  | 8          | 88,45   | 161,27    | 3,57       | 27,41      | 0,80 |
| Berm  | 9          | 112,06  | 186,52    | 1,42       | 32,03      | 0,80 |
| Berm  | 4          | 56,79   | 84,80     | 3,60       | 26,01      | 0,80 |
| Berm  | 12         | 51,61   | 43,53     | 0,23       | 9,59       | 0,80 |
| Berm  | 7          | 96,31   | 162,21    | 3,14       | 40,54      | 0,80 |
| Berm  | 11         | 101,59  | 143,38    | 0,31       | 34,68      | 0,80 |
| Berm  | 84         | 363,65  | 659,38    | 0,19       | 17,53      | 0,80 |
| Berm  | 7          | 105,50  | 178,27    | 0,79       | 50,62      | 0,80 |
| Berm  | 5          | 170,72  | 295,58    | 4,15       | 83,43      | 0,80 |
| Berm  | 4          | 20,99   | 23,51     | 3,85       | 7,65       | 0,80 |
| Berm  | 6          | 36,72   | 24,98     | 1,43       | 14,27      | 0,80 |
| Berm  | 4          | 42,97   | 65,40     | 4,02       | 19,10      | 0,80 |
| Berm  | 72         | 12,07   | 4,24      | 0,08       | 2,97       | 0,80 |
| Berm  | 10         | 12,24   | 7,51      | 0,12       | 3,67       | 0,80 |
| Berm  | 5          | 9,50    | 4,85      | 0,50       | 3,11       | 0,80 |
| Berm  | 70         | 426,36  | 183,90    | 0,42       | 20,38      | 0,80 |
| Berm  | 89         | 643,78  | 467,50    | 0,13       | 54,60      | 0,80 |
| Berm  | 51         | 1046,01 | 3108,90   | 1,23       | 49,72      | 0,80 |
| Berm  | 8          | 34,67   | 21,66     | 1,08       | 7,80       | 0,80 |
| Berm  | 4          | 5,04    | 1,50      | 1,05       | 1,63       | 0,80 |
| Berm  | 125        | 851,41  | 1026,11   | 0,12       | 60,36      | 0,80 |
| Berm  | 23         | 86,21   | 15,70     | 0,02       | 24,73      | 0,80 |
| Berm  | 222        | 1449,74 | 3597,21   | 0,01       | 40,22      | 0,80 |
| Berm  | 15         | 181,86  | 343,63    | 0,74       | 42,11      | 0,80 |
| Berm  | 17         | 42,31   | 7,13      | 0,11       | 10,13      | 0,80 |
| Berm  | 15         | 7,21    | 1,67      | 0,26       | 2,75       | 0,80 |
| Berm  | 13         | 15,44   | 6,47      | 0,17       | 3,70       | 0,80 |
| Berm  | 65         | 576,81  | 663,51    | 0,71       | 22,69      | 0,80 |
| Berm  | 11         | 71,33   | 96,27     | 0,99       | 10,72      | 0,80 |
| Berm  | 4          | 5,74    | 0,96      | 0,72       | 2,36       | 0,80 |
| Berm  | 42         | 153,06  | 150,73    | 0,16       | 16,19      | 0,80 |
| Berm  | 105        | 46,82   | 94,30     | 0,03       | 17,19      | 0,80 |
| Berm  | 4          | 25,22   | 9,74      | 1,69       | 11,60      | 0,80 |
| Berm  | 23         | 38,80   | 57,65     | 0,30       | 11,80      | 0,80 |
| Berm  | 83         | 67,80   | 102,35    | 0,03       | 12,11      | 0,80 |
| Berm  | 15         | 218,08  | 268,22    | 3,07       | 33,45      | 0,80 |
| Berm  | 24         | 53,14   | 26,81     | 0,13       | 6,93       | 0,80 |
| Berm  | 9          | 74,03   | 120,35    | 0,29       | 22,05      | 0,80 |
| Berm  | 4          | 41,53   | 61,78     | 3,70       | 17,61      | 0,80 |
| Berm  | 11         | 73,11   | 75,95     | 1,22       | 28,60      | 0,80 |
| Berm  | 18         | 219,72  | 317,33    | 0,10       | 88,93      | 0,80 |
| Berm  | 18         | 27,08   | 38,89     | 0,22       | 10,00      | 0,80 |
| Berm  | 31         | 196,42  | 88,84     | 1,28       | 35,09      | 0,80 |
| Berm  | 10         | 40,85   | 41,57     | 1,03       | 11,51      | 0,80 |
| Berm  | 6          | 64,91   | 111,01    | 0,60       | 28,23      | 0,80 |
| Berm  | 85         | 19,68   | 22,66     | 0,04       | 2,19       | 0,80 |
| Berm  | 5          | 48,69   | 68,23     | 4,12       | 18,15      | 0,80 |
| Berm  | 15         | 53,35   | 74,69     | 1,89       | 13,36      | 0,80 |
| Berm  | 4          | 10,41   | 4,45      | 1,18       | 4,32       | 0,80 |
| Berm  | 4          | 22,80   | 26,15     | 3,66       | 9,17       | 0,80 |
| Berm  | 3          | 15,48   | 4,44      | 1,26       | 7,16       | 0,80 |
| Berm  | 6          | 101,22  | 168,62    | 3,64       | 30,16      | 0,80 |
| Berm  | 4          | 70,88   | 113,83    | 3,71       | 32,48      | 0,80 |
| Berm  | 8          | 99,14   | 133,62    | 2,40       | 43,36      | 0,80 |
| Berm  | 8          | 70,15   | 33,32     | 0,30       | 26,80      | 0,80 |

## Invoergegevens van het model

Model: Tatelaarweg op basis van 2031 (tracebesluit) met tatelaarweg 80 km/uur  
 Tatelaarweg (2021-07) - Tatelaarweg  
 Groep: (hoofdgroep)  
 Lijst van Bodemgebieden, voor rekenmethode Wegverkeerslawaaai - RMG-2012, wegverkeer

| Groep | ItemID | Grp.ID | Datum             | Naam | Omschr. | Vorm     | X-1       | Y-1       |
|-------|--------|--------|-------------------|------|---------|----------|-----------|-----------|
| Berm  | 9131   | 3      | 09:35, 6 dec 2018 | Berm | Berm    | Polygoon | 203049,78 | 439420,74 |
| Berm  | 9132   | 3      | 09:35, 6 dec 2018 | Berm | Berm    | Polygoon | 203463,34 | 439161,42 |
| Berm  | 9134   | 3      | 09:35, 6 dec 2018 | Berm | Berm    | Polygoon | 203500,72 | 439170,38 |
| Berm  | 9139   | 3      | 09:35, 6 dec 2018 | Berm | Berm    | Polygoon | 204705,29 | 438964,00 |
| Berm  | 9142   | 3      | 09:35, 6 dec 2018 | Berm | Berm    | Polygoon | 203431,43 | 439155,13 |
| Berm  | 9146   | 3      | 09:35, 6 dec 2018 | Berm | Berm    | Polygoon | 203792,00 | 439236,33 |
| Berm  | 9147   | 3      | 09:35, 6 dec 2018 | Berm | Berm    | Polygoon | 204643,57 | 439963,24 |
| Berm  | 9150   | 3      | 09:35, 6 dec 2018 | Berm | Berm    | Polygoon | 203496,53 | 439149,56 |
| Berm  | 9156   | 3      | 09:35, 6 dec 2018 | Berm | Berm    | Polygoon | 203416,80 | 439183,57 |
| Berm  | 9161   | 3      | 09:35, 6 dec 2018 | Berm | Berm    | Polygoon | 203882,97 | 439241,17 |
| Berm  | 9162   | 3      | 09:35, 6 dec 2018 | Berm | Berm    | Polygoon | 204084,92 | 439191,75 |
| Berm  | 9166   | 3      | 09:35, 6 dec 2018 | Berm | Berm    | Polygoon | 203494,58 | 439153,77 |
| Berm  | 9167   | 3      | 09:35, 6 dec 2018 | Berm | Berm    | Polygoon | 204311,96 | 439079,44 |
| Berm  | 9168   | 3      | 09:35, 6 dec 2018 | Berm | Berm    | Polygoon | 204407,56 | 439058,11 |
| Berm  | 9169   | 3      | 09:35, 6 dec 2018 | Berm | Berm    | Polygoon | 204592,25 | 438965,25 |
| Berm  | 9174   | 3      | 09:35, 6 dec 2018 | Berm | Berm    | Polygoon | 203917,66 | 439234,53 |
| Berm  | 9175   | 3      | 09:35, 6 dec 2018 | Berm | Berm    | Polygoon | 203049,95 | 439420,49 |
| Berm  | 9176   | 3      | 09:35, 6 dec 2018 | Berm | Berm    | Polygoon | 202970,24 | 439502,18 |
| Berm  | 9177   | 3      | 09:35, 6 dec 2018 | Berm | Berm    | Polygoon | 203401,93 | 439168,54 |
| Berm  | 9182   | 3      | 09:35, 6 dec 2018 | Berm | Berm    | Polygoon | 204600,14 | 438974,20 |
| Berm  | 9188   | 3      | 09:35, 6 dec 2018 | Berm | Berm    | Polygoon | 202912,29 | 439434,00 |
| Berm  | 9193   | 3      | 09:35, 6 dec 2018 | Berm | Berm    | Polygoon | 203155,94 | 439299,07 |
| Berm  | 9194   | 3      | 09:35, 6 dec 2018 | Berm | Berm    | Polygoon | 203473,80 | 439121,83 |
| Berm  | 9197   | 3      | 09:35, 6 dec 2018 | Berm | Berm    | Polygoon | 202746,96 | 439123,85 |
| Berm  | 9201   | 3      | 09:35, 6 dec 2018 | Berm | Berm    | Polygoon | 204461,50 | 439000,74 |
| Berm  | 9202   | 3      | 09:35, 6 dec 2018 | Berm | Berm    | Polygoon | 204925,18 | 438989,36 |
| Berm  | 9205   | 3      | 09:35, 6 dec 2018 | Berm | Berm    | Polygoon | 203432,43 | 439163,94 |
| Berm  | 9206   | 3      | 09:35, 6 dec 2018 | Berm | Berm    | Polygoon | 203552,61 | 439163,06 |
| Berm  | 9214   | 3      | 09:35, 6 dec 2018 | Berm | Berm    | Polygoon | 202909,64 | 440051,26 |
| Berm  | 9215   | 3      | 09:35, 6 dec 2018 | Berm | Berm    | Polygoon | 202874,42 | 439617,90 |
| Berm  | 9216   | 3      | 09:35, 6 dec 2018 | Berm | Berm    | Polygoon | 202876,79 | 439744,78 |
| Berm  | 9217   | 3      | 09:35, 6 dec 2018 | Berm | Berm    | Polygoon | 203323,00 | 439202,96 |
| Berm  | 9218   | 3      | 09:35, 6 dec 2018 | Berm | Berm    | Polygoon | 202892,20 | 439753,26 |
| Berm  | 9219   | 3      | 09:35, 6 dec 2018 | Berm | Berm    | Polygoon | 202896,17 | 439792,80 |
| Berm  | 9220   | 3      | 09:35, 6 dec 2018 | Berm | Berm    | Polygoon | 203152,45 | 439325,84 |
| Berm  | 9221   | 3      | 09:35, 6 dec 2018 | Berm | Berm    | Polygoon | 202923,37 | 440025,38 |
| Berm  | 9222   | 3      | 09:35, 6 dec 2018 | Berm | Berm    | Polygoon | 203893,71 | 439226,22 |
| Berm  | 9223   | 3      | 09:35, 6 dec 2018 | Berm | Berm    | Polygoon | 203028,99 | 439459,20 |
| Berm  | 9224   | 3      | 09:35, 6 dec 2018 | Berm | Berm    | Polygoon | 203387,23 | 439184,20 |
| Berm  | 9227   | 3      | 09:35, 6 dec 2018 | Berm | Berm    | Polygoon | 204315,64 | 439594,70 |
| Berm  | 9228   | 3      | 09:35, 6 dec 2018 | Berm | Berm    | Polygoon | 204524,79 | 439410,59 |
| Berm  | 9238   | 3      | 09:35, 6 dec 2018 | Berm | Berm    | Polygoon | 204585,19 | 439349,50 |
| Berm  | 9239   | 3      | 09:35, 6 dec 2018 | Berm | Berm    | Polygoon | 204523,16 | 439417,92 |
| Berm  | 9255   | 3      | 09:35, 6 dec 2018 | Berm | Berm    | Polygoon | 203049,52 | 439413,50 |
| Berm  | 9256   | 3      | 09:35, 6 dec 2018 | Berm | Berm    | Polygoon | 203229,84 | 439263,52 |
| Berm  | 9257   | 3      | 09:35, 6 dec 2018 | Berm | Berm    | Polygoon | 202874,10 | 439580,46 |
| Berm  | 9262   | 3      | 09:35, 6 dec 2018 | Berm | Berm    | Polygoon | 204115,61 | 439200,52 |
| Berm  | 9267   | 3      | 09:35, 6 dec 2018 | Berm | Berm    | Polygoon | 203323,50 | 439209,60 |
| Berm  | 9269   | 3      | 09:35, 6 dec 2018 | Berm | Berm    | Polygoon | 203420,99 | 439156,63 |
| Berm  | 9271   | 3      | 09:35, 6 dec 2018 | Berm | Berm    | Polygoon | 203009,17 | 439460,57 |
| Berm  | 9272   | 3      | 09:35, 6 dec 2018 | Berm | Berm    | Polygoon | 202883,57 | 439644,00 |
| Berm  | 9275   | 3      | 09:35, 6 dec 2018 | Berm | Berm    | Polygoon | 202933,27 | 439462,39 |
| Berm  | 9278   | 3      | 09:35, 6 dec 2018 | Berm | Berm    | Polygoon | 202874,10 | 439580,46 |
| Berm  | 9279   | 3      | 09:35, 6 dec 2018 | Berm | Berm    | Polygoon | 202970,25 | 439502,66 |
| Berm  | 9286   | 3      | 09:35, 6 dec 2018 | Berm | Berm    | Polygoon | 204447,61 | 439000,85 |
| Berm  | 9291   | 3      | 09:35, 6 dec 2018 | Berm | Berm    | Polygoon | 204931,22 | 438996,83 |
| Berm  | 9305   | 3      | 09:35, 6 dec 2018 | Berm | Berm    | Polygoon | 202901,03 | 440050,99 |
| Berm  | 9308   | 3      | 09:35, 6 dec 2018 | Berm | Berm    | Polygoon | 203694,96 | 439204,12 |
| Berm  | 9309   | 3      | 09:35, 6 dec 2018 | Berm | Berm    | Polygoon | 203009,17 | 439460,57 |
| Berm  | 9312   | 3      | 09:35, 6 dec 2018 | Berm | Berm    | Polygoon | 202893,60 | 439692,85 |
| Berm  | 9317   | 3      | 09:35, 6 dec 2018 | Berm | Berm    | Polygoon | 203784,63 | 438777,46 |
| Berm  | 9323   | 3      | 09:35, 6 dec 2018 | Berm | Berm    | Polygoon | 204696,13 | 439740,60 |
| Berm  | 9334   | 3      | 09:35, 6 dec 2018 | Berm | Berm    | Polygoon | 204496,60 | 439398,81 |

## Invoergegevens van het model

Model: Tatelaarweg op basis van 2031 (tracebesluit) met tatelaarweg 80 km/uur  
 Tatelaarweg (2021-07) - Tatelaarweg  
 Groep: (hoofdgroep)  
 Lijst van Bodemgebieden, voor rekenmethode Wegverkeerslawaai - RMG-2012, wegverkeer

| Groep | Vormpunten | Omtrek  | Oppervlak | Min.lengte | Max.lengte | Bf   |
|-------|------------|---------|-----------|------------|------------|------|
| Berm  | 4          | 81,61   | 27,71     | 0,69       | 40,14      | 0,80 |
| Berm  | 89         | 39,34   | 35,84     | 0,04       | 14,88      | 0,80 |
| Berm  | 36         | 118,96  | 142,84    | 1,38       | 14,85      | 0,80 |
| Berm  | 8          | 75,06   | 105,32    | 0,35       | 23,18      | 0,80 |
| Berm  | 17         | 21,64   | 6,56      | 0,20       | 1,43       | 0,80 |
| Berm  | 4          | 12,38   | 1,75      | 0,29       | 5,90       | 0,80 |
| Berm  | 25         | 232,11  | 115,02    | 0,17       | 17,98      | 0,80 |
| Berm  | 16         | 45,49   | 48,22     | 0,19       | 9,32       | 0,80 |
| Berm  | 28         | 74,24   | 102,48    | 0,03       | 17,83      | 0,80 |
| Berm  | 9          | 74,05   | 120,60    | 3,03       | 14,18      | 0,80 |
| Berm  | 4          | 43,43   | 64,29     | 3,45       | 18,19      | 0,80 |
| Berm  | 5          | 21,41   | 12,71     | 0,90       | 9,31       | 0,80 |
| Berm  | 5          | 102,43  | 175,61    | 3,56       | 46,69      | 0,80 |
| Berm  | 5          | 18,40   | 18,61     | 1,32       | 6,40       | 0,80 |
| Berm  | 10         | 121,99  | 93,65     | 1,00       | 39,51      | 0,80 |
| Berm  | 15         | 54,28   | 75,99     | 1,89       | 13,40      | 0,80 |
| Berm  | 6          | 80,80   | 31,63     | 0,50       | 39,79      | 0,80 |
| Berm  | 7          | 21,56   | 13,49     | 0,50       | 9,28       | 0,80 |
| Berm  | 4          | 3,06    | 0,41      | 0,31       | 1,19       | 0,80 |
| Berm  | 11         | 158,87  | 236,92    | 1,74       | 34,90      | 0,80 |
| Berm  | 56         | 423,69  | 274,85    | 0,30       | 15,13      | 0,80 |
| Berm  | 216        | 1452,56 | 3605,46   | 0,01       | 40,22      | 0,80 |
| Berm  | 104        | 623,37  | 1871,72   | 0,41       | 29,95      | 0,80 |
| Berm  | 40         | 10,33   | 7,14      | 0,09       | 2,36       | 0,80 |
| Berm  | 19         | 20,26   | 22,66     | 0,51       | 4,61       | 0,80 |
| Berm  | 15         | 139,84  | 236,45    | 0,52       | 50,62      | 0,80 |
| Berm  | 104        | 30,28   | 22,11     | 0,03       | 1,86       | 0,80 |
| Berm  | 7          | 69,86   | 30,42     | 1,01       | 26,62      | 0,80 |
| Berm  | 7          | 156,75  | 415,14    | 0,43       | 73,46      | 0,80 |
| Berm  | 7          | 28,76   | 21,77     | 1,53       | 10,46      | 0,80 |
| Berm  | 25         | 62,88   | 61,79     | 0,47       | 12,08      | 0,80 |
| Berm  | 11         | 74,53   | 121,11    | 0,83       | 20,95      | 0,80 |
| Berm  | 17         | 53,28   | 81,59     | 0,45       | 23,99      | 0,80 |
| Berm  | 7          | 89,96   | 191,40    | 0,42       | 39,72      | 0,80 |
| Berm  | 12         | 207,12  | 384,84    | 3,96       | 37,34      | 0,80 |
| Berm  | 9          | 151,71  | 370,03    | 1,53       | 68,16      | 0,80 |
| Berm  | 4          | 14,02   | 10,79     | 1,27       | 4,57       | 0,80 |
| Berm  | 27         | 130,29  | 232,64    | 0,26       | 62,44      | 0,80 |
| Berm  | 13         | 59,79   | 58,27     | 0,38       | 18,40      | 0,80 |
| Berm  | 8          | 43,74   | 21,85     | 1,01       | 17,15      | 0,80 |
| Berm  | 44         | 198,14  | 98,23     | 0,42       | 20,35      | 0,80 |
| Berm  | 4          | 23,53   | 17,00     | 0,30       | 10,58      | 0,80 |
| Berm  | 28         | 157,04  | 97,91     | 0,24       | 51,64      | 0,80 |
| Berm  | 7          | 54,48   | 20,30     | 1,90       | 24,04      | 0,80 |
| Berm  | 38         | 206,36  | 359,54    | 1,10       | 25,21      | 0,80 |
| Berm  | 29         | 31,05   | 35,12     | 0,13       | 5,24       | 0,80 |
| Berm  | 31         | 187,87  | 86,78     | 1,09       | 30,60      | 0,80 |
| Berm  | 47         | 168,57  | 186,15    | 0,31       | 25,62      | 0,80 |
| Berm  | 10         | 21,26   | 5,35      | 0,53       | 10,08      | 0,80 |
| Berm  | 21         | 86,21   | 15,70     | 0,11       | 24,73      | 0,80 |
| Berm  | 19         | 99,34   | 137,78    | 1,97       | 11,48      | 0,80 |
| Berm  | 25         | 247,63  | 246,49    | 0,33       | 33,26      | 0,80 |
| Berm  | 16         | 10,20   | 4,29      | 0,14       | 4,53       | 0,80 |
| Berm  | 4          | 21,47   | 16,81     | 1,99       | 9,29       | 0,80 |
| Berm  | 38         | 13,61   | 8,22      | 0,01       | 4,38       | 0,80 |
| Berm  | 7          | 10,44   | 4,50      | 0,17       | 4,44       | 0,80 |
| Berm  | 26         | 307,88  | 188,48    | 0,37       | 73,44      | 0,80 |
| Berm  | 6          | 205,06  | 364,00    | 3,49       | 92,45      | 0,80 |
| Berm  | 39         | 86,23   | 14,97     | 0,02       | 24,73      | 0,80 |
| Berm  | 31         | 154,43  | 209,66    | 0,30       | 15,95      | 0,80 |
| Berm  | 56         | 764,92  | 1871,67   | 0,45       | 53,04      | 0,80 |
| Berm  | 32         | 376,03  | 252,91    | 0,27       | 40,04      | 0,80 |
| Berm  | 26         | 188,56  | 274,19    | 0,42       | 34,35      | 0,80 |

## Invoergegevens van het model

Model: Tatelaarweg op basis van 2031 (tracebesluit) met tatelaarweg 80 km/uur  
 Tatelaarweg (2021-07) - Tatelaarweg  
 Groep: (hoofdgroep)  
 Lijst van Bodemgebieden, voor rekenmethode Wegverkeerslawaaai - RMG-2012, wegverkeer

| Groep | ItemID | Grp.ID | Datum             | Naam | Omschr. | Vorm     | X-1       | Y-1       |
|-------|--------|--------|-------------------|------|---------|----------|-----------|-----------|
| Berm  | 9346   | 3      | 09:35, 6 dec 2018 | Berm | Berm    | Polygoon | 204085,87 | 439800,03 |
| Berm  | 9349   | 3      | 09:35, 6 dec 2018 | Berm | Berm    | Polygoon | 202883,27 | 439792,91 |
| Berm  | 9350   | 3      | 09:35, 6 dec 2018 | Berm | Berm    | Polygoon | 202869,92 | 439656,46 |
| Berm  | 9360   | 3      | 09:35, 6 dec 2018 | Berm | Berm    | Polygoon | 203646,64 | 438731,57 |
| Berm  | 9361   | 3      | 09:35, 6 dec 2018 | Berm | Berm    | Polygoon | 204319,90 | 438331,70 |
| Berm  | 9367   | 3      | 09:35, 6 dec 2018 | Berm | Berm    | Polygoon | 202826,37 | 439667,87 |
| Berm  | 9377   | 3      | 09:35, 6 dec 2018 | Berm | Berm    | Polygoon | 204579,92 | 439375,60 |
| Berm  | 9380   | 3      | 09:35, 6 dec 2018 | Berm | Berm    | Polygoon | 204089,51 | 439201,07 |
| Berm  | 9382   | 3      | 09:35, 6 dec 2018 | Berm | Berm    | Polygoon | 204925,69 | 438978,96 |
| Berm  | 9383   | 3      | 09:35, 6 dec 2018 | Berm | Berm    | Polygoon | 204390,32 | 439039,84 |
| Berm  | 9387   | 3      | 09:35, 6 dec 2018 | Berm | Berm    | Polygoon | 204078,62 | 439206,50 |
| Berm  | 9389   | 3      | 09:35, 6 dec 2018 | Berm | Berm    | Polygoon | 204312,53 | 439078,92 |
| Berm  | 9390   | 3      | 09:35, 6 dec 2018 | Berm | Berm    | Polygoon | 204739,44 | 438969,27 |
| Berm  | 9392   | 3      | 09:35, 6 dec 2018 | Berm | Berm    | Polygoon | 204142,92 | 439155,96 |
| Berm  | 9399   | 3      | 09:35, 6 dec 2018 | Berm | Berm    | Polygoon | 203353,49 | 439172,45 |
| Berm  | 9400   | 3      | 09:35, 6 dec 2018 | Berm | Berm    | Polygoon | 203463,73 | 439015,37 |
| Berm  | 9403   | 3      | 09:35, 6 dec 2018 | Berm | Berm    | Polygoon | 204275,14 | 439117,02 |
| Berm  | 9406   | 3      | 09:35, 6 dec 2018 | Berm | Berm    | Polygoon | 204358,45 | 439068,11 |
| Berm  | 9411   | 3      | 09:35, 6 dec 2018 | Berm | Berm    | Polygoon | 204308,43 | 439098,07 |
| Berm  | 9412   | 3      | 09:35, 6 dec 2018 | Berm | Berm    | Polygoon | 204938,25 | 438997,28 |
| Berm  | 9414   | 3      | 09:35, 6 dec 2018 | Berm | Berm    | Polygoon | 204539,15 | 438982,25 |
| Berm  | 9415   | 3      | 09:35, 6 dec 2018 | Berm | Berm    | Polygoon | 204854,87 | 438986,87 |
| Berm  | 9417   | 3      | 09:35, 6 dec 2018 | Berm | Berm    | Polygoon | 204136,34 | 439181,41 |
| Berm  | 9429   | 3      | 09:35, 6 dec 2018 | Berm | Berm    | Polygoon | 204978,29 | 439533,31 |
| Berm  | 9434   | 3      | 09:35, 6 dec 2018 | Berm | Berm    | Polygoon | 204361,23 | 439955,04 |
| Berm  | 9441   | 3      | 09:35, 6 dec 2018 | Berm | Berm    | Polygoon | 204678,54 | 438958,29 |
| Berm  | 9442   | 3      | 09:35, 6 dec 2018 | Berm | Berm    | Polygoon | 204383,23 | 439030,07 |
| Berm  | 9444   | 3      | 09:35, 6 dec 2018 | Berm | Berm    | Polygoon | 204216,77 | 439114,74 |
| Berm  | 9445   | 3      | 09:35, 6 dec 2018 | Berm | Berm    | Polygoon | 203134,18 | 439271,37 |
| Berm  | 9446   | 3      | 09:35, 6 dec 2018 | Berm | Berm    | Polygoon | 202829,69 | 439502,68 |
| Berm  | 9455   | 3      | 09:35, 6 dec 2018 | Berm | Berm    | Polygoon | 204550,40 | 438966,37 |
| Berm  | 9459   | 3      | 09:35, 6 dec 2018 | Berm | Berm    | Polygoon | 203035,87 | 439426,14 |
| Berm  | 9461   | 3      | 09:35, 6 dec 2018 | Berm | Berm    | Polygoon | 204021,22 | 439229,37 |
| Berm  | 9463   | 3      | 09:35, 6 dec 2018 | Berm | Berm    | Polygoon | 202834,18 | 439652,45 |
| Berm  | 9464   | 3      | 09:35, 6 dec 2018 | Berm | Berm    | Polygoon | 204734,95 | 439463,75 |
| Berm  | 9468   | 3      | 09:35, 6 dec 2018 | Berm | Berm    | Polygoon | 204617,15 | 439326,95 |
| Berm  | 9472   | 3      | 09:35, 6 dec 2018 | Berm | Berm    | Polygoon | 204462,80 | 438989,40 |
| Berm  | 9474   | 3      | 09:35, 6 dec 2018 | Berm | Berm    | Polygoon | 204441,23 | 439008,08 |
| Berm  | 9479   | 3      | 09:35, 6 dec 2018 | Berm | Berm    | Polygoon | 204111,03 | 439953,39 |
| Berm  | 9480   | 3      | 09:35, 6 dec 2018 | Berm | Berm    | Polygoon | 204722,05 | 439738,04 |
| Berm  | 9484   | 3      | 09:35, 6 dec 2018 | Berm | Berm    | Polygoon | 204925,65 | 438989,38 |
| Berm  | 9491   | 3      | 09:35, 6 dec 2018 | Berm | Berm    | Polygoon | 204414,26 | 438830,80 |
| Berm  | 9492   | 3      | 09:35, 6 dec 2018 | Berm | Berm    | Polygoon | 203777,64 | 439210,31 |
| Berm  | 9493   | 3      | 09:35, 6 dec 2018 | Berm | Berm    | Polygoon | 203302,53 | 439192,41 |
| Berm  | 9494   | 3      | 09:35, 6 dec 2018 | Berm | Berm    | Polygoon | 203609,77 | 439178,34 |
| Berm  | 9496   | 3      | 09:35, 6 dec 2018 | Berm | Berm    | Polygoon | 202950,45 | 439522,24 |
| Berm  | 9497   | 3      | 09:35, 6 dec 2018 | Berm | Berm    | Polygoon | 203666,64 | 439187,47 |
| Berm  | 9498   | 3      | 09:35, 6 dec 2018 | Berm | Berm    | Polygoon | 202876,79 | 439579,98 |
| Berm  | 9499   | 3      | 09:35, 6 dec 2018 | Berm | Berm    | Polygoon | 203600,87 | 439173,59 |
| Berm  | 9500   | 3      | 09:35, 6 dec 2018 | Berm | Berm    | Polygoon | 203980,39 | 439238,67 |
| Berm  | 9510   | 3      | 09:35, 6 dec 2018 | Berm | Berm    | Polygoon | 202878,35 | 439761,83 |
| Berm  | 9512   | 3      | 09:35, 6 dec 2018 | Berm | Berm    | Polygoon | 204636,31 | 439981,62 |
| Berm  | 9514   | 3      | 09:35, 6 dec 2018 | Berm | Berm    | Polygoon | 204499,39 | 438988,66 |
| Berm  | 9516   | 3      | 09:35, 6 dec 2018 | Berm | Berm    | Polygoon | 204705,76 | 438960,55 |
| Berm  | 9524   | 3      | 09:35, 6 dec 2018 | Berm | Berm    | Polygoon | 204425,81 | 439513,00 |
| Berm  | 9526   | 3      | 09:35, 6 dec 2018 | Berm | Berm    | Polygoon | 204405,41 | 439524,33 |
| Berm  | 9527   | 3      | 09:35, 6 dec 2018 | Berm | Berm    | Polygoon | 204923,90 | 438995,12 |
| Berm  | 9528   | 3      | 09:35, 6 dec 2018 | Berm | Berm    | Polygoon | 204861,65 | 438854,28 |
| Berm  | 9533   | 3      | 09:35, 6 dec 2018 | Berm | Berm    | Polygoon | 204190,73 | 439125,45 |
| Berm  | 9542   | 3      | 09:35, 6 dec 2018 | Berm | Berm    | Polygoon | 204443,12 | 439012,83 |
| Berm  | 9543   | 3      | 09:35, 6 dec 2018 | Berm | Berm    | Polygoon | 204261,45 | 439097,60 |
| Berm  | 9545   | 3      | 09:35, 6 dec 2018 | Berm | Berm    | Polygoon | 204839,66 | 438966,70 |
| Berm  | 9546   | 3      | 09:35, 6 dec 2018 | Berm | Berm    | Polygoon | 204997,73 | 439577,40 |

## Invoergegevens van het model

Model: Tatelaarweg op basis van 2031 (tracebesluit) met tatelaarweg 80 km/uur  
 Tatelaarweg (2021-07) - Tatelaarweg  
 Groep: (hoofdgroep)  
 Lijst van Bodemgebieden, voor rekenmethode Wegverkeerslawaai - RMG-2012, wegverkeer

| Groep | Vormpunten | Omtrek  | Oppervlak | Min.lengte | Max.lengte | Bf   |
|-------|------------|---------|-----------|------------|------------|------|
| Berm  | 21         | 306,84  | 119,17    | 0,64       | 39,39      | 0,80 |
| Berm  | 11         | 130,70  | 68,07     | 0,50       | 35,89      | 0,80 |
| Berm  | 73         | 125,25  | 545,24    | 0,11       | 29,23      | 0,80 |
| Berm  | 27         | 1040,97 | 2228,27   | 0,01       | 174,16     | 0,80 |
| Berm  | 434        | 3904,13 | 4820,77   | 0,08       | 140,16     | 0,80 |
| Berm  | 6          | 6,46    | 2,18      | 0,45       | 2,14       | 0,80 |
| Berm  | 35         | 231,73  | 412,98    | 1,14       | 32,81      | 0,80 |
| Berm  | 4          | 41,02   | 61,98     | 3,70       | 17,21      | 0,80 |
| Berm  | 6          | 166,43  | 271,25    | 1,03       | 81,44      | 0,80 |
| Berm  | 7          | 38,52   | 46,14     | 0,97       | 12,81      | 0,80 |
| Berm  | 6          | 39,54   | 55,95     | 0,40       | 12,20      | 0,80 |
| Berm  | 5          | 101,54  | 164,86    | 3,56       | 45,94      | 0,80 |
| Berm  | 3          | 6,28    | 1,57      | 1,42       | 2,65       | 0,80 |
| Berm  | 10         | 70,47   | 92,14     | 0,22       | 24,09      | 0,80 |
| Berm  | 5          | 81,21   | 13,35     | 0,14       | 40,01      | 0,80 |
| Berm  | 23         | 704,78  | 1798,56   | 5,01       | 42,85      | 0,80 |
| Berm  | 4          | 9,22    | 1,94      | 0,28       | 4,27       | 0,80 |
| Berm  | 8          | 110,26  | 198,95    | 3,09       | 37,50      | 0,80 |
| Berm  | 9          | 176,38  | 208,40    | 1,33       | 60,90      | 0,80 |
| Berm  | 4          | 9,34    | 3,79      | 1,12       | 3,85       | 0,80 |
| Berm  | 6          | 36,85   | 25,02     | 1,43       | 14,27      | 0,80 |
| Berm  | 8          | 34,34   | 21,36     | 1,08       | 7,80       | 0,80 |
| Berm  | 10         | 159,15  | 71,16     | 0,70       | 47,17      | 0,80 |
| Berm  | 192        | 1311,94 | 3061,79   | 0,01       | 49,31      | 0,80 |
| Berm  | 110        | 587,47  | 705,11    | 0,08       | 39,07      | 0,80 |
| Berm  | 9          | 11,94   | 3,48      | 0,47       | 2,42       | 0,80 |
| Berm  | 45         | 16,48   | 10,46     | 0,11       | 4,10       | 0,80 |
| Berm  | 8          | 13,76   | 7,32      | 0,91       | 3,83       | 0,80 |
| Berm  | 72         | 593,57  | 689,08    | 0,18       | 22,34      | 0,80 |
| Berm  | 70         | 306,23  | 638,66    | 0,18       | 17,44      | 0,80 |
| Berm  | 8          | 13,28   | 6,50      | 0,62       | 4,00       | 0,80 |
| Berm  | 18         | 136,13  | 103,47    | 0,29       | 24,71      | 0,80 |
| Berm  | 8          | 60,44   | 49,35     | 0,70       | 14,42      | 0,80 |
| Berm  | 20         | 62,03   | 52,17     | 0,15       | 27,13      | 0,80 |
| Berm  | 10         | 160,55  | 79,30     | 0,54       | 28,67      | 0,80 |
| Berm  | 35         | 228,23  | 299,92    | 0,58       | 32,81      | 0,80 |
| Berm  | 32         | 30,51   | 33,72     | 0,22       | 13,37      | 0,80 |
| Berm  | 7          | 26,99   | 5,52      | 0,26       | 12,47      | 0,80 |
| Berm  | 10         | 197,53  | 86,58     | 0,96       | 39,39      | 0,80 |
| Berm  | 33         | 328,52  | 163,21    | 0,51       | 29,81      | 0,80 |
| Berm  | 12         | 139,28  | 238,30    | 0,52       | 51,09      | 0,80 |
| Berm  | 127        | 851,75  | 1024,46   | 0,12       | 60,36      | 0,80 |
| Berm  | 6          | 198,88  | 363,73    | 3,68       | 78,30      | 0,80 |
| Berm  | 16         | 102,26  | 46,67     | 0,07       | 16,55      | 0,80 |
| Berm  | 4          | 26,18   | 26,65     | 2,47       | 11,03      | 0,80 |
| Berm  | 10         | 46,05   | 29,15     | 0,20       | 21,71      | 0,80 |
| Berm  | 9          | 174,21  | 299,24    | 3,19       | 60,82      | 0,80 |
| Berm  | 42         | 31,04   | 36,23     | 0,13       | 5,04       | 0,80 |
| Berm  | 5          | 73,42   | 69,76     | 1,88       | 35,06      | 0,80 |
| Berm  | 21         | 68,45   | 110,23    | 0,93       | 11,30      | 0,80 |
| Berm  | 9          | 13,17   | 1,66      | 0,52       | 6,55       | 0,80 |
| Berm  | 46         | 317,81  | 93,03     | 0,43       | 20,58      | 0,80 |
| Berm  | 4          | 34,37   | 10,20     | 1,30       | 16,59      | 0,80 |
| Berm  | 17         | 9,29    | 3,22      | 0,20       | 3,56       | 0,80 |
| Berm  | 8          | 43,28   | 15,20     | 0,71       | 21,11      | 0,80 |
| Berm  | 17         | 204,67  | 88,09     | 1,03       | 33,57      | 0,80 |
| Berm  | 12         | 134,42  | 69,67     | 0,65       | 30,95      | 0,80 |
| Berm  | 49         | 345,04  | 142,23    | 0,47       | 81,54      | 0,80 |
| Berm  | 4          | 8,09    | 2,21      | 0,65       | 3,40       | 0,80 |
| Berm  | 6          | 15,50   | 7,79      | 0,71       | 5,57       | 0,80 |
| Berm  | 7          | 102,72  | 143,73    | 2,32       | 48,12      | 0,80 |
| Berm  | 5          | 7,80    | 3,60      | 0,66       | 2,40       | 0,80 |
| Berm  | 4          | 8,03    | 4,03      | 2,01       | 2,01       | 0,80 |

## Invoergegevens van het model

Model: Tatelaarweg op basis van 2031 (tracebesluit) met tatelaarweg 80 km/uur  
 Tatelaarweg (2021-07) - Tatelaarweg  
 Groep: (hoofdgroep)  
 Lijst van Bodemgebieden, voor rekenmethode Wegverkeerslawaaai - RMG-2012, wegverkeer

| Groep | ItemID | Grp.ID | Datum             | Naam | Omschr. | Vorm     | X-1       | Y-1       |
|-------|--------|--------|-------------------|------|---------|----------|-----------|-----------|
| Berm  | 9549   | 3      | 09:35, 6 dec 2018 | Berm | Berm    | Polygoon | 204888,53 | 439748,72 |
| Berm  | 9551   | 3      | 09:35, 6 dec 2018 | Berm | Berm    | Polygoon | 204193,42 | 439131,01 |
| Berm  | 9559   | 3      | 09:35, 6 dec 2018 | Berm | Berm    | Polygoon | 204638,75 | 438964,84 |
| Berm  | 9563   | 3      | 09:35, 6 dec 2018 | Berm | Berm    | Polygoon | 203401,93 | 439168,54 |
| Berm  | 9565   | 3      | 09:35, 6 dec 2018 | Berm | Berm    | Polygoon | 203873,03 | 439229,59 |
| Berm  | 9566   | 3      | 09:35, 6 dec 2018 | Berm | Berm    | Polygoon | 202869,07 | 439567,78 |
| Berm  | 9574   | 3      | 09:35, 6 dec 2018 | Berm | Berm    | Polygoon | 203134,18 | 439271,37 |
| Berm  | 9576   | 3      | 09:35, 6 dec 2018 | Berm | Berm    | Polygoon | 204711,12 | 439899,91 |
| Berm  | 9581   | 3      | 09:35, 6 dec 2018 | Berm | Berm    | Polygoon | 203312,14 | 439208,47 |
| Berm  | 9584   | 3      | 09:35, 6 dec 2018 | Berm | Berm    | Polygoon | 202865,00 | 439586,02 |
| Berm  | 9585   | 3      | 09:35, 6 dec 2018 | Berm | Berm    | Polygoon | 202858,58 | 439554,47 |
| Berm  | 9589   | 3      | 09:35, 6 dec 2018 | Berm | Berm    | Polygoon | 204183,02 | 439132,71 |
| Berm  | 9590   | 3      | 09:35, 6 dec 2018 | Berm | Berm    | Polygoon | 203494,63 | 439054,70 |
| Berm  | 9593   | 3      | 09:35, 6 dec 2018 | Berm | Berm    | Polygoon | 204092,62 | 439207,40 |
| Berm  | 9600   | 3      | 09:35, 6 dec 2018 | Berm | Berm    | Polygoon | 204502,27 | 438991,96 |
| Berm  | 9606   | 3      | 09:35, 6 dec 2018 | Berm | Berm    | Polygoon | 204939,15 | 438983,49 |
| Berm  | 9607   | 3      | 09:35, 6 dec 2018 | Berm | Berm    | Polygoon | 204099,34 | 439949,47 |
| Berm  | 9608   | 3      | 09:35, 6 dec 2018 | Berm | Berm    | Polygoon | 204218,84 | 439136,91 |
| Berm  | 9619   | 3      | 09:35, 6 dec 2018 | Berm | Berm    | Polygoon | 204736,54 | 438956,98 |
| Berm  | 9622   | 3      | 09:35, 6 dec 2018 | Berm | Berm    | Polygoon | 204307,66 | 439074,59 |
| Berm  | 9629   | 3      | 09:35, 6 dec 2018 | Berm | Berm    | Polygoon | 203597,24 | 439190,10 |
| Berm  | 9638   | 3      | 09:35, 6 dec 2018 | Berm | Berm    | Polygoon | 204159,56 | 439272,12 |
| Berm  | 9640   | 3      | 09:35, 6 dec 2018 | Berm | Berm    | Polygoon | 204834,53 | 438976,52 |
| Berm  | 9643   | 3      | 09:35, 6 dec 2018 | Berm | Berm    | Polygoon | 203994,75 | 439246,45 |
| Berm  | 9647   | 3      | 09:35, 6 dec 2018 | Berm | Berm    | Polygoon | 204383,23 | 439030,07 |
| Berm  | 9648   | 3      | 09:35, 6 dec 2018 | Berm | Berm    | Polygoon | 204353,78 | 439058,69 |
| Berm  | 9652   | 3      | 09:35, 6 dec 2018 | Berm | Berm    | Polygoon | 204480,84 | 438998,65 |
| Berm  | 9654   | 3      | 09:35, 6 dec 2018 | Berm | Berm    | Polygoon | 204084,92 | 439191,75 |
| Berm  | 9656   | 3      | 09:35, 6 dec 2018 | Berm | Berm    | Polygoon | 204473,79 | 438996,74 |
| Berm  | 9658   | 3      | 09:35, 6 dec 2018 | Berm | Berm    | Polygoon | 204393,48 | 439527,56 |
| Berm  | 9659   | 3      | 09:35, 6 dec 2018 | Berm | Berm    | Polygoon | 204926,44 | 438970,55 |
| Berm  | 9661   | 3      | 09:35, 6 dec 2018 | Berm | Berm    | Polygoon | 204147,03 | 439160,84 |
| Berm  | 9667   | 3      | 09:35, 6 dec 2018 | Berm | Berm    | Polygoon | 204210,75 | 439116,32 |
| Berm  | 9676   | 3      | 09:35, 6 dec 2018 | Berm | Berm    | Polygoon | 204498,98 | 438987,43 |
| Berm  | 9677   | 3      | 09:35, 6 dec 2018 | Berm | Berm    | Polygoon | 204702,09 | 438963,95 |
| Berm  | 9685   | 3      | 09:35, 6 dec 2018 | Berm | Berm    | Polygoon | 204914,52 | 439520,96 |
| Berm  | 9689   | 3      | 09:35, 6 dec 2018 | Berm | Berm    | Polygoon | 204744,90 | 438989,43 |
| Berm  | 9691   | 3      | 09:35, 6 dec 2018 | Berm | Berm    | Polygoon | 204348,06 | 438345,24 |
| Berm  | 9695   | 3      | 09:35, 6 dec 2018 | Berm | Berm    | Polygoon | 204739,54 | 438965,23 |
| Berm  | 9699   | 3      | 09:35, 6 dec 2018 | Berm | Berm    | Polygoon | 204769,33 | 438989,03 |
| Berm  | 9708   | 3      | 09:35, 6 dec 2018 | Berm | Berm    | Polygoon | 203907,48 | 439250,07 |
| Berm  | 9711   | 3      | 09:35, 6 dec 2018 | Berm | Berm    | Polygoon | 203496,53 | 439149,56 |
| Berm  | 9712   | 3      | 09:35, 6 dec 2018 | Berm | Berm    | Polygoon | 202883,57 | 439644,00 |
| Berm  | 9714   | 3      | 09:35, 6 dec 2018 | Berm | Berm    | Polygoon | 202873,25 | 439591,92 |
| Berm  | 9716   | 3      | 09:35, 6 dec 2018 | Berm | Berm    | Polygoon | 202883,27 | 439792,91 |
| Berm  | 9717   | 3      | 09:35, 6 dec 2018 | Berm | Berm    | Polygoon | 203495,90 | 439155,37 |
| Berm  | 9718   | 3      | 09:35, 6 dec 2018 | Berm | Berm    | Polygoon | 203922,94 | 439228,87 |
| Berm  | 9729   | 3      | 09:35, 6 dec 2018 | Berm | Berm    | Polygoon | 202829,14 | 439556,56 |
| Berm  | 9730   | 3      | 09:35, 6 dec 2018 | Berm | Berm    | Polygoon | 202812,89 | 439428,35 |
| Berm  | 9737   | 3      | 09:35, 6 dec 2018 | Berm | Berm    | Polygoon | 202856,73 | 439555,24 |
| Berm  | 9738   | 3      | 09:35, 6 dec 2018 | Berm | Berm    | Polygoon | 203074,53 | 439389,04 |
| Berm  | 9739   | 3      | 09:35, 6 dec 2018 | Berm | Berm    | Polygoon | 202907,31 | 439427,23 |
| Berm  | 9741   | 3      | 09:35, 6 dec 2018 | Berm | Berm    | Polygoon | 204671,93 | 438958,50 |
| Berm  | 9743   | 3      | 09:35, 6 dec 2018 | Berm | Berm    | Polygoon | 204872,43 | 437972,56 |
| Berm  | 9745   | 3      | 09:35, 6 dec 2018 | Berm | Berm    | Polygoon | 203847,24 | 439235,60 |
| Berm  | 9746   | 3      | 09:35, 6 dec 2018 | Berm | Berm    | Polygoon | 204545,66 | 438994,93 |
| Berm  | 9747   | 3      | 09:35, 6 dec 2018 | Berm | Berm    | Polygoon | 204197,07 | 439129,30 |
| Berm  | 9749   | 3      | 09:35, 6 dec 2018 | Berm | Berm    | Polygoon | 203465,93 | 439155,62 |
| Berm  | 9756   | 3      | 09:35, 6 dec 2018 | Berm | Berm    | Polygoon | 204174,52 | 439147,35 |
| Berm  | 9759   | 3      | 09:35, 6 dec 2018 | Berm | Berm    | Polygoon | 204497,63 | 439007,84 |
| Berm  | 9762   | 3      | 09:35, 6 dec 2018 | Berm | Berm    | Polygoon | 202828,44 | 439667,33 |
| Berm  | 9766   | 3      | 09:35, 6 dec 2018 | Berm | Berm    | Polygoon | 203143,22 | 439315,51 |
| Berm  | 9767   | 3      | 09:35, 6 dec 2018 | Berm | Berm    | Polygoon | 202828,20 | 439479,49 |

## Invoergegevens van het model

Model: Tatelaarweg op basis van 2031 (tracebesluit) met tatelaarweg 80 km/uur  
 Tatelaarweg (2021-07) - Tatelaarweg  
 Groep: (hoofdgroep)  
 Lijst van Bodemgebieden, voor rekenmethode Wegverkeerslawaai - RMG-2012, wegverkeer

| Groep | Vormpunten | Omtrek | Oppervlak | Min.lengte | Max.lengte | Bf   |
|-------|------------|--------|-----------|------------|------------|------|
| Berm  | 11         | 28,95  | 19,21     | 0,31       | 5,56       | 0,80 |
| Berm  | 9          | 55,66  | 68,44     | 2,55       | 16,91      | 0,80 |
| Berm  | 5          | 29,43  | 4,71      | 0,73       | 13,28      | 0,80 |
| Berm  | 52         | 22,54  | 12,89     | 0,03       | 9,73       | 0,80 |
| Berm  | 23         | 143,93 | 229,67    | 1,19       | 35,66      | 0,80 |
| Berm  | 50         | 167,89 | 96,01     | 0,09       | 25,85      | 0,80 |
| Berm  | 63         | 939,64 | 2291,81   | 0,40       | 45,30      | 0,80 |
| Berm  | 6          | 20,71  | 9,51      | 0,99       | 6,47       | 0,80 |
| Berm  | 12         | 25,52  | 33,98     | 0,84       | 9,30       | 0,80 |
| Berm  | 57         | 16,84  | 10,61     | 0,01       | 6,44       | 0,80 |
| Berm  | 7          | 53,32  | 28,31     | 2,00       | 19,10      | 0,80 |
| Berm  | 45         | 24,10  | 17,45     | 0,10       | 8,42       | 0,80 |
| Berm  | 50         | 726,61 | 2315,40   | 0,91       | 43,81      | 0,80 |
| Berm  | 15         | 60,87  | 107,91    | 0,19       | 17,29      | 0,80 |
| Berm  | 13         | 80,56  | 49,35     | 1,43       | 22,03      | 0,80 |
| Berm  | 4          | 20,80  | 23,49     | 3,85       | 7,54       | 0,80 |
| Berm  | 41         | 634,44 | 435,73    | 0,13       | 54,60      | 0,80 |
| Berm  | 4          | 103,43 | 165,41    | 3,76       | 49,62      | 0,80 |
| Berm  | 8          | 207,42 | 180,61    | 0,78       | 99,56      | 0,80 |
| Berm  | 10         | 103,44 | 153,37    | 0,03       | 48,38      | 0,80 |
| Berm  | 28         | 207,28 | 230,51    | 0,96       | 39,68      | 0,80 |
| Berm  | 25         | 32,50  | 20,00     | 0,11       | 6,18       | 0,80 |
| Berm  | 6          | 87,33  | 133,63    | 3,35       | 28,43      | 0,80 |
| Berm  | 75         | 164,52 | 154,05    | 0,16       | 36,33      | 0,80 |
| Berm  | 41         | 15,76  | 10,43     | 0,12       | 4,10       | 0,80 |
| Berm  | 6          | 72,75  | 108,14    | 0,90       | 32,39      | 0,80 |
| Berm  | 43         | 9,26   | 5,09      | 0,04       | 2,90       | 0,80 |
| Berm  | 4          | 43,81  | 65,31     | 3,50       | 18,37      | 0,80 |
| Berm  | 14         | 59,04  | 44,40     | 0,23       | 9,59       | 0,80 |
| Berm  | 109        | 734,16 | 423,03    | 0,17       | 25,44      | 0,80 |
| Berm  | 36         | 10,48  | 1,96      | 0,13       | 3,43       | 0,80 |
| Berm  | 4          | 70,32  | 113,55    | 3,71       | 32,14      | 0,80 |
| Berm  | 10         | 15,38  | 6,53      | 0,74       | 3,32       | 0,80 |
| Berm  | 12         | 85,91  | 119,72    | 0,09       | 16,59      | 0,80 |
| Berm  | 8          | 54,16  | 81,47     | 0,47       | 22,97      | 0,80 |
| Berm  | 23         | 110,15 | 88,37     | 0,12       | 21,49      | 0,80 |
| Berm  | 57         | 146,51 | 158,35    | 0,11       | 33,20      | 0,80 |
| Berm  | 66         | 856,23 | 2183,94   | 0,39       | 45,16      | 0,80 |
| Berm  | 7          | 75,06  | 105,32    | 1,37       | 23,18      | 0,80 |
| Berm  | 58         | 146,51 | 158,35    | 0,11       | 33,20      | 0,80 |
| Berm  | 5          | 5,01   | 1,36      | 0,85       | 1,30       | 0,80 |
| Berm  | 14         | 45,49  | 48,22     | 0,59       | 9,32       | 0,80 |
| Berm  | 21         | 99,34  | 137,78    | 0,20       | 11,48      | 0,80 |
| Berm  | 42         | 12,94  | 8,41      | 0,04       | 4,55       | 0,80 |
| Berm  | 7          | 53,57  | 39,77     | 0,62       | 20,37      | 0,80 |
| Berm  | 11         | 15,01  | 2,88      | 0,26       | 7,43       | 0,80 |
| Berm  | 12         | 143,45 | 227,80    | 1,11       | 32,67      | 0,80 |
| Berm  | 13         | 37,82  | 37,17     | 0,18       | 9,40       | 0,80 |
| Berm  | 17         | 97,04  | 113,07    | 0,02       | 22,38      | 0,80 |
| Berm  | 11         | 43,50  | 42,06     | 0,87       | 17,79      | 0,80 |
| Berm  | 15         | 205,30 | 224,21    | 1,49       | 43,55      | 0,80 |
| Berm  | 50         | 298,02 | 601,25    | 0,35       | 17,21      | 0,80 |
| Berm  | 9          | 10,41  | 3,51      | 0,08       | 3,11       | 0,80 |
| Berm  | 61         | 705,07 | 858,65    | 0,09       | 52,85      | 0,80 |
| Berm  | 4          | 43,40  | 62,73     | 3,87       | 19,47      | 0,80 |
| Berm  | 12         | 48,57  | 79,97     | 0,81       | 16,59      | 0,80 |
| Berm  | 10         | 54,83  | 67,46     | 1,18       | 16,91      | 0,80 |
| Berm  | 105        | 17,44  | 16,23     | 0,04       | 5,19       | 0,80 |
| Berm  | 4          | 48,63  | 75,91     | 3,71       | 21,15      | 0,80 |
| Berm  | 29         | 170,31 | 326,99    | 2,60       | 27,99      | 0,80 |
| Berm  | 5          | 6,46   | 2,18      | 0,45       | 2,14       | 0,80 |
| Berm  | 12         | 203,58 | 112,55    | 0,92       | 40,71      | 0,80 |
| Berm  | 39         | 232,44 | 429,23    | 0,06       | 14,64      | 0,80 |



## Invoergegevens van het model

Model: Tatelaarweg op basis van 2031 (tracebesluit) met tatelaarweg 80 km/uur  
 Tatelaarweg (2021-07) - Tatelaarweg  
 Groep: (hoofdgroep)  
 Lijst van Bodemgebieden, voor rekenmethode Wegverkeerslawaaï - RMG-2012, wegverkeer

| Groep | ItemID | Grp.ID | Datum             | Naam | Omschr. | Vorm     | X-1       | Y-1       |
|-------|--------|--------|-------------------|------|---------|----------|-----------|-----------|
| Berm  | 9770   | 3      | 09:35, 6 dec 2018 | Berm | Berm    | Polygoon | 204537,10 | 439421,55 |
| Berm  | 9774   | 3      | 09:35, 6 dec 2018 | Berm | Berm    | Polygoon | 202912,49 | 439951,42 |
| Berm  | 9775   | 3      | 09:35, 6 dec 2018 | Berm | Berm    | Polygoon | 204278,16 | 439118,90 |
| Berm  | 9776   | 3      | 09:35, 6 dec 2018 | Berm | Berm    | Polygoon | 203003,60 | 439466,26 |
| Berm  | 9782   | 3      | 09:35, 6 dec 2018 | Berm | Berm    | Polygoon | 204313,45 | 439090,30 |
| Berm  | 9784   | 3      | 09:35, 6 dec 2018 | Berm | Berm    | Polygoon | 203825,47 | 439242,86 |
| Berm  | 9786   | 3      | 09:35, 6 dec 2018 | Berm | Berm    | Polygoon | 204739,38 | 438971,53 |
| Berm  | 9790   | 3      | 09:35, 6 dec 2018 | Berm | Berm    | Polygoon | 202749,48 | 439123,60 |
| Berm  | 9794   | 3      | 09:35, 6 dec 2018 | Berm | Berm    | Polygoon | 203821,94 | 439207,79 |
| Berm  | 9795   | 3      | 09:35, 6 dec 2018 | Berm | Berm    | Polygoon | 203436,03 | 439170,65 |
| Berm  | 9796   | 3      | 09:35, 6 dec 2018 | Berm | Berm    | Polygoon | 202911,41 | 439971,73 |
| Berm  | 9797   | 3      | 09:35, 6 dec 2018 | Berm | Berm    | Polygoon | 203887,56 | 439226,52 |
| Berm  | 9798   | 3      | 09:35, 6 dec 2018 | Berm | Berm    | Polygoon | 202828,60 | 439489,24 |
| Berm  | 9800   | 3      | 09:35, 6 dec 2018 | Berm | Berm    | Polygoon | 203877,64 | 439220,35 |
| Berm  | 9801   | 3      | 09:35, 6 dec 2018 | Berm | Berm    | Polygoon | 203935,28 | 440142,74 |
| Berm  | 9805   | 3      | 09:35, 6 dec 2018 | Berm | Berm    | Polygoon | 202748,49 | 439132,66 |
| Berm  | 9809   | 3      | 09:35, 6 dec 2018 | Berm | Berm    | Polygoon | 202851,59 | 439622,31 |
| Berm  | 9810   | 3      | 09:35, 6 dec 2018 | Berm | Berm    | Polygoon | 203143,22 | 439315,51 |
| Berm  | 9811   | 3      | 09:35, 6 dec 2018 | Berm | Berm    | Polygoon | 202832,53 | 439565,33 |
| Berm  | 9812   | 3      | 09:35, 6 dec 2018 | Berm | Berm    | Polygoon | 202818,80 | 439447,90 |
| Berm  | 9813   | 3      | 09:35, 6 dec 2018 | Berm | Berm    | Polygoon | 203034,99 | 439337,07 |
| Berm  | 9815   | 3      | 09:35, 6 dec 2018 | Berm | Berm    | Polygoon | 202876,51 | 439590,39 |
| Berm  | 9816   | 3      | 09:35, 6 dec 2018 | Berm | Berm    | Polygoon | 202869,07 | 439567,78 |
| Berm  | 9826   | 3      | 09:35, 6 dec 2018 | Berm | Berm    | Polygoon | 204674,58 | 438980,26 |
| Berm  | 9829   | 3      | 09:35, 6 dec 2018 | Berm | Berm    | Polygoon | 204190,61 | 439150,87 |
| Berm  | 9840   | 3      | 09:35, 6 dec 2018 | Berm | Berm    | Polygoon | 204353,78 | 439058,69 |
| Berm  | 9844   | 3      | 09:35, 6 dec 2018 | Berm | Berm    | Polygoon | 204477,88 | 438999,64 |
| Berm  | 9848   | 3      | 09:35, 6 dec 2018 | Berm | Berm    | Polygoon | 202801,68 | 439408,56 |
| Berm  | 9857   | 3      | 09:35, 6 dec 2018 | Berm | Berm    | Polygoon | 202962,62 | 439485,96 |
| Berm  | 9864   | 3      | 09:35, 6 dec 2018 | Berm | Berm    | Polygoon | 204142,92 | 439155,96 |
| Berm  | 9871   | 3      | 09:35, 6 dec 2018 | Berm | Berm    | Polygoon | 204524,11 | 438981,94 |
| Berm  | 9874   | 3      | 09:35, 6 dec 2018 | Berm | Berm    | Polygoon | 204585,19 | 439349,50 |
| Berm  | 9876   | 3      | 09:35, 6 dec 2018 | Berm | Berm    | Polygoon | 203907,48 | 439250,07 |
| Berm  | 9877   | 3      | 09:35, 6 dec 2018 | Berm | Berm    | Polygoon | 203795,92 | 439237,14 |
| Berm  | 9879   | 3      | 09:35, 6 dec 2018 | Berm | Berm    | Polygoon | 204180,53 | 439159,57 |
| Berm  | 9880   | 3      | 09:35, 6 dec 2018 | Berm | Berm    | Polygoon | 204738,84 | 438992,76 |
| Berm  | 9883   | 3      | 09:35, 6 dec 2018 | Berm | Berm    | Polygoon | 204109,40 | 439191,25 |
| Berm  | 9884   | 3      | 09:35, 6 dec 2018 | Berm | Berm    | Polygoon | 204065,54 | 439201,34 |
| Berm  | 9886   | 3      | 09:35, 6 dec 2018 | Berm | Berm    | Polygoon | 204072,25 | 439635,15 |
| Berm  | 9888   | 3      | 09:35, 6 dec 2018 | Berm | Berm    | Polygoon | 204367,33 | 439069,70 |
| Berm  | 9893   | 3      | 09:35, 6 dec 2018 | Berm | Berm    | Polygoon | 204544,28 | 439410,27 |
| Berm  | 9895   | 3      | 09:35, 6 dec 2018 | Berm | Berm    | Polygoon | 204146,17 | 439208,84 |
| Berm  | 9903   | 3      | 09:35, 6 dec 2018 | Berm | Berm    | Polygoon | 203132,28 | 439268,95 |
| Berm  | 9904   | 3      | 09:35, 6 dec 2018 | Berm | Berm    | Polygoon | 202867,81 | 439602,04 |
| Berm  | 9905   | 3      | 09:35, 6 dec 2018 | Berm | Berm    | Polygoon | 202909,38 | 439586,95 |
| Berm  | 9906   | 3      | 09:35, 6 dec 2018 | Berm | Berm    | Polygoon | 203155,94 | 439299,07 |
| Berm  | 9913   | 3      | 09:35, 6 dec 2018 | Berm | Berm    | Polygoon | 204617,21 | 439320,69 |
| Berm  | 9917   | 3      | 09:35, 6 dec 2018 | Berm | Berm    | Polygoon | 204769,88 | 438982,50 |
| Berm  | 9919   | 3      | 09:35, 6 dec 2018 | Berm | Berm    | Polygoon | 203540,09 | 439158,23 |
| Berm  | 9920   | 3      | 09:35, 6 dec 2018 | Berm | Berm    | Polygoon | 203918,81 | 439252,44 |
| Berm  | 9921   | 3      | 09:35, 6 dec 2018 | Berm | Berm    | Polygoon | 203569,30 | 439189,22 |
| Berm  | 9925   | 3      | 09:35, 6 dec 2018 | Berm | Berm    | Polygoon | 203444,42 | 439153,81 |
| Berm  | 9926   | 3      | 09:35, 6 dec 2018 | Berm | Berm    | Polygoon | 203600,87 | 439173,59 |
| Berm  | 9927   | 3      | 09:35, 6 dec 2018 | Berm | Berm    | Polygoon | 203887,46 | 439247,76 |
| Berm  | 9928   | 3      | 09:35, 6 dec 2018 | Berm | Berm    | Polygoon | 204927,49 | 438974,10 |
| Berm  | 9948   | 3      | 09:35, 6 dec 2018 | Berm | Berm    | Polygoon | 202897,75 | 439790,54 |
| Berm  | 9949   | 3      | 09:35, 6 dec 2018 | Berm | Berm    | Polygoon | 203432,71 | 439171,33 |
| Berm  | 9950   | 3      | 09:35, 6 dec 2018 | Berm | Berm    | Polygoon | 203513,31 | 439174,38 |
| Berm  | 9953   | 3      | 09:35, 6 dec 2018 | Berm | Berm    | Polygoon | 203325,28 | 439181,99 |
| Berm  | 9954   | 3      | 09:35, 6 dec 2018 | Berm | Berm    | Polygoon | 202923,72 | 439951,37 |
| Berm  | 9957   | 3      | 09:35, 6 dec 2018 | Berm | Berm    | Polygoon | 202834,10 | 439564,67 |
| Berm  | 9958   | 3      | 09:35, 6 dec 2018 | Berm | Berm    | Polygoon | 203893,71 | 439226,22 |
| Berm  | 9959   | 3      | 09:35, 6 dec 2018 | Berm | Berm    | Polygoon | 202861,49 | 439614,64 |

## Invoergegevens van het model

Model: Tatelaarweg op basis van 2031 (tracebesluit) met tatelaarweg 80 km/uur  
 Tatelaarweg (2021-07) - Tatelaarweg  
 Groep: (hoofdgroep)  
 Lijst van Bodemgebieden, voor rekenmethode Wegverkeerslawaai - RMG-2012, wegverkeer

| Groep | Vormpunten | Omtrek  | Oppervlak | Min.lengte | Max.lengte | Bf   |
|-------|------------|---------|-----------|------------|------------|------|
| Berm  | 11         | 10,03   | 4,68      | 0,32       | 3,81       | 0,80 |
| Berm  | 24         | 215,53  | 646,36    | 1,57       | 24,16      | 0,80 |
| Berm  | 3          | 9,42    | 4,14      | 2,84       | 3,56       | 0,80 |
| Berm  | 6          | 13,10   | 7,35      | 0,28       | 5,19       | 0,80 |
| Berm  | 9          | 200,10  | 360,91    | 3,71       | 44,59      | 0,80 |
| Berm  | 68         | 147,02  | 235,13    | 0,09       | 14,51      | 0,80 |
| Berm  | 6          | 73,01   | 116,73    | 3,48       | 28,88      | 0,80 |
| Berm  | 39         | 18,11   | 10,80     | 0,05       | 7,36       | 0,80 |
| Berm  | 59         | 117,22  | 130,89    | 0,16       | 21,36      | 0,80 |
| Berm  | 16         | 40,85   | 56,21     | 0,31       | 18,35      | 0,80 |
| Berm  | 7          | 54,49   | 126,18    | 0,41       | 22,20      | 0,80 |
| Berm  | 5          | 2,22    | 0,21      | 0,11       | 0,81       | 0,80 |
| Berm  | 12         | 58,14   | 138,80    | 0,83       | 19,46      | 0,80 |
| Berm  | 13         | 27,26   | 31,02     | 0,13       | 5,55       | 0,80 |
| Berm  | 51         | 365,23  | 184,17    | 0,04       | 33,89      | 0,80 |
| Berm  | 26         | 21,49   | 11,92     | 0,18       | 1,34       | 0,80 |
| Berm  | 68         | 23,72   | 21,25     | 0,03       | 4,76       | 0,80 |
| Berm  | 13         | 203,58  | 112,55    | 0,92       | 40,71      | 0,80 |
| Berm  | 9          | 95,41   | 87,76     | 0,01       | 46,10      | 0,80 |
| Berm  | 43         | 255,86  | 781,33    | 0,05       | 22,38      | 0,80 |
| Berm  | 19         | 224,44  | 184,13    | 1,43       | 22,80      | 0,80 |
| Berm  | 71         | 67,83   | 102,36    | 0,05       | 12,11      | 0,80 |
| Berm  | 49         | 167,89  | 96,01     | 0,10       | 25,85      | 0,80 |
| Berm  | 14         | 76,38   | 119,11    | 0,85       | 17,73      | 0,80 |
| Berm  | 4          | 52,59   | 78,80     | 3,78       | 24,06      | 0,80 |
| Berm  | 6          | 73,03   | 109,75    | 1,10       | 32,51      | 0,80 |
| Berm  | 12         | 41,48   | 26,37     | 0,41       | 12,87      | 0,80 |
| Berm  | 74         | 7,23    | 2,89      | 0,04       | 2,03       | 0,80 |
| Berm  | 42         | 120,14  | 287,97    | 0,09       | 31,13      | 0,80 |
| Berm  | 9          | 70,47   | 92,14     | 2,20       | 24,09      | 0,80 |
| Berm  | 4          | 30,39   | 7,80      | 0,09       | 14,63      | 0,80 |
| Berm  | 135        | 1262,85 | 1002,99   | 0,30       | 65,15      | 0,80 |
| Berm  | 6          | 5,01    | 1,36      | 0,01       | 1,30       | 0,80 |
| Berm  | 4          | 19,80   | 23,60     | 4,00       | 5,89       | 0,80 |
| Berm  | 6          | 22,51   | 10,45     | 0,22       | 9,38       | 0,80 |
| Berm  | 3          | 26,25   | 1,26      | 0,19       | 13,03      | 0,80 |
| Berm  | 7          | 162,00  | 291,88    | 3,85       | 50,45      | 0,80 |
| Berm  | 16         | 92,33   | 142,39    | 0,54       | 35,69      | 0,80 |
| Berm  | 30         | 634,15  | 306,64    | 0,18       | 71,55      | 0,80 |
| Berm  | 3          | 73,40   | 9,45      | 2,10       | 36,66      | 0,80 |
| Berm  | 42         | 228,22  | 113,07    | 0,92       | 10,68      | 0,80 |
| Berm  | 58         | 185,16  | 93,04     | 0,15       | 21,16      | 0,80 |
| Berm  | 24         | 246,21  | 339,32    | 0,52       | 22,80      | 0,80 |
| Berm  | 77         | 12,72   | 7,46      | 0,01       | 3,52       | 0,80 |
| Berm  | 18         | 188,31  | 307,43    | 1,13       | 31,35      | 0,80 |
| Berm  | 216        | 1452,56 | 3605,45   | 0,01       | 40,22      | 0,80 |
| Berm  | 7          | 15,00   | 8,19      | 0,80       | 4,34       | 0,80 |
| Berm  | 6          | 65,89   | 87,31     | 3,17       | 19,03      | 0,80 |
| Berm  | 4          | 32,21   | 13,68     | 1,88       | 15,25      | 0,80 |
| Berm  | 21         | 101,86  | 139,73    | 0,33       | 30,99      | 0,80 |
| Berm  | 9          | 143,45  | 95,20     | 0,61       | 47,74      | 0,80 |
| Berm  | 103        | 30,04   | 27,49     | 0,03       | 3,01       | 0,80 |
| Berm  | 5          | 73,58   | 70,10     | 1,86       | 35,18      | 0,80 |
| Berm  | 74         | 207,02  | 337,53    | 0,09       | 29,29      | 0,80 |
| Berm  | 6          | 172,40  | 241,11    | 2,42       | 83,31      | 0,80 |
| Berm  | 6          | 83,93   | 113,02    | 0,99       | 39,72      | 0,80 |
| Berm  | 14         | 36,07   | 50,69     | 0,31       | 14,97      | 0,80 |
| Berm  | 69         | 207,77  | 244,76    | 0,10       | 39,68      | 0,80 |
| Berm  | 15         | 99,08   | 45,51     | 0,90       | 16,55      | 0,80 |
| Berm  | 4          | 5,41    | 1,36      | 0,72       | 2,17       | 0,80 |
| Berm  | 11         | 37,82   | 37,16     | 0,92       | 9,40       | 0,80 |
| Berm  | 7          | 58,18   | 98,34     | 0,61       | 21,14      | 0,80 |
| Berm  | 60         | 20,86   | 27,62     | 0,03       | 6,63       | 0,80 |

## Invoergegevens van het model

Model: Tatelaarweg op basis van 2031 (tracebesluit) met tatelaarweg 80 km/uur  
 Tatelaarweg (2021-07) - Tatelaarweg  
 Groep: (hoofdgroep)  
 Lijst van Bodemgebieden, voor rekenmethode Wegverkeerslawaaai - RMG-2012, wegverkeer

| Groep      | ItemID | Grp.ID | Datum              | Naam    | Omschr. | Vorm     | X-1       | Y-1       |
|------------|--------|--------|--------------------|---------|---------|----------|-----------|-----------|
| Berm       | 9965   | 3      | 09:35, 6 dec 2018  | Berm    | Berm    | Polygoon | 204307,66 | 439074,59 |
| Berm       | 9967   | 3      | 09:35, 6 dec 2018  | Berm    | Berm    | Polygoon | 204852,63 | 439809,19 |
| Berm       | 9976   | 3      | 09:35, 6 dec 2018  | Berm    | Berm    | Polygoon | 204075,54 | 439626,12 |
| Berm       | 9977   | 3      | 09:35, 6 dec 2018  | Berm    | Berm    | Polygoon | 204668,82 | 439448,83 |
| Berm       | 9987   | 3      | 09:35, 6 dec 2018  | Berm    | Berm    | Polygoon | 204179,18 | 439156,83 |
| Berm       | 9991   | 3      | 09:35, 6 dec 2018  | Berm    | Berm    | Polygoon | 204377,74 | 439032,34 |
| Berm       | 9998   | 3      | 09:35, 6 dec 2018  | Berm    | Berm    | Polygoon | 204267,14 | 439938,41 |
| Berm       | 9999   | 3      | 09:35, 6 dec 2018  | Berm    | Berm    | Polygoon | 204367,33 | 439069,70 |
| Berm       | 10001  | 3      | 09:35, 6 dec 2018  | Berm    | Berm    | Polygoon | 204991,01 | 439602,52 |
| Berm       | 10004  | 3      | 09:35, 6 dec 2018  | Berm    | Berm    | Polygoon | 204420,82 | 438875,25 |
| Berm       | 10013  | 3      | 09:35, 6 dec 2018  | Berm    | Berm    | Polygoon | 204098,66 | 439953,34 |
| Berm       | 10014  | 3      | 09:35, 6 dec 2018  | Berm    | Berm    | Polygoon | 204840,45 | 439490,62 |
| Berm       | 10022  | 3      | 09:35, 6 dec 2018  | Berm    | Berm    | Polygoon | 204156,69 | 439262,80 |
| Berm       | 10029  | 3      | 09:35, 6 dec 2018  | Berm    | Berm    | Polygoon | 203991,82 | 439964,78 |
| Berm       | 10033  | 3      | 09:35, 6 dec 2018  | Berm    | Berm    | Polygoon | 204537,83 | 439408,53 |
| Berm       | 10036  | 3      | 09:35, 6 dec 2018  | Berm    | Berm    | Polygoon | 204219,29 | 439118,09 |
| Berm       | 10040  | 3      | 09:35, 6 dec 2018  | Berm    | Berm    | Polygoon | 204523,74 | 438886,12 |
| Berm       | 10044  | 3      | 09:35, 6 dec 2018  | Berm    | Berm    | Polygoon | 204938,48 | 438993,76 |
| Berm       | 10045  | 3      | 09:35, 6 dec 2018  | Berm    | Berm    | Polygoon | 204563,14 | 438977,78 |
| Berm       | 10047  | 3      | 09:35, 6 dec 2018  | Berm    | Berm    | Polygoon | 204279,27 | 439095,46 |
| Berm       | 10048  | 3      | 09:35, 6 dec 2018  | Berm    | Berm    | Polygoon | 204174,52 | 439147,35 |
| Berm       | 10050  | 3      | 09:35, 6 dec 2018  | Berm    | Berm    | Polygoon | 204792,57 | 438974,24 |
| Berm       | 10052  | 3      | 09:35, 6 dec 2018  | Berm    | Berm    | Polygoon | 204480,84 | 438998,65 |
| Berm       | 10057  | 3      | 09:35, 6 dec 2018  | Berm    | Berm    | Polygoon | 202937,62 | 439533,21 |
| Berm       | 10059  | 3      | 09:35, 6 dec 2018  | Berm    | Berm    | Polygoon | 203428,94 | 439109,22 |
| Berm       | 10061  | 3      | 09:35, 6 dec 2018  | Berm    | Berm    | Polygoon | 204711,44 | 439901,02 |
| Berm       | 10067  | 3      | 09:35, 6 dec 2018  | Berm    | Berm    | Polygoon | 202874,74 | 439721,00 |
| Berm       | 10069  | 3      | 09:35, 6 dec 2018  | Berm    | Berm    | Polygoon | 204730,04 | 439467,43 |
| Berm       | 10079  | 3      | 09:35, 6 dec 2018  | Berm    | Berm    | Polygoon | 203957,86 | 439249,30 |
| Berm       | 10081  | 3      | 09:35, 6 dec 2018  | Berm    | Berm    | Polygoon | 203510,18 | 439020,34 |
| Berm       | 10086  | 3      | 09:35, 6 dec 2018  | Berm    | Berm    | Polygoon | 202850,37 | 439605,17 |
| Berm       | 10099  | 3      | 09:35, 6 dec 2018  | Berm    | Berm    | Polygoon | 204246,29 | 439950,76 |
| Berm       | 10101  | 3      | 09:35, 6 dec 2018  | Berm    | Berm    | Polygoon | 204927,70 | 439686,30 |
| Berm       | 10104  | 3      | 09:35, 6 dec 2018  | Berm    | Berm    | Polygoon | 204267,94 | 439304,20 |
| Berm       | 10111  | 3      | 09:35, 6 dec 2018  | Berm    | Berm    | Polygoon | 204091,44 | 439797,65 |
| Berm       | 10117  | 3      | 09:35, 6 dec 2018  | Berm    | Berm    | Polygoon | 203789,69 | 439229,82 |
| Berm       | 10118  | 3      | 09:35, 6 dec 2018  | Berm    | Berm    | Polygoon | 202827,37 | 439502,63 |
| Berm       | 10119  | 3      | 09:35, 6 dec 2018  | Berm    | Berm    | Polygoon | 202854,16 | 439556,31 |
| Berm       | 10120  | 3      | 09:35, 6 dec 2018  | Berm    | Berm    | Polygoon | 203084,74 | 438798,59 |
| Berm       | 10121  | 3      | 09:35, 6 dec 2018  | Berm    | Berm    | Polygoon | 203361,20 | 439169,88 |
| Berm       | 10123  | 3      | 09:35, 6 dec 2018  | Berm    | Berm    | Polygoon | 203145,22 | 439317,75 |
| Berm       | 10124  | 3      | 09:35, 6 dec 2018  | Berm    | Berm    | Polygoon | 203223,30 | 439254,91 |
| Berm       | 10125  | 3      | 09:35, 6 dec 2018  | Berm    | Berm    | Polygoon | 203105,16 | 439383,15 |
| Berm       | 10126  | 3      | 09:35, 6 dec 2018  | Berm    | Berm    | Polygoon | 203753,26 | 439966,52 |
| Berm       | 10128  | 3      | 09:35, 6 dec 2018  | Berm    | Berm    | Polygoon | 203356,81 | 439188,95 |
| wegen      | 69805  | 6      | 13:26, 27 nov 2018 | 2L ZOAB |         | Polygoon | 202853,10 | 439527,12 |
| plangebied | 69785  | 10     | 17:54, 5 jul 2021  | tuin    |         | Polygoon | 203799,10 | 439237,87 |

## Invoergegevens van het model

Model: Tatelaarweg op basis van 2031 (tracebesluit) met tatelaarweg 80 km/uur  
 Tatelaarweg (2021-07) - Tatelaarweg  
 Groep: (hoofdgroep)  
 Lijst van Bodemgebieden, voor rekenmethode Wegverkeerslawaai - RMG-2012, wegverkeer

| Groep      | Vormpunten | Omtrek  | Oppervlak | Min.lengte | Max.lengte | Bf   |
|------------|------------|---------|-----------|------------|------------|------|
| Berm       | 9          | 103,44  | 153,37    | 0,15       | 48,38      | 0,80 |
| Berm       | 53         | 459,53  | 252,42    | 1,01       | 48,07      | 0,80 |
| Berm       | 62         | 504,35  | 251,08    | 0,02       | 17,76      | 0,80 |
| Berm       | 16         | 136,71  | 66,06     | 0,63       | 29,60      | 0,80 |
| Berm       | 4          | 24,14   | 31,15     | 3,85       | 8,80       | 0,80 |
| Berm       | 8          | 12,01   | 6,52      | 0,29       | 3,43       | 0,80 |
| Berm       | 84         | 845,95  | 1201,42   | 0,43       | 29,63      | 0,80 |
| Berm       | 16         | 120,20  | 174,59    | 0,17       | 47,43      | 0,80 |
| Berm       | 4          | 8,96    | 5,02      | 2,24       | 2,24       | 0,80 |
| Berm       | 28         | 224,36  | 239,51    | 0,20       | 81,88      | 0,80 |
| Berm       | 226        | 309,03  | 389,35    | 0,01       | 34,63      | 0,80 |
| Berm       | 12         | 63,38   | 40,50     | 0,36       | 19,03      | 0,80 |
| Berm       | 65         | 335,20  | 182,82    | 0,85       | 33,45      | 0,80 |
| Berm       | 30         | 60,55   | 51,95     | 0,18       | 16,68      | 0,80 |
| Berm       | 29         | 231,68  | 85,67     | 0,63       | 20,38      | 0,80 |
| Berm       | 8          | 99,81   | 135,13    | 0,33       | 43,36      | 0,80 |
| Berm       | 34         | 319,77  | 230,06    | 0,21       | 36,95      | 0,80 |
| Berm       | 4          | 17,80   | 18,13     | 3,53       | 5,98       | 0,80 |
| Berm       | 11         | 158,35  | 236,44    | 1,74       | 34,90      | 0,80 |
| Berm       | 6          | 99,92   | 161,93    | 3,64       | 29,65      | 0,80 |
| Berm       | 4          | 47,36   | 71,58     | 3,69       | 20,62      | 0,80 |
| Berm       | 8          | 113,41  | 188,09    | 2,24       | 32,03      | 0,80 |
| Berm       | 13         | 33,98   | 21,06     | 0,42       | 9,75       | 0,80 |
| Berm       | 9          | 35,83   | 16,79     | 0,20       | 8,64       | 0,80 |
| Berm       | 46         | 207,81  | 153,64    | 0,31       | 18,41      | 0,80 |
| Berm       | 42         | 448,97  | 232,39    | 1,07       | 56,34      | 0,80 |
| Berm       | 110        | 279,24  | 1142,67   | 0,11       | 33,57      | 0,80 |
| Berm       | 30         | 153,25  | 258,32    | 0,08       | 30,47      | 0,80 |
| Berm       | 76         | 164,52  | 154,05    | 0,16       | 36,33      | 0,80 |
| Berm       | 13         | 78,61   | 158,22    | 0,30       | 11,65      | 0,80 |
| Berm       | 8          | 95,41   | 87,76     | 0,90       | 46,10      | 0,80 |
| Berm       | 50         | 115,40  | 122,32    | 0,10       | 25,67      | 0,80 |
| Berm       | 32         | 156,72  | 77,42     | 0,26       | 27,90      | 0,80 |
| Berm       | 62         | 114,62  | 76,56     | 0,05       | 17,79      | 0,80 |
| Berm       | 43         | 639,84  | 626,89    | 0,18       | 71,55      | 0,80 |
| Berm       | 17         | 178,96  | 254,44    | 0,59       | 39,55      | 0,80 |
| Berm       | 4          | 41,80   | 8,77      | 1,54       | 19,46      | 0,80 |
| Berm       | 12         | 40,26   | 18,59     | 0,53       | 19,53      | 0,80 |
| Berm       | 14         | 392,77  | 202,75    | 0,68       | 76,41      | 0,80 |
| Berm       | 4          | 77,18   | 11,78     | 0,73       | 38,36      | 0,80 |
| Berm       | 12         | 202,10  | 70,71     | 0,69       | 43,93      | 0,80 |
| Berm       | 15         | 206,05  | 171,80    | 0,76       | 54,62      | 0,80 |
| Berm       | 22         | 218,74  | 239,90    | 0,96       | 35,27      | 0,80 |
| Berm       | 30         | 50,53   | 49,46     | 0,05       | 9,98       | 0,80 |
| Berm       | 8          | 42,44   | 61,26     | 0,78       | 18,69      | 0,80 |
| wegen      | 4          | 4463,20 | 64290,52  | 25,01      | 2204,55    | 0,50 |
| plangebied | 12         | 358,60  | 3840,66   | 0,92       | 124,33     | 0,50 |